

添付

核燃料輸送物設計変更承認申請に係る変更前後表

核燃料輸送物設計変更承認申請に係る変更前後表

前回申請書 (平成30年8月17日付三原燃第18-393号をもって申請 (平成31年2月5日付三原燃第18-1013号をもって一部補正))	今回の核燃料輸送物設計変更承認申請	備考
<p>(イ)章 核燃料輸送物の説明 (イ)-A 目的及び条件</p> <p>1. 輸送物の使用目的 軽水炉型原子力発電所の使用済燃料プールに保管されていた未使用の燃料集合体を燃料加工工場に輸送するために使用する。</p> <p>2. 輸送容器の型名 MX-6型</p> <p>3. 輸送物の種類 A型核分裂性輸送物</p> <p>4. 輸送制限個数 任意</p> <p>5. 輸送指数 0.1 以下</p> <p>6. 臨界安全指數 0</p> <p>7. 輸送物の総重量 19.5 トン以下（輸送架台は含まず）</p> <p>8. 輸送容器の外形寸法 外径約2.1m、長さ約6.0m (前部及び後部衝撃吸収カバーを含む)</p> <p>9. 輸送容器の材質</p> <p>本体：ステンレス鋼、銅、合金銅、レジン 蓋部：チタン合金、合金銅、レジン バスケット：アルミニウム合金、ボロン入りステンレス鋼 衝撃吸収カバー：木材、ステンレス鋼、合金銅</p> <p>10. 輸送容器に収納する核燃料物質 核燃料物質の仕様を(イ)-第A.1表に示す。</p> <p>11. 輸送形態 車両による陸上輸送及び船による海上輸送</p>	<p>(イ)章 核燃料輸送物の説明 (イ)-A 目的及び条件</p> <p>1. 輸送物の使用目的 軽水炉型原子力発電所の使用済燃料プールに保管されていた未使用の燃料集合体を燃料加工工場に輸送するために使用する。</p> <p>2. 輸送容器の型名 MX-6型</p> <p>3. 輸送物の種類 A型核分裂性輸送物</p> <p>4. 輸送制限個数 固井なし</p> <p>5. 輸送指数 10以下</p> <p>6. 臨界安全指數 0</p> <p>7. 輸送物の総重量 19.5 トン以下（輸送架台は含まず）</p> <p>8. 輸送容器の外形寸法 外径約2.1m、長さ約6.0m (前部及び後部衝撃吸収カバーを含む)</p> <p>9. 輸送容器の材質</p> <p>本体：ステンレス鋼、銅、合金銅、レジン 蓋部：チタン合金、合金銅、レジン バスケット：アルミニウム合金、ボロン入りステンレス鋼 衝撃吸収カバー：木材、ステンレス鋼、合金銅</p> <p>10. 輸送容器に収納する核燃料物質 核燃料物質の仕様を(イ)-第A.1表に示す。</p> <p>11. 輸送形態 車両による陸上輸送及び船による海上輸送</p> <p>12. 対象中に予想される周囲の -40°Cから36°Cまで</p> <p>13. 長度の範囲 無制限</p> <p>14. 使用予定期間 50年</p> <p>15. 輸送容器の使用予定期間 200回</p>	<ul style="list-style-type: none"> ・輸送制限個数の記載の適正化 ・燃料集合体の表面汚染評価の見直しに伴う輸送指標の変更 ・規則等の改正に伴う記載項目の追加

(イ)-A-1

(イ)-A-1

核燃料輸送物設計変更承認申請に係る変更前後表

前回申請書 (平成30年8月17日付三原燃第18-393号をもって申請 (平成31年2月5日付三原燃第18-1013号をもって一部補正))		今回の核燃料輸送物設計変更承認申請	備考																																																																																																																																										
<p>(イ) 第A.1表 輸送容器に収納する核燃料物質の仕様</p> <table border="1"> <thead> <tr> <th>項目</th> <th>燃料集合体の形式</th> <th>9×9燃料</th> </tr> </thead> <tbody> <tr> <td>種類</td> <td colspan="2">軽水炉(BWR)新燃料集合体¹⁾</td> </tr> <tr> <td>性状</td> <td colspan="2">固体(二酸化ウラン粉末焼結体、又はガドリニア入り二酸化ウラン粉末焼結体)</td> </tr> <tr> <td>輸送容器^{1) 基当たり}</td> <td>収納体数(体)</td> <td colspan="2">10以下</td> </tr> <tr> <td></td> <td>収納物重量(kg)</td> <td colspan="2"><input type="text"/>以下</td> </tr> <tr> <td rowspan="7">放射能の量</td> <td>総量(GBq)</td> <td colspan="2"><input type="text"/>以下 (主要な核種の合計:<input type="text"/>以下)</td> </tr> <tr> <td>²³³U</td> <td colspan="2"><input type="text"/></td> </tr> <tr> <td>²³⁴U</td> <td colspan="2"><input type="text"/></td> </tr> <tr> <td>²³⁵U</td> <td colspan="2"><input type="text"/></td> </tr> <tr> <td>²³⁸U</td> <td colspan="2"><input type="text"/></td> </tr> <tr> <td>²³²Tc</td> <td colspan="2"><input type="text"/></td> </tr> <tr> <td>発熱量</td> <td colspan="2">該当せず(未使用)</td> </tr> <tr> <td colspan="3">濃縮度(wt%)</td> </tr> <tr> <td rowspan="3">燃料集合体^{1) 体当たり}</td> <td rowspan="3">重量</td> <td>燃料集合体重量(kg) (ヤンセンボックスを含む)</td> <td><input type="text"/> 以下</td> </tr> <tr> <td>二酸化ウラン重量(kg)</td> <td><input type="text"/> 以下</td> </tr> <tr> <td>ウラン重量(kg)</td> <td><input type="text"/> 以下</td> </tr> <tr> <td>燃焼度</td> <td colspan="2">該当せず(未使用)</td> </tr> <tr> <td>冷却日数</td> <td colspan="2">該当せず(未使用)</td> </tr> <tr> <td rowspan="5">濃縮ウラン中の不純物仕様</td> <td>²³²U</td> <td>≤<input type="text"/>μg/gU</td> </tr> <tr> <td>²³⁴U</td> <td>≤<input type="text"/>μg/g²³²U</td> </tr> <tr> <td>²³⁸U</td> <td>≤<input type="text"/>μg/gU</td> </tr> <tr> <td>⁹⁹Tc</td> <td>≤<input type="text"/>μg/gU</td> </tr> <tr> <td colspan="3">ただし、²³²U <<input type="text"/>μg/gUの場合、²³²U及び⁹⁹Tcは適用外</td> </tr> </tbody> </table>		項目	燃料集合体の形式	9×9燃料	種類	軽水炉(BWR)新燃料集合体 ¹⁾		性状	固体(二酸化ウラン粉末焼結体、又はガドリニア入り二酸化ウラン粉末焼結体)		輸送容器 ^{1) 基当たり}	収納体数(体)	10以下			収納物重量(kg)	<input type="text"/> 以下		放射能の量	総量(GBq)	<input type="text"/> 以下 (主要な核種の合計: <input type="text"/> 以下)		²³³ U	<input type="text"/>		²³⁴ U	<input type="text"/>		²³⁵ U	<input type="text"/>		²³⁸ U	<input type="text"/>		²³² Tc	<input type="text"/>		発熱量	該当せず(未使用)		濃縮度(wt%)			燃料集合体 ^{1) 体当たり}	重量	燃料集合体重量(kg) (ヤンセンボックスを含む)	<input type="text"/> 以下	二酸化ウラン重量(kg)	<input type="text"/> 以下	ウラン重量(kg)	<input type="text"/> 以下	燃焼度	該当せず(未使用)		冷却日数	該当せず(未使用)		濃縮ウラン中の不純物仕様	²³² U	≤ <input type="text"/> μg/gU	²³⁴ U	≤ <input type="text"/> μg/g ²³² U	²³⁸ U	≤ <input type="text"/> μg/gU	⁹⁹ Tc	≤ <input type="text"/> μg/gU	ただし、 ²³² U < <input type="text"/> μg/gUの場合、 ²³² U及び ⁹⁹ Tcは適用外			<p>(イ) 第A.1表 輸送容器に収納する核燃料物質の仕様</p> <table border="1"> <thead> <tr> <th>項目</th> <th>燃料集合体の形式</th> <th>9×9燃料</th> </tr> </thead> <tbody> <tr> <td>種類</td> <td colspan="2">軽水炉(BWR)新燃料集合体¹⁾</td> </tr> <tr> <td>性状</td> <td colspan="2">固体(二酸化ウラン粉末焼結体、又はガドリニア入り二酸化ウラン粉末焼結体)</td> </tr> <tr> <td>輸送容器^{1) 基当たり}</td> <td>収納物重量(kg)</td> <td><input type="text"/>以下</td> </tr> <tr> <td></td> <td>収納体数(体)</td> <td colspan="2">10以下</td> </tr> <tr> <td rowspan="7">放射能の量</td> <td>燃料集合体重量(kg) (ヤンセンボックスを含む)</td> <td colspan="2"><input type="text"/>以下</td> </tr> <tr> <td>主要な核種²⁾(GBq)</td> <td colspan="2"><input type="text"/>以下 (主要な核種の合計:<input type="text"/>以下)</td> </tr> <tr> <td>²³²U</td> <td colspan="2"><input type="text"/></td> </tr> <tr> <td>²³⁴U</td> <td colspan="2"><input type="text"/></td> </tr> <tr> <td>²³⁵U</td> <td colspan="2"><input type="text"/></td> </tr> <tr> <td>²³⁸U</td> <td colspan="2"><input type="text"/></td> </tr> <tr> <td>⁹⁹Tc</td> <td colspan="2"><input type="text"/></td> </tr> <tr> <td>発熱量</td> <td colspan="2">該当せず(未使用)</td> </tr> <tr> <td colspan="3">濃縮度(wt%)</td> </tr> <tr> <td rowspan="3">燃料集合体^{1) 体当たり}</td> <td rowspan="3">重量</td> <td>燃料集合体重量(kg) (ヤンセンボックスを含む)</td> <td><input type="text"/> 以下</td> </tr> <tr> <td>二酸化ウラン重量(kg)</td> <td><input type="text"/> 以下</td> </tr> <tr> <td>ウラン重量(kg)</td> <td><input type="text"/> 以下</td> </tr> <tr> <td>燃焼度</td> <td colspan="2">該当せず(未使用)</td> </tr> <tr> <td>冷却日数</td> <td colspan="2">該当せず(未使用)</td> </tr> <tr> <td rowspan="5">濃縮ウラン中の不純物仕様</td> <td>²³²U</td> <td>≤<input type="text"/>μg/gU</td> </tr> <tr> <td>²³⁴U</td> <td>≤<input type="text"/>μg/g²³²U</td> </tr> <tr> <td>²³⁸U</td> <td>≤<input type="text"/>μg/gU</td> </tr> <tr> <td>⁹⁹Tc</td> <td>≤<input type="text"/>μg/gU</td> </tr> <tr> <td colspan="3">ただし、²³²U <<input type="text"/>μg/gUの場合、²³²U及び⁹⁹Tcは適用外</td> </tr> </tbody> </table>	項目	燃料集合体の形式	9×9燃料	種類	軽水炉(BWR)新燃料集合体 ¹⁾		性状	固体(二酸化ウラン粉末焼結体、又はガドリニア入り二酸化ウラン粉末焼結体)		輸送容器 ^{1) 基当たり}	収納物重量(kg)	<input type="text"/> 以下		収納体数(体)	10以下		放射能の量	燃料集合体重量(kg) (ヤンセンボックスを含む)	<input type="text"/> 以下		主要な核種 ²⁾ (GBq)	<input type="text"/> 以下 (主要な核種の合計: <input type="text"/> 以下)		²³² U	<input type="text"/>		²³⁴ U	<input type="text"/>		²³⁵ U	<input type="text"/>		²³⁸ U	<input type="text"/>		⁹⁹ Tc	<input type="text"/>		発熱量	該当せず(未使用)		濃縮度(wt%)			燃料集合体 ^{1) 体当たり}	重量	燃料集合体重量(kg) (ヤンセンボックスを含む)	<input type="text"/> 以下	二酸化ウラン重量(kg)	<input type="text"/> 以下	ウラン重量(kg)	<input type="text"/> 以下	燃焼度	該当せず(未使用)		冷却日数	該当せず(未使用)		濃縮ウラン中の不純物仕様	²³² U	≤ <input type="text"/> μg/gU	²³⁴ U	≤ <input type="text"/> μg/g ²³² U	²³⁸ U	≤ <input type="text"/> μg/gU	⁹⁹ Tc	≤ <input type="text"/> μg/gU	ただし、 ²³² U < <input type="text"/> μg/gUの場合、 ²³² U及び ⁹⁹ Tcは適用外			<ul style="list-style-type: none"> 記載の適正化 (表記の一部見直し) 記載の適正化 (燃料集合体重量の明記) 記載の適正化 (収納物の追加に伴う記載の見直し)
項目	燃料集合体の形式	9×9燃料																																																																																																																																											
種類	軽水炉(BWR)新燃料集合体 ¹⁾																																																																																																																																												
性状	固体(二酸化ウラン粉末焼結体、又はガドリニア入り二酸化ウラン粉末焼結体)																																																																																																																																												
輸送容器 ^{1) 基当たり}	収納体数(体)	10以下																																																																																																																																											
	収納物重量(kg)	<input type="text"/> 以下																																																																																																																																											
放射能の量	総量(GBq)	<input type="text"/> 以下 (主要な核種の合計: <input type="text"/> 以下)																																																																																																																																											
	²³³ U	<input type="text"/>																																																																																																																																											
	²³⁴ U	<input type="text"/>																																																																																																																																											
	²³⁵ U	<input type="text"/>																																																																																																																																											
	²³⁸ U	<input type="text"/>																																																																																																																																											
	²³² Tc	<input type="text"/>																																																																																																																																											
	発熱量	該当せず(未使用)																																																																																																																																											
濃縮度(wt%)																																																																																																																																													
燃料集合体 ^{1) 体当たり}	重量	燃料集合体重量(kg) (ヤンセンボックスを含む)	<input type="text"/> 以下																																																																																																																																										
		二酸化ウラン重量(kg)	<input type="text"/> 以下																																																																																																																																										
		ウラン重量(kg)	<input type="text"/> 以下																																																																																																																																										
燃焼度	該当せず(未使用)																																																																																																																																												
冷却日数	該当せず(未使用)																																																																																																																																												
濃縮ウラン中の不純物仕様	²³² U	≤ <input type="text"/> μg/gU																																																																																																																																											
	²³⁴ U	≤ <input type="text"/> μg/g ²³² U																																																																																																																																											
	²³⁸ U	≤ <input type="text"/> μg/gU																																																																																																																																											
	⁹⁹ Tc	≤ <input type="text"/> μg/gU																																																																																																																																											
	ただし、 ²³² U < <input type="text"/> μg/gUの場合、 ²³² U及び ⁹⁹ Tcは適用外																																																																																																																																												
項目	燃料集合体の形式	9×9燃料																																																																																																																																											
種類	軽水炉(BWR)新燃料集合体 ¹⁾																																																																																																																																												
性状	固体(二酸化ウラン粉末焼結体、又はガドリニア入り二酸化ウラン粉末焼結体)																																																																																																																																												
輸送容器 ^{1) 基当たり}	収納物重量(kg)	<input type="text"/> 以下																																																																																																																																											
	収納体数(体)	10以下																																																																																																																																											
放射能の量	燃料集合体重量(kg) (ヤンセンボックスを含む)	<input type="text"/> 以下																																																																																																																																											
	主要な核種 ²⁾ (GBq)	<input type="text"/> 以下 (主要な核種の合計: <input type="text"/> 以下)																																																																																																																																											
	²³² U	<input type="text"/>																																																																																																																																											
	²³⁴ U	<input type="text"/>																																																																																																																																											
	²³⁵ U	<input type="text"/>																																																																																																																																											
	²³⁸ U	<input type="text"/>																																																																																																																																											
	⁹⁹ Tc	<input type="text"/>																																																																																																																																											
発熱量	該当せず(未使用)																																																																																																																																												
濃縮度(wt%)																																																																																																																																													
燃料集合体 ^{1) 体当たり}	重量	燃料集合体重量(kg) (ヤンセンボックスを含む)	<input type="text"/> 以下																																																																																																																																										
		二酸化ウラン重量(kg)	<input type="text"/> 以下																																																																																																																																										
		ウラン重量(kg)	<input type="text"/> 以下																																																																																																																																										
燃焼度	該当せず(未使用)																																																																																																																																												
冷却日数	該当せず(未使用)																																																																																																																																												
濃縮ウラン中の不純物仕様	²³² U	≤ <input type="text"/> μg/gU																																																																																																																																											
	²³⁴ U	≤ <input type="text"/> μg/g ²³² U																																																																																																																																											
	²³⁸ U	≤ <input type="text"/> μg/gU																																																																																																																																											
	⁹⁹ Tc	≤ <input type="text"/> μg/gU																																																																																																																																											
	ただし、 ²³² U < <input type="text"/> μg/gUの場合、 ²³² U及び ⁹⁹ Tcは適用外																																																																																																																																												

注1) 使用済燃料プールに保管されていた未使用的燃料集合体

注2) 濃縮度が5.0 wt%の場合

(イ)-A-2

(イ)-A-2

注1) 使用済み燃料プールに保管されていた未使用的燃料集合体

注2) 収納缶の重量を含む

注3) 濃縮度が5.0 wt%の場合

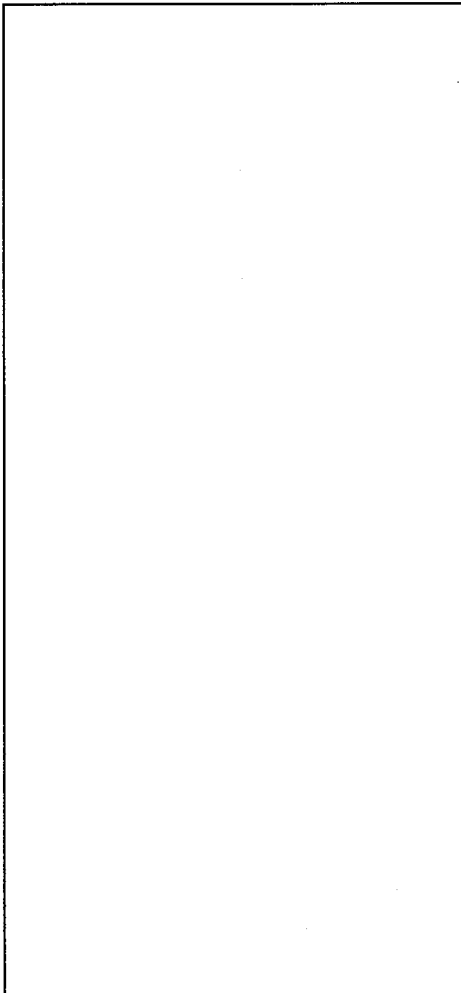
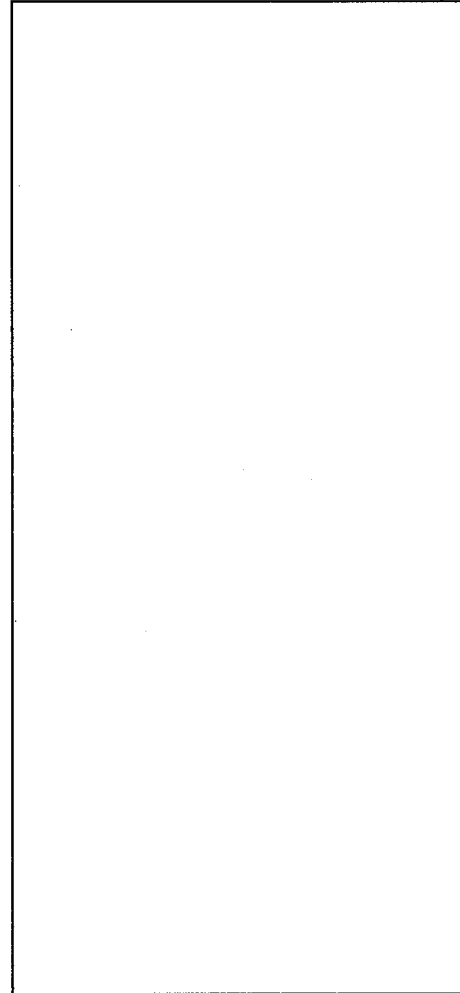
核燃料輸送物設計変更承認申請に係る変更前後表

前回申請書 (平成 30 年 8 月 17 日付三原燃第 18-393 号をもって申請 (平成 31 年 2 月 5 日付三原燃第 18-1013 号をもって一部補正))	今回の核燃料輸送物設計変更承認申請	備考
<p>(イ)－B 輸送物の種類 A型核分裂性輸送物</p> <p>輸送物の種類に関する補足説明をイ章 付属書類－1 に示す。</p> <p>(イ)－B－1</p>	<p>(イ)－B 輸送物の種類 A型核分裂性輸送物</p> <p>輸送物の種類に関する補足説明を■章 付属書類－1 に示す。</p> <p>(イ)－B－1</p>	<ul style="list-style-type: none"> 記載要領の変更に伴う記載の見直し

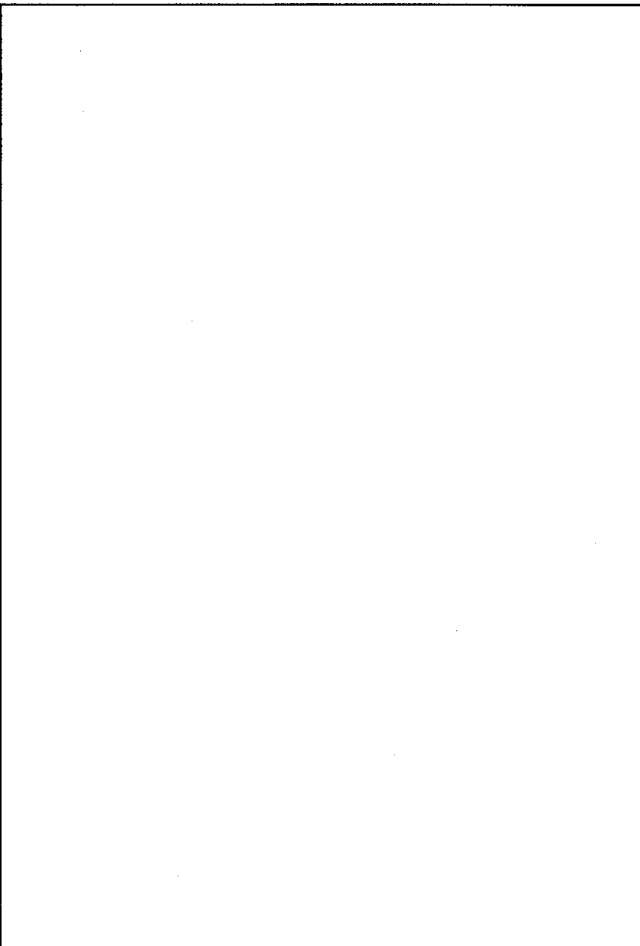
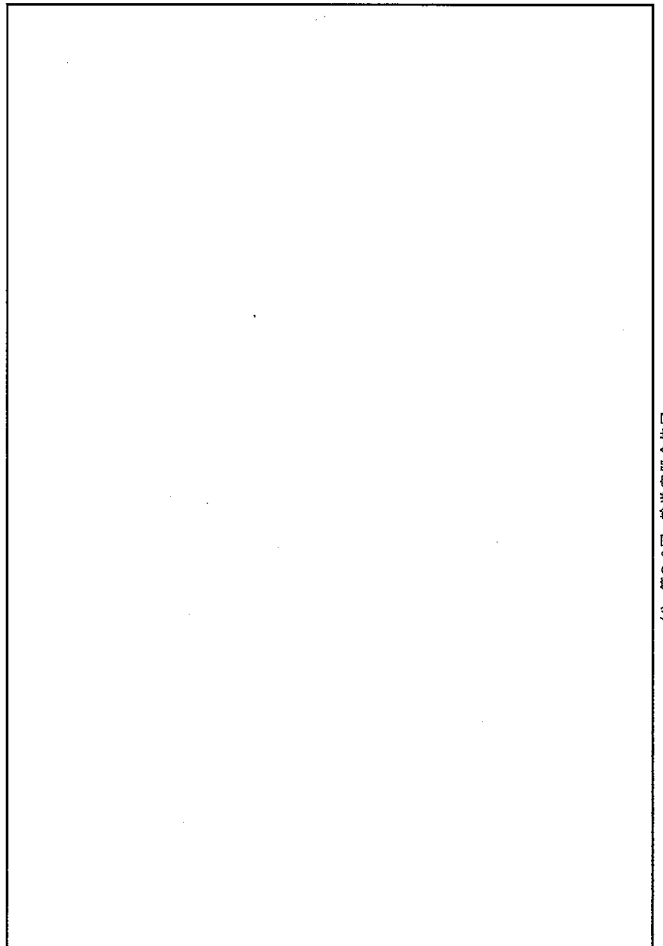
核燃料輸送物設計変更承認申請に係る変更前後表

前回申請書 (平成 30 年 8 月 17 日付三原燃第 18-393 号をもって申請 (平成 31 年 2 月 5 日付三原燃第 18-1013 号をもって一部補正))	今回の核燃料輸送物設計変更承認申請	備考
<p>(イ)－C 輸送容器</p> <p>C.1 設計の概要</p> <p>本輸送容器は、円筒形状であり、輸送中には(イ)－第C.1 図に示すように、海上コンテナに収納され、固脚装置となる輸送台架により横置き状態に保持される。</p> <p>輸送容器全体図を(イ)－第C.2 図に、輸送容器縦断面図を(イ)－第C.3 図に示す。</p> <p>輸送容器の概要是次のとおりである。</p> <ul style="list-style-type: none"> ・ 輸送容器の取扱いは、本体に取付けられたトラン ion 又はハンドリングベルトを使用して行われる。 ・ 落下等による衝撃を緩和するため、輸送容器の前部及び後部に衝撃吸収カバーが取付けられている。 ・ 輸送容器は、密封機能を有する構造となっている。密封境界は、(イ)－第C.4 図に示すように、肩部内面、底板内面、蓋板内面、蓋板ガスケット、クイックコネクションカバー内面及びクイックコネクションカバーガスケットである。 ・ 主要な遮蔽材は、輸送容器を構成するステンレス鋼、チタン合金、アルミニウム合金並びにレジンである。 ・ 燃料集合体を輸送容器内部に収納するためのバスケットには、中性子吸収材としてボロン入りステンレス鋼が用いられている。 ・ 輸送容器の表面は、滑らかに仕上げられており、放射性物質によって汚染された場合に、汚染の除去が容易にできる構造となっている。 <p>(イ)－C－1</p>	<p>(イ)－C 輸送容器</p> <p>C.1 設計の概要</p> <p>本輸送容器は、円筒形状であり、輸送中には(イ)－第C.1 図に示すように、海上コンテナに収納され、固脚装置となる輸送台架により横置き状態に保持される。</p> <p>輸送容器全体図を(イ)－第C.2 図に、輸送容器縦断面図を(イ)－第C.3 図に示す。</p> <p>輸送容器の概要是次のとおりである。</p> <ul style="list-style-type: none"> ・ 輸送容器の取扱いは、本体に取付けられたトラン ion 又はハンドリングベルトを使用して行われる。 ・ 落下等による衝撃を緩和するため、輸送容器の前部及び後部に衝撃吸収カバーが取付けられている。 ・ 輸送容器は、密封機能を有する構造となっている。密封境界は、(イ)－第C.4 図に示すように、肩部内面、底板内面、蓋板内面、蓋板ガスケット、クイックコネクションカバー内面及びクイックコネクションカバーガスケットである。 ・ 主要な遮蔽材は、輸送容器を構成するステンレス鋼、チタン合金、アルミニウム合金並びにレジンである。 ・ 燃料集合体を輸送容器内部に収納するためのバスケットには、中性子吸収材としてボロン入りステンレス鋼が用いられている。 ・ 輸送容器の表面は、滑らかに仕上げられており、放射性物質によって汚染された場合に、汚染の除去が容易にできる構造となっている。 <p>(イ)－C－1</p>	一

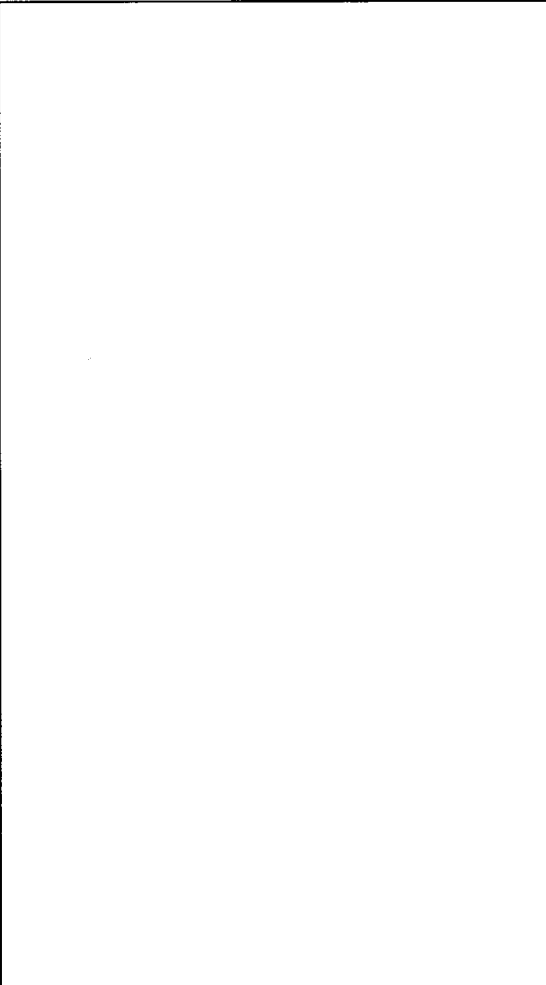
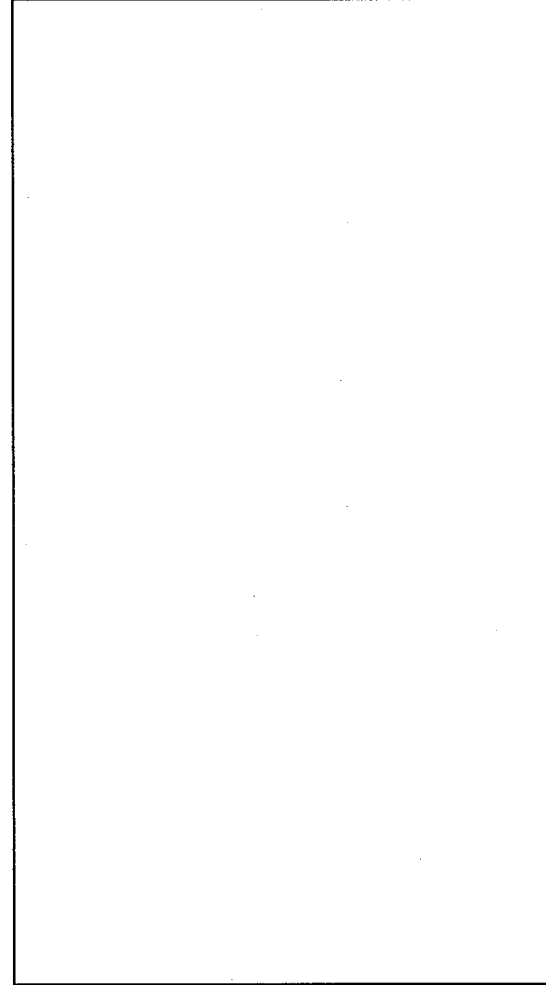
核燃料輸送物設計変更承認申請に係る変更前後表

前回申請書 (平成 30 年 8 月 17 日付三原燃第 18-393 号をもって申請 (平成 31 年 2 月 5 日付三原燃第 18-1013 号をもって一部補正))	今回の核燃料輸送物設計変更承認申請	備考
 <p>(単位 : mm)</p> <p>(イ)一第C.1図 輸送物荷姿図の例</p> <p>(イ) - C - 2</p>	 <p>(単位 : mm)</p> <p>(イ)一第C.1図 輸送物荷姿図の例</p> <p>(イ) - C - 2</p>	

核燃料輸送物設計変更承認申請に係る変更前後表

前回申請書 (平成 30 年 8 月 17 日付三原燃第 18-393 号をもって申請 (平成 31 年 2 月 5 日付三原燃第 18-1013 号をもって一部補正))	今回の核燃料輸送物設計変更承認申請	備考
 <p>(i)-C-3</p>	 <p>(i)-C-2</p>	<ul style="list-style-type: none">記載の適正化 (不要部品の削除)

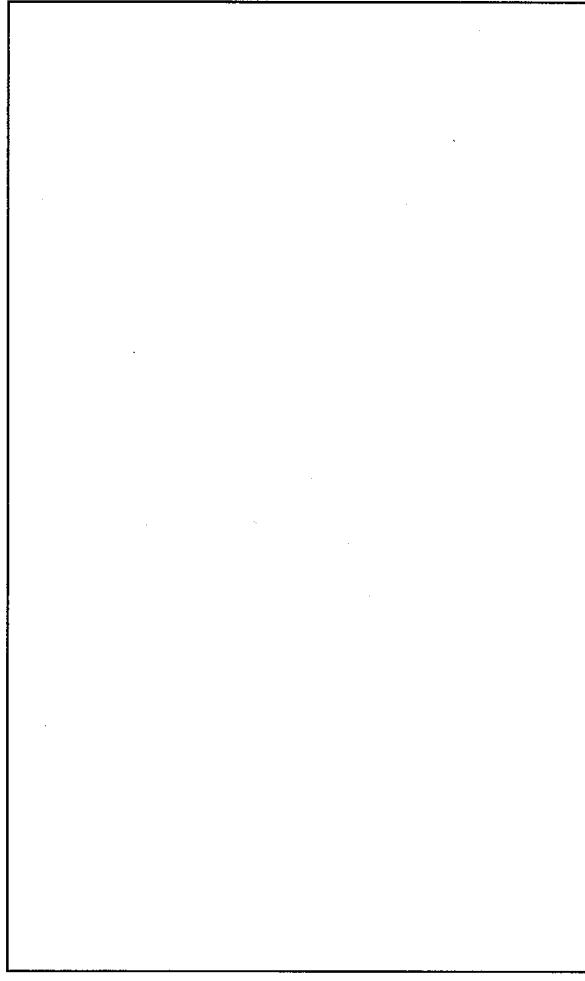
核燃料輸送物設計変更承認申請に係る変更前後表

前回申請書 (平成 30 年 8 月 17 日付三原燃第 18-393 号をもって申請 (平成 31 年 2 月 5 日付三原燃第 18-1013 号をもって一部補正))	今回の核燃料輸送物設計変更承認申請	備考
 <small>(f)-第C.3図 輸送容器縦断面図</small>	 <small>(f)-第C.3図 輸送容器縦断面図</small>	<ul style="list-style-type: none">記載の適正化 (不要部品の削除)

(f)-C-4

(f)-C-4

核燃料輸送物設計変更承認申請に係る変更前後表

前回申請書 (平成 30 年 8 月 17 日付三原燃第 18-393 号をもって申請 (平成 31 年 2 月 5 日付三原燃第 18-1013 号をもって一部補正))	今回の核燃料輸送物設計変更承認申請	備考
 <small>(イ)一第C.4図 輸送容器の密封境界</small>	 <small>(イ)一第C.4図 輸送容器の密封境界</small>	

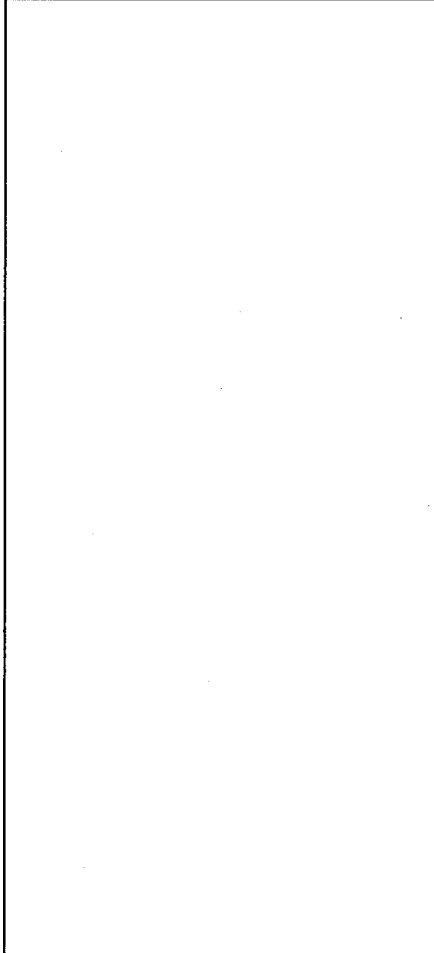
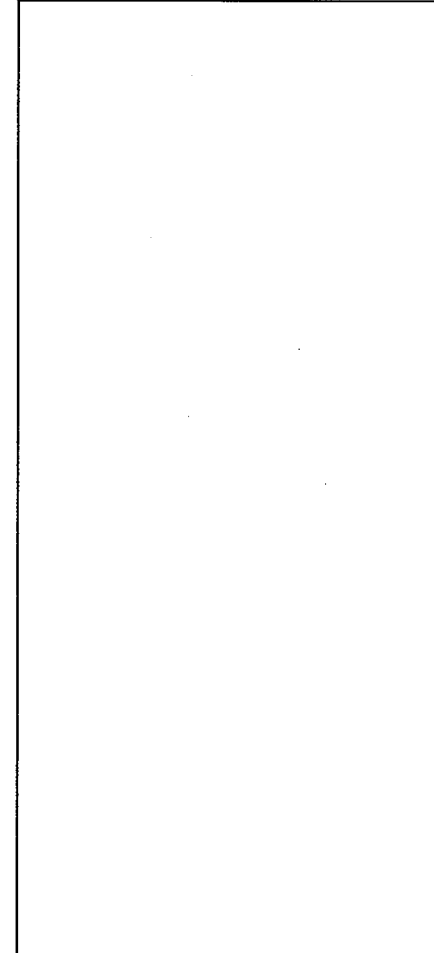
(イ)-C-5

(イ)-C-5

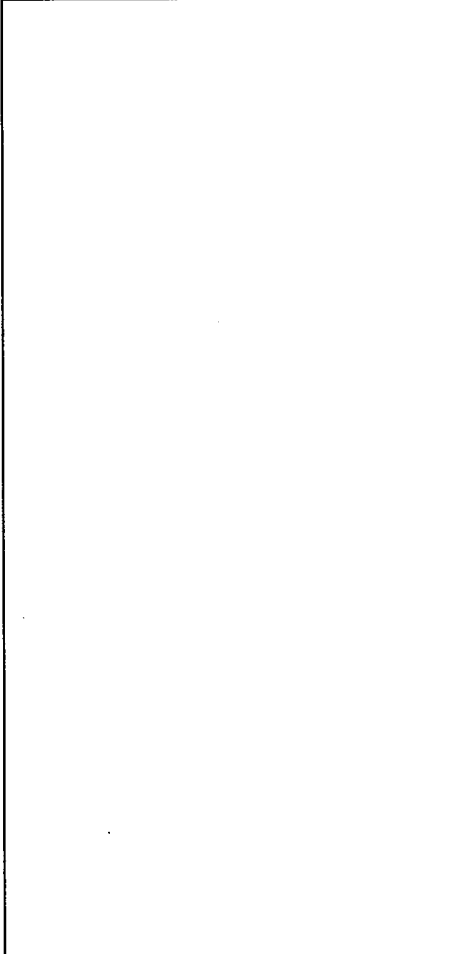
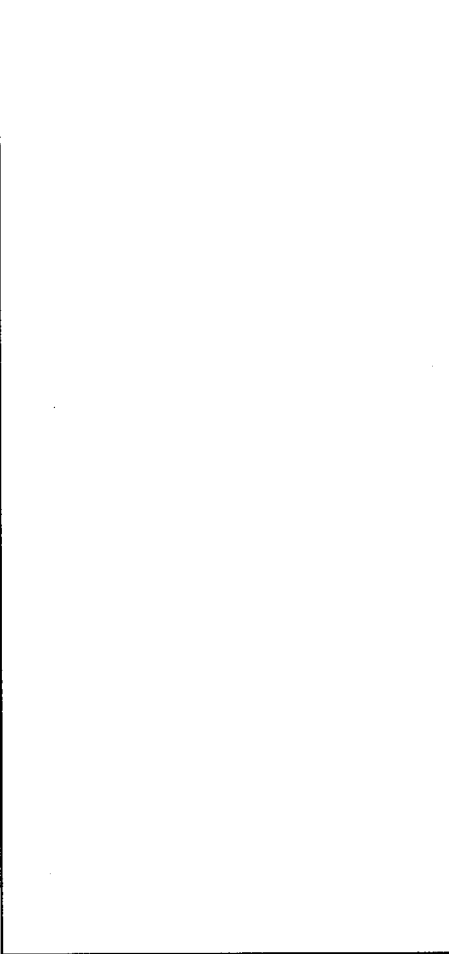
核燃料輸送物設計変更承認申請に係る変更前後表

前回申請書 (平成 30 年 8 月 17 日付三原燃第 18-393 号をもって申請 (平成 31 年 2 月 5 日付三原燃第 18-1013 号をもって一部補正))	今回の核燃料輸送物設計変更承認申請	備考
<p>C.2 構造</p> <p>輸送容器は、本体、蓋部、バスケット並びに前部及び後部に取付けられる衝撃吸収カバーの 4 つの主要部から構成されている。</p> <p>(1) 本体</p> <p>本体は胴部及び底部により構成されている。本体の縦断面、端面形状、横断面、トラニオン並びにハンドリングベルトの構造を (イ) 第 C.5 図～(ロ) 第 C.9 図に示す。</p> <p>胴部は、厚さ □ mm の円筒形状の内筒、内筒の外周に放射状に取付けられた □ 枚の厚さ □ mm の胴ガセット、胴ガセットを挟むように取付けられた □ 枚の厚さ □ mm の胴外板、蓋板及び前部衝撃吸収カバーの取付け面とトラニオンの取付け座を有する上部フランジ及び後部衝撃吸収カバーの取付け面とトラニオンの取付け座を有する厚さ □ mm の底板により構成されており、これらの材料にはステンレス鋼が採用されている。</p> <p>内筒は、 [REDACTED] [REDACTED] 内筒と上部フランジ並びに 底板は、 [REDACTED] 胴ガセットと内筒、胴ガセットと胴外板、胴外板間、胴外板と上部フランジ並びに 底板は、それぞれ [REDACTED] 内筒と胴ガセットと胴外板で囲まれた領域には胴部レジンが充填される。また、この 領域には、 [REDACTED] 胴外板の上端部には、火災時における上部フランジへの入熱を防ぐために、前部衝 撃吸収カバーと胴外板との隙間部分に、ステンレス鋼板に □ 材を充填した断熱カ バーが取付けられる。また、胴外板には内筒と胴外板間の領域の圧力を調整するため の圧力調整バルブ及び事故時の圧力開放用の可融栓が設けられている。さらに、胴外 板の外面には、ハンドリングベルトの取付け位置を規定するための位置決めピンが設 けられている。 底部は、底板と厚さ □ mm の底部レジン及びステンレス鋼板の底部レジンカバーによ り構成されている。 トラニオンは、ステンレス鋼製で上部フランジに 4 個、底板に 2 個、各々 □ 本の □ のトラニオン取付けボルトにより取付けられ、立起こし（横倒し）及び垂直（水平）吊り 操作に用いられる。 ハンドリングベルトは、断面外形が □ のリング形状をしており、胴 部の前部と後部にライナーを介して取付けられ、衝撃吸収カバーを装着した時の水平 吊り操作に用いられる。</p> <p style="text-align: center;">(イ) - C - 6</p>	<p>C.2 構造</p> <p>輸送容器は、本体、蓋部、バスケット並びに前部及び後部に取付けられる衝撃吸収カバーの 4 つの主要部から構成されている。</p> <p>(1) 本体</p> <p>本体は胴部及び底部により構成されている。本体の縦断面、端面形状、横断面、トラニオン並びにハンドリングベルトの構造を (イ) 第 C.5 図～(ロ) 第 C.9 図に示す。</p> <p>胴部は、厚さ □ mm の円筒形状の内筒、内筒の外周に放射状に取付けられた □ 枚の厚さ □ mm の胴ガセット、胴ガセットを挟むように取付けられた □ 枚の厚さ □ mm の胴外板、蓋板及び前部衝撃吸収カバーの取付け面とトラニオンの取付け座を有する上部フランジ及び後部衝撃吸収カバーの取付け面とトラニオンの取付け座を有する厚さ □ mm の底板により構成されており、これらの材料にはステンレス鋼が採用されている。</p> <p>内筒は、 [REDACTED] [REDACTED] 内筒と上部フランジ並びに底板 は、 [REDACTED] 胴ガセットと内筒、胴ガセットと胴外板、胴外板間、胴外板と上部フランジ並びに底 板は、それぞれ [REDACTED] 内筒と胴ガセットと胴外板で囲まれた領域には胴部レジンが充填される。また、この 領域には、 [REDACTED] 胴外板の上端部には、火災時における上部フランジへの入熱を防ぐために、前部衝 撃吸収カバーと胴外板との隙間部分に、ステンレス鋼板に □ 材を充填した断熱カバー が取付けられる。また、胴外板には内筒と胴外板間の領域の圧力を調整するための圧力 調整バルブ及び事故時の圧力開放用の可融栓が設けられている。さらに、胴外板の外面 には、ハンドリングベルトの取付け位置を規定するための位置決めピンが設けられてい る。 底部は、底板と厚さ □ mm の底部レジン及びステンレス鋼板の底部レジンカバーによ り構成されている。 トラニオンは、ステンレス鋼製で上部フランジに 4 個、底板に 2 個、各々 □ 本の □ のトラニオン取付けボルトにより取付けられ、立起こし（横倒し）及び垂直（水平）吊り操作 に用いられる。 ハンドリングベルトは、断面外形が □ のリング形状をしており、胴 部の前部と後部にライナーを介して取付けられ、衝撃吸収カバーを装着した時の水平吊 り操作に用いられる。</p> <p style="text-align: center;">(イ) - C - 6</p>	

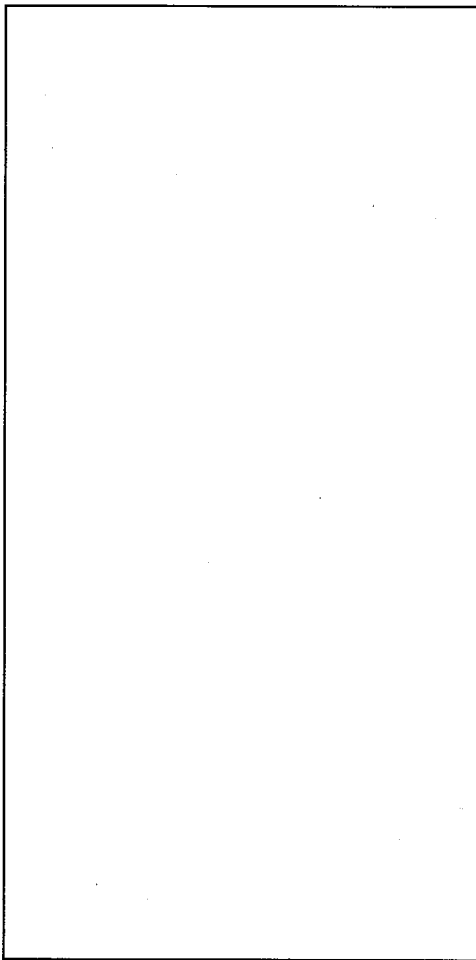
核燃料輸送物設計変更承認申請に係る変更前後表

前回申請書 (平成 30 年 8 月 17 日付三原燃第 18-393 号をもって申請 (平成 31 年 2 月 5 日付三原燃第 18-1013 号をもって一部補正))	今回の核燃料輸送物設計変更承認申請	備考
 <p>(I-C-7)</p> <p>(単位 : mm)</p> <p>* (I)-第C.5図 本体断面図</p>	 <p>(I-C-7)</p> <p>(単位 : mm)</p> <p>* (I)-第C.6図 本体断面図</p>	-

核燃料輸送物設計変更承認申請に係る変更前後表

前回申請書 (平成 30 年 8 月 17 日付三原燃第 18-393 号をもって申請 (平成 31 年 2 月 5 日付三原燃第 18-1013 号をもって一部補正))	今回の核燃料輸送物設計変更承認申請	備考
 <p>(d) - C - 8</p> <p>(単位 : mm)</p> <p>* (d) - 第 C. 5 図参照</p> <p>(d) - 第 C. 6 図 本体端面形状図</p>	 <p>(d) - C - 8</p> <p>(単位 : mm)</p> <p>* (d) - 第 C. 5 図参照</p> <p>(d) - 第 C. 6 図 本体端面形状図</p>	-

核燃料輸送物設計変更承認申請に係る変更前後表

前回申請書 (平成 30 年 8 月 17 日付三原燃第 18-393 号をもって申請 (平成 31 年 2 月 5 日付三原燃第 18-1013 号をもって一部補正))	今回の核燃料輸送物設計変更承認申請	備考
 <p>(i) - 第 C. 7 図 本体横断面図</p> <p>* (i) - 第 C. 5 図参照</p>	 <p>(i) - 第 C. 7 図 本体横断面図</p> <p>* (i) - 第 C. 5 図参照</p>	1

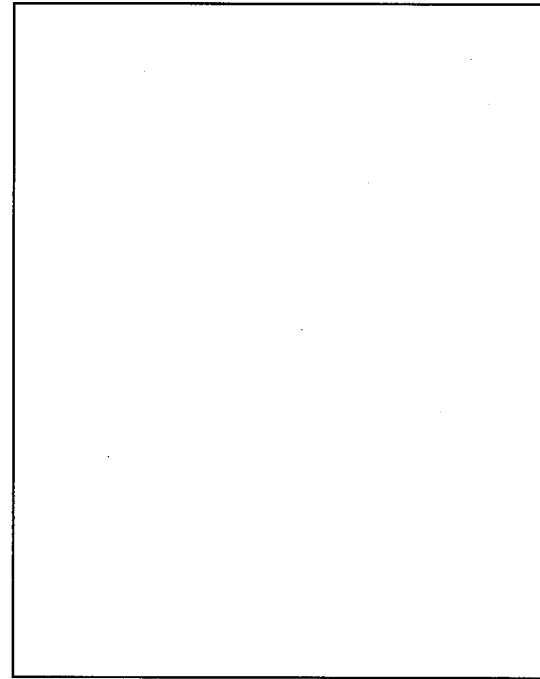
(i) - C - 9

(i) - C - 9

核燃料輸送物設計変更承認申請に係る変更前後表

前回申請書 (平成 30 年 8 月 17 日付三原燃第 18-393 号をもって申請 (平成 31 年 2 月 5 日付三原燃第 18-1013 号をもって一部補正))	今回の核燃料輸送物設計変更承認申請	備考
<p>(単位 : mm)</p> <p>(i) 第 C.8 図 トランシオン構造図</p> <p>(i) - C - 10</p>	<p>(単位 : mm)</p> <p>(i) 第 C.6 図 トランシオン構造図</p> <p>(i) - C - 10</p>	<p>-</p>

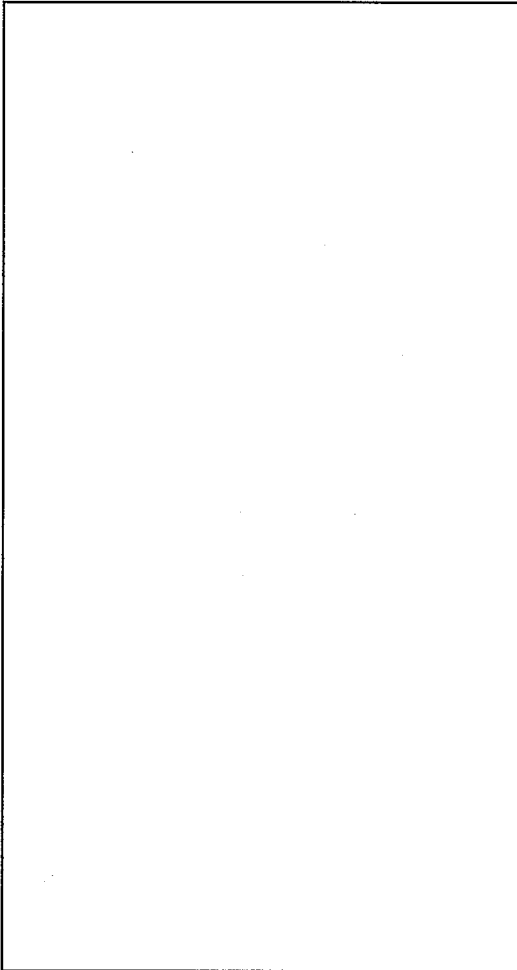
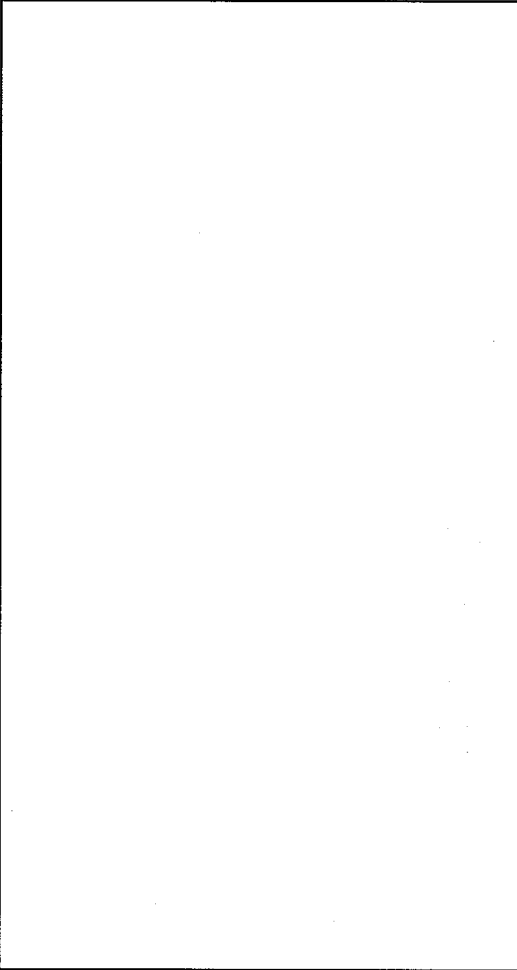
核燃料輸送物設計変更承認申請に係る変更前後表

前回申請書 (平成 30 年 8 月 17 日付三原燃第 18-393 号をもって申請 (平成 31 年 2 月 5 日付三原燃第 18-1013 号をもって一部補正))	今回の核燃料輸送物設計変更承認申請	備考
<p>(図 : mm)</p>  <p>(C-9 図 ハンドリンクベルト構造図)</p> <p>(図 : mm)</p>  <p>(C-10 図 ハンドリンクベルト構造図)</p> <p>(C-C-11)</p>		

核燃料輸送物設計変更承認申請に係る変更前後表

前回申請書 (平成 30 年 8 月 17 日付三原燃第 18-393 号をもって申請 (平成 31 年 2 月 5 日付三原燃第 18-1013 号をもって一部補正))	今回の核燃料輸送物設計変更承認申請 .	備考
<p>(2) 蓋 部</p> <p>蓋部は、蓋板、蓋部レジン及び蓋部レジンカバーにより構成される。蓋部の構造を <u>(1)</u> 第 C.10 図に示す。</p> <p>蓋板は、チタン合金製で中央部の厚さが <u>□</u> mm、周辺フランジ部の厚さが <u>□</u> mm の円板形状をしており、<u>□</u> 本の <u>□</u> の蓋板締付けボルトにより上部フランジに取付けられる。^⑩ 蓋板の上部フランジとの接合面には二重のガスケット溝が設けられ、O リング状の EPDM 製ガスケット（蓋板ガスケット）が取付けられており、この接合面の密封性が確保される。</p> <p><u>□</u> 方向にはクイックコネクションが設置されており、輸送容器の内部ガスのサンプリング等が行えるようになっている。このクイックコネクションは、ステンレス鋼製のクイックコネクションカバーにより保護される。クイックコネクションカバーは、<u>□</u> 本の <u>□</u> のボルトにより蓋板に取付けられる。クイックコネクションカバーの蓋板との接合面には二重のガスケット溝が設けられ、O リング状の EPDM 製ガスケット（クイックコネクションカバーガスケット）が取付けられており、この接合面の密封性が確保される。</p> <p>蓋板ガスケットとクイックコネクションカバーガスケットに対する気密漏えい検査が行えるように、二重のガスケットの中間部に通じるテスト孔が、蓋板とクイックコネクションカバーにそれぞれ設けられており、検査用ツールの接続部にはテストプラグが取り付けられている。</p> <p><u>□</u> が <u>□</u> に より取付けられる。</p> <hr/> <p>注 1) 前項で説明した本体に蓋部を取り付けた形態を「容器本体」と称し、ロ章以降において解析対象等の名称として適宜用いる。</p> <p>(1) - C - 12</p>	<p>(2) 蓋 部</p> <p>蓋部は、蓋板、蓋部レジン及び蓋部レジンカバーにより構成される。蓋部の構造を <u>(1)</u> 第 C.10 図に示す。</p> <p>蓋板は、チタン合金製で中央部の厚さが <u>□</u> mm、周辺フランジ部の厚さが <u>□</u> mm の円板形状をしており、<u>□</u> 本の <u>□</u> の蓋板締付けボルトにより上部フランジに取付けられる。^⑩ 蓋板の上部フランジとの接合面には二重のガスケット溝が設けられ、O リング状の EPDM 製ガスケット（蓋板ガスケット）が取付けられており、この接合面の密封性が確保される。</p> <p><u>□</u> 方向にはクイックコネクションが設置されており、輸送容器の内部ガスのサンプリング等が行えるようになっている。このクイックコネクションは、ステンレス鋼製のクイックコネクションカバーにより保護される。クイックコネクションカバーは、<u>□</u> 本の <u>□</u> のボルトにより蓋板に取付けられる。クイックコネクションカバーの蓋板との接合面には二重のガスケット溝が設けられ、O リング状の EPDM 製ガスケット（クイックコネクションカバーガスケット）が取付けられており、この接合面の密封性が確保される。</p> <p>蓋板ガスケットとクイックコネクションカバーガスケットに対する気密漏えい検査が行えるように、二重のガスケットの中間部に通じるテスト孔が、蓋板とクイックコネクションカバーにそれぞれ設けられており、検査用ツールの接続部にはテストプラグが <u>□</u> に設けられている。</p> <p><u>□</u> が <u>□</u> に より取付けられる。</p> <hr/> <p>注 1) 前項で説明した本体に蓋部を取り付けた形態を「容器本体」と称し、<u>(1)</u> 章以降において解析対象等の名称として適宜用いる。</p> <p>(1) - C - 12</p>	<ul style="list-style-type: none"> 記載の適正化

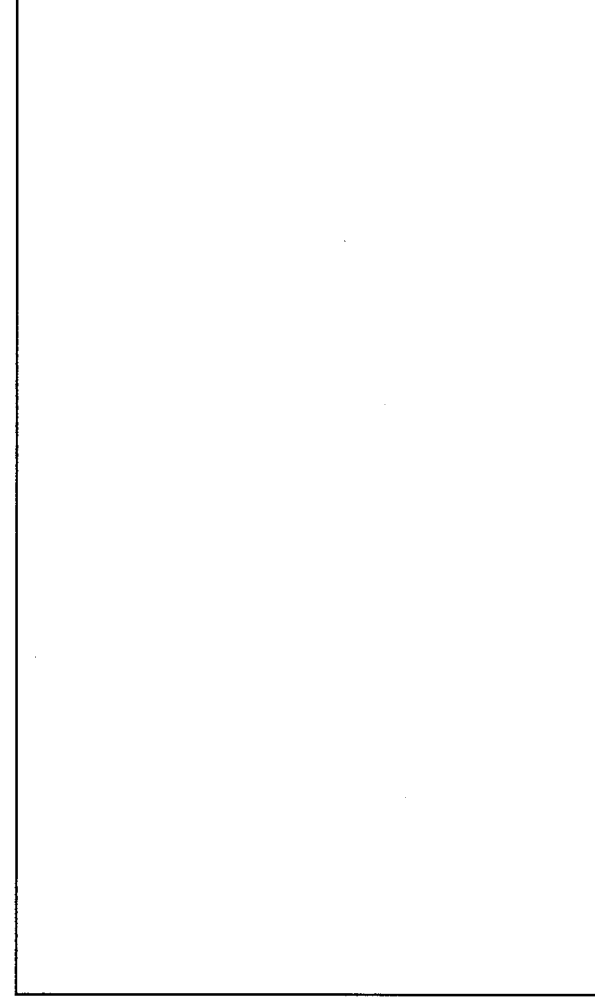
核燃料輸送物設計変更承認申請に係る変更前後表

前回申請書 (平成 30 年 8 月 17 日付三原燃第 18-393 号をもって申請 (平成 31 年 2 月 5 日付三原燃第 18-1013 号をもって一部補正))	今回の核燃料輸送物設計変更承認申請	備考
 <p>(4)-C-13</p> <p>(4)-第 C.10 図 底部構造図</p>	 <p>(4)-C-13</p> <p>(4)-第 C.10 図 顶部構造図</p>	

核燃料輸送物設計変更承認申請に係る変更前後表

前回申請書 (平成 30 年 8 月 17 日付三原燃第 18-393 号をもって申請 (平成 31 年 2 月 5 日付三原燃第 18-1013 号をもって一部補正))	今回の核燃料輸送物設計変更承認申請	備考
<p>(3) バスケット</p> <p>バスケットは、主に厚さ□mm のアルミニウム合金製の円板 (□□□□□) と燃料を収納するボロン入りステンレス鋼製のロジメントから構成されている。バスケットの構造を (4)-第C-11 図に示す。</p> <p>ロジメントは、厚さ□mm の板を□□□組立てており、内法が□□mm × □□mm の矩形のパイプ形状をしている。</p> <p>□□□□□には、ロジメントを通して 10 個の孔が設けてあり、軸方向に□□□に配置される。□□□□□は、直径□mm の□本の□□□によって、互いに軸方向に締結される。</p> <p>ロジメントは、□□□□□と断面方向に固定される。</p> <p>バスケットの軸方向位置を調整するために、アルミニウム合金製の円板と□□□及び□□□により構成されるバスケットサポートが底部に設けられている。</p> <p>アルミプレート外周に設置されるアルミスペーサーには遮蔽性能を補強するために厚さ□mm のアルミニウム合金製の追加遮蔽板が□□□□□取付けられる。</p> <p>□□□□□</p> <p>また、バスケット全体は□□□□□と締結される。</p>	<p>(3) バスケット</p> <p>バスケットは、主に厚さ□mm のアルミニウム合金製の円板 (□□□□□) と燃料を収納するボロン入りステンレス鋼製のロジメントから構成されている。バスケットの構造を (4)-第C-11 図に示す。</p> <p>ロジメントは、厚さ□mm の板を□□□組立てしており、内法が□□mm × □□mm の矩形のパイプ形状をしている。</p> <p>□□□□□には、ロジメントを通して 10 個の孔が設けてあり、軸方向に□□□に配置される。□□□□□は、直径□mm の□本の□□□によって、互いに軸方向に締結される。</p> <p>ロジメントは、□□□□□と断面方向に固定される。</p> <p>バスケットの軸方向位置を調整するために、アルミニウム合金製の円板と□□□及び□□□により構成されるバスケットサポートが底部に設けられている。</p> <p>□□□□□外周に設置されるアルミスペーサーには遮蔽性能を補強するために厚さ□mm のアルミニウム合金製の追加遮蔽板が□□□□□取付けられる。</p> <p>□□□□□</p> <p>また、バスケット全体は□□□□□と締結される。</p>	

核燃料輸送物設計変更承認申請に係る変更前後表

前回申請書 (平成 30 年 8 月 17 日付三原燃第 18-393 号をもって申請 (平成 31 年 2 月 5 日付三原燃第 18-1013 号をもって一部補正))	今回の核燃料輸送物設計変更承認申請	備考
<p>(④) - 第 C.11 図 バスケット構造図</p> <p>(単位 : mm)</p>  <p>(④) - C - 15</p>	<p>(④) - 第 C.11 図 バスケット構造図</p> <p>(単位 : mm)</p>  <p>(④) - C - 15</p>	<ul style="list-style-type: none">・記載の適正化 (不要部品の削除)

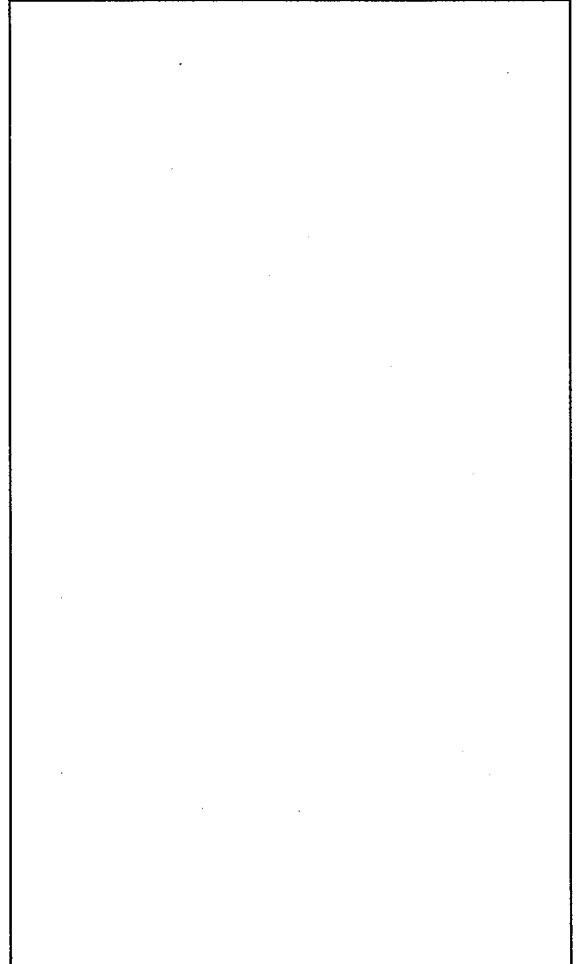
核燃料輸送物設計変更承認申請に係る変更前後表

前回申請書	今回の核燃料輸送物設計変更承認申請	備考
<p>(平成 30 年 8 月 17 日付三原燃第 18-393 号をもって申請 (平成 31 年 2 月 5 日付三原燃第 18-1013 号をもって一部補正))</p> <p>(4) 衝撃吸収カバー</p> <p>衝撃吸収カバーは、厚さ [] mm のステンレス鋼製の外板及び [] 、その構造物の内側には緩衝材である [] 材が充填される。前部及び後部衝撃吸収カバーの構造を (I)- 第 C. 12 図及び (I)- 第 C. 13 図に示す。</p> <p>前部と後部の衝撃吸収カバーはほぼ同じ寸法形状をしており、前部衝撃吸収カバーは、上部フランジに、後部衝撃吸収カバーは底板にそれぞれ [] 本の [] の締付けボルトで取付けられる。[]</p> <p>衝撃吸収カバーはトランイオンに被さるように取付けられるため、内側はトランイオンの位置に相当する部分を切り欠いた形状となっている。</p> <p>[] [] []</p> <p>前部及び後部衝撃吸収カバーの外周面には、取扱い用の吊上げラグ及び単体で仮置きするための脚が設けられている。</p>	<p>(4) 衝撃吸収カバー</p> <p>衝撃吸収カバーは、厚さ [] mm のステンレス鋼製の外板及び [] 、その構造物の内側には緩衝材である [] 材が充填される。前部及び後部衝撃吸収カバーの構造を (I)- 第 C. 12 図及び (I)- 第 C. 13 図に示す。</p> <p>前部と後部の衝撃吸収カバーはほぼ同じ寸法形状をしており、前部衝撃吸収カバーは上部フランジに、後部衝撃吸収カバーは底板にそれぞれ [] 本の [] の締付けボルトで取付けられる。[]</p> <p>衝撃吸収カバーはトランイオンに被さるように取付けられるため、内側はトランイオンの位置に相当する部分を切り欠いた形状となっている。</p> <p>[] [] []</p> <p>前部及び後部衝撃吸収カバーの外周面には、取扱い用の吊上げラグ及び単体で仮置きするための脚が設けられている。</p>	<p>・記載の適正化</p>

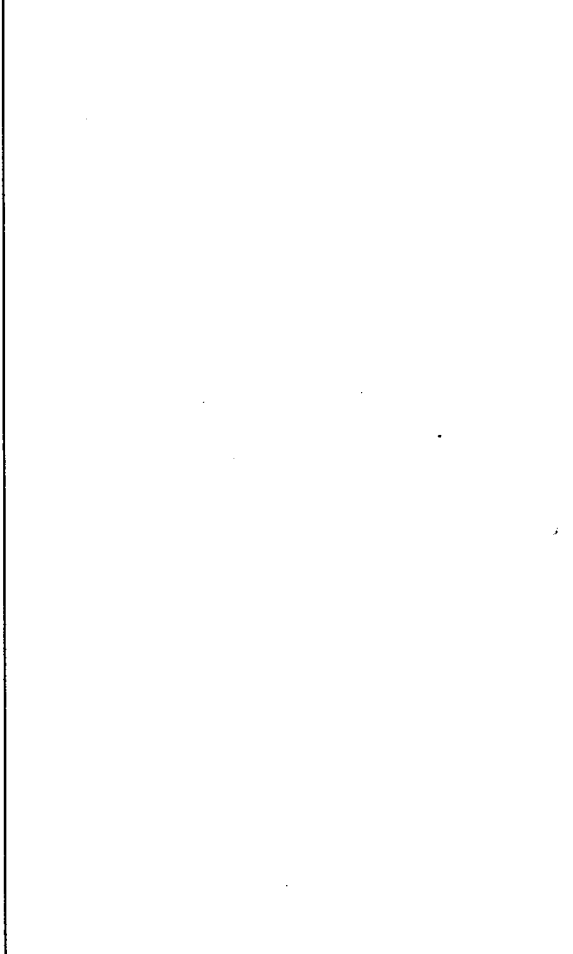
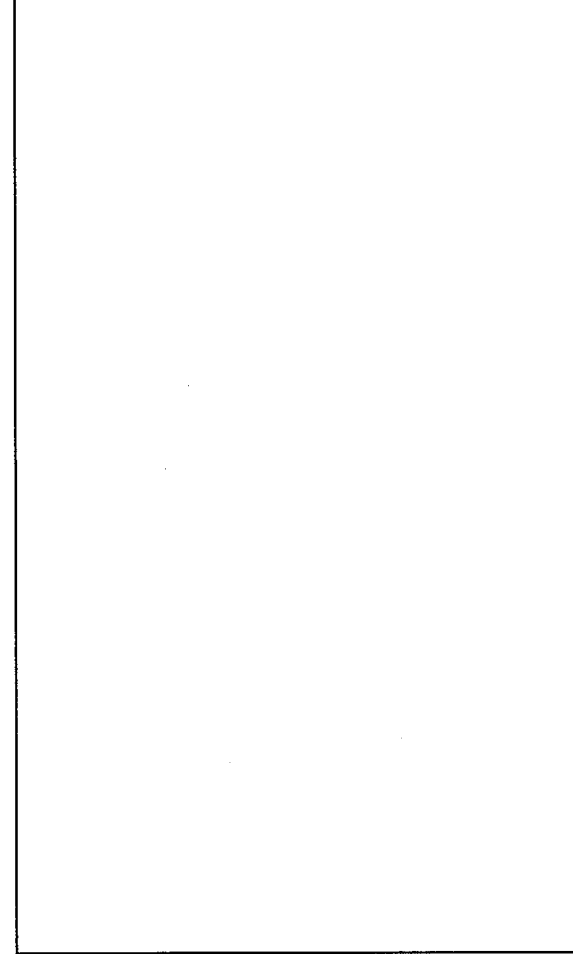
(I)- C-16

(I)- C-16

核燃料輸送物設計変更承認申請に係る変更前後表

前回申請書 (平成 30 年 8 月 17 日付三原燃第 18-393 号をもって申請 (平成 31 年 2 月 5 日付三原燃第 18-1013 号をもって一部補正))	今回の核燃料輸送物設計変更承認申請	備考
 <p>(i)-第 C.12 図 前部衝撃吸収カバー構造図</p> <p>(単位:mm)</p> <p>(i)-C-17</p>	 <p>(i)-第 C.12 図 前部衝撃吸収カバー構造図</p> <p>(単位:mm)</p> <p>(i)-C-17</p>	-

核燃料輸送物設計変更承認申請に係る変更前後表

前回申請書 (平成 30 年 8 月 17 日付三原燃第 18-393 号をもって申請 (平成 31 年 2 月 5 日付三原燃第 18-1013 号をもって一部補正))	今回の核燃料輸送物設計変更承認申請	備考
 <p>(I)-第 C.13 図 後部衝撃吸収カバー構造図 (単位:mm)</p> <p>(I)-C-18</p>	 <p>(I)-第 C.13 図 後部衝撃吸収カバー構造図 (単位:mm)</p> <p>(I)-C-18</p>	-

核燃料輸送物設計変更承認申請に係る変更前後表

前回申請書 (平成 30 年 8 月 17 日付三原燃第 18-393 号をもって申請 (平成 31 年 2 月 5 日付三原燃第 18-1013 号をもって一部補正))	今回の核燃料輸送物設計変更承認申請	備考																																																																																																																																																						
<p>C.3 材質</p> <p>材質は、(イ)一第C.1表に示すとおりである。</p> <p>また、この輸送容器のレジン（胴部レジン、底部レジン、蓋部レジン）は、□ ■を主材として、(イ)一第C.2表に示すように、素材を一定の割合で混合したものである。</p> <p>(イ)一第C.1表 輸送容器の構成部品及び主要材料 (1/2)</p> <table border="1"> <thead> <tr> <th>部品</th> <th>材料</th> <th>規格^①</th> </tr> </thead> <tbody> <tr> <td>1. 本体</td> <td></td> <td></td> </tr> <tr> <td>内筒</td> <td>ステンレス鋼</td> <td></td> </tr> <tr> <td>胴ガセット</td> <td>ステンレス鋼</td> <td></td> </tr> <tr> <td>胴外板</td> <td>ステンレス鋼</td> <td></td> </tr> <tr> <td><input checked="" type="checkbox"/>プレート</td> <td>□レジン</td> <td></td> </tr> <tr> <td>胴部レジン</td> <td>■材</td> <td></td> </tr> <tr> <td>断熱カバー</td> <td></td> <td></td> </tr> <tr> <td>上部フランジ</td> <td>ステンレス鋼</td> <td></td> </tr> <tr> <td>トランション</td> <td>ステンレス鋼</td> <td></td> </tr> <tr> <td>トランニオン取付けボルト</td> <td>合金鋼</td> <td></td> </tr> <tr> <td>ハドリングベルト(上部/下部ベルト)</td> <td>ステンレス鋼</td> <td></td> </tr> <tr> <td>吊りハンドル</td> <td>ステンレス鋼</td> <td></td> </tr> <tr> <td>吊りハンドル取付けピン</td> <td>ステンレス鋼</td> <td></td> </tr> <tr> <td>連結ボルト</td> <td>合金鋼</td> <td></td> </tr> <tr> <td>底板</td> <td>ステンレス鋼</td> <td></td> </tr> <tr> <td>底部レジン</td> <td>□レジン</td> <td></td> </tr> <tr> <td>底部レジンカバー</td> <td>ステンレス鋼</td> <td></td> </tr> <tr> <td>2. 蓋部</td> <td></td> <td></td> </tr> <tr> <td>蓋板</td> <td>チタン合金</td> <td></td> </tr> <tr> <td>蓋板締付けボルト</td> <td>合金鋼</td> <td></td> </tr> <tr> <td>蓋部レジン</td> <td>□レジン</td> <td></td> </tr> <tr> <td>蓋部レジンカバー</td> <td>ステンレス鋼</td> <td></td> </tr> <tr> <td>クイックコネクションカバー</td> <td>ステンレス鋼</td> <td></td> </tr> <tr> <td>ガスケット</td> <td>EPDM</td> <td></td> </tr> </tbody> </table> <p>注 1) 記載の規格材料または相当品を用いる。</p> <p>(イ)一C-19</p>	部品	材料	規格 ^①	1. 本体			内筒	ステンレス鋼		胴ガセット	ステンレス鋼		胴外板	ステンレス鋼		<input checked="" type="checkbox"/> プレート	□レジン		胴部レジン	■材		断熱カバー			上部フランジ	ステンレス鋼		トランション	ステンレス鋼		トランニオン取付けボルト	合金鋼		ハドリングベルト(上部/下部ベルト)	ステンレス鋼		吊りハンドル	ステンレス鋼		吊りハンドル取付けピン	ステンレス鋼		連結ボルト	合金鋼		底板	ステンレス鋼		底部レジン	□レジン		底部レジンカバー	ステンレス鋼		2. 蓋部			蓋板	チタン合金		蓋板締付けボルト	合金鋼		蓋部レジン	□レジン		蓋部レジンカバー	ステンレス鋼		クイックコネクションカバー	ステンレス鋼		ガスケット	EPDM		<p>C.3 材質</p> <p>材質は、(イ)一第C.1表に示すとおりである。</p> <p>また、この輸送容器のレジン（胴部レジン、底部レジン、蓋部レジン）は、□ ■を主材として、(イ)一第C.2表に示すように、素材を一定の割合で混合したものである。</p> <p>(イ)一第C.1表 輸送容器の構成部品及び主要材料 (1/2)</p> <table border="1"> <thead> <tr> <th>部品</th> <th>材料</th> <th>規格^①</th> </tr> </thead> <tbody> <tr> <td>1. 本体</td> <td></td> <td></td> </tr> <tr> <td>内筒</td> <td>ステンレス鋼</td> <td></td> </tr> <tr> <td>胴ガセット</td> <td>ステンレス鋼</td> <td></td> </tr> <tr> <td>胴外板</td> <td>ステンレス鋼</td> <td></td> </tr> <tr> <td><input checked="" type="checkbox"/>プレート</td> <td>□レジン</td> <td></td> </tr> <tr> <td>胴部レジン</td> <td>■材</td> <td></td> </tr> <tr> <td>断熱カバー</td> <td></td> <td></td> </tr> <tr> <td>上部フランジ</td> <td>ステンレス鋼</td> <td></td> </tr> <tr> <td>トランション</td> <td>ステンレス鋼</td> <td></td> </tr> <tr> <td>トランニオン取付けボルト</td> <td>合金鋼</td> <td></td> </tr> <tr> <td>ハドリングベルト(上部/下部ベルト)</td> <td>ステンレス鋼</td> <td></td> </tr> <tr> <td>吊りハンドル</td> <td>ステンレス鋼</td> <td></td> </tr> <tr> <td>吊りハンドル取付けピン</td> <td>ステンレス鋼</td> <td></td> </tr> <tr> <td>連結ボルト</td> <td>合金鋼</td> <td></td> </tr> <tr> <td>底板</td> <td>ステンレス鋼</td> <td></td> </tr> <tr> <td>底部レジン</td> <td>□レジン</td> <td></td> </tr> <tr> <td>底部レジンカバー</td> <td>ステンレス鋼</td> <td></td> </tr> <tr> <td>2. 蓋部</td> <td></td> <td></td> </tr> <tr> <td>蓋板</td> <td>チタン合金</td> <td></td> </tr> <tr> <td>蓋板締付けボルト</td> <td>合金鋼</td> <td></td> </tr> <tr> <td>蓋部レジン</td> <td>□レジン</td> <td></td> </tr> <tr> <td>蓋部レジンカバー</td> <td>ステンレス鋼</td> <td></td> </tr> <tr> <td>クイックコネクションカバー</td> <td>ステンレス鋼</td> <td></td> </tr> <tr> <td>ガスケット</td> <td>EPDM</td> <td></td> </tr> </tbody> </table> <p>注 1) 記載の規格材料または相当品を用いる。</p> <p>(イ)一C-19</p>	部品	材料	規格 ^①	1. 本体			内筒	ステンレス鋼		胴ガセット	ステンレス鋼		胴外板	ステンレス鋼		<input checked="" type="checkbox"/> プレート	□レジン		胴部レジン	■材		断熱カバー			上部フランジ	ステンレス鋼		トランション	ステンレス鋼		トランニオン取付けボルト	合金鋼		ハドリングベルト(上部/下部ベルト)	ステンレス鋼		吊りハンドル	ステンレス鋼		吊りハンドル取付けピン	ステンレス鋼		連結ボルト	合金鋼		底板	ステンレス鋼		底部レジン	□レジン		底部レジンカバー	ステンレス鋼		2. 蓋部			蓋板	チタン合金		蓋板締付けボルト	合金鋼		蓋部レジン	□レジン		蓋部レジンカバー	ステンレス鋼		クイックコネクションカバー	ステンレス鋼		ガスケット	EPDM		<p>・記載の適正化</p>
部品	材料	規格 ^①																																																																																																																																																						
1. 本体																																																																																																																																																								
内筒	ステンレス鋼																																																																																																																																																							
胴ガセット	ステンレス鋼																																																																																																																																																							
胴外板	ステンレス鋼																																																																																																																																																							
<input checked="" type="checkbox"/> プレート	□レジン																																																																																																																																																							
胴部レジン	■材																																																																																																																																																							
断熱カバー																																																																																																																																																								
上部フランジ	ステンレス鋼																																																																																																																																																							
トランション	ステンレス鋼																																																																																																																																																							
トランニオン取付けボルト	合金鋼																																																																																																																																																							
ハドリングベルト(上部/下部ベルト)	ステンレス鋼																																																																																																																																																							
吊りハンドル	ステンレス鋼																																																																																																																																																							
吊りハンドル取付けピン	ステンレス鋼																																																																																																																																																							
連結ボルト	合金鋼																																																																																																																																																							
底板	ステンレス鋼																																																																																																																																																							
底部レジン	□レジン																																																																																																																																																							
底部レジンカバー	ステンレス鋼																																																																																																																																																							
2. 蓋部																																																																																																																																																								
蓋板	チタン合金																																																																																																																																																							
蓋板締付けボルト	合金鋼																																																																																																																																																							
蓋部レジン	□レジン																																																																																																																																																							
蓋部レジンカバー	ステンレス鋼																																																																																																																																																							
クイックコネクションカバー	ステンレス鋼																																																																																																																																																							
ガスケット	EPDM																																																																																																																																																							
部品	材料	規格 ^①																																																																																																																																																						
1. 本体																																																																																																																																																								
内筒	ステンレス鋼																																																																																																																																																							
胴ガセット	ステンレス鋼																																																																																																																																																							
胴外板	ステンレス鋼																																																																																																																																																							
<input checked="" type="checkbox"/> プレート	□レジン																																																																																																																																																							
胴部レジン	■材																																																																																																																																																							
断熱カバー																																																																																																																																																								
上部フランジ	ステンレス鋼																																																																																																																																																							
トランション	ステンレス鋼																																																																																																																																																							
トランニオン取付けボルト	合金鋼																																																																																																																																																							
ハドリングベルト(上部/下部ベルト)	ステンレス鋼																																																																																																																																																							
吊りハンドル	ステンレス鋼																																																																																																																																																							
吊りハンドル取付けピン	ステンレス鋼																																																																																																																																																							
連結ボルト	合金鋼																																																																																																																																																							
底板	ステンレス鋼																																																																																																																																																							
底部レジン	□レジン																																																																																																																																																							
底部レジンカバー	ステンレス鋼																																																																																																																																																							
2. 蓋部																																																																																																																																																								
蓋板	チタン合金																																																																																																																																																							
蓋板締付けボルト	合金鋼																																																																																																																																																							
蓋部レジン	□レジン																																																																																																																																																							
蓋部レジンカバー	ステンレス鋼																																																																																																																																																							
クイックコネクションカバー	ステンレス鋼																																																																																																																																																							
ガスケット	EPDM																																																																																																																																																							

核燃料輸送物設計変更承認申請に係る変更前後表

前回申請書 (平成 30 年 8 月 17 日付三原燃第 18-393 号をもって申請 (平成 31 年 2 月 5 日付三原燃第 18-1013 号をもって一部補正))	今回の核燃料輸送物設計変更承認申請	備考																																																																				
<p>(イ) 第 C.1 表 輸送容器の構成部品及び主要材料 (2/2)</p> <table border="1"> <thead> <tr> <th>部 品</th><th>材 料</th><th>規 格</th></tr> </thead> <tbody> <tr> <td>3. バスケット ロジメント</td><td>ボロン入りステンレス鋼 アルミニウム合金 アルミニウム合金 アルミニウム合金 アルミニウム合金 アルミニウム合金 アルミニウム合金</td><td>[Redacted]</td></tr> <tr> <td>アルミスペーサー 追加遮蔽板</td><td>アルミニウム合金</td><td>[Redacted]</td></tr> <tr> <td>バスケットサポート</td><td>アルミニウム合金</td><td>[Redacted]</td></tr> <tr> <td></td><td>アルミニウム合金</td><td>[Redacted]</td></tr> <tr> <td>4. 前部及び後部衝撃吸収カバー 緩衝材</td><td>■材 ステンレス鋼</td><td>[Redacted]</td></tr> <tr> <td>外板</td><td>ステンレス鋼</td><td>[Redacted]</td></tr> <tr> <td></td><td>合金鋼</td><td>[Redacted]</td></tr> <tr> <td>締付けボルト</td><td>ステンレス鋼 ■材 ステンレス鋼</td><td>[Redacted]</td></tr> <tr> <td>吊上げラグ、脚</td><td>ステンレス鋼</td><td>[Redacted]</td></tr> </tbody> </table> <p>注 1) 記載の規格材料または相当品を用いる。</p> <p>(イ) 第 C.2 表 レジンの素材と割合</p> <table border="1"> <thead> <tr> <th>素 材</th><th>重量比 (%)</th></tr> </thead> <tbody> <tr> <td>[Redacted]</td><td>[Redacted]</td></tr> </tbody> </table> <p>(イ) - C - 20</p>	部 品	材 料	規 格	3. バスケット ロジメント	ボロン入りステンレス鋼 アルミニウム合金 アルミニウム合金 アルミニウム合金 アルミニウム合金 アルミニウム合金 アルミニウム合金	[Redacted]	アルミスペーサー 追加遮蔽板	アルミニウム合金	[Redacted]	バスケットサポート	アルミニウム合金	[Redacted]		アルミニウム合金	[Redacted]	4. 前部及び後部衝撃吸収カバー 緩衝材	■材 ステンレス鋼	[Redacted]	外板	ステンレス鋼	[Redacted]		合金鋼	[Redacted]	締付けボルト	ステンレス鋼 ■材 ステンレス鋼	[Redacted]	吊上げラグ、脚	ステンレス鋼	[Redacted]	素 材	重量比 (%)	[Redacted]	[Redacted]	<p>(イ) 第 C.1 表 輸送容器の構成部品及び主要材料 (2/2)</p> <table border="1"> <thead> <tr> <th>部 品</th><th>材 料</th><th>規 格</th></tr> </thead> <tbody> <tr> <td>3. バスケット ロジメント</td><td>ボロン入りステンレス鋼 アルミニウム合金 アルミニウム合金 アルミニウム合金 アルミニウム合金 アルミニウム合金 アルミニウム合金</td><td>[Redacted]</td></tr> <tr> <td>アルミスペーサー 追加遮蔽板</td><td>アルミニウム合金</td><td>[Redacted]</td></tr> <tr> <td>バスケットサポート</td><td>アルミニウム合金</td><td>[Redacted]</td></tr> <tr> <td></td><td>アルミニウム合金</td><td>[Redacted]</td></tr> <tr> <td>4. 前部及び後部衝撃吸収カバー 緩衝材</td><td>■材 ステンレス鋼</td><td>[Redacted]</td></tr> <tr> <td>外板</td><td>ステンレス鋼</td><td>[Redacted]</td></tr> <tr> <td></td><td>合金鋼</td><td>[Redacted]</td></tr> <tr> <td>締付けボルト</td><td>ステンレス鋼 ■材 ステンレス鋼</td><td>[Redacted]</td></tr> <tr> <td>吊上げラグ、脚</td><td>ステンレス鋼</td><td>[Redacted]</td></tr> </tbody> </table> <p>注 1) 記載の規格材料■は相当品を用いる。</p> <p>(イ) 第 C.2 表 レジンの素材と割合</p> <table border="1"> <thead> <tr> <th>素 材</th><th>重量比 (%)</th></tr> </thead> <tbody> <tr> <td>[Redacted]</td><td>[Redacted]</td></tr> </tbody> </table> <p>(イ) - C - 20</p>	部 品	材 料	規 格	3. バスケット ロジメント	ボロン入りステンレス鋼 アルミニウム合金 アルミニウム合金 アルミニウム合金 アルミニウム合金 アルミニウム合金 アルミニウム合金	[Redacted]	アルミスペーサー 追加遮蔽板	アルミニウム合金	[Redacted]	バスケットサポート	アルミニウム合金	[Redacted]		アルミニウム合金	[Redacted]	4. 前部及び後部衝撃吸収カバー 緩衝材	■材 ステンレス鋼	[Redacted]	外板	ステンレス鋼	[Redacted]		合金鋼	[Redacted]	締付けボルト	ステンレス鋼 ■材 ステンレス鋼	[Redacted]	吊上げラグ、脚	ステンレス鋼	[Redacted]	素 材	重量比 (%)	[Redacted]	[Redacted]	<p>・記載の適正化</p>
部 品	材 料	規 格																																																																				
3. バスケット ロジメント	ボロン入りステンレス鋼 アルミニウム合金 アルミニウム合金 アルミニウム合金 アルミニウム合金 アルミニウム合金 アルミニウム合金	[Redacted]																																																																				
アルミスペーサー 追加遮蔽板	アルミニウム合金	[Redacted]																																																																				
バスケットサポート	アルミニウム合金	[Redacted]																																																																				
	アルミニウム合金	[Redacted]																																																																				
4. 前部及び後部衝撃吸収カバー 緩衝材	■材 ステンレス鋼	[Redacted]																																																																				
外板	ステンレス鋼	[Redacted]																																																																				
	合金鋼	[Redacted]																																																																				
締付けボルト	ステンレス鋼 ■材 ステンレス鋼	[Redacted]																																																																				
吊上げラグ、脚	ステンレス鋼	[Redacted]																																																																				
素 材	重量比 (%)																																																																					
[Redacted]	[Redacted]																																																																					
部 品	材 料	規 格																																																																				
3. バスケット ロジメント	ボロン入りステンレス鋼 アルミニウム合金 アルミニウム合金 アルミニウム合金 アルミニウム合金 アルミニウム合金 アルミニウム合金	[Redacted]																																																																				
アルミスペーサー 追加遮蔽板	アルミニウム合金	[Redacted]																																																																				
バスケットサポート	アルミニウム合金	[Redacted]																																																																				
	アルミニウム合金	[Redacted]																																																																				
4. 前部及び後部衝撃吸収カバー 緩衝材	■材 ステンレス鋼	[Redacted]																																																																				
外板	ステンレス鋼	[Redacted]																																																																				
	合金鋼	[Redacted]																																																																				
締付けボルト	ステンレス鋼 ■材 ステンレス鋼	[Redacted]																																																																				
吊上げラグ、脚	ステンレス鋼	[Redacted]																																																																				
素 材	重量比 (%)																																																																					
[Redacted]	[Redacted]																																																																					

核燃料輸送物設計変更承認申請に係る変更前後表

前回申請書 (平成30年8月17日付三原燃第18-393号をもって申請 (平成31年2月5日付三原燃第18-1013号をもって一部補正))	今回の核燃料輸送物設計変更承認申請	備考																																																																																				
<p>C.4 寸 法</p> <p>寸法は、(イ)一第C.3表に示すとおりである。</p> <p>(イ)一第C.3表 輸送容器の寸法 (1/2)</p> <p>(単位:mm)</p> <table border="1"> <thead> <tr> <th>部 品</th> <th>寸 法</th> <th>参 照 図</th> </tr> </thead> <tbody> <tr> <td>1. 本 体</td> <td></td> <td></td> </tr> <tr> <td>全 長</td> <td>5,189</td> <td>(イ)一第C.5図</td> </tr> <tr> <td>内 筒</td> <td>内 径 厚 さ</td> <td>1,072 (イ)一第C.7図</td> </tr> <tr> <td>胴ガセット</td> <td>厚 さ</td> <td></td> </tr> <tr> <td>胴 外 板</td> <td>厚 さ</td> <td></td> </tr> <tr> <td>□プレート</td> <td>厚 さ</td> <td></td> </tr> <tr> <td>胴部レジン</td> <td>厚 さ</td> <td></td> </tr> <tr> <td>底 板</td> <td>厚 さ 外 径</td> <td></td> </tr> <tr> <td>底部レジン</td> <td>厚 さ</td> <td></td> </tr> <tr> <td>トラン ion</td> <td>外 径 (前部) (後部)</td> <td></td> </tr> <tr> <td></td> <td>高 さ (前部) (後部)</td> <td></td> </tr> <tr> <td>ハンドリングベルト</td> <td>内 径(ベルトイ) 断面外形</td> <td></td> </tr> <tr> <td>吊りハンドル</td> <td>間 隔</td> <td></td> </tr> </tbody> </table> <p>注 1) ライナー厚さを除く。</p> <p>(イ)一C-21</p>	部 品	寸 法	参 照 図	1. 本 体			全 長	5,189	(イ)一第C.5図	内 筒	内 径 厚 さ	1,072 (イ)一第C.7図	胴ガセット	厚 さ		胴 外 板	厚 さ		□プレート	厚 さ		胴部レジン	厚 さ		底 板	厚 さ 外 径		底部レジン	厚 さ		トラン ion	外 径 (前部) (後部)			高 さ (前部) (後部)		ハンドリングベルト	内 径(ベルトイ) 断面外形		吊りハンドル	間 隔		<p>C.4 寸 法</p> <p>寸法は、(イ)一第C.3表に示すとおりである。</p> <p>(イ)一第C.3表 輸送容器の寸法 (1/2)</p> <p>(単位:mm)</p> <table border="1"> <thead> <tr> <th>部 品</th> <th>寸 法</th> <th>参 照 図</th> </tr> </thead> <tbody> <tr> <td>1. 本 体</td> <td></td> <td></td> </tr> <tr> <td>全 長</td> <td>5,189</td> <td>(イ)一第C.5図</td> </tr> <tr> <td>内 筒</td> <td>内 径 厚 さ</td> <td>1,072 (イ)一第C.7図</td> </tr> <tr> <td>胴ガセット</td> <td>厚 さ</td> <td></td> </tr> <tr> <td>胴 外 板</td> <td>厚 さ</td> <td></td> </tr> <tr> <td>□プレート</td> <td>厚 さ</td> <td></td> </tr> <tr> <td>胴部レジン</td> <td>厚 さ</td> <td></td> </tr> <tr> <td>底 板</td> <td>厚 さ 外 径</td> <td></td> </tr> <tr> <td>底部レジン</td> <td>厚 さ</td> <td></td> </tr> <tr> <td>トラン ion</td> <td>外 径 (前部) (後部)</td> <td></td> </tr> <tr> <td></td> <td>高 さ (前部) (後部)</td> <td></td> </tr> <tr> <td>ハンドリングベルト</td> <td>内 径(ベルトイ) 断面外形</td> <td></td> </tr> <tr> <td>吊りハンドル</td> <td>間 隔</td> <td></td> </tr> </tbody> </table> <p>注 1) ライナー厚さを除く。</p> <p>(イ)一C-21</p>	部 品	寸 法	参 照 図	1. 本 体			全 長	5,189	(イ)一第C.5図	内 筒	内 径 厚 さ	1,072 (イ)一第C.7図	胴ガセット	厚 さ		胴 外 板	厚 さ		□プレート	厚 さ		胴部レジン	厚 さ		底 板	厚 さ 外 径		底部レジン	厚 さ		トラン ion	外 径 (前部) (後部)			高 さ (前部) (後部)		ハンドリングベルト	内 径(ベルトイ) 断面外形		吊りハンドル	間 隔		
部 品	寸 法	参 照 図																																																																																				
1. 本 体																																																																																						
全 長	5,189	(イ)一第C.5図																																																																																				
内 筒	内 径 厚 さ	1,072 (イ)一第C.7図																																																																																				
胴ガセット	厚 さ																																																																																					
胴 外 板	厚 さ																																																																																					
□プレート	厚 さ																																																																																					
胴部レジン	厚 さ																																																																																					
底 板	厚 さ 外 径																																																																																					
底部レジン	厚 さ																																																																																					
トラン ion	外 径 (前部) (後部)																																																																																					
	高 さ (前部) (後部)																																																																																					
ハンドリングベルト	内 径(ベルトイ) 断面外形																																																																																					
吊りハンドル	間 隔																																																																																					
部 品	寸 法	参 照 図																																																																																				
1. 本 体																																																																																						
全 長	5,189	(イ)一第C.5図																																																																																				
内 筒	内 径 厚 さ	1,072 (イ)一第C.7図																																																																																				
胴ガセット	厚 さ																																																																																					
胴 外 板	厚 さ																																																																																					
□プレート	厚 さ																																																																																					
胴部レジン	厚 さ																																																																																					
底 板	厚 さ 外 径																																																																																					
底部レジン	厚 さ																																																																																					
トラン ion	外 径 (前部) (後部)																																																																																					
	高 さ (前部) (後部)																																																																																					
ハンドリングベルト	内 径(ベルトイ) 断面外形																																																																																					
吊りハンドル	間 隔																																																																																					

核燃料輸送物設計変更承認申請に係る変更前後表

前回申請書 (平成 30 年 8 月 17 日付三原燃第 18-393 号をもって申請 (平成 31 年 2 月 5 日付三原燃第 18-1013 号をもって一部補正))	今回の核燃料輸送物設計変更承認申請	備考																																	
<p>(イ) 第 C.3 表 輸送容器の寸法 (2/2)</p> <p>(単位: mm)</p> <table border="1"> <thead> <tr> <th>部品</th> <th>寸法</th> <th>参照図</th> </tr> </thead> <tbody> <tr> <td>2. <u>蓋部</u> 蓋板 外径 厚さ</td> <td></td> <td>(イ) 第 C. 10 図</td> </tr> <tr> <td>蓋板締付けボルト 径 蓋部レジン 厚さ</td> <td></td> <td></td> </tr> <tr> <td>3. <u>バスケット</u> 外径 全長 ロジメント 内幅 厚さ 追加遮蔽板 厚さ</td> <td></td> <td>(イ) 第 C. 11 図</td> </tr> <tr> <td>4. <u>前部衝撃吸収カバー</u> 外径 2,125 厚さ 826</td> <td></td> <td>(イ) 第 C. 12 図</td> </tr> <tr> <td>5. <u>後部衝撃吸収カバー</u> 外径 2,125 厚さ 736</td> <td></td> <td>(イ) 第 C. 13 図</td> </tr> </tbody> </table> <p>(イ) - C - 22</p>	部品	寸法	参照図	2. <u>蓋部</u> 蓋板 外径 厚さ		(イ) 第 C. 10 図	蓋板締付けボルト 径 蓋部レジン 厚さ			3. <u>バスケット</u> 外径 全長 ロジメント 内幅 厚さ 追加遮蔽板 厚さ		(イ) 第 C. 11 図	4. <u>前部衝撃吸収カバー</u> 外径 2,125 厚さ 826		(イ) 第 C. 12 図	5. <u>後部衝撃吸収カバー</u> 外径 2,125 厚さ 736		(イ) 第 C. 13 図	<p>(イ) 第 C.3 表 輸送容器の寸法 (2/2)</p> <p>(単位: mm)</p> <table border="1"> <thead> <tr> <th>部品</th> <th>寸法</th> <th>参照図</th> </tr> </thead> <tbody> <tr> <td>2. <u>蓋部</u> 蓋板 外径 厚さ 蓋板締付けボルト 径 蓋部レジン 厚さ</td> <td></td> <td>(イ) 第 C. 10 図</td> </tr> <tr> <td>3. <u>バスケット</u> 外径 全長 ロジメント 内幅 厚さ 追加遮蔽板 厚さ</td> <td></td> <td>(イ) 第 C. 11 図</td> </tr> <tr> <td>4. <u>前部衝撃吸収カバー</u> 外径 2,125 厚さ 826</td> <td></td> <td>(イ) 第 C. 12 図</td> </tr> <tr> <td>5. <u>後部衝撃吸収カバー</u> 外径 2,125 厚さ 736</td> <td></td> <td>(イ) 第 C. 13 図</td> </tr> </tbody> </table> <p>(イ) - C - 22</p>	部品	寸法	参照図	2. <u>蓋部</u> 蓋板 外径 厚さ 蓋板締付けボルト 径 蓋部レジン 厚さ		(イ) 第 C. 10 図	3. <u>バスケット</u> 外径 全長 ロジメント 内幅 厚さ 追加遮蔽板 厚さ		(イ) 第 C. 11 図	4. <u>前部衝撃吸収カバー</u> 外径 2,125 厚さ 826		(イ) 第 C. 12 図	5. <u>後部衝撃吸収カバー</u> 外径 2,125 厚さ 736		(イ) 第 C. 13 図	
部品	寸法	参照図																																	
2. <u>蓋部</u> 蓋板 外径 厚さ		(イ) 第 C. 10 図																																	
蓋板締付けボルト 径 蓋部レジン 厚さ																																			
3. <u>バスケット</u> 外径 全長 ロジメント 内幅 厚さ 追加遮蔽板 厚さ		(イ) 第 C. 11 図																																	
4. <u>前部衝撃吸収カバー</u> 外径 2,125 厚さ 826		(イ) 第 C. 12 図																																	
5. <u>後部衝撃吸収カバー</u> 外径 2,125 厚さ 736		(イ) 第 C. 13 図																																	
部品	寸法	参照図																																	
2. <u>蓋部</u> 蓋板 外径 厚さ 蓋板締付けボルト 径 蓋部レジン 厚さ		(イ) 第 C. 10 図																																	
3. <u>バスケット</u> 外径 全長 ロジメント 内幅 厚さ 追加遮蔽板 厚さ		(イ) 第 C. 11 図																																	
4. <u>前部衝撃吸収カバー</u> 外径 2,125 厚さ 826		(イ) 第 C. 12 図																																	
5. <u>後部衝撃吸収カバー</u> 外径 2,125 厚さ 736		(イ) 第 C. 13 図																																	

核燃料輸送物設計変更承認申請に係る変更前後表

前回申請書 (平成 30 年 8 月 17 日付三原燃第 18-393 号をもって申請 (平成 31 年 2 月 5 日付三原燃第 18-1013 号をもって一部補正))	今回の核燃料輸送物設計変更承認申請	備考																																
<p>C.5 重 量</p> <p>本輸送物の総重量は 19.5 トン以下である。各部品の重量を(イ)一第 C.4 表に示す。</p> <p>(イ)一第 C.4 表 輸送物重量</p> <p>(単位: トン)</p> <table border="1"> <thead> <tr> <th>部品又は収納物</th> <th>重 量</th> </tr> </thead> <tbody> <tr> <td>本 体</td> <td></td> </tr> <tr> <td>蓋 部</td> <td></td> </tr> <tr> <td>前部衝撃吸収カバー</td> <td></td> </tr> <tr> <td>後部衝撃吸収カバー</td> <td></td> </tr> <tr> <td>バ ス ケ ッ ト</td> <td></td> </tr> <tr> <td>収納物^①</td> <td></td> </tr> <tr> <td>輸送物総重量 (最大)</td> <td>19.5</td> </tr> </tbody> </table> <p>注 1) 燃料集合体 (10 体) の他、輸送物に同梱する梱包材の重量を含む。</p> <p>(イ) - C - 23</p>	部品又は収納物	重 量	本 体		蓋 部		前部衝撃吸収カバー		後部衝撃吸収カバー		バ ス ケ ッ ト		収納物 ^①		輸送物総重量 (最大)	19.5	<p>C.5 重 量</p> <p>本輸送物の総重量は 19.5 トン以下である。各部品の重量を(イ)一第 C.4 表に示す。</p> <p>(イ)一第 C.4 表 輸送物重量</p> <p>(単位: トン)</p> <table border="1"> <thead> <tr> <th>部品又は収納物</th> <th>重 量</th> </tr> </thead> <tbody> <tr> <td>本 体</td> <td></td> </tr> <tr> <td>蓋 部</td> <td></td> </tr> <tr> <td>前部衝撃吸収カバー</td> <td></td> </tr> <tr> <td>後部衝撃吸収カバー</td> <td></td> </tr> <tr> <td>バ ス ケ ッ ト</td> <td></td> </tr> <tr> <td>収納物^①</td> <td></td> </tr> <tr> <td>輸送物総重量 (最大)</td> <td>19.5</td> </tr> </tbody> </table> <p>注 1) 燃料集合体 (チャンネルボックスを含む)^② 10 体の他、輸送物に同梱する梱包材^③の重量を含む。</p> <p>(イ) - C - 23</p>	部品又は収納物	重 量	本 体		蓋 部		前部衝撃吸収カバー		後部衝撃吸収カバー		バ ス ケ ッ ト		収納物 ^①		輸送物総重量 (最大)	19.5	<ul style="list-style-type: none"> ・収納物の追加に伴う記載の見直し
部品又は収納物	重 量																																	
本 体																																		
蓋 部																																		
前部衝撃吸収カバー																																		
後部衝撃吸収カバー																																		
バ ス ケ ッ ト																																		
収納物 ^①																																		
輸送物総重量 (最大)	19.5																																	
部品又は収納物	重 量																																	
本 体																																		
蓋 部																																		
前部衝撃吸収カバー																																		
後部衝撃吸収カバー																																		
バ ス ケ ッ ト																																		
収納物 ^①																																		
輸送物総重量 (最大)	19.5																																	

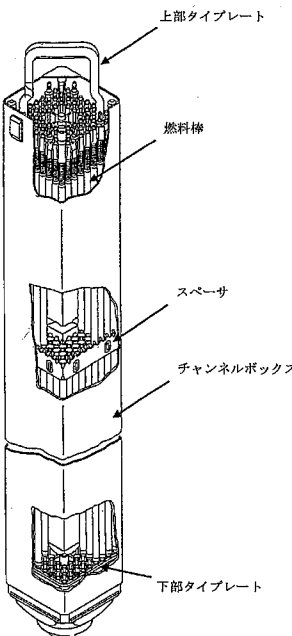
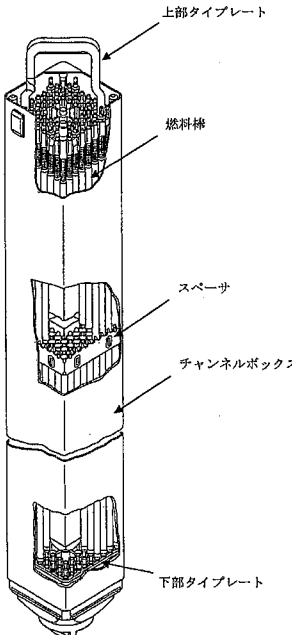
核燃料輸送物設計変更承認申請に係る変更前後表

前回申請書 (平成 30 年 8 月 17 日付三原燃第 18-393 号をもって申請 (平成 31 年 2 月 5 日付三原燃第 18-1013 号をもって一部補正))	今回の核燃料輸送物設計変更承認申請	備考
<p>(イ) D 輸送容器の収納物</p> <p>(1) 燃料集合体</p> <p>本輸送容器の収納物は、未使用のBWR燃料集合体であり、仕様例を<u>(イ)一第D.1表</u>に示す。また、本輸送容器に収納するBWR燃料集合体の代表的な全体図及び断面図を<u>(イ)一第D.1図</u>及び<u>(イ)一第D.2図</u>にそれぞれ示す。</p> <p>燃料集合体は、正方配列された燃料棒で構成され、両端はタイプレートで保持されている。また、燃料棒の中間部敷数カ所がスペーサにより保持されている。</p> <p>燃料は、濃縮度 5wt%以下の二酸化ウランペレットでジルカロイ製の燃料被覆管の中に充填され両端に端栓を溶接して密封されている。また、燃料は可燃性毒物である Gd₂O₃ が含まれる場合がある。</p> <p>燃料集合体は、燃料集合体単独あるいは燃料集合体にチャンネルボックスを装着した状態で収納される。燃料集合体に装着するチャンネルボックスの仕様例を<u>(イ)一第D.2表</u>に示す。</p> <p>なお、収納される燃料集合体は未使用であり、収納物の仕様について、燃焼条件（燃焼度、冷却日数）と崩壊発熱は該当しない。</p> <p>燃料集合体は、必要に応じ、カードボード、木綿製の袋等の梱包材とともにロジメントに収納される。</p> <p>(2) スツール</p> <p>燃料集合体をロジメント内に安定して収納できるように、ロジメントの底部にステンレス鋼製のスツールを設置する。スツールの構造図の例を<u>(イ)一第D.3図</u>に示す。</p>	<p>(イ) D 輸送容器の収納物</p> <p>(1) 燃料集合体</p> <p>本輸送容器の収納物は、未使用のBWR燃料集合体であり、仕様例を<u>(イ)一第D.1表</u>に示す。また、本輸送容器に収納するBWR燃料集合体の代表的な全体図及び断面図を<u>(イ)一第D.1図</u>及び<u>(イ)一第D.2図</u>にそれぞれ示す。</p> <p>燃料集合体は、正方配列された燃料棒で構成され、両端はタイプレートで保持されている。また、燃料棒の中間部敷数カ所がスペーサにより保持されている。<u>スペーサーの形</u>として、2種類の形があり（それぞれE格子、D格子と呼ぶ）。輸送容器には、同一格子形状の燃料集合体のみが収納される。</p> <p>燃料は、濃縮度 5wt%以下の二酸化ウランペレットでジルカロイ製の燃料被覆管の中に充填され両端に端栓を溶接して密封されている。また、燃料には可燃性毒物である Gd₂O₃ が含まれる場合がある。</p> <p>燃料集合体は、燃料集合体単独あるいは燃料集合体にチャンネルボックスを装着した状態で収納される。燃料集合体に装着するチャンネルボックスの仕様例を<u>(イ)一第D.2表</u>に示す。</p> <p>また、本輸送容器に収納される燃料集合体は、使用済み燃料プール水中に保管されたときにより表面に汚染のあるものと、使用済み燃料プール水中に保管中に汚染痕跡を含む直理が付着したことにより表面に汚染のあるものがある。以降では、これら燃料集合体を合せて、表面に汚染のある燃料集合体とする。汚染に関する詳細は<u>(イ)一D.2表</u>解説 D. 0.1「付録書類一」に示す。</p> <p>なお、収納される燃料集合体は未使用であり、収納物の仕様について、燃焼条件（燃焼度、冷却日数）と崩壊発熱は該当しない。</p> <p>(2) 収納缶</p> <p>燃料集合体表面の汚染が輸送容器内部へ拡散するのを防止するため、表面に汚染の少ない燃料集合体全てを収納缶に収容し、ロジメントに収納する。燃料集合体を収納缶へ置ける箇所には、必須にない。カードボード、木綿製の袋等の梱包材とともに収納する。収納缶は、ハスクエットのロジメントに設置できる形状寸法で、開口部にハスクエットを施した蓋板をボルト止めする構造となっている。</p> <p>収納缶の仕様例を<u>(イ)一第D.3表</u>に、構造図の例を<u>(イ)一第D.4図</u>に示す。</p>	<ul style="list-style-type: none"> 記載の適正化 収納物の追加に伴う記載の見直し

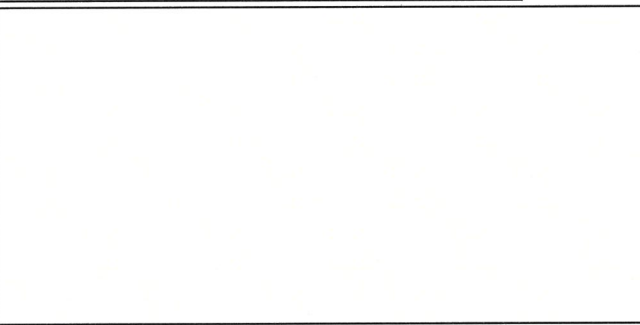
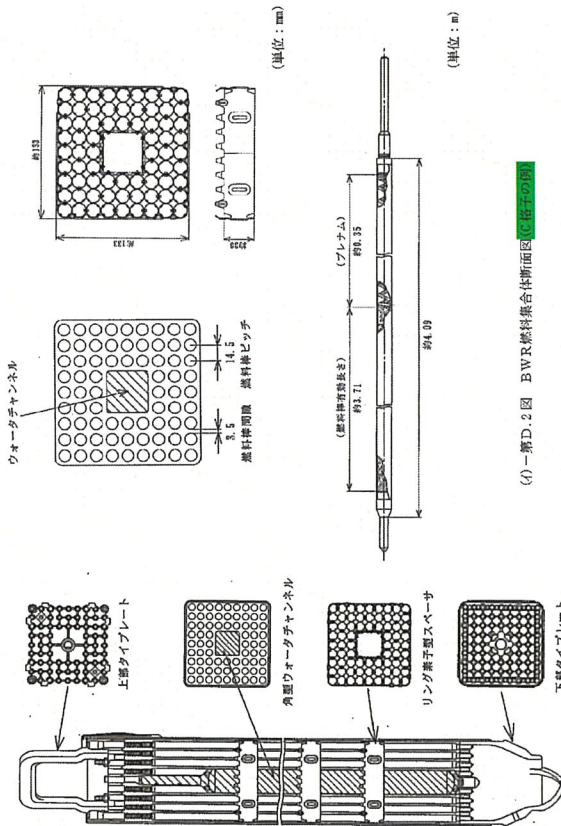
(イ) D-1

(イ) D-1

核燃料輸送物設計変更承認申請に係る変更前後表

前回申請書 (平成30年8月17日付三原燃第18-393号をもって申請 (平成31年2月5日付三原燃第18-1013号をもって一部補正))	今回の核燃料輸送物設計変更承認申請	備考
 <p>(イ) 第D.1図 BWR燃料集合体全体図</p> <p>(イ)-D-2</p>	 <p>(イ) 第D.1図 BWR燃料集合体全体図</p> <p>(イ)-D-2</p>	

核燃料輸送物設計変更承認申請に係る変更前後表

前回申請書 (平成 30 年 8 月 17 日付三原燃第 18-393 号をもって申請 (平成 31 年 2 月 5 日付三原燃第 18-1013 号をもって一部補正))	今回の核燃料輸送物設計変更承認申請	備考
 <p>(i) - 第 D. 3 図 BWR 燃料集合体断面図</p>  <p>(i) - D - 3</p>	 <p>(i) - 第 D. 2 図 BWR 燃料集合体断面図 (C(底子)の図)</p> <p>(i) - 第 D. 3 図 BWR 燃料集合体断面図 (C(底子)の図)</p> <p>備考</p> <ul style="list-style-type: none"> ・収納物の追加に伴う記載の見直し 	

核燃料輸送物設計変更承認申請に係る変更前後表

前回申請書 (平成30年8月17日付三原燃第18-393号をもって申請 (平成31年2月5日付三原燃第18-1013号をもって一部補正))	今回の核燃料輸送物設計変更承認申請	備考
	<p>(i) - 第D.3図 BWR燃料集合体断面図(1格子の例)</p>	<ul style="list-style-type: none"> ・収納物の追加に伴う記載の見直し(図の追加)

核燃料輸送物設計変更承認申請に係る変更前後表

前回申請書 (平成30年8月17日付三原燃第18-393号をもって申請 (平成31年2月5日付三原燃第18-1013号をもって一部補正))	今回の核燃料輸送物設計変更承認申請	備考																																																																								
<p>(イ) 第D.1表 燃料集合体の型式及び仕様例</p> <table border="1"> <thead> <tr> <th>燃料集合体の種類と型式 主要な燃料諸元</th><th>9×9 燃料</th></tr> </thead> <tbody> <tr> <td>材 質</td><td></td></tr> <tr> <td>燃 料</td><td>二酸化ウラン</td></tr> <tr> <td>被 覆 管</td><td>ジルカロイ-2 (ジルコニウム内張)</td></tr> <tr> <td>チヤンネルボックス</td><td>ジルカロイ-4</td></tr> <tr> <td>燃料密度 (理論密度比%)</td><td>約□</td></tr> <tr> <td>濃縮度 (wt%)</td><td>5.0 以下</td></tr> <tr> <td>形 状</td><td></td></tr> <tr> <td>集合体長さ (mm)</td><td>約□</td></tr> <tr> <td>燃料有効長 (mm)</td><td>約□</td></tr> <tr> <td>燃料棒直径 (mm)</td><td>□</td></tr> <tr> <td>燃料棒ピッチ (mm)</td><td>□</td></tr> <tr> <td>集合体幅 (mm)</td><td>□</td></tr> <tr> <td>燃料棒本数</td><td>□</td></tr> <tr> <td>重 量</td><td></td></tr> <tr> <td>燃料集合体重量 (kg) (チヤンネルボックスを含む)</td><td>□ 以下</td></tr> <tr> <td>二酸化ウラン重量 (kg)</td><td>□ 以下</td></tr> <tr> <td>ウラン重量 (kg)</td><td>□ 以下</td></tr> </tbody> </table> <p>(イ) D-4</p>	燃料集合体の種類と型式 主要な燃料諸元	9×9 燃料	材 質		燃 料	二酸化ウラン	被 覆 管	ジルカロイ-2 (ジルコニウム内張)	チヤンネルボックス	ジルカロイ-4	燃料密度 (理論密度比%)	約□	濃縮度 (wt%)	5.0 以下	形 状		集合体長さ (mm)	約□	燃料有効長 (mm)	約□	燃料棒直径 (mm)	□	燃料棒ピッチ (mm)	□	集合体幅 (mm)	□	燃料棒本数	□	重 量		燃料集合体重量 (kg) (チヤンネルボックスを含む)	□ 以下	二酸化ウラン重量 (kg)	□ 以下	ウラン重量 (kg)	□ 以下	<p>(イ) 第D.1表 燃料集合体の型式及び仕様例</p> <table border="1"> <thead> <tr> <th>燃料集合体の種類と型式 主要な燃料諸元</th><th>9×9 燃料</th></tr> </thead> <tbody> <tr> <td>材 質</td><td></td></tr> <tr> <td>燃 料</td><td>二酸化ウラン</td></tr> <tr> <td>被 覆 管</td><td>ジルカロイ-2 (ジルコニウム内張)</td></tr> <tr> <td>燃料密度 (理論密度比%)</td><td>約□</td></tr> <tr> <td>濃縮度 (wt%)</td><td>5.0 以下</td></tr> <tr> <td>形 状</td><td></td></tr> <tr> <td>集合体長さ (mm)</td><td>約□</td></tr> <tr> <td>燃料有効長 (mm)</td><td>約□</td></tr> <tr> <td>燃料棒直径 (mm)</td><td>11.0</td></tr> <tr> <td>燃料棒ピッチ (mm)</td><td>14.5</td></tr> <tr> <td>集合体幅 (mm)</td><td>134</td></tr> <tr> <td>燃料棒本数</td><td>72</td></tr> <tr> <td>重 量</td><td></td></tr> <tr> <td>燃料集合体重量 (kg) (チヤンネルボックスを含む)</td><td>□ 以下</td></tr> <tr> <td>二酸化ウラン重量 (kg)</td><td>□ 以下</td></tr> <tr> <td>ウラン重量 (kg)</td><td>□ 以下</td></tr> <tr> <td>格子の種類</td><td>□ 格子及び△格子</td></tr> </tbody> </table> <p>(イ) D-5</p>	燃料集合体の種類と型式 主要な燃料諸元	9×9 燃料	材 質		燃 料	二酸化ウラン	被 覆 管	ジルカロイ-2 (ジルコニウム内張)	燃料密度 (理論密度比%)	約□	濃縮度 (wt%)	5.0 以下	形 状		集合体長さ (mm)	約□	燃料有効長 (mm)	約□	燃料棒直径 (mm)	11.0	燃料棒ピッチ (mm)	14.5	集合体幅 (mm)	134	燃料棒本数	72	重 量		燃料集合体重量 (kg) (チヤンネルボックスを含む)	□ 以下	二酸化ウラン重量 (kg)	□ 以下	ウラン重量 (kg)	□ 以下	格子の種類	□ 格子及び△格子	<ul style="list-style-type: none"> ・収納物の追加に伴う記載の見直し
燃料集合体の種類と型式 主要な燃料諸元	9×9 燃料																																																																									
材 質																																																																										
燃 料	二酸化ウラン																																																																									
被 覆 管	ジルカロイ-2 (ジルコニウム内張)																																																																									
チヤンネルボックス	ジルカロイ-4																																																																									
燃料密度 (理論密度比%)	約□																																																																									
濃縮度 (wt%)	5.0 以下																																																																									
形 状																																																																										
集合体長さ (mm)	約□																																																																									
燃料有効長 (mm)	約□																																																																									
燃料棒直径 (mm)	□																																																																									
燃料棒ピッチ (mm)	□																																																																									
集合体幅 (mm)	□																																																																									
燃料棒本数	□																																																																									
重 量																																																																										
燃料集合体重量 (kg) (チヤンネルボックスを含む)	□ 以下																																																																									
二酸化ウラン重量 (kg)	□ 以下																																																																									
ウラン重量 (kg)	□ 以下																																																																									
燃料集合体の種類と型式 主要な燃料諸元	9×9 燃料																																																																									
材 質																																																																										
燃 料	二酸化ウラン																																																																									
被 覆 管	ジルカロイ-2 (ジルコニウム内張)																																																																									
燃料密度 (理論密度比%)	約□																																																																									
濃縮度 (wt%)	5.0 以下																																																																									
形 状																																																																										
集合体長さ (mm)	約□																																																																									
燃料有効長 (mm)	約□																																																																									
燃料棒直径 (mm)	11.0																																																																									
燃料棒ピッチ (mm)	14.5																																																																									
集合体幅 (mm)	134																																																																									
燃料棒本数	72																																																																									
重 量																																																																										
燃料集合体重量 (kg) (チヤンネルボックスを含む)	□ 以下																																																																									
二酸化ウラン重量 (kg)	□ 以下																																																																									
ウラン重量 (kg)	□ 以下																																																																									
格子の種類	□ 格子及び△格子																																																																									

核燃料輸送物設計変更承認申請に係る変更前後表

前回申請書 (平成 30 年 8 月 17 日付三原燃第 18-393 号をもって申請 (平成 31 年 2 月 5 日付三原燃第 18-1013 号をもって一部補正))	今回の核燃料輸送物設計変更承認申請	備考																																																				
<p>(イ) 第D.2表 チャンネルボックスの仕様例</p> <table border="1"> <thead> <tr> <th>諸元</th> <th>仕様</th> </tr> </thead> <tbody> <tr> <td>寸法</td> <td></td> </tr> <tr> <td>全長 (mm)</td> <td><input type="text"/></td> </tr> <tr> <td>チャンネル幅 (mm)</td> <td><input type="text"/> <input type="text"/></td> </tr> <tr> <td>全幅 (mm)</td> <td><input type="text"/></td> </tr> <tr> <td>チャンネル厚さ (mm)</td> <td><input type="text"/></td> </tr> <tr> <td>重量</td> <td></td> </tr> <tr> <td>全重量 (kg)</td> <td><input type="text"/></td> </tr> <tr> <td>材料</td> <td></td> </tr> <tr> <td>チャンネル材質</td> <td>ジルカロイ-4</td> </tr> </tbody> </table>	諸元	仕様	寸法		全長 (mm)	<input type="text"/>	チャンネル幅 (mm)	<input type="text"/> <input type="text"/>	全幅 (mm)	<input type="text"/>	チャンネル厚さ (mm)	<input type="text"/>	重量		全重量 (kg)	<input type="text"/>	材料		チャンネル材質	ジルカロイ-4	<p>(イ) 第D.2表 チャンネルボックスの仕様例</p> <table border="1"> <thead> <tr> <th rowspan="2">諸元</th> <th colspan="2">仕様</th> </tr> <tr> <th>タイプ1</th> <th>タイプ2</th> </tr> </thead> <tbody> <tr> <td>寸法</td> <td></td> <td></td> </tr> <tr> <td>全長 (mm)</td> <td><input type="text"/></td> <td><input type="text"/></td> </tr> <tr> <td>チャンネル幅 (mm)</td> <td><input type="text"/> <input type="text"/></td> <td><input type="text"/> <input type="text"/></td> </tr> <tr> <td>全幅 (mm)</td> <td><input type="text"/></td> <td><input type="text"/> <input type="text"/></td> </tr> <tr> <td>チャンネル厚さ (mm)</td> <td><input type="text"/></td> <td><input type="text"/></td> </tr> <tr> <td>重量</td> <td></td> <td></td> </tr> <tr> <td>全重量 (kg)</td> <td><input type="text"/></td> <td><input type="text"/></td> </tr> <tr> <td>材料</td> <td></td> <td></td> </tr> <tr> <td>チャンネルボックス</td> <td>ジルカロイ-4</td> <td>ジルカロイ-4</td> </tr> </tbody> </table>	諸元	仕様		タイプ1	タイプ2	寸法			全長 (mm)	<input type="text"/>	<input type="text"/>	チャンネル幅 (mm)	<input type="text"/> <input type="text"/>	<input type="text"/> <input type="text"/>	全幅 (mm)	<input type="text"/>	<input type="text"/> <input type="text"/>	チャンネル厚さ (mm)	<input type="text"/>	<input type="text"/>	重量			全重量 (kg)	<input type="text"/>	<input type="text"/>	材料			チャンネルボックス	ジルカロイ-4	ジルカロイ-4	<ul style="list-style-type: none"> ・収納物の追加に伴う記載の見直し
諸元	仕様																																																					
寸法																																																						
全長 (mm)	<input type="text"/>																																																					
チャンネル幅 (mm)	<input type="text"/> <input type="text"/>																																																					
全幅 (mm)	<input type="text"/>																																																					
チャンネル厚さ (mm)	<input type="text"/>																																																					
重量																																																						
全重量 (kg)	<input type="text"/>																																																					
材料																																																						
チャンネル材質	ジルカロイ-4																																																					
諸元	仕様																																																					
	タイプ1	タイプ2																																																				
寸法																																																						
全長 (mm)	<input type="text"/>	<input type="text"/>																																																				
チャンネル幅 (mm)	<input type="text"/> <input type="text"/>	<input type="text"/> <input type="text"/>																																																				
全幅 (mm)	<input type="text"/>	<input type="text"/> <input type="text"/>																																																				
チャンネル厚さ (mm)	<input type="text"/>	<input type="text"/>																																																				
重量																																																						
全重量 (kg)	<input type="text"/>	<input type="text"/>																																																				
材料																																																						
チャンネルボックス	ジルカロイ-4	ジルカロイ-4																																																				

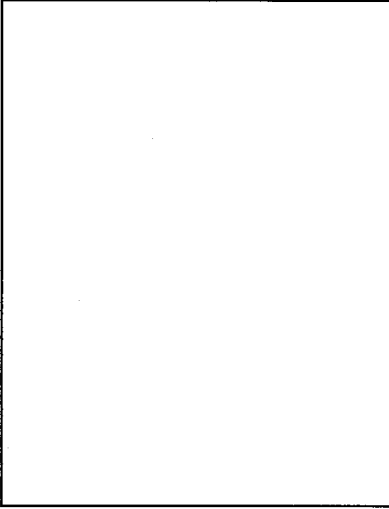
(イ) - D - 5

(イ) - D - 6

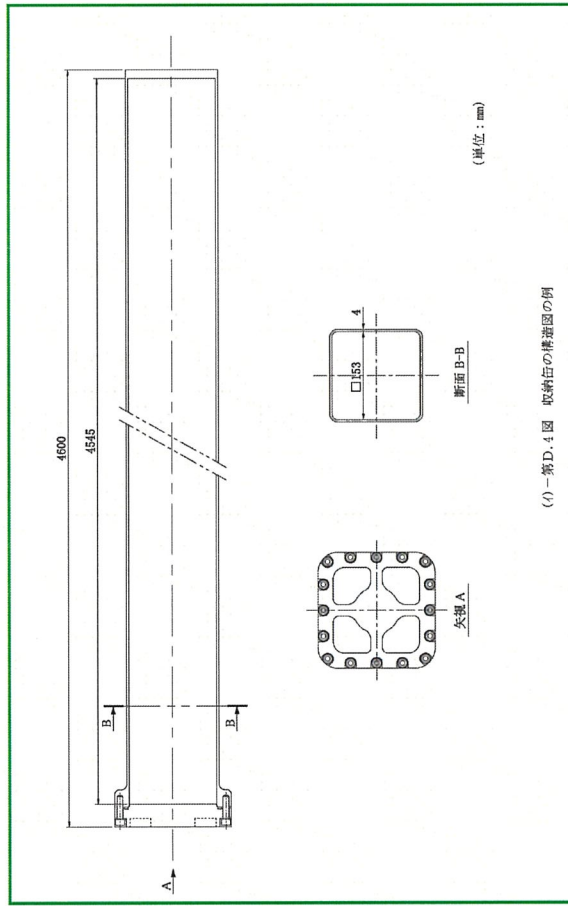
核燃料輸送物設計変更承認申請に係る変更前後表

前回申請書 (平成 30 年 8 月 17 日付三原燃第 18-393 号をもって申請 (平成 31 年 2 月 5 日付三原燃第 18-1013 号をもって一部補正))	今回の核燃料輸送物設計変更承認申請	備考																														
	<p style="text-align: center;">(イ) 第D.3表 収納缶の仕様例</p> <table border="1" style="width: 100%; border-collapse: collapse; text-align: center;"> <thead> <tr> <th>項目</th> <th>仕様</th> </tr> </thead> <tbody> <tr> <td>寸 法</td> <td></td> </tr> <tr> <td>全 長 (mm)</td> <td>4600</td> </tr> <tr> <td>内 部 長 さ (mm)</td> <td>4545</td> </tr> <tr> <td>胴 橫断面内法 (mm)</td> <td>153</td> </tr> <tr> <td>胴 板 厚 (mm)</td> <td>4</td> </tr> <tr> <td>重 量</td> <td></td> </tr> <tr> <td>全 重 量 (kg)</td> <td>□</td> </tr> <tr> <td>材 質¹⁾</td> <td></td> </tr> <tr> <td>　　胴</td> <td>ステンレス鋼</td> </tr> <tr> <td>　　底 板</td> <td>ステンレス鋼</td> </tr> <tr> <td>　　蓋 板</td> <td>ステンレス鋼</td> </tr> <tr> <td>　　胴 フ ラ ン ジ</td> <td>ステンレス鋼</td> </tr> <tr> <td>　　蓋 板 ボ ル ト</td> <td>合金鋼</td> </tr> <tr> <td>　　ガス ケ ッ ト</td> <td>EPDM</td> </tr> </tbody> </table> <p style="text-align: center;">注 1) ステンレス鋼はSUS304 又は相当品、合金鋼はSNB23-3 又は 相当品を用いる。</p>	項目	仕様	寸 法		全 長 (mm)	4600	内 部 長 さ (mm)	4545	胴 橫断面内法 (mm)	153	胴 板 厚 (mm)	4	重 量		全 重 量 (kg)	□	材 質 ¹⁾		胴	ステンレス鋼	底 板	ステンレス鋼	蓋 板	ステンレス鋼	胴 フ ラ ン ジ	ステンレス鋼	蓋 板 ボ ル ト	合金鋼	ガス ケ ッ ト	EPDM	<ul style="list-style-type: none"> ・収納物の追加に伴う記載の見直し (表の追加)
項目	仕様																															
寸 法																																
全 長 (mm)	4600																															
内 部 長 さ (mm)	4545																															
胴 橫断面内法 (mm)	153																															
胴 板 厚 (mm)	4																															
重 量																																
全 重 量 (kg)	□																															
材 質 ¹⁾																																
胴	ステンレス鋼																															
底 板	ステンレス鋼																															
蓋 板	ステンレス鋼																															
胴 フ ラ ン ジ	ステンレス鋼																															
蓋 板 ボ ル ト	合金鋼																															
ガス ケ ッ ト	EPDM																															

核燃料輸送物設計変更承認申請に係る変更前後表

前回申請書 (平成 30 年 8 月 17 日付三原燃第 18-393 号をもって申請 (平成 31 年 2 月 5 日付三原燃第 18-1013 号をもって一部補正))	今回の核燃料輸送物設計変更承認申請	備考
 (単位 : mm) (i) 第 D.3 図 スツールの構造図の例 (i)-D-6		<ul style="list-style-type: none">・収納物の追加に伴う記載の見直し(図の削除)

核燃料輸送物設計変更承認申請に係る変更前後表

前回申請書 (平成 30 年 8 月 17 日付三原燃第 18-393 号をもって申請 (平成 31 年 2 月 5 日付三原燃第 18-1013 号をもって一部補正))	今回の核燃料輸送物設計変更承認申請	備考
	 <p>(単位 : mm)</p> <p>断面 B-B</p> <p>底盤 A</p> <p>(4) - D - 8</p>	<ul style="list-style-type: none"> ・収納物の追加に伴う記載の見直し (図の追加)

核燃料輸送物設計変更承認申請に係る変更前後表

前回申請書 (平成30年8月17日付三原燃第18-393号をもって申請 (平成31年2月5日付三原燃第18-1013号をもって一部補正))	今回の核燃料輸送物設計変更承認申請	備考																																																										
<p>(3) 燃料組成仕様</p> <p>収納物の燃料組成仕様を(4)-第D.3表に示す。</p> <p>(4)-第D.3表 収納物の燃料組成仕様</p> <table border="1"> <thead> <tr> <th colspan="2">燃料組成</th> </tr> </thead> <tbody> <tr> <td>²³⁵U</td> <td>≤5.0 wt%</td> </tr> <tr> <td>²³⁸U</td> <td>残</td> </tr> <tr> <td>²³²U</td> <td>≤ [] μg/gU</td> </tr> <tr> <td>²³⁴U</td> <td>≤ [] μg/g²³⁵U</td> </tr> <tr> <td>²³⁸U</td> <td>≤ [] μg/gU</td> </tr> <tr> <td>⁹⁰Tc</td> <td>≤ [] μg/gU</td> </tr> </tbody> </table> <p>注1) ただし、²³²Uが[] μg/gU未満の場合は、²³⁴U及び⁹⁰Tcは適用外</p> <p>(4) 主要な核種の放射性物質の量</p> <p>収納物の主要な核種について、放射能の量の算定に使用する比放射能と算定された放射能の量をそれぞれ(4)-第D.4表と(4)-第D.5表に示す。</p> <p>(4)-第D.4表 放射能の量の算定に使用する比放射能</p> <table border="1"> <thead> <tr> <th rowspan="2">主要な核種</th> <th colspan="2">比放射能 (Bq/g)</th> </tr> <tr> <th>子孫核種を含まない¹⁾</th> <th>子孫核種を含む²⁾</th> </tr> </thead> <tbody> <tr> <td>²³⁵U</td> <td>7.923×10^{11}</td> <td>5.757×10^{12}</td> </tr> <tr> <td>²³⁴U</td> <td>2.313×10^8</td> <td>2.313×10^8</td> </tr> <tr> <td>²³⁸U</td> <td>8.001×10^4</td> <td>1.601×10^5</td> </tr> <tr> <td>²³⁹U</td> <td>2.395×10^6</td> <td>2.395×10^6</td> </tr> <tr> <td>²³⁸U</td> <td>1.244×10^4</td> <td>3.735×10^4</td> </tr> <tr> <td>⁹⁰Tc</td> <td>6.275×10^8</td> <td>6.275×10^8</td> </tr> </tbody> </table> <p>注1) 子孫核種を含まない比放射能 (Origin2のデータベースより) 注2) 崩壊期間 10年時点での子孫核種を含めた比放射能 (Origin2による計算結果)</p> <p>(4)-第D.5表 放射能の量の算定に使用する比放射能</p> <table border="1"> <thead> <tr> <th rowspan="2">主要な核種</th> <th colspan="2">比放射能 (Bq/g)</th> </tr> <tr> <th>子孫核種を含まない¹⁾</th> <th>子孫核種を含む²⁾</th> </tr> </thead> <tbody> <tr> <td>²³⁵U</td> <td>7.923×10^{11}</td> <td>5.757×10^{12}</td> </tr> <tr> <td>²³⁴U</td> <td>2.313×10^8</td> <td>2.313×10^8</td> </tr> <tr> <td>²³⁸U</td> <td>8.001×10^4</td> <td>1.601×10^5</td> </tr> <tr> <td>²³⁹U</td> <td>2.395×10^6</td> <td>2.395×10^6</td> </tr> <tr> <td>²³⁸U</td> <td>1.244×10^4</td> <td>3.735×10^4</td> </tr> <tr> <td>⁹⁰Tc</td> <td>6.275×10^8</td> <td>6.275×10^8</td> </tr> </tbody> </table> <p>注1) 子孫核種を含まない比放射能 (Origin2のデータベースより) 注2) 崩壊期間 10年時点での子孫核種を含めた比放射能 (Origin2による計算結果)</p>	燃料組成		²³⁵ U	≤5.0 wt%	²³⁸ U	残	²³² U	≤ [] μg/gU	²³⁴ U	≤ [] μg/g ²³⁵ U	²³⁸ U	≤ [] μg/gU	⁹⁰ Tc	≤ [] μg/gU	主要な核種	比放射能 (Bq/g)		子孫核種を含まない ¹⁾	子孫核種を含む ²⁾	²³⁵ U	7.923×10^{11}	5.757×10^{12}	²³⁴ U	2.313×10^8	2.313×10^8	²³⁸ U	8.001×10^4	1.601×10^5	²³⁹ U	2.395×10^6	2.395×10^6	²³⁸ U	1.244×10^4	3.735×10^4	⁹⁰ Tc	6.275×10^8	6.275×10^8	主要な核種	比放射能 (Bq/g)		子孫核種を含まない ¹⁾	子孫核種を含む ²⁾	²³⁵ U	7.923×10^{11}	5.757×10^{12}	²³⁴ U	2.313×10^8	2.313×10^8	²³⁸ U	8.001×10^4	1.601×10^5	²³⁹ U	2.395×10^6	2.395×10^6	²³⁸ U	1.244×10^4	3.735×10^4	⁹⁰ Tc	6.275×10^8	6.275×10^8
燃料組成																																																												
²³⁵ U	≤5.0 wt%																																																											
²³⁸ U	残																																																											
²³² U	≤ [] μg/gU																																																											
²³⁴ U	≤ [] μg/g ²³⁵ U																																																											
²³⁸ U	≤ [] μg/gU																																																											
⁹⁰ Tc	≤ [] μg/gU																																																											
主要な核種	比放射能 (Bq/g)																																																											
	子孫核種を含まない ¹⁾	子孫核種を含む ²⁾																																																										
²³⁵ U	7.923×10^{11}	5.757×10^{12}																																																										
²³⁴ U	2.313×10^8	2.313×10^8																																																										
²³⁸ U	8.001×10^4	1.601×10^5																																																										
²³⁹ U	2.395×10^6	2.395×10^6																																																										
²³⁸ U	1.244×10^4	3.735×10^4																																																										
⁹⁰ Tc	6.275×10^8	6.275×10^8																																																										
主要な核種	比放射能 (Bq/g)																																																											
	子孫核種を含まない ¹⁾	子孫核種を含む ²⁾																																																										
²³⁵ U	7.923×10^{11}	5.757×10^{12}																																																										
²³⁴ U	2.313×10^8	2.313×10^8																																																										
²³⁸ U	8.001×10^4	1.601×10^5																																																										
²³⁹ U	2.395×10^6	2.395×10^6																																																										
²³⁸ U	1.244×10^4	3.735×10^4																																																										
⁹⁰ Tc	6.275×10^8	6.275×10^8																																																										

・記載の適正化

核燃料輸送物設計変更承認申請に係る変更前後表

前回申請書 (平成 30 年 8 月 17 日付三原燃第 18-393 号をもって申請 (平成 31 年 2 月 5 日付三原燃第 18-1013 号をもって一部補正))	今回の核燃料輸送物設計変更承認申請	備考																																																				
<p>(イ) 第 D.5 表 主要な核種の放射能の量</p> <table border="1"> <thead> <tr> <th rowspan="2">主要な核種</th> <th colspan="2">放射能の量¹⁾ (GBq/基)</th> </tr> <tr> <th>子孫核種を含まない</th> <th>子孫核種を含む</th> </tr> </thead> <tbody> <tr> <td>²³²U</td> <td></td> <td></td> </tr> <tr> <td>²³⁴U</td> <td></td> <td></td> </tr> <tr> <td>²³⁵U</td> <td></td> <td></td> </tr> <tr> <td>²³⁶U</td> <td></td> <td></td> </tr> <tr> <td>²³⁸U</td> <td></td> <td></td> </tr> <tr> <td>⁹⁰Tc</td> <td></td> <td></td> </tr> <tr> <td>合 計</td> <td></td> <td></td> </tr> </tbody> </table> <p>注 1) 濃縮度が 5.0 wt% の場合</p> <p style="text-align: center;">(イ) -D-8</p>	主要な核種	放射能の量 ¹⁾ (GBq/基)		子孫核種を含まない	子孫核種を含む	²³² U			²³⁴ U			²³⁵ U			²³⁶ U			²³⁸ U			⁹⁰ Tc			合 計			<p>(イ) 第 D.5 表 主要な核種の放射能の量</p> <table border="1"> <thead> <tr> <th rowspan="2">主要な核種</th> <th colspan="2">放射能の量¹⁾ (GBq/基)</th> </tr> <tr> <th>子孫核種を含まない</th> <th>子孫核種を含む</th> </tr> </thead> <tbody> <tr> <td>²³²U</td> <td></td> <td></td> </tr> <tr> <td>²³⁴U</td> <td></td> <td></td> </tr> <tr> <td>²³⁵U</td> <td></td> <td></td> </tr> <tr> <td>²³⁶U</td> <td></td> <td></td> </tr> <tr> <td>²³⁸U</td> <td></td> <td></td> </tr> <tr> <td>⁹⁰Tc</td> <td></td> <td></td> </tr> <tr> <td>合 計</td> <td></td> <td></td> </tr> </tbody> </table> <p>注 1) 濃縮度が 5.0 wt% の場合</p> <p style="text-align: center;">(イ) -D-10</p>	主要な核種	放射能の量 ¹⁾ (GBq/基)		子孫核種を含まない	子孫核種を含む	²³² U			²³⁴ U			²³⁵ U			²³⁶ U			²³⁸ U			⁹⁰ Tc			合 計			<ul style="list-style-type: none"> 記載の適正化
主要な核種		放射能の量 ¹⁾ (GBq/基)																																																				
	子孫核種を含まない	子孫核種を含む																																																				
²³² U																																																						
²³⁴ U																																																						
²³⁵ U																																																						
²³⁶ U																																																						
²³⁸ U																																																						
⁹⁰ Tc																																																						
合 計																																																						
主要な核種	放射能の量 ¹⁾ (GBq/基)																																																					
	子孫核種を含まない	子孫核種を含む																																																				
²³² U																																																						
²³⁴ U																																																						
²³⁵ U																																																						
²³⁶ U																																																						
²³⁸ U																																																						
⁹⁰ Tc																																																						
合 計																																																						

核燃料輸送物設計変更承認申請に係る変更前後表

前回申請書 (平成 30 年 8 月 17 日付三原燃第 18-393 号をもって申請 (平成 31 年 2 月 5 日付三原燃第 18-1013 号をもって一部補正))	今回の核燃料輸送物設計変更承認申請	備考
<p>(イ) 章 付属書類－1 輸送物の種類に関する補足説明</p> <p>本輸送物の収納物は「未使用のBWR燃料集合体」であり、同集合体に含まれるウランは「濃縮度 5%未満の未照射ウラン」である。</p> <p>当該ウランは、「核燃料物質等の工場又は事業所の外における運搬に関する技術上の基準に係る細目等を定める告示（以下、「告示」という）別表第一中の「U（未照射、かつ濃縮度 20%以下のもの）」に該当し、当該ウランの「特別形核燃料物質等以外の核燃料物質等である場合の数量（A₂値）」は、「制限なし」である。</p> <p>一方、当該燃料集合体は、軽水炉型原子力発電所の使用済燃料プールに保管されていたものであり、プールからの取出し後、燃料集合体表面の洗浄を実施しているものの、プール水に含まれる放射性物質の一部が燃料集合体表面に残留している可能性がある。</p> <p>仮想的かつ保守的な仮定として、燃料集合体表面にプール水膜厚 1mm 分の放射性物質が残留していると仮定すると、燃料集合体に付着している汚染量は [] [⁶⁰Co TBq／容器] となる。（ロ章 D.2 (2) 項「プール水による表面汚染」参照）</p> <p>⁶⁰Coに対する告示別表第一のA₂値は 0.4[TBq] であるので、燃料集合体に付着した ⁶⁰Co の放射能量は A₂ 値よりも十分に小さく、A 型輸送物に分類される。</p> <p>また、本輸送物の収納物は、最大 [] kgU の濃縮度 5%以下のウランであり、輸送容器当たり最大 [] kg²³⁹U の核分裂性核種が含まれ、核分裂性輸送物に該当する。</p> <p>したがって、本輸送物は A 型核分裂性輸送物に分類される。</p>	<p>(イ) 章 付属書類－1 輸送物の種類に関する補足説明</p> <p>本輸送物の収納物は未使用のBWR燃料集合体であり、同燃料集合体に含まれるウランは濃縮度 5%未満の未照射ウランである。</p> <p>当該ウランは、「核燃料物質等の工場又は事業所の外における運搬に関する技術上の基準に係る細目等を定める告示（以下、「告示」という）別表第一中の「U（未照射、かつ濃縮度 20%以下のもの）」に該当し、当該ウランの特別形核燃料物質等以外の核燃料物質等である場合の数量（A₂値）は、「制限なし」である。</p> <p>一方、収納物として選択した燃料集合体は、軽水炉型原子力発電所において汚染削減を行った運搬用付与した燃料集合体であり、この汚染削減として(イ)～D運搬解析 D.6.1付属書類－1に示すように、主な核種としては⁶⁰Co と⁶³Ni と子孫核種⁶³Tl があり、その間に⁸⁹Rb、⁹⁰Ca、⁹⁰Sr（と子孫核種⁹⁰Rb）が含まれている。また、(イ) 章輸送容器の保守及び核燃料輸送物の貯蔵方法に示すように、燃料集合体は輸送容器への収納に際して、その表面の経量当量率を計測し、ある経量当量率以下となるように管理する（この経量当量率を管理基準と呼ぶ）。</p> <p>(イ)～D運搬解析 D.6.3 付属書類－3 に示すように、燃料集合体表面での経量当量率が管理基準となる際、燃料集合体に付着している汚染核種の放射能の量を算出している。汚染核種の放射能の量が最も多くなる想定として、汚染核種のうち最も経量当量率への寄与の高い⁶⁰Co を含まず、⁶³Ca 及びその他の核種（⁶³Ni、⁶³Ca、⁹⁰Sr、¹³⁷Ba、⁹⁰Y）のみとした条件下評価を実施し、これら汚染核種の放射能の量の合計を [] Bq と算出している。</p> <p>このとき告示別表第四に定められる算式*に基づき、各核種（⁶⁰Co 及び⁶³Ni、⁶³Ca、⁹⁰Sr）の放射能の量を、各核種の告示別表第一で定められる A₂ 値で除した値の総和を計算し、この値が 1 よりも小さいことを確認している。したがって、本輸送物は A 型核分裂性輸送物に分類される。</p> <p>*告示別表第四：「種類が二種類以上であり、かつ、種類の全部又は一部が明らかである放射性物質の場合の数量の限度」における「放射性物質の種類の全部及び種類別の数量の全部が明らかな場合」の「数量」に記載の算式</p>	<ul style="list-style-type: none"> ・収納物の追加に伴う記載の見直し

核燃料輸送物設計変更承認申請に係る変更前後表

前回申請書 (平成 30 年 8 月 17 日付三原燃第 18-393 号をもって申請 (平成 31 年 2 月 5 日付三原燃第 18-1013 号をもって一部補正))	今回の核燃料輸送物設計変更承認申請	備考
<p>(a) 章 核燃料輸送物の安全解析</p> <p>本輸送物に関する安全解析は、本輸送物が「核燃料物質等の工場又は事業所の外における運搬に関する規則（昭和 53 年總理府令第 57 号）」（以下「規則」という。）及び「平成 2 年科学技術庁告示第 5 号（核燃料物質等の工場又は事業所の外における運搬に関する技術上の基準に係る細目等を定める告示）」（以下「告示」という。）に基づいて A 型核分裂性輸送物としての技術上の基準に適合することを示すために行う。</p> <p>本解析の概要は以下のとおりである。</p> <p>1. 構造解析</p> <p>構造解析では、通常の輸送時において輸送物にき裂、破損等が生じないことを確認し、一般的の試験条件において密封装置の健全性が維持されることを確認している。</p> <p>また、熱及び遮蔽解析の評価条件を得るために一般及び特別の試験条件における輸送物の状態及び健全性を評価している。</p> <p>さらに、本輸送物は A 型核分裂性輸送物であることから、未臨界評価のために核分裂性輸送物に係る一般及び特別の試験条件における輸送物の状態及び健全性について評価している。</p> <p>2. 热 解 析</p> <p>熱解析では、前記の構造解析の結果を考慮して、一般及び特別の試験条件における輸送物各部の温度及び圧力を評価し、構造、遮蔽及び臨界解析の評価条件を与えている。</p> <p>3. 密封解析</p> <p>密封解析では、一般的試験条件において密封装置の健全性が維持されることを確認し、A 型輸送物に係る技術基準を満足することを示している。</p> <p>4. 遮蔽解析</p> <p>遮蔽解析では、構造解析及び熱解析から得られた評価条件を考慮して、通常輸送時及び一般的試験条件における輸送物表面あるいは表面から 1m 離れた位置の線量当量率を評価し、基準値を満足することを示している。</p>	<p>(a) 章 核燃料輸送物の安全解析</p> <p>本輸送物に関する安全解析は、本輸送物が「核燃料物質等の工場又は事業所の外における運搬に関する規則（昭和 53 年總理府令第 57 号）」（以下「規則」という。）及び「核燃料物質等の工場又は事業所の外における運搬に関する技術上の基準に係る細目等を定める告示（平成 2 年科学技術庁告示第 5 号）」（以下「告示」という。）に基づいて A 型核分裂性輸送物としての技術上の基準に適合することを示すために行う。</p> <p>本解析の概要は以下のとおりである。</p> <p>1. 構造解析</p> <p>構造解析では、A 型輸送物に係る技術上の基準に適合することを確認するため、通常の輸送及び積扱いにおいて本輸送物に損傷が生じるおそれがないことを評価するとともに、A 型輸送物に係る一般的試験条件における輸送物の状態及び健全性について評価している。これらの結果は、A 型輸送物に係る一般的試験条件における密封条件及び遮蔽解析の前提条件となっている。</p> <p>さらに、核分裂性物質に係る核燃料輸送物の技術上の基準に適合することを確認するため、核分裂性輸送物に係る一般及び特別の試験条件における輸送物の状態及び健全性について評価しており、これらの結果は、遮蔽解析の結果とともに臨界解析の前提条件となっている。</p> <p>2. 热 解 析</p> <p>熱解析では、未全倒に B 型輸送物に係る一般的な試験条件に規定された熱解析の結果を考慮した評価を実施している。これらの結果は、構造解析及び密封解析での同一の前提条件となっている。</p> <p>さらに、前記の構造解析（核分裂性輸送物に係る一般及び特別の試験条件の条件下）での輸送物の損傷状態を考慮して、核分裂性輸送物に係る特別の試験条件における輸送物各部の温度及び圧力を評価している。これらの結果は、構造解析（核分裂性輸送物に係る特別の試験条件の熱的試験）の前提条件となっているほか、構造解析の結果とともに遮蔽解析の前提条件となっている。</p> <p>3. 密封解析</p> <p>密封解析では、前記の構造解析及び熱解析の結果を踏まえ、A 型輸送物に係る一般的試験条件において密封装置の健全性が維持されることを確認し、A 型輸送物に係る技術上の基準を満足することを示している。</p>	<ul style="list-style-type: none"> ・記載要領の変更に伴う記載の見直し ・知見の更新に関する記載の見直し

核燃料輸送物設計変更承認申請に係る変更前後表

前回申請書 (平成 30 年 8 月 17 日付三原燃第 18-393 号をもって申請 (平成 31 年 2 月 5 日付三原燃第 18-1013 号をもって一部補正))	今回の核燃料輸送物設計変更承認申請	備考
<p>5. 臨界解析</p> <p>臨界解析では、前記の構造解析及び熱解析の結果を考慮して、通常輸送時における輸送物、孤立系における輸送物並びに核分裂性輸送物に係る一般及び特別の試験条件下における孤立系及び配列系輸送物のいずれの場合にも未臨界であることを示している。</p> <p>なお、収納物の変形については、一般及び特別の試験条件の解析モデルにおいて十分に保守的な条件を仮定しており、安全側の評価になっている。</p> <p>6. 規則及び告示に対する適合性の評価</p> <p>以上の結果及びイ章の核燃料輸送物の説明を総合して、本輸送物の設計が規則及び告示に定める技術基準に適合していることを示している。</p> <p>以下、ローマ字 A～F に各解析、評価の詳細を示す。</p>	<p>4. 避難解析</p> <p>避難解析では、通常輸送時に用いる輸送物表面及び裏面から 1m 離れた位置の値は、通常運転するとともに、前記の構造解析の結果を考慮して、八割輸送物に係る一般の試験条件における輸送物表面の線量当量率を評価し、八割輸送物に係る技術上の基準を満足することを示している。</p> <p>5. 臨界解析</p> <p>臨界解析では、前記の構造解析及び熱解析で明らかとなった核分裂性輸送物に係る一般及び特別の試験条件における輸送物の積荷基準を考慮して、通常輸送時における輸送物、孤立系における輸送物並びに核分裂性輸送物に係る一般及び特別の試験条件下における孤立系及び配列系輸送物のいずれの場合にも臨界に達することはなく、核分裂性輸送物に係る核燃料輸送物の技術上の基準に適合することを示している。</p> <p>なお、核分裂性輸送物に係る一般及び特別の試験条件における輸送容器の積荷及び収納物の変形については、臨界解析モデルにおいて十分に保守的な条件を仮定しており、安全側の評価になっている。</p> <p>6. 核燃料輸送物の経年変化の考慮</p> <p>使用予定期間に想定される使用状況において、核燃料輸送物を構成する部材の材料に対して、経年変化の要因とその影響について評価を行い、熱、放射線及び化学活性の要因による経年変化については、技術上の基準に適合していることを確認する上で、その影響は考慮する必要がないことを示している。</p> <p>また、堆重し荷重による経年変化については、吊上げによる荷重、内外圧差による荷重、荷ポルトの荷下台による荷重が核燃料輸送物を構成する各部材に作用するため、各部材の疲労を考慮する必要がある。使用予定期数及び各部材の材料を踏まえて荷重を評価したところ、各部材に既存による破壊が生じる恐れはないため、技術上の基準に適合していることへの影響はない」と表示している。</p> <p>7. カリブ規則及びイ章告示に対する適合性の評価</p> <p>以上の結果及びイ章の核燃料輸送物の説明を総合して、本輸送物の設計が規則及び告示に定める技術上の基準に適合していることを示している。</p> <p>以下、ローマ字 A～F に各解析、評価の詳細を示す。</p>	<ul style="list-style-type: none"> ・知見の更新に関する記載の見直し ・規則等の改正に伴う記載の見直し

核燃料輸送物設計変更承認申請に係る変更前後表

前回申請書 (平成 30 年 8 月 17 日付三原燃第 18-393 号をもって申請 (平成 31 年 2 月 5 日付三原燃第 18-1013 号をもって一部補正))	今回の核燃料輸送物設計変更承認申請	備考
<p>(a)－A 構造解析</p> <p>A.1 構造設計</p> <p>A.1.1 概 要</p> <p>輸送物の安全な取扱いに必要な基本的構造及び構成は、以下のとおりである。</p> <p>本輸送容器は、(イ)－第C.2 図に示したように、内筒、胴外板、胴ガセット及び上部フランジで構成される胴部と底板からなる本体、蓋板締付けボルトにより上部フランジに固定される蓋板、並びに 10 体のBWR燃料集合体を収納するバスケット、さらに落下などによる機械的衝撃を緩和するための前部及び後部衝撃吸収カバーなどで構成される。</p> <p>輸送容器は密封容器になっており、本体と蓋板の接合部の密封性は二重のガスケットにより保たれるようになっている。</p> <p>また、その他の密封境界として、クイックコネクションを取付けた蓋板の貫通部は、(イ)－第C.10 図に示すように、クイックコネクションカバーガスケットで密封性が保たれる構造となっている。</p> <p>なお、本体と蓋板接合部における蓋板締付けボルト、クイックコネクションカバーの取付けボルトは、(イ)－第C.3 図に示すように、輸送中は前部衝撃吸収カバーで覆われているため、不用意に開けられることはない。</p> <p>(イ)－第C.5 図及び(イ)－第C.6 図に示したように、輸送容器の前部及び後部にはそれぞれ2組及び1組のトラニオンが取付けられており、輸送容器の吊上げ、立起こし及び横倒し操作が容易にかつ安全に実施できる構造となっている。</p> <p>また、胴部の前部及び後部にはそれぞれ1個のハンドリングベルトが取付けられており、輸送容器の水平吊り操作が容易にかつ安全に実施できる構造となっている。</p> <p>容器内部に設置されるバスケットは、燃料集合体が互いに接触して損傷したり、また、1箇所に集合して臨界に達したりする危険性を防止するため、(イ)－第C.11図に示すように、10 個のロジメントを配置し支持する構造となっている。</p> <p>本解析では、法令に定める各試験条件における輸送容器の挙動を評価し、次項に述べる設計基準に適合することを示す。</p> <p style="text-align: right;">(a)－A－1</p>	<p>(a)－A 構造解析</p> <p>A.1 構造設計</p> <p>A.1.1 概 要</p> <p>輸送物の安全な取扱いに必要な基本的構造及び構成は、以下のとおりである。</p> <p>本輸送容器は、(イ)－第C.2 図に示すように、内筒、胴外板、胴ガセット及び上部フランジで構成される胴部と底板からなる本体、蓋板締付けボルトにより上部フランジに固定される蓋板、並びに 10 体のBWR燃料集合体を収納するバスケット、さらに落下などによる機械的衝撃を緩和するための前部及び後部衝撃吸収カバーなどで構成される。</p> <p>輸送容器は密封容器になっており、本体と蓋板の接合部の密封性は二重のガスケットにより保たれるようになっている。</p> <p>また、その他の密封境界として、クイックコネクションを取付けた蓋板の貫通部は、(イ)－第C.10 図に示すように、クイックコネクションカバーガスケットで密封性が保たれる構造となっている。</p> <p>なお、本体と蓋板接合部における蓋板締付けボルト、クイックコネクションカバーの取付けボルトは、(イ)－第C.3 図に示すように、輸送中は前部衝撃吸収カバーで覆われているため、不用意に開けられることはない。</p> <p>(イ)－第C.5 図及び(イ)－第C.6 図に示すように、輸送容器の前部及び後部にはそれぞれ2組及び1組のトラニオンが取付けられており、輸送容器の吊上げ、立起こし及び横倒し操作が容易にかつ安全に実施できる構造となっている。</p> <p>また、胴部の前部及び後部にはそれぞれ1個のハンドリングベルトが取付けられており、輸送容器の水平吊り操作が容易にかつ安全に実施できる構造となっている。</p> <p>容器内部に設置されるバスケットは、燃料集合体が互いに接触して損傷したり、また、1箇所に集合して臨界に達したりする危険性を防止するため、(イ)－第C.11図に示すように、10 個のロジメントを配置し支持する構造となっている。</p> <p style="background-color: #e0f2e0; padding: 5px;">試験物である燃料集合体は、(イ)－第D.1 表に示すとおり、格子の構成として2種類の格子(格子及びリ格子)、主要な請元に同じである。また、燃料集合体は、取扱いに際して考慮すべき状態で、輸送容器用引シメントに収容される。収容缶は、試験物の貯蔵として計画して考慮している。質量以外の要因で荷点する場合は、各評価の段階において、荷点の評価を示す。</p> <p>本解析では、法令に定める各試験条件における輸送容器の挙動を評価し、次項に述べる設計基準に適合することを示す。</p> <p style="text-align: right;">(a)－A－1</p>	<ul style="list-style-type: none"> ・記載の適正化 ・収納物の追加に伴う記載の見直し

核燃料輸送物設計変更承認申請に係る変更前後表

前回申請書 (平成 30 年 8 月 17 日付三原燃第 18-393 号をもって申請 (平成 31 年 2 月 5 日付三原燃第 18-1013 号をもって一部補正))	今回の核燃料輸送物設計変更承認申請	備考
<p>A. 1.2 設計基準</p> <p>告示の要件に従い、構成部品の材質、形状及び荷重条件を考慮して、各解析項目に適用する評価基準を設定する。</p> <p>(1) 評価基準</p> <p>各試験条件及び解析項目に応じて定めた評価基準を以下に示す。</p> <p>a. 輸送物の要件（吊上装置及び固縛装置）</p> <ul style="list-style-type: none"> ① 応力強さ（主応力の差の絶対値）が降伏応力以下であること。 ② 吊上装置について疲労評価を行い、算定された許容繰返し回数が想定繰返し回数以上であること。 <p>b. 一般の試験条件</p> <p>(a) 热的試験</p> <ul style="list-style-type: none"> ① 蓋板締付けボルトについては、発生応力に対して以下の基準を適用する。 $\sigma_m \leq \frac{2}{3} S_y$ $\sigma_m + \sigma_b \leq S_y$ <p>ここで、σ_m：平均引張応力 σ_b：曲げ応力 S_y：設計降伏応力</p> <p>また、疲労評価を行い、算定された許容繰返し回数が想定繰返し回数以上であること。</p> <ul style="list-style-type: none"> ② 蓋板締付けボルト以外の部品については、発生応力を分類してそれぞれの応力強さに対して以下の基準を適用する。 $P_m \leq \text{Min. } \left\{ \frac{1}{3} S_u, \frac{2}{3} S_y \right\}$ $P_L, P_L + P_b \leq 1.5 \times \text{Min. } \left\{ \frac{1}{3} S_u, \frac{2}{3} S_y \right\}$ $P_L + P_b + Q \leq 3 \times \text{Min. } \left\{ \frac{1}{3} S_u, \frac{2}{3} S_y \right\}$ <p>ここで、P_m：一次一般膜応力強さ P_L：一次局部膜応力強さ P_b：一次曲げ応力強さ Q：二次応力強さ S_u：設計引張強さ</p> <ul style="list-style-type: none"> ③ 密封シール部の部品については、応力強さが降伏応力を超えないこと。 ④ パスケットについては、拘束による熱応力が生じないこと。 <p>(n) - A - 2</p>	<p>A. 1.2 設計基準</p> <p>告示の要件に従い、構成部品の材質、形状及び荷重条件を考慮して、各解析項目に適用する評価基準を設定する。</p> <p>(1) 評価基準</p> <p>各試験条件及び解析項目に応じて定めた評価基準を以下に示す。</p> <p>a. 輸送物の要件（吊上装置及び固縛装置）</p> <ul style="list-style-type: none"> ① 応力強さ（主応力の差の絶対値）が降伏応力以下であること。 ② 吊上装置について疲労評価を行い、算定された許容繰返し回数が想定繰返し回数以上であること。 <p>b. 一般の試験条件</p> <p>(a) 热的試験</p> <ul style="list-style-type: none"> ① 蓋板締付けボルトについては、発生応力に対して以下の基準を適用する。 $\sigma_m \leq \frac{2}{3} S_y$ $\sigma_m + \sigma_b \leq S_y$ <p>ここで、σ_m：平均引張応力 σ_b：曲げ応力 S_y：設計降伏応力</p> <p>また、疲労評価を行い、算定された許容繰返し回数が想定繰返し回数以上であること。</p> <ul style="list-style-type: none"> ② 蓋板締付けボルト以外の部品については、発生応力を分類してそれぞれの応力強さに対して以下の基準を適用する。 $P_m \leq \text{Min. } \left\{ \frac{1}{3} S_u, \frac{2}{3} S_y \right\}$ $P_L, P_L + P_b \leq 1.5 \times \text{Min. } \left\{ \frac{1}{3} S_u, \frac{2}{3} S_y \right\}$ $P_L + P_b + Q \leq 3 \times \text{Min. } \left\{ \frac{1}{3} S_u, \frac{2}{3} S_y \right\}$ <p>ここで、P_m：一次一般膜応力強さ P_L：一次局部膜応力強さ P_b：一次曲げ応力強さ Q：二次応力強さ S_u：設計引張強さ</p> <ul style="list-style-type: none"> ③ 密封シール部の部品については、応力強さが降伏応力を超えないこと。 ④ パスケットについては、拘束による熱応力が生じないこと。 <p>(n) - A - 2</p>	<p>・記載の適正化 (用語の統一)</p>

核燃料輸送物設計変更承認申請に係る変更前後表

前回申請書 (平成 30 年 8 月 17 日付三原燃第 18-393 号をもって申請 (平成 31 年 2 月 5 日付三原燃第 18-1013 号をもって一部補正))	今回の核燃料輸送物設計変更承認申請	備考
<p>(b) 水噴霧</p> <ul style="list-style-type: none"> ① 水の吹き付けに耐えうこと。 <p>(c) 自由落下</p> <ul style="list-style-type: none"> ① 蓋板締付けボルトについては、発生応力に対して以下の基準を適用する。 $\sigma_m \leq S_y$ $\sigma_m + \sigma_b \leq S_y$ <ul style="list-style-type: none"> ② 蓋板締付けボルト以外の部品については、他の解析で考慮を要するような形状変化が生じないこと。 ③ 燃料被覆管については、破断しないこと。 <p>(d) 積み重ね試験</p> <ul style="list-style-type: none"> ① 本体胴部に発生する応力強さが降伏応力を超えないこと。 <p>(e) 貨 通</p> <ul style="list-style-type: none"> ① 脊外板に貫通が生じないこと。 <p>c. 核分裂性輸送物に係る一般の試験条件</p> <p>(a) 水噴霧</p> <ul style="list-style-type: none"> ① 水の吹き付けに耐えうこと。 <p>(b) 自由落下</p> <ul style="list-style-type: none"> ① 容器本体及びバスケットについて、臨界解析で考慮を要する形状変化を明らかにする。 ② 蓋板締付けボルトについては、破断しないこと。 ③ 燃料被覆管については、破断しないこと。 <p>(c) 積み重ね試験</p> <ul style="list-style-type: none"> ① 本体胴部について、臨界解析で考慮を要する形状変化を明らかにする。 <p>(d) 貨 通</p> <ul style="list-style-type: none"> ① 臨界解析で考慮を要する形状変化を明らかにする。 <p>d. 核分裂性輸送物に係る特別の試験条件</p> <p>(a) 強度試験・落下試験 I (9m落下時)</p> <ul style="list-style-type: none"> ① 容器本体及びバスケットについて、臨界解析で考慮を要する形状変化を明らかにする。 ② 蓋板締付けボルトについては、破断しないこと。 ③ 燃料被覆管については、破断しないこと。 	<p>(b) 水噴霧</p> <ul style="list-style-type: none"> ① 水の吹き付けに耐えうこと。 <p>(c) 自由落下</p> <ul style="list-style-type: none"> ① 蓋板締付けボルトについては、発生応力に対して以下の基準を適用する。 $\sigma_m \leq S_y$ $\sigma_m + \sigma_b \leq S_y$ <ul style="list-style-type: none"> ② 蓋板締付けボルト以外の部品については、他の解析で考慮を要するような形状変化が生じないこと。 ③ 燃料被覆管については、破断しないこと。 <p>(d) 積み重ね試験</p> <ul style="list-style-type: none"> ① 本体胴部に発生する応力強さが降伏応力を超えないこと。 <p>(e) 貨 通</p> <ul style="list-style-type: none"> ① 脊外板に貫通が生じないこと。 <p>c. 核分裂性輸送物に係る一般の試験条件</p> <p>(a) 水噴霧</p> <ul style="list-style-type: none"> ① 水の吹き付けに耐えうこと。 <p>(b) 自由落下</p> <ul style="list-style-type: none"> ① 容器本体及びバスケットについて、臨界解析で考慮を要する形状変化を明らかにする。 ② 蓋板締付けボルトについては、破断しないこと。 ③ 燃料被覆管については、破断しないこと。 <p>(c) 積み重ね試験</p> <ul style="list-style-type: none"> ① 本体胴部について、臨界解析で考慮を要する形状変化を明らかにする。 <p>(d) 貨 通</p> <ul style="list-style-type: none"> ① 臨界解析で考慮を要する形状変化を明らかにする。 <p>d. 核分裂性輸送物に係る特別の試験条件</p> <p>(a) 強度試験・落下試験 I (9m落下時)</p> <ul style="list-style-type: none"> ① 容器本体及びバスケットについて、臨界解析で考慮を要する形状変化を明らかにする。 ② 蓋板締付けボルトについては、破断しないこと。 ③ 燃料被覆管については、破断しないこと。 	—

核燃料輸送物設計変更承認申請に係る変更前後表

前回申請書 (平成 30 年 8 月 17 日付三原燃第 18-393 号をもって申請 (平成 31 年 2 月 5 日付三原燃第 18-1013 号をもって一部補正))	今回の核燃料輸送物設計変更承認申請	備考
<p>(b) 強度試験・落下試験 II (1m落下時)</p> <ul style="list-style-type: none"> ① 容器本体及びバスケットについて、臨界解析で考慮を要する形状変化を明らかにする。 ② 燃料被覆管については、破断しないこと。 <p>(c) 熱的試験</p> <ul style="list-style-type: none"> ① 容器本体及びバスケットについて、臨界解析で考慮を要する形状変化を明らかにする。 ② 蓋板締付けボルトについては、破断しないこと。 ③ 燃料被覆管については、破断しないこと。 <p>(d) 浸漬 (0.9m)</p> <ul style="list-style-type: none"> ① 臨界の評価において浸水をあらかじめ想定する。 <p>以上の各試験条件及び解析項目に応じた評価基準を<u>(e)一第A.1表</u>にまとめる。</p> <p>(2) 負荷の組合せ条件</p> <p>負荷の組合せ条件は、設計条件に従い、各解析項目に対して<u>(g)一第A.2表</u>に示すとおりとする。</p> <p>(3) 余裕率</p> <p>解析結果のうち定量的な設計基準値のあるものについては、次に示す余裕率(MS)を用いて評価する。</p> $\text{余裕率(MS)} = \frac{\text{設計基準値}}{\text{解析結果}} - 1$ <p>余裕率を用いられないものは、該当箇所にその基準値等を記述する。</p> <p>以上に述べた設計基準に従い、構造解析の条件、解析項目及び解析手法等をまとめ<u>(h)一第A.3表 (1/7) ~ (i)一第A.3表 (7/7)</u>に示す。</p>	<p>(b) 強度試験・落下試験 II (1m落下時)</p> <ul style="list-style-type: none"> ① 容器本体及びバスケットについて、臨界解析で考慮を要する形状変化を明らかにする。 ② 燃料被覆管については、破断しないこと。 <p>(c) 熱的試験</p> <ul style="list-style-type: none"> ① 容器本体及びバスケットについて、臨界解析で考慮を要する形状変化を明らかにする。 ② 蓋板締付けボルトについては、破断しないこと。 ③ 燃料被覆管については、破断しないこと。 <p>(d) 浸漬 (0.9m)</p> <ul style="list-style-type: none"> ① 臨界の評価において浸水をあらかじめ想定する。 <p>以上の各試験条件及び解析項目に応じた評価基準を<u>(j)一第A.1表</u>にまとめる。</p> <p>(2) 負荷の組合せ条件</p> <p>負荷の組合せ条件は、設計条件に従い、各解析項目に対して<u>(l)一第A.2表</u>に示すとおりとする。</p> <p>(3) 余裕率</p> <p>解析結果のうち定量的な設計基準値のあるものについては、次に示す余裕率(MS)を用いて評価する。</p> $\text{余裕率(MS)} = \frac{\text{設計基準値}}{\text{解析結果}} - 1$ <p>余裕率を用いられないものは、該当箇所にその基準値等を記述する。</p> <p>以上に述べた設計基準に従い、構造解析の条件、解析項目及び解析手法等をまとめ<u>(n)一第A.3表 (1/7) ~ (o)一第A.3表 (7/7)</u>に示す。</p>	

核燃料輸送物設計変更承認申請に係る変更前後表

前回申請書 (平成 30 年 8 月 17 日付三原燃第 18-393 号をもって申請 (平成 31 年 2 月 5 日付三原燃第 18-1013 号をもって一部補正))				今回の核燃料輸送物設計変更承認申請				備考																																																																																																																													
(a) 第 A.1 表 構造解析に用いる評価基準 (1/2)				(a) 第 A.1 表 構造解析に用いる評価基準 (1/2)				・記載の適正化																																																																																																																													
<table border="1"> <thead> <tr> <th rowspan="2">条件</th> <th rowspan="2">解析項目</th> <th rowspan="2">評価部位</th> <th>評価基準</th> </tr> <tr> <th>一次応力強さ</th> <th>一次十二次応力強さ</th> <th>一次十二次+曲げ応力強さ</th> </tr> </thead> <tbody> <tr> <td rowspan="2">輸送物の要件</td> <td rowspan="2">吊上装置</td> <td>トラニオン</td> <td>$\leq S_y$</td> <td>—</td> <td>使用回数 $\leq N_a$</td> <td></td> <td></td> <td></td> </tr> <tr> <td>ハドリングベア</td> <td>$\leq S_y$</td> <td>—</td> <td>使用回数 $\leq N_a$</td> <td></td> <td></td> <td></td> </tr> <tr> <td rowspan="2">固縛装置</td> <td>胴 部</td> <td>$\leq S_y$</td> <td>—</td> <td>—</td> <td></td> <td></td> <td></td> <td></td> </tr> <tr> <td>圧 力</td> <td>輸 送 物</td> <td colspan="4">外気圧の変動に耐えうこと</td> <td></td> <td></td> </tr> <tr> <td rowspan="2">一般の試験条件</td> <td rowspan="2">振 動</td> <td>輸 送 物</td> <td colspan="4">輸送中の振動に耐えうこと</td> <td></td> <td></td> </tr> <tr> <td rowspan="4">熱的試験</td> <td>本体、蓋板</td> <td>$P_m \leq \text{Min. } (\frac{1}{3} S_u, \frac{2}{3} S_y)$ $P_L, P_L + P_b$ $\leq 1.5 \times \text{Min. } (\frac{1}{3} S_u, \frac{2}{3} S_y)$ $P_L + P_b + Q$ $\leq 3 \times \text{Min. } (\frac{1}{3} S_u, \frac{2}{3} S_y)$</td> <td>—</td> <td></td> <td></td> <td></td> <td></td> </tr> <tr> <td>密封シール部</td> <td>$\leq S_y$</td> <td>—</td> <td></td> <td></td> <td></td> <td></td> </tr> <tr> <td>蓋板締付けボルト</td> <td>$\sigma_m \leq \frac{2}{3} S_y$ $\sigma_m + \sigma_b \leq S_y$</td> <td>使用回数 $\leq N_a$</td> <td></td> <td></td> <td></td> <td></td> </tr> <tr> <td>バスケット</td> <td colspan="4">拘束による熱応力が生じないこと</td> <td></td> <td></td> <td></td> </tr> <tr> <td rowspan="2">水噴霧</td> <td>輸 送 物</td> <td colspan="4">水の吹き付けに耐えうこと</td> <td></td> <td></td> </tr> <tr> <td rowspan="3">自由落下</td> <td>本体、蓋板 バスケット</td> <td colspan="4">他の解析で考慮を要するような形状変化が生じないこと</td> <td></td> <td></td> </tr> <tr> <td>蓋板締付けボルト</td> <td>$\sigma_m \leq S_y$ $\sigma_m + \sigma_b \leq S_y$</td> <td>—</td> <td>—</td> <td></td> <td></td> <td></td> </tr> <tr> <td>燃料被覆管</td> <td colspan="4">破断のないこと</td> <td></td> <td></td> </tr> <tr> <td>積み重ね試験</td> <td>本 体</td> <td>$\leq S_y$</td> <td>—</td> <td>—</td> <td></td> <td></td> <td></td> </tr> <tr> <td>貫 通</td> <td>胴 外 板</td> <td colspan="4">耐貫通強度</td> <td></td> <td></td> </tr> </tbody> </table>	条件	解析項目	評価部位	評価基準	一次応力強さ	一次十二次応力強さ	一次十二次+曲げ応力強さ	輸送物の要件	吊上装置	トラニオン	$\leq S_y$	—	使用回数 $\leq N_a$				ハドリングベア	$\leq S_y$	—	使用回数 $\leq N_a$				固縛装置	胴 部	$\leq S_y$	—	—					圧 力	輸 送 物	外気圧の変動に耐えうこと						一般の試験条件	振 動	輸 送 物	輸送中の振動に耐えうこと						熱的試験	本体、蓋板	$P_m \leq \text{Min. } (\frac{1}{3} S_u, \frac{2}{3} S_y)$ $P_L, P_L + P_b$ $\leq 1.5 \times \text{Min. } (\frac{1}{3} S_u, \frac{2}{3} S_y)$ $P_L + P_b + Q$ $\leq 3 \times \text{Min. } (\frac{1}{3} S_u, \frac{2}{3} S_y)$	—					密封シール部	$\leq S_y$	—					蓋板締付けボルト	$\sigma_m \leq \frac{2}{3} S_y$ $\sigma_m + \sigma_b \leq S_y$	使用回数 $\leq N_a$					バスケット	拘束による熱応力が生じないこと							水噴霧	輸 送 物	水の吹き付けに耐えうこと						自由落下	本体、蓋板 バスケット	他の解析で考慮を要するような形状変化が生じないこと						蓋板締付けボルト	$\sigma_m \leq S_y$ $\sigma_m + \sigma_b \leq S_y$	—	—				燃料被覆管	破断のないこと						積み重ね試験	本 体	$\leq S_y$	—	—				貫 通	胴 外 板	耐貫通強度						P_m : 一次一般膜応力 P_L : 一次局部膜応力 P_b : 一次曲げ応力 Q : 二次応力 N_a : 許容繰り返し回数 σ_m :平均引張応力 σ_b :曲げ応力				P_m : 一次一般膜応力 P_L : 一次局部膜応力 P_b : 一次曲げ応力 Q : 二次応力 N_a : 許容繰り返し回数 σ_m :平均引張応力 σ_b :曲げ応力			
条件				解析項目	評価部位	評価基準																																																																																																																															
	一次応力強さ	一次十二次応力強さ	一次十二次+曲げ応力強さ																																																																																																																																		
輸送物の要件	吊上装置	トラニオン	$\leq S_y$	—	使用回数 $\leq N_a$																																																																																																																																
		ハドリングベア	$\leq S_y$	—	使用回数 $\leq N_a$																																																																																																																																
固縛装置	胴 部	$\leq S_y$	—	—																																																																																																																																	
	圧 力	輸 送 物	外気圧の変動に耐えうこと																																																																																																																																		
一般の試験条件	振 動	輸 送 物	輸送中の振動に耐えうこと																																																																																																																																		
		熱的試験	本体、蓋板	$P_m \leq \text{Min. } (\frac{1}{3} S_u, \frac{2}{3} S_y)$ $P_L, P_L + P_b$ $\leq 1.5 \times \text{Min. } (\frac{1}{3} S_u, \frac{2}{3} S_y)$ $P_L + P_b + Q$ $\leq 3 \times \text{Min. } (\frac{1}{3} S_u, \frac{2}{3} S_y)$	—																																																																																																																																
密封シール部	$\leq S_y$		—																																																																																																																																		
蓋板締付けボルト	$\sigma_m \leq \frac{2}{3} S_y$ $\sigma_m + \sigma_b \leq S_y$		使用回数 $\leq N_a$																																																																																																																																		
バスケット	拘束による熱応力が生じないこと																																																																																																																																				
水噴霧	輸 送 物	水の吹き付けに耐えうこと																																																																																																																																			
	自由落下	本体、蓋板 バスケット	他の解析で考慮を要するような形状変化が生じないこと																																																																																																																																		
蓋板締付けボルト		$\sigma_m \leq S_y$ $\sigma_m + \sigma_b \leq S_y$	—	—																																																																																																																																	
燃料被覆管		破断のないこと																																																																																																																																			
積み重ね試験	本 体	$\leq S_y$	—	—																																																																																																																																	
貫 通	胴 外 板	耐貫通強度																																																																																																																																			
(a) - A - 5				(a) - A - 5																																																																																																																																	

核燃料輸送物設計変更承認申請に係る変更前後表

前回申請書				今回の核燃料輸送物設計変更承認申請				備考																																																																																																
(平成 30 年 8 月 17 日付三原燃第 18-393 号をもって申請 (平成 31 年 2 月 5 日付三原燃第 18-1013 号をもって一部補正))																																																																																																								
(a) - 第 A.1 表 構造解析に用いる評価基準 (2/2)				(b) - 第 A.1 表 構造解析に用いる評価基準 (2/2)																																																																																																				
<table border="1"> <thead> <tr> <th>条件</th><th>解析項目</th><th>評価部位</th><th>評価基準</th></tr> </thead> <tbody> <tr> <td rowspan="10">核分裂性輸送物に係る一般の試験条件</td><td>水噴霧</td><td>輸送物</td><td>水の吹き付けに耐えうこと</td></tr> <tr> <td>自由落下</td><td>本体、蓋板 バスケット</td><td>臨界解析で考慮を要する形状変化を明らかにする</td></tr> <tr> <td></td><td>蓋板締付けボルト</td><td>破断のこと</td></tr> <tr> <td></td><td>燃料被覆管</td><td>破断のこと</td></tr> <tr> <td>積み重ね試験</td><td>本体</td><td>臨界解析で考慮を要する形状変化を明らかにする</td></tr> <tr> <td>貫通</td><td>胴外板</td><td>臨界解析で考慮を要する形状変化を明らかにする</td></tr> <tr> <td>落下試験 I (9m落下時)</td><td>本体、蓋板 バスケット</td><td>臨界解析で考慮を要する形状変化を明らかにする</td></tr> <tr> <td></td><td>蓋板締付けボルト</td><td>破断のこと</td></tr> <tr> <td></td><td>燃料被覆管</td><td>破断のこと</td></tr> <tr> <td>落下試験 II (1m落下時)</td><td>本体、蓋板 バスケット</td><td>臨界解析で考慮を要する形状変化を明らかにする</td></tr> <tr> <td rowspan="4">核分裂性輸送物に係る特別の試験条件</td><td></td><td>燃料被覆管</td><td>破断のこと</td></tr> <tr> <td>熱的試験</td><td>本体、蓋板 バスケット</td><td>臨界解析で考慮を要する形状変化を明らかにする</td></tr> <tr> <td></td><td>蓋板締付けボルト</td><td>破断のこと</td></tr> <tr> <td></td><td>燃料被覆管</td><td>破断のこと</td></tr> </tbody> </table>				条件	解析項目	評価部位	評価基準	核分裂性輸送物に係る一般の試験条件	水噴霧	輸送物	水の吹き付けに耐えうこと	自由落下	本体、蓋板 バスケット	臨界解析で考慮を要する形状変化を明らかにする		蓋板締付けボルト	破断のこと		燃料被覆管	破断のこと	積み重ね試験	本体	臨界解析で考慮を要する形状変化を明らかにする	貫通	胴外板	臨界解析で考慮を要する形状変化を明らかにする	落下試験 I (9m落下時)	本体、蓋板 バスケット	臨界解析で考慮を要する形状変化を明らかにする		蓋板締付けボルト	破断のこと		燃料被覆管	破断のこと	落下試験 II (1m落下時)	本体、蓋板 バスケット	臨界解析で考慮を要する形状変化を明らかにする	核分裂性輸送物に係る特別の試験条件		燃料被覆管	破断のこと	熱的試験	本体、蓋板 バスケット	臨界解析で考慮を要する形状変化を明らかにする		蓋板締付けボルト	破断のこと		燃料被覆管	破断のこと	<table border="1"> <thead> <tr> <th>条件</th><th>解析項目</th><th>評価部位</th><th>評価基準</th></tr> </thead> <tbody> <tr> <td rowspan="10">核分裂性輸送物に係る一般の試験条件</td><td>水噴霧</td><td>輸送物</td><td>水の吹き付けに耐えうこと</td></tr> <tr> <td>自由落下</td><td>本体、蓋板 バスケット</td><td>臨界解析で考慮を要する形状変化を明らかにする</td></tr> <tr> <td></td><td>蓋板締付けボルト</td><td>破断のこと</td></tr> <tr> <td></td><td>燃料被覆管</td><td>破断のこと</td></tr> <tr> <td>積み重ね試験</td><td>本体</td><td>臨界解析で考慮を要する形状変化を明らかにする</td></tr> <tr> <td>貫通</td><td>胴外板</td><td>臨界解析で考慮を要する形状変化を明らかにする</td></tr> <tr> <td>落下試験 I (9m落下時)</td><td>本体、蓋板 バスケット</td><td>臨界解析で考慮を要する形状変化を明らかにする</td></tr> <tr> <td></td><td>蓋板締付けボルト</td><td>破断のこと</td></tr> <tr> <td></td><td>燃料被覆管</td><td>破断のこと</td></tr> <tr> <td>落下試験 II (1m落下時)</td><td>本体、蓋板 バスケット</td><td>臨界解析で考慮を要する形状変化を明らかにする</td></tr> <tr> <td rowspan="4">核分裂性輸送物に係る特別の試験条件</td><td></td><td>燃料被覆管</td><td>破断のこと</td></tr> <tr> <td>熱的試験</td><td>本体、蓋板 バスケット</td><td>臨界解析で考慮を要する形状変化を明らかにする</td></tr> <tr> <td></td><td>蓋板締付けボルト</td><td>破断のこと</td></tr> <tr> <td></td><td>燃料被覆管</td><td>破断のこと</td></tr> </tbody> </table>				条件	解析項目	評価部位	評価基準	核分裂性輸送物に係る一般の試験条件	水噴霧	輸送物	水の吹き付けに耐えうこと	自由落下	本体、蓋板 バスケット	臨界解析で考慮を要する形状変化を明らかにする		蓋板締付けボルト	破断のこと		燃料被覆管	破断のこと	積み重ね試験	本体	臨界解析で考慮を要する形状変化を明らかにする	貫通	胴外板	臨界解析で考慮を要する形状変化を明らかにする	落下試験 I (9m落下時)	本体、蓋板 バスケット	臨界解析で考慮を要する形状変化を明らかにする		蓋板締付けボルト	破断のこと		燃料被覆管	破断のこと	落下試験 II (1m落下時)	本体、蓋板 バスケット	臨界解析で考慮を要する形状変化を明らかにする	核分裂性輸送物に係る特別の試験条件		燃料被覆管	破断のこと	熱的試験	本体、蓋板 バスケット	臨界解析で考慮を要する形状変化を明らかにする		蓋板締付けボルト	破断のこと		燃料被覆管	破断のこと	
条件	解析項目	評価部位	評価基準																																																																																																					
核分裂性輸送物に係る一般の試験条件	水噴霧	輸送物	水の吹き付けに耐えうこと																																																																																																					
	自由落下	本体、蓋板 バスケット	臨界解析で考慮を要する形状変化を明らかにする																																																																																																					
		蓋板締付けボルト	破断のこと																																																																																																					
		燃料被覆管	破断のこと																																																																																																					
	積み重ね試験	本体	臨界解析で考慮を要する形状変化を明らかにする																																																																																																					
	貫通	胴外板	臨界解析で考慮を要する形状変化を明らかにする																																																																																																					
	落下試験 I (9m落下時)	本体、蓋板 バスケット	臨界解析で考慮を要する形状変化を明らかにする																																																																																																					
		蓋板締付けボルト	破断のこと																																																																																																					
		燃料被覆管	破断のこと																																																																																																					
	落下試験 II (1m落下時)	本体、蓋板 バスケット	臨界解析で考慮を要する形状変化を明らかにする																																																																																																					
核分裂性輸送物に係る特別の試験条件		燃料被覆管	破断のこと																																																																																																					
	熱的試験	本体、蓋板 バスケット	臨界解析で考慮を要する形状変化を明らかにする																																																																																																					
		蓋板締付けボルト	破断のこと																																																																																																					
		燃料被覆管	破断のこと																																																																																																					
条件	解析項目	評価部位	評価基準																																																																																																					
核分裂性輸送物に係る一般の試験条件	水噴霧	輸送物	水の吹き付けに耐えうこと																																																																																																					
	自由落下	本体、蓋板 バスケット	臨界解析で考慮を要する形状変化を明らかにする																																																																																																					
		蓋板締付けボルト	破断のこと																																																																																																					
		燃料被覆管	破断のこと																																																																																																					
	積み重ね試験	本体	臨界解析で考慮を要する形状変化を明らかにする																																																																																																					
	貫通	胴外板	臨界解析で考慮を要する形状変化を明らかにする																																																																																																					
	落下試験 I (9m落下時)	本体、蓋板 バスケット	臨界解析で考慮を要する形状変化を明らかにする																																																																																																					
		蓋板締付けボルト	破断のこと																																																																																																					
		燃料被覆管	破断のこと																																																																																																					
	落下試験 II (1m落下時)	本体、蓋板 バスケット	臨界解析で考慮を要する形状変化を明らかにする																																																																																																					
核分裂性輸送物に係る特別の試験条件		燃料被覆管	破断のこと																																																																																																					
	熱的試験	本体、蓋板 バスケット	臨界解析で考慮を要する形状変化を明らかにする																																																																																																					
		蓋板締付けボルト	破断のこと																																																																																																					
		燃料被覆管	破断のこと																																																																																																					
(a) - A - 6				(b) - A - 6																																																																																																				

核燃料輸送物設計変更承認申請に係る変更前後表

前回申請書 (平成30年8月17日付三原燃第18-393号をもって申請 (平成31年2月5日付三原燃第18-1013号をもって一部補正))				今回の核燃料輸送物設計変更承認申請				備考																																																																																																																																																																																								
<p>(a) - 第A.2表 負荷の組合せ (1/2)</p> <table border="1" style="width: 100%; border-collapse: collapse;"> <thead> <tr> <th rowspan="2">条件</th> <th rowspan="2">解析項目</th> <th rowspan="2">評価部位</th> <th colspan="4">負荷条件</th> </tr> <tr> <th>重量</th> <th>圧力</th> <th>熱膨張</th> <th>その他</th> </tr> </thead> <tbody> <tr> <td rowspan="2" style="vertical-align: top;">輸送物の要件</td> <td rowspan="2">吊上装置</td> <td>トラニオン</td> <td>○</td> <td>—</td> <td>—</td> <td>○ (初期締付力)</td> </tr> <tr> <td>ハンドリングベット</td> <td>○</td> <td>—</td> <td>—</td> <td>○ (初期締付力)</td> </tr> <tr> <td rowspan="2"></td> <td rowspan="2">固縛装置</td> <td>胴 部</td> <td>○</td> <td>○</td> <td>—</td> <td>—</td> </tr> <tr> <td>圧 力</td> <td>輸 送 物</td> <td>—</td> <td>△</td> <td>—</td> <td>—</td> </tr> <tr> <td rowspan="2"></td> <td rowspan="2">振 動</td> <td>輸 送 物</td> <td>—</td> <td>—</td> <td>—</td> <td>△</td> </tr> <tr> <td>本体、蓋板</td> <td>—</td> <td>○</td> <td>○</td> <td>—</td> </tr> <tr> <td rowspan="3" style="vertical-align: top;">一般の試験条件</td> <td rowspan="3">熱的試験</td> <td>蓋板締付けボルト</td> <td>—</td> <td>○</td> <td>○</td> <td>○ (初期締付力)</td> </tr> <tr> <td>バスケット</td> <td>—</td> <td>—</td> <td>△</td> <td>—</td> </tr> <tr> <td>水噴霧</td> <td>輸 送 物</td> <td>—</td> <td>—</td> <td>—</td> <td>△</td> </tr> <tr> <td rowspan="3"></td> <td rowspan="3">自由落下</td> <td>本体、蓋板 バスケット</td> <td>△</td> <td>—</td> <td>—</td> <td>—</td> </tr> <tr> <td>蓋板締付けボルト</td> <td>○</td> <td>—</td> <td>—</td> <td>○ (初期締付力)</td> </tr> <tr> <td>燃料被覆管</td> <td>○</td> <td>○</td> <td>—</td> <td>—</td> </tr> <tr> <td>積み重ね試験</td> <td>本 体</td> <td>△</td> <td>—</td> <td>—</td> <td>—</td> </tr> <tr> <td>貫 通</td> <td>胴 外 板</td> <td>—</td> <td>—</td> <td>—</td> <td>△</td> </tr> </tbody> </table>	条件	解析項目	評価部位	負荷条件				重量	圧力	熱膨張	その他	輸送物の要件	吊上装置	トラニオン	○	—	—	○ (初期締付力)	ハンドリングベット	○	—	—	○ (初期締付力)		固縛装置	胴 部	○	○	—	—	圧 力	輸 送 物	—	△	—	—		振 動	輸 送 物	—	—	—	△	本体、蓋板	—	○	○	—	一般の試験条件	熱的試験	蓋板締付けボルト	—	○	○	○ (初期締付力)	バスケット	—	—	△	—	水噴霧	輸 送 物	—	—	—	△		自由落下	本体、蓋板 バスケット	△	—	—	—	蓋板締付けボルト	○	—	—	○ (初期締付力)	燃料被覆管	○	○	—	—	積み重ね試験	本 体	△	—	—	—	貫 通	胴 外 板	—	—	—	△	<p>(b) - 第A.2表 負荷の組合せ (1/2)</p> <table border="1" style="width: 100%; border-collapse: collapse;"> <thead> <tr> <th rowspan="2">条件</th> <th rowspan="2">解析項目</th> <th rowspan="2">評価部位</th> <th colspan="4">負荷条件</th> </tr> <tr> <th>重量</th> <th>圧力</th> <th>熱膨張</th> <th>その他</th> </tr> </thead> <tbody> <tr> <td rowspan="2" style="vertical-align: top;">輸送物の要件</td> <td rowspan="2">吊上装置</td> <td>トラニオン</td> <td>○</td> <td>—</td> <td>—</td> <td>○ (初期締付力)</td> </tr> <tr> <td>ハンドリングベット</td> <td>○</td> <td>—</td> <td>—</td> <td>○ (初期締付力)</td> </tr> <tr> <td rowspan="2"></td> <td rowspan="2">固縛装置</td> <td>胴 部</td> <td>○</td> <td>○</td> <td>—</td> <td>—</td> </tr> <tr> <td>圧 力</td> <td>輸 送 物</td> <td>—</td> <td>△</td> <td>—</td> <td>—</td> </tr> <tr> <td rowspan="2"></td> <td rowspan="2">振 動</td> <td>輸 送 物</td> <td>—</td> <td>—</td> <td>—</td> <td>△</td> </tr> <tr> <td>本体、蓋板</td> <td>—</td> <td>○</td> <td>○</td> <td>—</td> </tr> <tr> <td rowspan="3" style="vertical-align: top;">一般の試験条件</td> <td rowspan="3">熱的試験</td> <td>蓋板締付けボルト</td> <td>—</td> <td>○</td> <td>○</td> <td>○ (初期締付力)</td> </tr> <tr> <td>バスケット</td> <td>—</td> <td>—</td> <td>△</td> <td>—</td> </tr> <tr> <td>水噴霧</td> <td>輸 送 物</td> <td>—</td> <td>—</td> <td>—</td> <td>△</td> </tr> <tr> <td rowspan="3"></td> <td rowspan="3">自由落下</td> <td>本体、蓋板 バスケット</td> <td>△</td> <td>—</td> <td>—</td> <td>—</td> </tr> <tr> <td>蓋板締付けボルト</td> <td>○</td> <td>—</td> <td>—</td> <td>○ (初期締付力)</td> </tr> <tr> <td>燃料被覆管</td> <td>○</td> <td>○</td> <td>—</td> <td>—</td> </tr> <tr> <td>積み重ね試験</td> <td>本 体</td> <td>△</td> <td>—</td> <td>—</td> <td>—</td> </tr> <tr> <td>貫 通</td> <td>胴 外 板</td> <td>—</td> <td>—</td> <td>—</td> <td>△</td> </tr> </tbody> </table>	条件	解析項目	評価部位	負荷条件				重量	圧力	熱膨張	その他	輸送物の要件	吊上装置	トラニオン	○	—	—	○ (初期締付力)	ハンドリングベット	○	—	—	○ (初期締付力)		固縛装置	胴 部	○	○	—	—	圧 力	輸 送 物	—	△	—	—		振 動	輸 送 物	—	—	—	△	本体、蓋板	—	○	○	—	一般の試験条件	熱的試験	蓋板締付けボルト	—	○	○	○ (初期締付力)	バスケット	—	—	△	—	水噴霧	輸 送 物	—	—	—	△		自由落下	本体、蓋板 バスケット	△	—	—	—	蓋板締付けボルト	○	—	—	○ (初期締付力)	燃料被覆管	○	○	—	—	積み重ね試験	本 体	△	—	—	—	貫 通	胴 外 板	—	—	—	△	<p>—</p>
条件				解析項目	評価部位	負荷条件																																																																																																																																																																																										
	重量	圧力	熱膨張			その他																																																																																																																																																																																										
輸送物の要件	吊上装置	トラニオン	○	—	—	○ (初期締付力)																																																																																																																																																																																										
		ハンドリングベット	○	—	—	○ (初期締付力)																																																																																																																																																																																										
	固縛装置	胴 部	○	○	—	—																																																																																																																																																																																										
		圧 力	輸 送 物	—	△	—	—																																																																																																																																																																																									
	振 動	輸 送 物	—	—	—	△																																																																																																																																																																																										
		本体、蓋板	—	○	○	—																																																																																																																																																																																										
一般の試験条件	熱的試験	蓋板締付けボルト	—	○	○	○ (初期締付力)																																																																																																																																																																																										
		バスケット	—	—	△	—																																																																																																																																																																																										
		水噴霧	輸 送 物	—	—	—	△																																																																																																																																																																																									
	自由落下	本体、蓋板 バスケット	△	—	—	—																																																																																																																																																																																										
		蓋板締付けボルト	○	—	—	○ (初期締付力)																																																																																																																																																																																										
		燃料被覆管	○	○	—	—																																																																																																																																																																																										
積み重ね試験	本 体	△	—	—	—																																																																																																																																																																																											
貫 通	胴 外 板	—	—	—	△																																																																																																																																																																																											
条件	解析項目	評価部位	負荷条件																																																																																																																																																																																													
			重量	圧力	熱膨張	その他																																																																																																																																																																																										
輸送物の要件	吊上装置	トラニオン	○	—	—	○ (初期締付力)																																																																																																																																																																																										
		ハンドリングベット	○	—	—	○ (初期締付力)																																																																																																																																																																																										
	固縛装置	胴 部	○	○	—	—																																																																																																																																																																																										
		圧 力	輸 送 物	—	△	—	—																																																																																																																																																																																									
	振 動	輸 送 物	—	—	—	△																																																																																																																																																																																										
		本体、蓋板	—	○	○	—																																																																																																																																																																																										
一般の試験条件	熱的試験	蓋板締付けボルト	—	○	○	○ (初期締付力)																																																																																																																																																																																										
		バスケット	—	—	△	—																																																																																																																																																																																										
		水噴霧	輸 送 物	—	—	—	△																																																																																																																																																																																									
	自由落下	本体、蓋板 バスケット	△	—	—	—																																																																																																																																																																																										
		蓋板締付けボルト	○	—	—	○ (初期締付力)																																																																																																																																																																																										
		燃料被覆管	○	○	—	—																																																																																																																																																																																										
積み重ね試験	本 体	△	—	—	—																																																																																																																																																																																											
貫 通	胴 外 板	—	—	—	△																																																																																																																																																																																											
<p>○:負荷の組合せによる評価 △:単一負荷による評価</p> <p>(a) - A - 7</p>	<p>○:負荷の組合せによる評価 △:単一負荷による評価</p> <p>(b) - A - 7</p>																																																																																																																																																																																															

核燃料輸送物設計変更承認申請に係る変更前後表

前回申請書 (平成30年8月17日付三原燃第18-393号をもって申請 (平成31年2月5日付三原燃第18-1013号をもって一部補正))				今回の核燃料輸送物設計変更承認申請				備考																																																																																																																																																																																																																																												
<p>(n) - 第A.2表 負荷の組合せ (2/2)</p> <table border="1"> <thead> <tr> <th rowspan="2">条件</th> <th rowspan="2">解析項目</th> <th rowspan="2">評価部位</th> <th colspan="4">負荷条件</th> </tr> <tr> <th>重量</th> <th>圧力</th> <th>熱膨張</th> <th>その他</th> </tr> </thead> <tbody> <tr> <td rowspan="12">核分裂性輸送物に係る一般的の試験条件</td> <td rowspan="2">水噴霧</td> <td>輸送物</td> <td>—</td> <td>—</td> <td>—</td> <td>△</td> </tr> <tr> <td>本体、蓋板 バスケット</td> <td>△</td> <td>—</td> <td>—</td> <td>—</td> </tr> <tr> <td rowspan="2">自由落下</td> <td>蓋板締付けボルト</td> <td>○</td> <td>—</td> <td>—</td> <td>○ (初期締付力)</td> </tr> <tr> <td>燃料被覆管</td> <td>○</td> <td>○</td> <td>—</td> <td>—</td> </tr> <tr> <td rowspan="2">積み重ね試験</td> <td>本体</td> <td>△</td> <td>—</td> <td>—</td> <td>—</td> </tr> <tr> <td>本体制外板</td> <td>—</td> <td>—</td> <td>—</td> <td>△</td> </tr> <tr> <td rowspan="6">落下試験 I (9m落下時)</td> <td>本体、蓋板 バスケット</td> <td>△</td> <td>—</td> <td>—</td> <td>—</td> </tr> <tr> <td>蓋板締付けボルト</td> <td>○</td> <td>—</td> <td>—</td> <td>○ (初期締付力)</td> </tr> <tr> <td>燃料被覆管</td> <td>○</td> <td>○</td> <td>—</td> <td>—</td> </tr> <tr> <td>本体、蓋板 バスケット</td> <td>△</td> <td>—</td> <td>—</td> <td>—</td> </tr> <tr> <td>本体、蓋板</td> <td>—</td> <td>○</td> <td>○</td> <td>—</td> </tr> <tr> <td>蓋板締付けボルト</td> <td>—</td> <td>○</td> <td>○</td> <td>○ (初期締付力)</td> </tr> <tr> <td rowspan="8">核分裂性輸送物に係る特別の試験条件</td> <td rowspan="4">熱的試験</td> <td>バスケット</td> <td>—</td> <td>—</td> <td>△</td> <td>—</td> </tr> <tr> <td>燃料被覆管</td> <td>—</td> <td>△</td> <td>—</td> <td>—</td> </tr> <tr> <td>本体、蓋板</td> <td>—</td> <td>○</td> <td>○</td> <td>—</td> </tr> <tr> <td>蓋板締付けボルト</td> <td>—</td> <td>○</td> <td>○</td> <td>○ (初期締付力)</td> </tr> <tr> <td rowspan="4">落下試験 II (1m落下時)</td> <td>バスケット</td> <td>—</td> <td>—</td> <td>△</td> <td>—</td> </tr> <tr> <td>燃料被覆管</td> <td>—</td> <td>△</td> <td>—</td> <td>—</td> </tr> <tr> <td>本体、蓋板 バスケット</td> <td>△</td> <td>—</td> <td>—</td> <td>—</td> </tr> <tr> <td>本体、蓋板</td> <td>—</td> <td>○</td> <td>○</td> <td>—</td> </tr> </tbody> </table>	条件	解析項目	評価部位	負荷条件				重量	圧力	熱膨張	その他	核分裂性輸送物に係る一般的の試験条件	水噴霧	輸送物	—	—	—	△	本体、蓋板 バスケット	△	—	—	—	自由落下	蓋板締付けボルト	○	—	—	○ (初期締付力)	燃料被覆管	○	○	—	—	積み重ね試験	本体	△	—	—	—	本体制外板	—	—	—	△	落下試験 I (9m落下時)	本体、蓋板 バスケット	△	—	—	—	蓋板締付けボルト	○	—	—	○ (初期締付力)	燃料被覆管	○	○	—	—	本体、蓋板 バスケット	△	—	—	—	本体、蓋板	—	○	○	—	蓋板締付けボルト	—	○	○	○ (初期締付力)	核分裂性輸送物に係る特別の試験条件	熱的試験	バスケット	—	—	△	—	燃料被覆管	—	△	—	—	本体、蓋板	—	○	○	—	蓋板締付けボルト	—	○	○	○ (初期締付力)	落下試験 II (1m落下時)	バスケット	—	—	△	—	燃料被覆管	—	△	—	—	本体、蓋板 バスケット	△	—	—	—	本体、蓋板	—	○	○	—	<p>(n) - 第A.2表 負荷の組合せ (2/2)</p> <table border="1"> <thead> <tr> <th rowspan="2">条件</th> <th rowspan="2">解析項目</th> <th rowspan="2">評価部位</th> <th colspan="4">負荷条件</th> </tr> <tr> <th>重量</th> <th>圧力</th> <th>熱膨張</th> <th>その他</th> </tr> </thead> <tbody> <tr> <td rowspan="12">核分裂性輸送物に係る一般的の試験条件</td> <td rowspan="2">水噴霧</td> <td>輸送物</td> <td>—</td> <td>—</td> <td>—</td> <td>△</td> </tr> <tr> <td>本体、蓋板 バスケット</td> <td>△</td> <td>—</td> <td>—</td> <td>—</td> </tr> <tr> <td rowspan="2">自由落下</td> <td>蓋板締付けボルト</td> <td>○</td> <td>—</td> <td>—</td> <td>○ (初期締付力)</td> </tr> <tr> <td>燃料被覆管</td> <td>○</td> <td>○</td> <td>—</td> <td>—</td> </tr> <tr> <td rowspan="2">積み重ね試験</td> <td>本体</td> <td>△</td> <td>—</td> <td>—</td> <td>—</td> </tr> <tr> <td>■ 外板</td> <td>—</td> <td>—</td> <td>—</td> <td>△</td> </tr> <tr> <td rowspan="6">落下試験 I (9m落下時)</td> <td>本体、蓋板 バスケット</td> <td>△</td> <td>—</td> <td>—</td> <td>—</td> </tr> <tr> <td>蓋板締付けボルト</td> <td>○</td> <td>—</td> <td>—</td> <td>○ (初期締付力)</td> </tr> <tr> <td>燃料被覆管</td> <td>○</td> <td>○</td> <td>—</td> <td>—</td> </tr> <tr> <td>本体、蓋板 バスケット</td> <td>△</td> <td>—</td> <td>—</td> <td>—</td> </tr> <tr> <td>本体、蓋板</td> <td>—</td> <td>○</td> <td>○</td> <td>—</td> </tr> <tr> <td>蓋板締付けボルト</td> <td>—</td> <td>○</td> <td>○</td> <td>○ (初期締付力)</td> </tr> <tr> <td rowspan="8">核分裂性輸送物に係る特別の試験条件</td> <td rowspan="4">熱的試験</td> <td>バスケット</td> <td>—</td> <td>—</td> <td>△</td> <td>—</td> </tr> <tr> <td>燃料被覆管</td> <td>—</td> <td>△</td> <td>—</td> <td>—</td> </tr> <tr> <td>本体、蓋板</td> <td>—</td> <td>○</td> <td>○</td> <td>—</td> </tr> <tr> <td>蓋板締付けボルト</td> <td>—</td> <td>○</td> <td>○</td> <td>○ (初期締付力)</td> </tr> <tr> <td rowspan="5">落下試験 II (1m落下時)</td> <td>バスケット</td> <td>—</td> <td>—</td> <td>△</td> <td>—</td> </tr> <tr> <td>燃料被覆管</td> <td>—</td> <td>△</td> <td>—</td> <td>—</td> </tr> <tr> <td>本体、蓋板 バスケット</td> <td>△</td> <td>—</td> <td>—</td> <td>—</td> </tr> <tr> <td>本体、蓋板</td> <td>—</td> <td>○</td> <td>○</td> <td>—</td> </tr> </tbody> </table>	条件	解析項目	評価部位	負荷条件				重量	圧力	熱膨張	その他	核分裂性輸送物に係る一般的の試験条件	水噴霧	輸送物	—	—	—	△	本体、蓋板 バスケット	△	—	—	—	自由落下	蓋板締付けボルト	○	—	—	○ (初期締付力)	燃料被覆管	○	○	—	—	積み重ね試験	本体	△	—	—	—	■ 外板	—	—	—	△	落下試験 I (9m落下時)	本体、蓋板 バスケット	△	—	—	—	蓋板締付けボルト	○	—	—	○ (初期締付力)	燃料被覆管	○	○	—	—	本体、蓋板 バスケット	△	—	—	—	本体、蓋板	—	○	○	—	蓋板締付けボルト	—	○	○	○ (初期締付力)	核分裂性輸送物に係る特別の試験条件	熱的試験	バスケット	—	—	△	—	燃料被覆管	—	△	—	—	本体、蓋板	—	○	○	—	蓋板締付けボルト	—	○	○	○ (初期締付力)	落下試験 II (1m落下時)	バスケット	—	—	△	—	燃料被覆管	—	△	—	—	本体、蓋板 バスケット	△	—	—	—	本体、蓋板	—	○	○	—	<p>○ : 負荷の組合せによる評価 △ : 単一負荷による評価</p>				・記載の適正化 (用語の統一)
条件				解析項目	評価部位	負荷条件																																																																																																																																																																																																																																														
	重量	圧力	熱膨張			その他																																																																																																																																																																																																																																														
核分裂性輸送物に係る一般的の試験条件	水噴霧	輸送物	—	—	—	△																																																																																																																																																																																																																																														
		本体、蓋板 バスケット	△	—	—	—																																																																																																																																																																																																																																														
	自由落下	蓋板締付けボルト	○	—	—	○ (初期締付力)																																																																																																																																																																																																																																														
		燃料被覆管	○	○	—	—																																																																																																																																																																																																																																														
	積み重ね試験	本体	△	—	—	—																																																																																																																																																																																																																																														
		本体制外板	—	—	—	△																																																																																																																																																																																																																																														
	落下試験 I (9m落下時)	本体、蓋板 バスケット	△	—	—	—																																																																																																																																																																																																																																														
		蓋板締付けボルト	○	—	—	○ (初期締付力)																																																																																																																																																																																																																																														
		燃料被覆管	○	○	—	—																																																																																																																																																																																																																																														
		本体、蓋板 バスケット	△	—	—	—																																																																																																																																																																																																																																														
		本体、蓋板	—	○	○	—																																																																																																																																																																																																																																														
		蓋板締付けボルト	—	○	○	○ (初期締付力)																																																																																																																																																																																																																																														
核分裂性輸送物に係る特別の試験条件	熱的試験	バスケット	—	—	△	—																																																																																																																																																																																																																																														
		燃料被覆管	—	△	—	—																																																																																																																																																																																																																																														
		本体、蓋板	—	○	○	—																																																																																																																																																																																																																																														
		蓋板締付けボルト	—	○	○	○ (初期締付力)																																																																																																																																																																																																																																														
	落下試験 II (1m落下時)	バスケット	—	—	△	—																																																																																																																																																																																																																																														
		燃料被覆管	—	△	—	—																																																																																																																																																																																																																																														
		本体、蓋板 バスケット	△	—	—	—																																																																																																																																																																																																																																														
		本体、蓋板	—	○	○	—																																																																																																																																																																																																																																														
条件	解析項目	評価部位	負荷条件																																																																																																																																																																																																																																																	
			重量	圧力	熱膨張	その他																																																																																																																																																																																																																																														
核分裂性輸送物に係る一般的の試験条件	水噴霧	輸送物	—	—	—	△																																																																																																																																																																																																																																														
		本体、蓋板 バスケット	△	—	—	—																																																																																																																																																																																																																																														
	自由落下	蓋板締付けボルト	○	—	—	○ (初期締付力)																																																																																																																																																																																																																																														
		燃料被覆管	○	○	—	—																																																																																																																																																																																																																																														
	積み重ね試験	本体	△	—	—	—																																																																																																																																																																																																																																														
		■ 外板	—	—	—	△																																																																																																																																																																																																																																														
	落下試験 I (9m落下時)	本体、蓋板 バスケット	△	—	—	—																																																																																																																																																																																																																																														
		蓋板締付けボルト	○	—	—	○ (初期締付力)																																																																																																																																																																																																																																														
		燃料被覆管	○	○	—	—																																																																																																																																																																																																																																														
		本体、蓋板 バスケット	△	—	—	—																																																																																																																																																																																																																																														
		本体、蓋板	—	○	○	—																																																																																																																																																																																																																																														
		蓋板締付けボルト	—	○	○	○ (初期締付力)																																																																																																																																																																																																																																														
核分裂性輸送物に係る特別の試験条件	熱的試験	バスケット	—	—	△	—																																																																																																																																																																																																																																														
		燃料被覆管	—	△	—	—																																																																																																																																																																																																																																														
		本体、蓋板	—	○	○	—																																																																																																																																																																																																																																														
		蓋板締付けボルト	—	○	○	○ (初期締付力)																																																																																																																																																																																																																																														
	落下試験 II (1m落下時)	バスケット	—	—	△	—																																																																																																																																																																																																																																														
		燃料被覆管	—	△	—	—																																																																																																																																																																																																																																														
		本体、蓋板 バスケット	△	—	—	—																																																																																																																																																																																																																																														
		本体、蓋板	—	○	○	—																																																																																																																																																																																																																																														
(n) - A - 8				(n) - A - 8																																																																																																																																																																																																																																																

核燃料輸送物設計変更承認申請に係る変更前後表

前回申請書

(平成 30 年 8 月 17 日付三原燃第 18-393 号をもって申請
(平成 31 年 2 月 5 日付三原燃第 18-1013 号をもって一部補正))

解 析 条 件							
品 件	項 目	參 照 図	材 質	温 度	食 備	酒 飲	解 析 方 法
[化学会社及び電気会社の取扱い]	—	—	—	—	—	—	評価基準
[伝送温度]	—	—	—	—	低 運	—	材料劣化
[密封装置]	—	—	ステンレス鋼等	-40	低 運	—	—
1. 蓋 板	(i)-密 C, 10 図 (i)-密 C, 10 図	チタン合金 ステンレス鋼	—	—	耐熱性による 開放	—	耐熱性の解析 開閉部の可否
2. クライコネクション	—	—	—	—	—	—	評価基準
[船上装置]	—	—	—	—	—	—	評価基準
船 体	1. ラジオアンテナ取付けボルト 2. ハンドリリングベント 3. 上部荷役用ドアペル 4. 吊りணりドレ	ラジオアンテナ取付けボルト ハンドリリングベント 上部荷役用ドアペル 吊りணりドレ	合 金 鋼 ステンレス鋼 ステンレス鋼 合 金 鋼	—	耐熱性による 開放	—	評価基準
外 壁	1. ラジオアンテナ取付けボルト 2. ハンドリリングベント 3. 吊りணりドレ 4. 運搬ボルト	ラジオアンテナ取付けボルト ハンドリリングベント 吊りணりドレ 運搬ボルト	チタン合金 ステンレス鋼 ステンレス鋼 チタン合金	—	耐熱性による 開放	—	評価基準
[固体装置]	—	—	—	—	—	—	評価基準
船 体	1. ラジオアンテナ取付けボルト 2. G 構造物 構造物 運搬方向 2 GL 方向 (重量を含む)	ラジオアンテナ取付けボルト 構造物 構造物 運搬方向 2 GL 方向 (重量を含む)	チタン合金 ステンレス鋼 チタン合金 合 金 鋼	—	耐熱性による 開放	—	評価基準
外 壁	1. ラジオアンテナ取付けボルト 2. クライコネクション ガバーナー	ラジオアンテナ取付けボルト クライコネクション ガバーナー	チタン合金 チタン合金 チタン合金	—	耐熱性による 開放	—	評価基準

(a) - A - 9

今回の核燃料輸送物設計変更承認申請

(*) 第 A、3 頁 情報解析の解析条件と解析方法 (1/7)

解 析 条 件							
品 件	項 目	參 照 図	材 質	温 度	食 備	酒 飲	解 析 方 法
[化学会社及び電気会社の取扱い]	—	—	—	—	低 運	—	評価基準
[伝送温度]	—	—	—	—	低 運	—	材料劣化
[密封装置]	—	—	ステンレス鋼等	-40	低 運	—	—
1. 蓋 板	(i)-密 C, 10 図 (i)-密 A, 19 図	チタン合金 ステンレス鋼	—	—	耐熱性による 開放	—	耐熱性の解析 開閉部の可否
2. クライコネクション	—	—	—	—	—	—	評価基準
[船上装置]	—	—	—	—	—	—	評価基準
船 体	1. ラジオアンテナ取付けボルト 2. ハンドリリングベント 3. 上部荷役用ドアペル 4. 吊りணりドレ	ラジオアンテナ取付けボルト ハンドリリングベント 上部荷役用ドアペル 吊りணりドレ	合 金 鋼 ステンレス鋼 ステンレス鋼 合 金 鋼	—	耐熱性による 開放	—	評価基準
外 壁	1. ラジオアンテナ取付けボルト 2. G 構造物 構造物 運搬方向 2 GL 方向 (重量を含む)	ラジオアンテナ取付けボルト 構造物 構造物 運搬方向 2 GL 方向 (重量を含む)	チタン合金 チタン合金 チタン合金 合 金 鋼	—	耐熱性による 開放	—	評価基準

(a) - A - 9

備考

(イ) - 断 A.3 構造解析の解析条件と解析方法 (4/7)

件 名	項 目	解 析 条 件				解 析 方 法	備 考
		參 照 図	材 質	溫 度	負 荷		
核燃料保管物	(核燃料保管の温度)					漬用效式又は漬 水切り仕 事及びA.9を引用して評価)	A. 8
(水受槽)	—	ステンレス鋼 盤	—	水 壓 離	—	淡水性 水切り仕	A. 9.1
<p>[図面書下]</p> <p>1. 漬用効式又は漬水切り仕</p> <p>(イ)-断 A.29図 (ロ)-断 A.32図</p> <p>2. 天井及び底板 1) 流通管下 2) 水平管下 3) コーナー部下</p> <p>3. 施設構造部材 1) 前記底板下 2) 水平管下 3) 前記コーナー部下</p> <p>4. ハスケット 1) 水平管下</p> <p>5. 核燃料保管</p>							
<p>板 分 類 及 し 用 途 は 断 A.10 に お け る と 同 じ こ と</p> <p>(イ)-断 A.29図 (ロ)-断 A.31図 (ハ)-断 A.33図</p> <p>(イ)-断 A.29図 (ロ)-断 A.31図 (ハ)-断 A.37図</p> <p>(イ)-断 A.29図 (ロ)-断 A.31図 (ハ)-断 A.41図</p>							

(イ) - A - 12

核燃料輸送物設計変更承認申請に係る変更前後表

前回申請書

(平成 30 年 8 月 17 日付三原燃第 18-393 号をもって申請
(平成 31 年 2 月 5 日付三原燃第 18-1013 号をもって一部補正))

今回の核燃料輸送物設計変更承認申請

備考

・記載の適正化

(イ) - 断 A.3 構造解析の解析条件と解析方法 (4/7)

件 名	項 目	解 析 条 件				解 析 方 法	備 考
		參 照 図	材 質	溫 度	負 荷		
核燃料保管物	(核燃料保管の温度)					漬用效式又は漬 水切り仕 事及びA.9を引用して評価)	A. 8
(水受槽)	—	ステンレス鋼 盤	—	水 壓 離	—	淡水性 水切り仕	A. 9.1
<p>[図面書下]</p> <p>1. 漬用効式又は漬水切り仕</p> <p>(イ)-断 A.29図 (ロ)-断 A.32図</p> <p>2. 天井及び底板 1) 流通管下 2) 水平管下 3) コーナー部下</p> <p>3. 施設構造部材 1) 前記底板下 2) 水平管下 3) 前記コーナー部下</p> <p>4. ハスケット 1) 水平管下</p> <p>5. 核燃料保管</p>							
<p>板 分 類 及 し 用 途 は 断 A.10 に お け る と 同 じ こ と</p> <p>(イ)-断 A.29図 (ロ)-断 A.31図 (ハ)-断 A.33図</p> <p>(イ)-断 A.29図 (ロ)-断 A.31図 (ハ)-断 A.37図</p> <p>(イ)-断 A.29図 (ロ)-断 A.31図 (ハ)-断 A.41図</p>							

(イ) - A - 12

核燃料輸送物設計変更承認申請に係る変更前後表

前回申請書 (平成 30 年 8 月 17 日付三原燃第 18-393 号をもって申請 (平成 31 年 2 月 5 日付三原燃第 18-1013 号をもって一部補正))							今回の核燃料輸送物設計変更承認申請							備考			
解析条件				解析方法			解析条件				解析方法			備考			
条件	参考図	材質	温度 (°C)	温度	負担	指標	温度	負担	指標	温度	負担	指標	温度	負担	指標		
1. 鋼管を 2. 機械を	(a)-新A-42図～ (b)-新A-44図～ (c)-新A-45図～ (d)-新A-47図	ステンレス鋼 ステンレス鋼	輪形重量の5倍 自重の6倍の慣性 力を考慮	1 1	応力強さ 応力強さ	断面力、断面力+曲げ応力 断面力、断面力+曲げ応力	5t 5t						A.9.1				
(貨物)	(e)-新A-48図	ステンレス鋼	帶下ニカルギー	—	貫通に必要な エネルギー	W _b = m g h W = $\int_0^t \pi r d(\zeta - \rho) dz$	W _b < W						A.9.1				
該分野における既存の実験結果																	
(a)-新A-3表 構造解析の解析条件と解析方法 (5/7)							(a)-新A-3表 構造解析の解析条件と解析方法 (5/7)							備考			
条件	参考図	材質	温度 (°C)	温度	負担	指標	条件	温度 (°C)	負担	指標	温度	負担	指標	温度	負担	指標	
1. 鋼管を 2. 機械を	(a)-新A-42図～ (b)-新A-44図～ (c)-新A-45図～ (d)-新A-47図	ステンレス鋼 ステンレス鋼	輪形重量の5倍 自重の6倍の慣性 力を考慮	1 1	応力強さ 応力強さ	断面力、断面力+曲げ応力 断面力、断面力+曲げ応力	5t 5t							A.9.1			
(貨物)	(e)-新A-48図	ステンレス鋼	帶下ニカルギー	—	貫通に必要な エネルギー	W _b = m g h W = $\int_0^t \pi r d(\zeta - \rho) dz$	W _b < W							A.9.1			
該分野における既存の実験結果																	

(a)-A-13

(a)-A-13

核燃料輸送物設計変更承認申請に係る変更前後表

機 構 部 件	項 目	參 照 圖	材 質	溫 度 ($^{\circ}\text{C}$)	角 度 及 長 度 部	指 標	解 析 系 統 方 法		備 考
							通 用 數 式 或 其 他	詳 述 並 註 明	
	[機械部]								A.9.2
1. 本体、蓋板	(1) 視A-75回 (1) 視A-76回	—	ステンレス鋼 チタン合金	内压、温度分布等 及び初期応力	上	塑性 硬	最大應力值	臨界荷重で考慮を要する 形状変化を引かにする	
2. 蓋板取付けボルト	—	合 金 鋼	—	引張应力 引張荷重	σ _拉 σ _{拉+σ₀}			破断のないこと	
3. バックストラップ 及びケーブルと本体の 接合部	—	ステンレス鋼 アルミニウム合金	—	引張应力 剪切力	ΔP = (u _c - u _b) + (Δd _c - Δd _b) ΔD = (D _c + d _b) - (D _b + d _c)	臨界荷重で考慮を要する 形状変化を引かにする			
4. 燃料供給管	—	ジルコニア2	—	芯力強さ	5mm $ v_0 - v_1 , v_2 - v_3 , v_4 - v_5 $	張断のないこと			
	[水槽 (0.9m)]	—	—	—	—	—	—	—	A.9.2
								(臨界荷重での過入を 考慮している)	

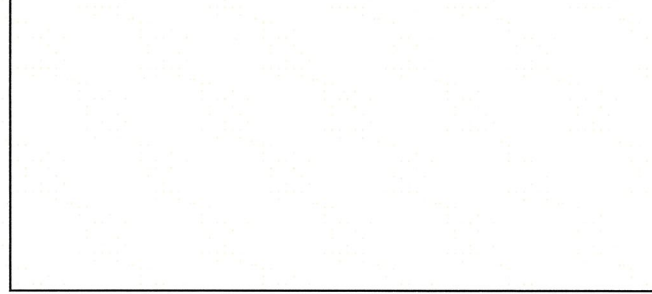
(b) - A - 15

(g) - A - 1

・記載の適正化

備考

核燃料輸送物設計変更承認申請に係る変更前後表

前回申請書 (平成 30 年 8 月 17 日付三原燃第 18-393 号をもって申請 (平成 31 年 2 月 5 日付三原燃第 18-1013 号をもって一部補正))	今回の核燃料輸送物設計変更承認申請	備考
<p>A.2 重量及び重心</p> <p>輸送容器及び収納物の総重量、各構成部品の重量は、(i) 第 C.4 表に示したとおりである。また、輸送物の重心位置は、(e) 第 A.1 図に示すとおりである。</p>  <p>(e) 第 A.1 図 重心の位置</p>	<p>A.2 重量及び重心</p> <p>輸送容器及び収納物の総重量、各構成部品の重量は、(i) 第 C.4 表に示すとおりである。また、輸送物の重心位置は、(e) 第 A.1 図に示すとおりである。</p>  <p>(v) 第 A.1 図 重心の位置</p>	<ul style="list-style-type: none"> 記載の適正化 知見の更新に関する説明の追加
<p>A.3 材料の機械的性質</p> <p>解析に用いる材料の機械的性質を(v) 第 A.4 表に示す。</p>	<p>A.3 材料の機械的性質</p> <p>解析に用いる材料の機械的性質を(v) 第 A.4 表に示す。</p> <p>なお、A.4.2 及び熱解析に示すように、規則で定められている -40°C から 70°C の温度範囲は、本輸送容器の構成部品の使用可能な温度の範囲にあり、これらの温度範囲において構成部品に亀裂、破損の生じるおそれはない。</p>	<p>(e) - A - 16</p> <p>(v) - A - 16</p>

核燃料輸送物設計変更承認申請に係る変更前後表

前回申請書							今回の核燃料輸送物設計変更承認申請							備考																																																																																																																																																																									
<p>(平成 30 年 8 月 17 日付三原燃第 18-393 号をもって申請 (平成 31 年 2 月 5 日付三原燃第 18-1013 号をもって一部補正))</p>																																																																																																																																																																																							
<p>(a) - 第 A.4 表 材料の機械的性質 (1/3)</p> <table border="1"> <thead> <tr> <th>材 料</th> <th>部 品</th> <th>1) 設計強度応力 (温度) (MPa) (°C)</th> <th>2) 設計引張応力 (温度) (MPa) (°C)</th> <th>3) 伸び (温度) [%] (°C)</th> <th>4) ポアソン 比</th> <th>5) 密度 (10^3 kg/m³)</th> <th>6) 絶対温系数 (温度) (10^3 MPa) (°C)</th> <th>7) 絶対温系数 (温度) (10^3 kg/m³) (°C)</th> <th>8) 絶対温系数 (温度) (10^3 MPa) (°C)</th> <th>9) 絶対温系数 (温度) (10^3 kg/m³) (°C)</th> <th>10) 絶対温系数 (温度) (10^3 MPa) (°C)</th> </tr> </thead> <tbody> <tr> <td>内 槽 隔ガセット 隔壁外板</td> <td></td> <td></td> <td></td> <td>0.3</td> <td>7.8</td> <td></td> <td></td> <td></td> <td></td> <td></td> <td></td> </tr> <tr> <td>上部フランジ 底 板</td> <td></td> <td></td> <td></td> <td>-</td> <td>-</td> <td></td> <td></td> <td></td> <td></td> <td></td> <td></td> </tr> <tr> <td>ヘンドリングベルト ・吊りハンドル ・吊りハンドル 取付けピン</td> <td></td> <td></td> <td></td> <td>-</td> <td>-</td> <td></td> <td></td> <td></td> <td></td> <td></td> <td></td> </tr> <tr> <td>トライオン</td> <td></td> <td></td> <td></td> <td>-</td> <td>-</td> <td></td> <td></td> <td></td> <td></td> <td></td> <td></td> </tr> <tr> <td>チタン合金</td> <td>蓋 板</td> <td></td> <td></td> <td>0.3</td> <td>4.42</td> <td></td> <td></td> <td></td> <td></td> <td></td> <td></td> </tr> <tr> <td>ステンレス鋼</td> <td>隔壁吸収カバー外板、 隔壁吸収カバー外板</td> <td>-</td> <td>-</td> <td>-</td> <td>0.3</td> <td>7.9</td> <td>-</td> <td>-</td> <td></td> <td></td> <td></td> </tr> </tbody> </table> <p>注 1) 部材要求仕様値 注 2) 代表値 注 3) 落下解析に用いた応力-歪曲線は A.10.2 付図書類-2 に示す。</p>							材 料	部 品	1) 設計強度応力 (温度) (MPa) (°C)	2) 設計引張応力 (温度) (MPa) (°C)	3) 伸び (温度) [%] (°C)	4) ポアソン 比	5) 密度 (10^3 kg/m ³)	6) 絶対温系数 (温度) (10^3 MPa) (°C)	7) 絶対温系数 (温度) (10^3 kg/m ³) (°C)	8) 絶対温系数 (温度) (10^3 MPa) (°C)	9) 絶対温系数 (温度) (10^3 kg/m ³) (°C)	10) 絶対温系数 (温度) (10^3 MPa) (°C)	内 槽 隔ガセット 隔壁外板				0.3	7.8							上部フランジ 底 板				-	-							ヘンドリングベルト ・吊りハンドル ・吊りハンドル 取付けピン				-	-							トライオン				-	-							チタン合金	蓋 板			0.3	4.42							ステンレス鋼	隔壁吸収カバー外板、 隔壁吸収カバー外板	-	-	-	0.3	7.9	-	-				<p>(a) - 第 A.4 表 材料の機械的性質 (1/3)</p> <table border="1"> <thead> <tr> <th>材 料</th> <th>部 品</th> <th>1) 設計強度応力 (温度) (MPa) (°C)</th> <th>2) 設計引張応力 (温度) (MPa) (°C)</th> <th>3) 伸び (温度) [%] (°C)</th> <th>4) ポアソン 比</th> <th>5) 密度 (10^3 kg/m³)</th> <th>6) 絶対温系数 (温度) (10^3 MPa) (°C)</th> <th>7) 絶対温系数 (温度) (10^3 kg/m³) (°C)</th> <th>8) 絶対温系数 (温度) (10^3 MPa) (°C)</th> <th>9) 絶対温系数 (温度) (10^3 kg/m³) (°C)</th> <th>10) 絶対温系数 (温度) (10^3 MPa) (°C)</th> </tr> </thead> <tbody> <tr> <td>内 槽 隔ガセット 隔壁外板</td> <td></td> <td></td> <td></td> <td>0.3</td> <td>7.8</td> <td></td> <td></td> <td></td> <td></td> <td></td> <td></td> </tr> <tr> <td>上部フランジ 底 板</td> <td></td> <td></td> <td></td> <td>-</td> <td>-</td> <td></td> <td></td> <td></td> <td></td> <td></td> <td></td> </tr> <tr> <td>ヘンドリングベルト ・吊りハンドル ・吊りハンドル 取付けピン</td> <td></td> <td></td> <td></td> <td>-</td> <td>-</td> <td></td> <td></td> <td></td> <td></td> <td></td> <td></td> </tr> <tr> <td>トライオン</td> <td></td> <td></td> <td></td> <td>-</td> <td>-</td> <td></td> <td></td> <td></td> <td></td> <td></td> <td></td> </tr> <tr> <td>チタン合金</td> <td>蓋 板</td> <td></td> <td></td> <td>0.3</td> <td>4.42</td> <td></td> <td></td> <td></td> <td></td> <td></td> <td></td> </tr> <tr> <td>ステンレス鋼</td> <td>隔壁吸収カバー外板、 隔壁吸収カバー外板</td> <td>-</td> <td>-</td> <td>-</td> <td>0.3</td> <td>7.9</td> <td>-</td> <td>-</td> <td></td> <td></td> <td></td> </tr> </tbody> </table> <p>注 1) 部材要求仕様値 注 2) 代表値 注 3) 落下解析に用いた応力-歪曲線は A.10.2 付図書類-2 に示す。</p>							材 料	部 品	1) 設計強度応力 (温度) (MPa) (°C)	2) 設計引張応力 (温度) (MPa) (°C)	3) 伸び (温度) [%] (°C)	4) ポアソン 比	5) 密度 (10^3 kg/m ³)	6) 絶対温系数 (温度) (10^3 MPa) (°C)	7) 絶対温系数 (温度) (10^3 kg/m ³) (°C)	8) 絶対温系数 (温度) (10^3 MPa) (°C)	9) 絶対温系数 (温度) (10^3 kg/m ³) (°C)	10) 絶対温系数 (温度) (10^3 MPa) (°C)	内 槽 隔ガセット 隔壁外板				0.3	7.8							上部フランジ 底 板				-	-							ヘンドリングベルト ・吊りハンドル ・吊りハンドル 取付けピン				-	-							トライオン				-	-							チタン合金	蓋 板			0.3	4.42							ステンレス鋼	隔壁吸収カバー外板、 隔壁吸収カバー外板	-	-	-	0.3	7.9	-	-					
材 料	部 品	1) 設計強度応力 (温度) (MPa) (°C)	2) 設計引張応力 (温度) (MPa) (°C)	3) 伸び (温度) [%] (°C)	4) ポアソン 比	5) 密度 (10^3 kg/m ³)	6) 絶対温系数 (温度) (10^3 MPa) (°C)	7) 絶対温系数 (温度) (10^3 kg/m ³) (°C)	8) 絶対温系数 (温度) (10^3 MPa) (°C)	9) 絶対温系数 (温度) (10^3 kg/m ³) (°C)	10) 絶対温系数 (温度) (10^3 MPa) (°C)																																																																																																																																																																												
内 槽 隔ガセット 隔壁外板				0.3	7.8																																																																																																																																																																																		
上部フランジ 底 板				-	-																																																																																																																																																																																		
ヘンドリングベルト ・吊りハンドル ・吊りハンドル 取付けピン				-	-																																																																																																																																																																																		
トライオン				-	-																																																																																																																																																																																		
チタン合金	蓋 板			0.3	4.42																																																																																																																																																																																		
ステンレス鋼	隔壁吸収カバー外板、 隔壁吸収カバー外板	-	-	-	0.3	7.9	-	-																																																																																																																																																																															
材 料	部 品	1) 設計強度応力 (温度) (MPa) (°C)	2) 設計引張応力 (温度) (MPa) (°C)	3) 伸び (温度) [%] (°C)	4) ポアソン 比	5) 密度 (10^3 kg/m ³)	6) 絶対温系数 (温度) (10^3 MPa) (°C)	7) 絶対温系数 (温度) (10^3 kg/m ³) (°C)	8) 絶対温系数 (温度) (10^3 MPa) (°C)	9) 絶対温系数 (温度) (10^3 kg/m ³) (°C)	10) 絶対温系数 (温度) (10^3 MPa) (°C)																																																																																																																																																																												
内 槽 隔ガセット 隔壁外板				0.3	7.8																																																																																																																																																																																		
上部フランジ 底 板				-	-																																																																																																																																																																																		
ヘンドリングベルト ・吊りハンドル ・吊りハンドル 取付けピン				-	-																																																																																																																																																																																		
トライオン				-	-																																																																																																																																																																																		
チタン合金	蓋 板			0.3	4.42																																																																																																																																																																																		
ステンレス鋼	隔壁吸収カバー外板、 隔壁吸収カバー外板	-	-	-	0.3	7.9	-	-																																																																																																																																																																															

核燃料輸送物設計変更承認申請に係る変更前後表

前回申請書 (平成 30 年 8 月 17 日付三原燃第 18-393 号をもって申請 (平成 31 年 2 月 5 日付三原燃第 18-1013 号をもって一部補正))							今回の核燃料輸送物設計変更承認申請							備考	
材 料	部 品	¹⁾ 設計降伏応力 (温度) [MPa] (°C)	¹⁾ 設計引張強さ (温度) [kgf/mm ²] (°C)	¹⁾ 伸び (温度) [%] (°C)	¹⁾ ボアンシ 比	²⁾ 密度 [10 ³ kg/m ³]	²⁾ 線弾性係数 [10 ³ MPa] (°C)	²⁾ 線膨張係数 [10 ⁻⁶ °C×10 ³] (°C)	¹⁾ ボアンシ 比	¹⁾ 密度 [10 ³ kg/m ³]	¹⁾ 線弾性係数 [10 ³ MPa] (°C)	¹⁾ 線膨張係数 [10 ⁻⁶ °C×10 ³] (°C)			
合 金 鋼	蓋板締付けボルト トランシオン取付けボ ルト	[]	[]	[]	0.3	7.75	[]	[]	[]	[]	[]	[]			
	ハンドリングベルト 運搬ボルト	[]	[]	[]	—	0.3	[]	[]	[]	[]	[]	[]			
	■ 材 緩衝材 ³⁾	[]	[]	[]	—	—	[] ¹⁾	[] ²⁾	[] ¹⁾	[] ²⁾	[] ¹⁾	[] ²⁾			
(a) 第 A.4 表 材料の機械的性質 (2/3)															
注 1) 設計要求仕様値 注 2) 代表値 注 3) 帯下解析に用いた応力一垂曲線は A.10.2 付属書類-2 に示す。															
材 料	部 品	¹⁾ 設計降伏応力 (温度) [MPa] (°C)	¹⁾ 設計引張強さ (温度) [kgf/mm ²] (°C)	¹⁾ 伸び (温度) [%] (°C)	¹⁾ ボアンシ 比	²⁾ 密度 [10 ³ kg/m ³]	²⁾ 線弾性係数 [10 ³ MPa] (°C)	²⁾ 線膨張係数 [10 ⁻⁶ °C×10 ³] (°C)	¹⁾ ボアンシ 比	¹⁾ 密度 [10 ³ kg/m ³]	¹⁾ 線弾性係数 [10 ³ MPa] (°C)	¹⁾ 線膨張係数 [10 ⁻⁶ °C×10 ³] (°C)			
合 金 鋼	蓋板締付けボルト トランシオン取付けボ ルト	[]	[]	[]	—	0.3	[]	[]	[]	[]	[]	[]			
	ハンドリングベルト 運搬ボルト	[]	[]	[]	—	0.3	[]	[]	[]	[]	[]	[]			
	■ 材 緩衝材 ³⁾	[]	[]	[]	—	—	[] ¹⁾	[] ²⁾	[] ¹⁾	[] ²⁾	[] ¹⁾	[] ²⁾			
(a) 第 A.4 表 材料の機械的性質 (2/3)															
注 1) 設計要求仕様値 注 2) 代表値 注 3) 帯下解析に用いた応力一垂曲線は A.10.2 付属書類-2 に示す。															
• 記載の適正化 (用語の統一)															

(a) - A - 18

(a) - A - 18

核燃料輸送物設計変更承認申請に係る変更前後表

前回申請書							今回の核燃料輸送物設計変更承認申請							備考	
材料		部品	試験条件	設計引張応力 [温度] [MPa] (°C)	伸び [%] (°C)	密度 [10 ³ kg/m ³]	線膨張係数 (温度) [10 ⁶ MPa] (°C)	材料		部品	試験条件	設計引張応力 [温度] [MPa] (°C)	伸び [%] (°C)	密度 [10 ³ kg/m ³]	線膨張係数 (温度) [10 ⁶ MPa] (°C)
ボロン入り ステンレス鋼	ロジメント (バケット)				—	0.3	2.78	ロジメント (バケット)					—	—	—
アルミニウム合金	(バケット)				—	0.3	2.78	(バケット)					—	—	—
アルミスベーパー	(バケット)				—	0.3	2.70	(バケット)					—	—	—

(e) - 第A-4 表 材料の機械的性質 (3/3)

材料	部品	試験条件	設計引張応力 [温度] [MPa] (°C)	伸び [%] (°C)	密度 [10 ³ kg/m ³]	線膨張係数 (温度) [10 ⁶ MPa] (°C)
ボロン入り ステンレス鋼	ロジメント (バケット)			—	0.3	2.78
アルミニウム合金	(バケット)			—	0.3	2.78
アルミスベーパー	(バケット)			—	0.3	2.70

注 1) 設計要求仕様値

注 2) 代表値

(e) - A - 19

(e) - 第A-4 表 材料の機械的性質 (3/3)

材料	部品	試験条件	設計引張応力 [温度] [MPa] (°C)	伸び [%] (°C)	密度 [10 ³ kg/m ³]	線膨張係数 (温度) [10 ⁶ MPa] (°C)
ボロン入り ステンレス鋼	ロジメント (バケット)			—	0.3	2.78
アルミニウム合金	(バケット)			—	0.3	2.78
アルミスベーパー	(バケット)			—	0.3	2.70

注 1) 設計要求仕様値

注 2) 代表値

(e) - A - 19

核燃料輸送物設計変更承認申請に係る変更前後表

前回申請書 (平成 30 年 8 月 17 日付三原燃第 18-393 号をもって申請 (平成 31 年 2 月 5 日付三原燃第 18-1013 号をもって一部補正))	今回の核燃料輸送物設計変更承認申請	備考																																																				
<p>A.4 輸送物の要件</p> <p>A.4.1 化学的及び電気的反応</p> <p>輸送容器及び輸送容器と収納物の間で接触する異種材料の一覧を (b) 第 A.5 表に示す。</p> <p>輸送物は乾式で輸送されることから、接触する異種材料において、化学的及び電気的反応は生じない。</p> <p>(b) 第 A.5 表 接触する異種材料の一覧</p> <table border="1"> <thead> <tr> <th>接触する異種材料</th><th>接触する部品</th></tr> </thead> <tbody> <tr> <td>ステンレス鋼 — チタン合金</td><td>上部フランジ — 蓋板</td></tr> <tr> <td>ステンレス鋼 — □</td><td>内筒、胴ガセット、胴外板 — □プレート</td></tr> <tr> <td>ステンレス鋼 — [] レジン</td><td>内筒、胴ガセット、胴外板 — 脊部レジン 蓋部レジンカバー、底部レジンカバー — 底部レジン、底板 — 底部レジン</td></tr> <tr> <td>チタン合金 — 合金鋼</td><td>蓋板 — 締付けボルト</td></tr> <tr> <td>ステンレス鋼 — 合金鋼</td><td>衝撃吸収カバー、上部フランジ、クイックコネクションカバー — 締付けボルト トラニオン — 取付けボルト</td></tr> <tr> <td>ステンレス鋼 — [] 材</td><td>衝撃吸収カバー外板、[] — 緩衝材 断熱カバー — 緩衝材</td></tr> <tr> <td>ステンレス鋼 — EPDM</td><td>上部フランジ、クイックコネクションカバー — ガスケット</td></tr> <tr> <td>ステンレス鋼 — エラストマー</td><td>胴外板、上部ベルト、下部ベルト — ライナー</td></tr> <tr> <td>チタン合金 — EPDM</td><td>蓋板 — ガスケット</td></tr> <tr> <td>ステンレス鋼 — アルミニウム合金</td><td>内筒 — パスケット ロジメント — []</td></tr> <tr> <td>□ — [] レジン</td><td>□プレート — 脊部レジン</td></tr> <tr> <td>ステンレス鋼 — ジルコニウム合金</td><td>ロジメント — 燃料集合体(又はチャンネルパックス)</td></tr> </tbody> </table> <p>(b) — A-20</p>	接触する異種材料	接触する部品	ステンレス鋼 — チタン合金	上部フランジ — 蓋板	ステンレス鋼 — □	内筒、胴ガセット、胴外板 — □プレート	ステンレス鋼 — [] レジン	内筒、胴ガセット、胴外板 — 脊部レジン 蓋部レジンカバー、底部レジンカバー — 底部レジン、底板 — 底部レジン	チタン合金 — 合金鋼	蓋板 — 締付けボルト	ステンレス鋼 — 合金鋼	衝撃吸収カバー、上部フランジ、クイックコネクションカバー — 締付けボルト トラニオン — 取付けボルト	ステンレス鋼 — [] 材	衝撃吸収カバー外板、[] — 緩衝材 断熱カバー — 緩衝材	ステンレス鋼 — EPDM	上部フランジ、クイックコネクションカバー — ガスケット	ステンレス鋼 — エラストマー	胴外板、上部ベルト、下部ベルト — ライナー	チタン合金 — EPDM	蓋板 — ガスケット	ステンレス鋼 — アルミニウム合金	内筒 — パスケット ロジメント — []	□ — [] レジン	□プレート — 脊部レジン	ステンレス鋼 — ジルコニウム合金	ロジメント — 燃料集合体(又はチャンネルパックス)	<p>A.4 (b) 輸送物の要件</p> <p>A.4.1 化学的及び電気的反応</p> <p>輸送容器及び輸送容器と収納物の間で接触する異種材料の一覧を (b) 第 A.5 表に示す。</p> <p>輸送物は乾式で輸送されることから、接触する異種材料において、化学的及び電気的反応は生じない。なお、レジン([] レジン)は、密閉保管部、蓋部及び底部にそれを密閉されおり、雨水等にさらされることはない。また、レジン、EPDM 及びエラストマーがステンレス鋼と接触しても化学的反応は生じない。輸送容器及び収納物の各構成部品に使用される材料は、本輸送物の輸送中に予想される温度範囲を包含する -40°C から一般の試験条件における最高温度 (70°C) において化学的に安定している。</p> <p>(b) 第 A.5 表 接触する異種材料の一覧</p> <table border="1"> <thead> <tr> <th>接触する異種材料</th><th>接触する部品</th></tr> </thead> <tbody> <tr> <td>ステンレス鋼 — チタン合金</td><td>上部フランジ — 蓋板</td></tr> <tr> <td>ステンレス鋼 — □</td><td>内筒、胴ガセット、胴外板 — □プレート</td></tr> <tr> <td>ステンレス鋼 — [] レジン</td><td>内筒、胴ガセット、胴外板 — 脊部レジン 蓋部レジンカバー — 脊部レジン、底部レジンカバー — 底部レジン、底板 — 底部レジン</td></tr> <tr> <td>チタン合金 — 合金鋼</td><td>蓋板 — 締付けボルト</td></tr> <tr> <td>ステンレス鋼 — 合金鋼</td><td>衝撃吸収カバー、上部フランジ、クイックコネクションカバー — 締付けボルト トラニオン — 取付けボルト</td></tr> <tr> <td>ステンレス鋼 — [] 材</td><td>衝撃吸収カバー外板、[] — 緩衝材 断熱カバー — 緩衝材</td></tr> <tr> <td>ステンレス鋼 — EPDM</td><td>上部フランジ、クイックコネクションカバー — ガスケット</td></tr> <tr> <td>ステンレス鋼 — エラストマー</td><td>胴外板、上部ベルト、下部ベルト — ライナー</td></tr> <tr> <td>チタン合金 — EPDM</td><td>蓋板 — ガスケット</td></tr> <tr> <td>ステンレス鋼 — アルミニウム合金</td><td>内筒 — パスケット、ロジメント — []</td></tr> <tr> <td>□ — [] レジン</td><td>□プレート — 脊部レジン</td></tr> <tr> <td>ステンレス鋼 — ジルコニウム合金</td><td>収納缶 — 燃料集合体(又はチャンネルパックス)</td></tr> </tbody> </table> <p>注1) EPDM、バイトン又はシリコン</p> <p>(b) — A-20</p>	接触する異種材料	接触する部品	ステンレス鋼 — チタン合金	上部フランジ — 蓋板	ステンレス鋼 — □	内筒、胴ガセット、胴外板 — □プレート	ステンレス鋼 — [] レジン	内筒、胴ガセット、胴外板 — 脊部レジン 蓋部レジンカバー — 脊部レジン、底部レジンカバー — 底部レジン、底板 — 底部レジン	チタン合金 — 合金鋼	蓋板 — 締付けボルト	ステンレス鋼 — 合金鋼	衝撃吸収カバー、上部フランジ、クイックコネクションカバー — 締付けボルト トラニオン — 取付けボルト	ステンレス鋼 — [] 材	衝撃吸収カバー外板、[] — 緩衝材 断熱カバー — 緩衝材	ステンレス鋼 — EPDM	上部フランジ、クイックコネクションカバー — ガスケット	ステンレス鋼 — エラストマー	胴外板、上部ベルト、下部ベルト — ライナー	チタン合金 — EPDM	蓋板 — ガスケット	ステンレス鋼 — アルミニウム合金	内筒 — パスケット、ロジメント — []	□ — [] レジン	□プレート — 脊部レジン	ステンレス鋼 — ジルコニウム合金	収納缶 — 燃料集合体(又はチャンネルパックス)	<ul style="list-style-type: none"> 記載要領の変更に伴う記載の見直し 知見の更新に関する説明の追加 記載の適正化 収納物の追加に伴う記載の見直し
接触する異種材料	接触する部品																																																					
ステンレス鋼 — チタン合金	上部フランジ — 蓋板																																																					
ステンレス鋼 — □	内筒、胴ガセット、胴外板 — □プレート																																																					
ステンレス鋼 — [] レジン	内筒、胴ガセット、胴外板 — 脊部レジン 蓋部レジンカバー、底部レジンカバー — 底部レジン、底板 — 底部レジン																																																					
チタン合金 — 合金鋼	蓋板 — 締付けボルト																																																					
ステンレス鋼 — 合金鋼	衝撃吸収カバー、上部フランジ、クイックコネクションカバー — 締付けボルト トラニオン — 取付けボルト																																																					
ステンレス鋼 — [] 材	衝撃吸収カバー外板、[] — 緩衝材 断熱カバー — 緩衝材																																																					
ステンレス鋼 — EPDM	上部フランジ、クイックコネクションカバー — ガスケット																																																					
ステンレス鋼 — エラストマー	胴外板、上部ベルト、下部ベルト — ライナー																																																					
チタン合金 — EPDM	蓋板 — ガスケット																																																					
ステンレス鋼 — アルミニウム合金	内筒 — パスケット ロジメント — []																																																					
□ — [] レジン	□プレート — 脊部レジン																																																					
ステンレス鋼 — ジルコニウム合金	ロジメント — 燃料集合体(又はチャンネルパックス)																																																					
接触する異種材料	接触する部品																																																					
ステンレス鋼 — チタン合金	上部フランジ — 蓋板																																																					
ステンレス鋼 — □	内筒、胴ガセット、胴外板 — □プレート																																																					
ステンレス鋼 — [] レジン	内筒、胴ガセット、胴外板 — 脊部レジン 蓋部レジンカバー — 脊部レジン、底部レジンカバー — 底部レジン、底板 — 底部レジン																																																					
チタン合金 — 合金鋼	蓋板 — 締付けボルト																																																					
ステンレス鋼 — 合金鋼	衝撃吸収カバー、上部フランジ、クイックコネクションカバー — 締付けボルト トラニオン — 取付けボルト																																																					
ステンレス鋼 — [] 材	衝撃吸収カバー外板、[] — 緩衝材 断熱カバー — 緩衝材																																																					
ステンレス鋼 — EPDM	上部フランジ、クイックコネクションカバー — ガスケット																																																					
ステンレス鋼 — エラストマー	胴外板、上部ベルト、下部ベルト — ライナー																																																					
チタン合金 — EPDM	蓋板 — ガスケット																																																					
ステンレス鋼 — アルミニウム合金	内筒 — パスケット、ロジメント — []																																																					
□ — [] レジン	□プレート — 脊部レジン																																																					
ステンレス鋼 — ジルコニウム合金	収納缶 — 燃料集合体(又はチャンネルパックス)																																																					

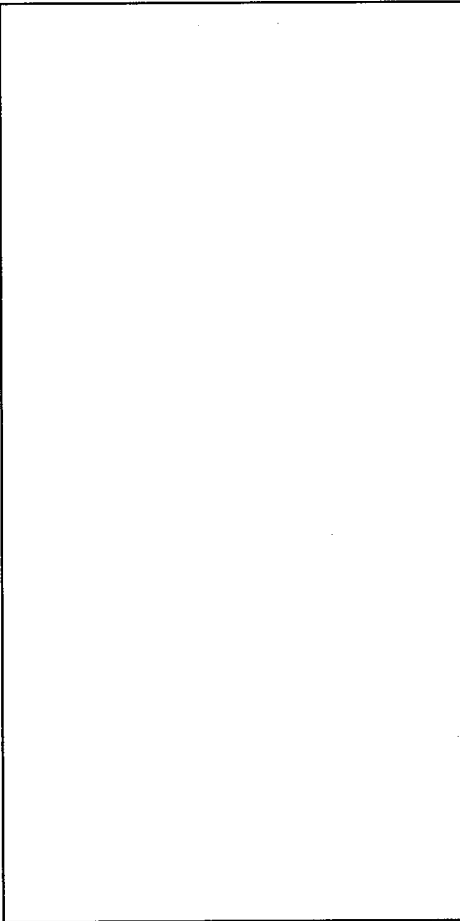
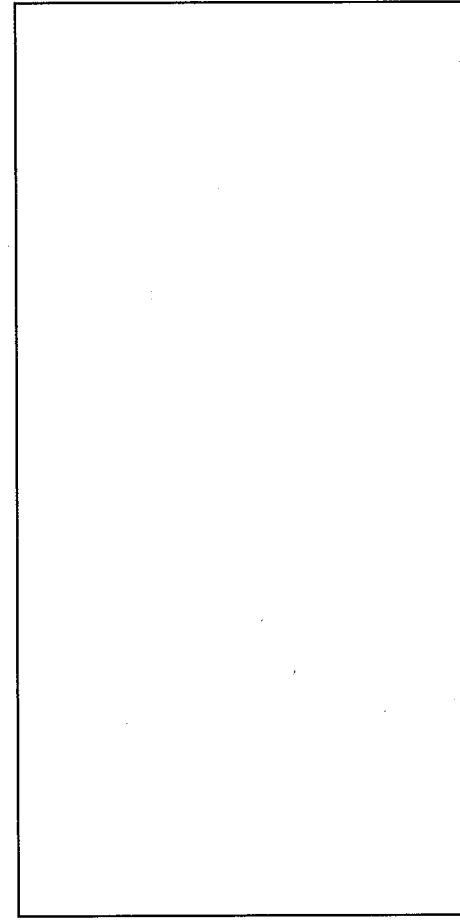
核燃料輸送物設計変更承認申請に係る変更前後表

前回申請書 (平成 30 年 8 月 17 日付三原燃第 18-393 号をもって申請 (平成 31 年 2 月 5 日付三原燃第 18-1013 号をもって一部補正))	今回の核燃料輸送物設計変更承認申請	備考
<p>A.4.2 低温強度</p> <p>(1) 構成部品の低温特性</p> <p>(イ) 第 C.1 表に示す輸送容器の使用材料は、-40°Cにおいて脆性破壊やき裂等を発生することはない。したがって、告示で定められる-40°Cから 70°Cの温度範囲においてき裂、破損等の生じるおそれはない。</p> <p>(2) 低温時の強度</p> <p>本体胴部を構成する内筒、胴ガセット、胴外板の□ステンレス鋼及びバスケットのボロン入りステンレス鋼は、薄板であり脆性破壊による低温時の強度の低下は生じない。(板厚が小さいほど脆性破壊が生じにくく、厚さが 16 mm 未満の薄肉材では破壊韧性試験を除外^[4]している。)</p> <p>蓋板のチタン合金は極低温まで低温脆性を示さない材料である。^[5]</p> <p>バスケットのアルミニウム合金及び衝撃吸収カバー等の□ステンレス鋼は低温脆性を示さない材料である。</p> <p>本体の上部フランジと底板の□ステンレス鋼鋼造材及び蓋板締付けボルトの合金鋼は低温脆性を示す材料であるが、-40°Cにおける衝撃試験を行い必要な韌性を有する材料が使用される。</p> <p>蓋板ガスケットの材料である EPDM は、-40°Cにおいて使用可能である。^[6]</p> <p>緩衝材の材料である□材は、低温においても強度劣化はなく-40°Cにおいて使用可能である。^[7]</p> <p>以上より、一般的の試験条件及び特別の試験条件において、本輸送容器は低温においても強度等の機械的性能が低下又は損なわれることはない。</p> <p>A.4.3 密封装置</p> <p>輸送容器の蓋板及び蓋板締付けボルトは、通常輸送時において(イ)第一C.3 図に示すように前部衝撃吸収カバーにより覆われている。また、蓋板のクイックコネクションを保護するクイックコネクションカバーは、同様に前部衝撃吸収カバーにより覆われている。したがって、輸送容器内部に対する開口部となる蓋板及びクイックコネクションカバーは、誤操作等により不用意に開放されることはない。</p> <p>□ □</p>	<p>A.4.2 低温強度</p> <p>(1) 構成部品の低温特性</p> <p>(イ) 第 C.1 表に示す輸送容器の使用材料は、-40°Cにおいて脆性破壊やき裂等を発生することはない。□</p> <p>(2) 低温時の強度</p> <p>本体胴部を構成する内筒、胴ガセット、胴外板の□ステンレス鋼及びバスケットのボロン入りステンレス鋼は、薄板であり脆性破壊による低温時の強度の低下は生じない。(板厚が小さいほど脆性破壊が生じにくく、厚さが 16 mm 未満の薄肉材では破壊韧性試験を除外^[4]している。)</p> <p>蓋板のチタン合金は極低温まで低温脆性を示さない材料である。^[5]</p> <p>バスケットのアルミニウム合金及び衝撃吸収カバー等の□ステンレス鋼は低温脆性を示さない材料である。</p> <p>本体の上部フランジと底板の□ステンレス鋼鋼造材及び蓋板締付けボルトの合金鋼は低温脆性を示す材料であるが、-40°Cにおける衝撃試験を行い必要な韌性を有する材料が使用される。</p> <p>蓋板ガスケットの材料である EPDM は、-40°Cにおいて使用可能である。^[6]</p> <p>緩衝材の材料である□材は、低温においても強度劣化はなく-40°Cにおいて使用可能である。^[7]</p> <p>以上より、一般的の試験条件及び特別の試験条件において、本輸送容器は低温においても強度等の機械的性能が低下又は損なわれることはない。</p> <p>A.4.3 密封装置</p> <p>輸送容器の蓋板及び蓋板締付けボルトは、通常輸送時において(イ)第一C.3 図に示すように前部衝撃吸収カバーにより覆われている。また、蓋板のクイックコネクションを保護するクイックコネクションカバーは、同様に前部衝撃吸収カバーにより覆われている。したがって、輸送容器内部に対する開口部となる蓋板及びクイックコネクションカバーは、誤操作等により不用意に開放されることはない。</p> <p>□ □</p>	<p>・記載の適正化</p>

核燃料輸送物設計変更承認申請に係る変更前後表

前回申請書 (平成 30 年 8 月 17 日付三原燃第 18-393 号をもって申請 (平成 31 年 2 月 5 日付三原燃第 18-1013 号をもって一部補正))	今回の核燃料輸送物設計変更承認申請	備考
<p>A.4.4 吊上装置</p> <p>輸送物には、(i) 第 C.5 図に示すように前部に 4 個（2 対）、後部に 2 個（1 対）のトラニオンが取付けられており、これらのトラニオンによって吊上げ操作が行われる。</p> <p>トラニオンによる吊上げ操作には、前部 1 対と後部 1 対を使用する水平吊り、前部 1 対を使用する垂直吊りがある。</p> <p>ここでは、後部のトラニオンに比べて径の小さい前部トラニオンを対象として、トラニオンに作用する荷重が最大となる垂直吊りした場合について評価を行う。ⁱⁱ⁾</p> <p>また、輸送物には、(i) 第 C.3 図に示すように胴部の前部及び後部にそれぞれ 1 個のハンドリングベルトが取付けられており、これらのハンドリングベルトによって水平吊り操作が行われる。</p> <p>(1) 応力評価</p> <p>a. トラニオン</p> <p>(a) 最大荷重</p> <p>トラニオンに作用する最大荷重は、次の式により求められる。なお、トラニオンを用いた吊上げ操作を行う場合には、輸送物から衝撃吸収カバーが取外された状態であるが、輸送物の全質量を用いてトラニオンに作用する最大荷重 F を算出する。</p> $F = m \times g \times \frac{G}{N}$ <p>ここで、m : 輸送物の質量 [19,500 kg] g : 重力加速度 [9.81 m/s²] G : 負荷係数 [3] N : トラニオンの個数 [2]</p> <p>したがって、 $F = 2.87 \times 10^5 N$</p> <p>(b) 応力計算</p> <p>トラニオンの各部寸法及び荷重作用点を(i) 第 A.2 図に示す。</p> <p>i. トラニオン円筒部</p> <p>トラニオン円筒部に発生する最大曲げ応力及びせん断応力は、はり理論を用いて次のように表わされる。</p> <hr/> <p>注 1) 水平吊りにおける後部トラニオンについて評価すると、垂直吊りにおける前部トラニオンの方が厳しい結果となっている。（付属書類-5 参照）</p> <p>(i) - A-22</p>	<p>A.4.4 吊上装置</p> <p>輸送物には、(i) 第 C.5 図に示すように前部に 4 個（2 対）、後部に 2 個（1 対）のトラニオンが取付けられており、これらのトラニオンによって吊上げ操作が行われる。</p> <p>トラニオンによる吊上げ操作には、前部 1 対と後部 1 対を使用する水平吊り、前部 1 対を使用する垂直吊りがある。</p> <p>ここでは、後部のトラニオンに比べて径の小さい前部トラニオンを対象として、トラニオンに作用する荷重が最大となる垂直吊りした場合について評価を行う。ⁱⁱ⁾</p> <p>また、輸送物には、(i) 第 C.3 図に示すように胴部の前部及び後部にそれぞれ 1 個のハンドリングベルトが取付けられており、これらのハンドリングベルトによって水平吊り操作が行われる。ため併せて評価を行なう。</p> <p>（i）上記の吊上げ操作において、吊上装置であるトラニオン及びハンドリングベルトを取付けた本体側も荷重を受けるが、本体は十分な強度を有している。（付属書類-6 参照）</p> <p>(1) 応力評価</p> <p>a. トラニオン</p> <p>(a) 最大荷重</p> <p>トラニオンに作用する最大荷重は、次の式により求められる。なお、トラニオンを用いた吊上げ操作を行う場合には、輸送物から衝撃吸収カバーが取外された状態であるが、輸送物の全質量を用いてトラニオンに作用する最大荷重 F を算出する。</p> $F = m \times g \times \frac{G}{N}$ <p>ここで、m : 輸送物の全質量 [19,500 kg] g : 重力加速度 [9.81 m/s²] G : 負荷係数 [3] N : トラニオンの個数 [2]</p> <p>したがって、 $F = 2.87 \times 10^5 N$</p> <p>(b) 応力計算</p> <p>トラニオンの各部寸法及び荷重作用点を(i) 第 A.2 図に示す。</p> <hr/> <p>注 1) 水平吊りにおける後部トラニオンについて評価すると、垂直吊りにおける前部トラニオンの方が厳しい結果となっている。（付属書類-5 参照）</p> <p>注 2) 無効な吊上げ等を含めた安全負担。以降の評価についても同様に設定。</p> <p>(i) - A-22</p>	<ul style="list-style-type: none"> ・知見の更新に関する説明の追加

核燃料輸送物設計変更承認申請に係る変更前後表

前回申請書 (平成 30 年 8 月 17 日付三原燃第 18-393 号をもって申請 (平成 31 年 2 月 5 日付三原燃第 18-1013 号をもって一部補正))	今回の核燃料輸送物設計変更承認申請	備考
 <p>(a) - 第八、2 図 前部トラニオンの寸法と荷重作用点 (単位 : mm)</p> <p>(a) - A - 23</p>	 <p>(a) - 第八、2 図 前部トラニオンの寸法と荷重作用点 (単位 : mm)</p> <p>(a) - A - 23</p>	-

核燃料輸送物設計変更承認申請に係る変更前後表

前回申請書 (平成30年8月17日付三原燃第18-393号をもって申請 (平成31年2月5日付三原燃第18-1013号をもって一部補正))	今回の核燃料輸送物設計変更承認申請	備考
<p>(i) 最大曲げ応力 (σ)</p> $\sigma = -\frac{M}{Z}$ <p>ここで、M : 曲げモーメント (N·mm)</p> <p>F : トラニオン1個当たりに作用する最大荷重 [2.87×10^6 N]</p> <p>L : F作用点と評価断面との距離</p> <p>[断面 A-A: [] mm, 断面 B-B: [] mm]</p> <p>Z : 断面係数 (mm³)</p> $Z = \frac{\pi}{32} D^3 \quad (D: \text{トラニオン円筒部の直径})$ <p>[断面 A-A: [] mm, 断面 B-B: [] mm]</p> <p>(ii) せん断応力 (τ)</p> $\tau = \frac{F}{A}$ <p>ここで、F : トラニオン1個当たりに作用する最大荷重 [2.87×10^6 N]</p> <p>A : 断面積 (mm²)</p> $A = \frac{\pi}{4} D^2$ <p>(iii) 応力強さ (S)</p> $S = \sqrt{\sigma^2 + 4\tau^2}$ <p>(a) 第A-2図の断面 A-A 及び断面 B-B について評価した結果、応力強さは、断面 A-Aにおいて [] MPa、断面 B-Bにおいて [] MPa となり、これに対する評価基準(Sy)は [] MPa (70°C^b)である。</p> <p>この時の余裕率 MS は次の値となる。</p> $MS = \frac{[]}{[]} - 1 = []$ <p>したがって、操作時における荷重に対してトラニオン円筒部は十分な強度を有している。</p> <hr/> <p>注1) (a)-B 热解析の一般的試験条件における輸送物温度 (以下同様)</p> <p>(a)-A-24</p>	<p>i. トラニオン円筒部</p> <p>トラニオン円筒部に発生する最大曲げ応力及びせん断応力は、はり理論を用いて次のように表わされる。</p> <p>(i) 最大曲げ応力 (σ)</p> $\sigma = -\frac{M}{Z}$ <p>ここで、M : 曲げモーメント (N·mm)</p> <p>F : トラニオン1個当たりに作用する最大荷重 [2.87×10^6 N]</p> <p>L : F作用点と評価断面との距離</p> <p>[断面 A-A: [] mm, 断面 B-B: [] mm]</p> <p>Z : 断面係数 (mm³)</p> $Z = \frac{\pi}{32} D^3 \quad (D: \text{トラニオン円筒部の直径})$ <p>[断面 A-A: [] mm, 断面 B-B: [] mm]</p> <p>(ii) せん断応力 (τ)</p> $\tau = \frac{F}{A}$ <p>ここで、F : トラニオン1個当たりに作用する最大荷重 [2.87×10^6 N]</p> <p>A : 断面積 (mm²)</p> $A = \frac{\pi}{4} D^2$ <p>(iii) 応力強さ (S)</p> $S = \sqrt{\sigma^2 + 4\tau^2}$ <p>(a) 第A-2図の断面 A-A 及び断面 B-B について評価した結果、応力強さは、断面 A-Aにおいて [] MPa、断面 B-Bにおいて [] MPa となり、これに対する評価基準(Sy)は [] MPa (70°C^b)である。</p> <p>この時の余裕率 MS は次の値となる。</p> $MS = \frac{[]}{[]} - 1 = []$ <p>したがって、操作時における荷重に対してトラニオン円筒部は十分な強度を有している。</p> <hr/> <p>注1) (a)-B 热解析の一般的試験条件における輸送物温度 (以下同様)</p> <p>(a)-A-24</p>	<p>・記載の適正化</p>

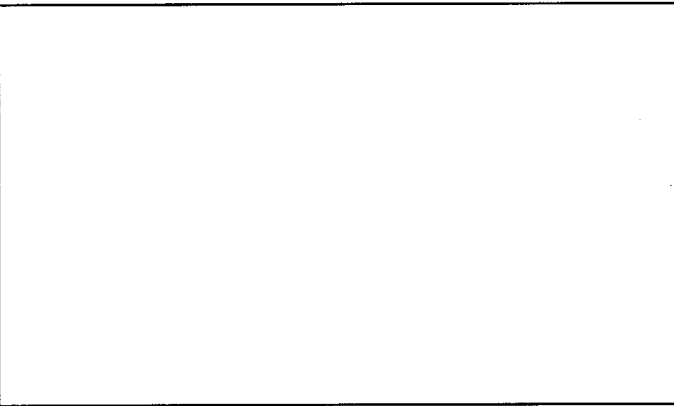
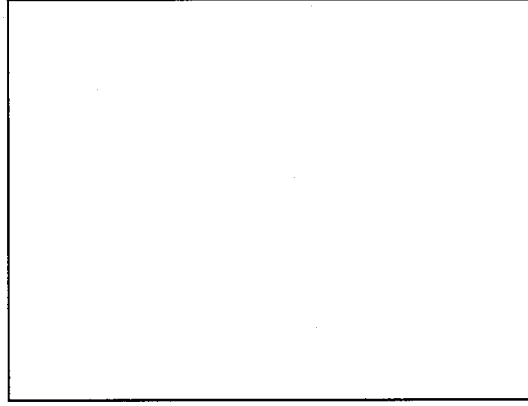
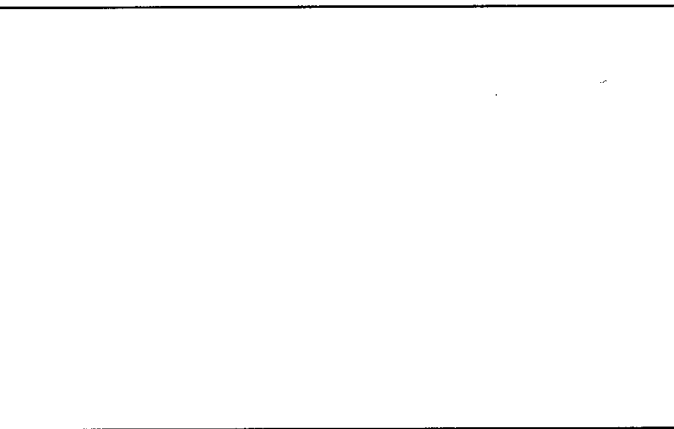
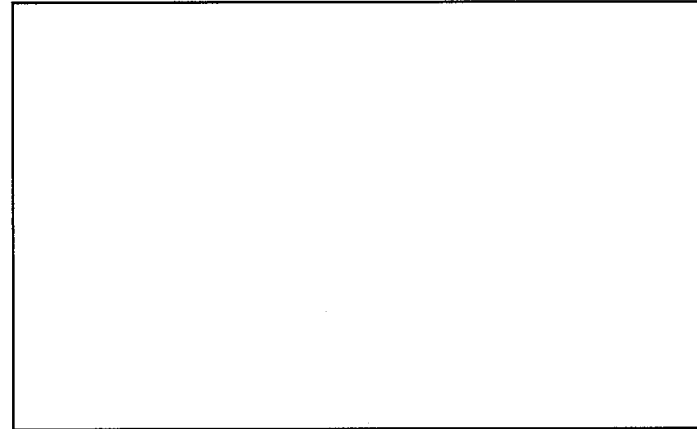
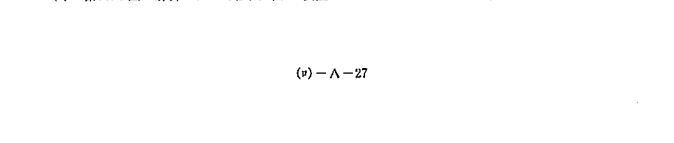
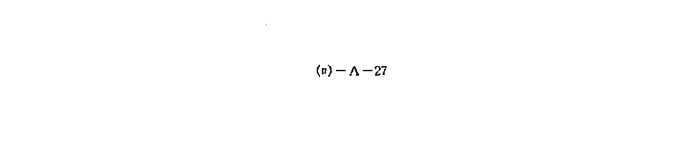
核燃料輸送物設計変更承認申請に係る変更前後表

前回申請書 (平成 30 年 8 月 17 日付三原燃第 18-393 号をもって申請 (平成 31 年 2 月 5 日付三原燃第 18-1013 号をもって一部補正))	今回の核燃料輸送物設計変更承認申請	備考
<p>ii. トラニオン取付けボルト</p> <p>トラニオンに作用するせん断荷重は、上部フランジにはめ込まれる円筒部で受け持たれる構造になっているため、トラニオン取付けボルトには、吊上げ時の回転モーメントによる引張荷重と初期締付けトルクによる軸力が作用する。</p> <p>(i) 回転モーメントによる引張応力</p> <p>(v) 第 A.2 図に示す O 点を支点とする回転モーメントによる最大引張応力 σ_1 は、ボルト \square 及び \square に生じ、次式で与えられる。</p> $\sigma_1 = M \times \frac{1}{I} \quad (\square : O \text{ 点よりボルト } \square \text{ 又は } \square \text{ までの距離 } [\square \text{ mm }])$ <p>$M = F \times L$</p> $I = \frac{\pi}{64} \times d^4 \times \square + \sum_{i=1}^n \left(\frac{\pi d_i^4}{4} \times D_i^2 \right) \times 2$ <p>ここで、F : トラニオン 1 個当たりに作用する最大荷重 [$2.87 \times 10^5 \text{ N}$]</p> <p>M : 回転モーメント (N·mm)</p> <p>I : 断面二次モーメント (mm^4)</p> <p>L : モーメントアーム [$\square \text{ mm}$]</p> <p>D_i : O 点よりボルトまでの距離 (mm)</p> <p>d_r : ボルト \square の最小径 [$\square \text{ mm}$]</p> <p>したがって、</p> $\sigma_1 = \square \text{ MPa}$ <p>(ii) 初期締付けトルクによる引張応力</p> <p>初期締付けトルクによる引張応力 σ_2 は次式で与えられる。</p> $\sigma_2 = T \times \frac{1}{0.2 d} \times \frac{1}{(\pi d^2 / 4)}$ <p>ここで、T : 初期締付けトルク [$\square \text{ N}\cdot\text{mm}$]</p> <p>d : ボルトの呼び径 [$\square \text{ mm}$]</p> <p>したがって、</p> $\sigma_2 = \square \text{ MPa}$ <p>以上より、吊上げ時にトラニオン取付けボルトに発生する引張応力 σ は、</p> $\sigma = \sigma_1 + \sigma_2 = \square \text{ MPa}$ <p>となり、これに対する評価基準(Sy)は $\square \text{ MPa}$ ($\square \text{ C}$) である。</p> <p>この時の余裕率 MS は次の値となる。</p> <p>(v) - A - 25</p>	<p>ii. トラニオン取付けボルト</p> <p>トラニオンに作用するせん断荷重は、上部フランジにはめ込まれる円筒部で受け持たれる構造になっているため、トラニオン取付けボルトには、吊上げ時の回転モーメントによる引張荷重と初期締付けトルクによる軸力が作用する。</p> <p>(i) 回転モーメントによる引張応力</p> <p>(v) 第 A.2 図に示す O 点を支点とする回転モーメントによる最大引張応力 σ_1 は、ボルト \square 及び \square に生じ、次式で与えられる。</p> $\sigma_1 = M \times \frac{1}{I} \quad (\square : O \text{ 点よりボルト } \square \text{ 又は } \square \text{ までの距離 } [\square \text{ mm }])$ <p>$M = F \times L$</p> $I = \frac{\pi}{64} \times d^4 \times \square + \sum_{i=1}^n \left(\frac{\pi d_i^4}{4} \times D_i^2 \right) \times 2$ <p>ここで、F : トラニオン 1 個当たりに作用する最大荷重 [$2.87 \times 10^5 \text{ N}$]</p> <p>M : 回転モーメント (N·mm)</p> <p>I : 断面二次モーメント (mm^4)</p> <p>L : モーメントアーム [$\square \text{ mm}$]</p> <p>D_i : O 点よりボルトまでの距離 (mm)</p> <p>d_r : ボルト \square の最小径 [$\square \text{ mm}$]</p> <p>したがって、</p> $\sigma_1 = \square \text{ MPa}$ <p>(ii) 初期締付けトルクによる引張応力</p> <p>初期締付けトルクによる引張応力 σ_2 は次式で与えられる。</p> $\sigma_2 = T \times \frac{1}{0.2 d} \times \frac{1}{(\pi d^2 / 4)}$ <p>ここで、T : 初期締付けトルク [$\square \text{ N}\cdot\text{mm}$]</p> <p>d : ボルトの呼び径 [$\square \text{ mm}$]</p> <p>したがって、</p> $\sigma_2 = \square \text{ MPa}$ <p>以上より、吊上げ時にトラニオン取付けボルトに発生する引張応力 σ は、</p> $\sigma = \sigma_1 + \sigma_2 = \square \text{ MPa}$ <p>となり、これに対する評価基準(Sy)は $\square \text{ MPa}$ (70°C) である。</p> <p>この時の余裕率 MS は次の値となる。</p> <p>(v) - A - 25</p>	<ul style="list-style-type: none"> 記載の適正化

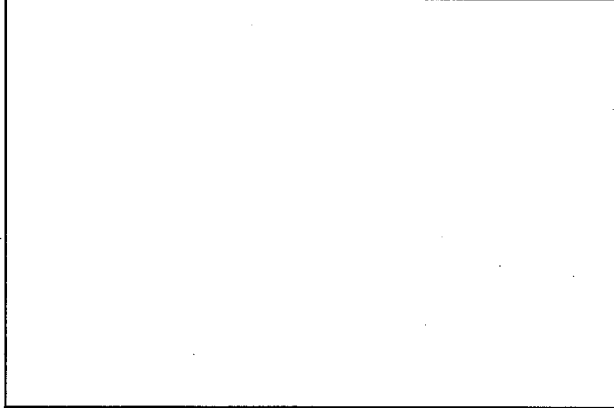
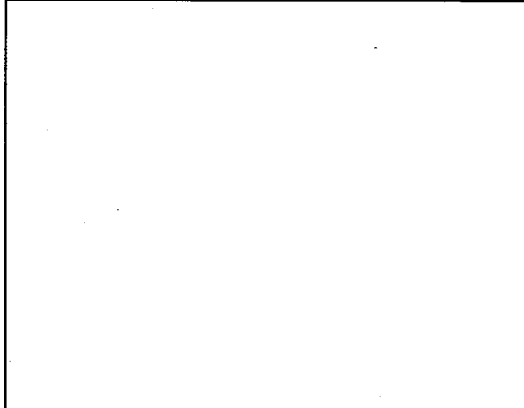
核燃料輸送物設計変更承認申請に係る変更前後表

前回申請書 (平成30年8月17日付三原燃第18-393号をもって申請 (平成31年2月5日付三原燃第18-1013号をもって一部補正))	今回の核燃料輸送物設計変更承認申請	備考
<p>MS=□—l=□</p> <p>したがって、操作時における引張応力に対して、トラン-ion取付けボルトは十分な強度を有している。</p> <p>b. ハンドリングベルト</p> <p>輸送物は、(i) 第C.3図に示す位置に取付けられた2個のハンドリングベルトで水平吊りされる。したがって、ハンドリングベルトを対象として、吊上げ時の加速度が作用した場合の強度を評価する。</p> <p>(a) 上部ベルト及び下部ベルト</p> <p>ハンドリングベルトの上部ベルト及び下部ベルトは、(i) 第C.9図に示すように、□をしているため、解析コード ABAQUS を用いて、上部ベルト及び下部ベルトの各部に発生する応力を求める。</p> <p>i. 解析モデル</p> <p>解析モデルとして、ハンドリングベルトの上部ベルト及び下部ベルトの面積3次元モデルを用いる。上部ベルト及び下部ベルトの構成部材である□によりモデル化している。</p> <p>上部ベルトと下部ベルトは□</p> <p>また、ハンドリングベルトを取り付ける輸送容器胴部をモデル化し、ハンドリングベルトが受け持つ質量を与える。</p> <p>解析モデルの全体図、寸法図及び要素分割図を(i) 第A.3図～(ii) 第A.5図に示す。</p> <p>ii. 荷重条件及び境界条件</p> <p>(i) 荷重条件</p> <p>□、モデル化する輸送容器胴部の質量m'を以下のように設定する。</p> $m' = m \times \frac{1}{4}$ <p>ここで、m : 輸送物の質量 [19,500 kg]</p> <p>したがって、</p> $m' = 4,875 \text{ kg}$ <p>(i) - A - 26</p>	<p>MS=□—l=□</p> <p>したがって、操作時における引張応力に対して、トラン-ion取付けボルトは十分な強度を有している。</p> <p>b. ハンドリングベルト</p> <p>輸送物は、(i) 第C.3図に示す位置に取付けられた2個のハンドリングベルトで水平吊りされる。したがって、ハンドリングベルトを対象として、吊上げ時の加速度が作用した場合の強度を評価する。</p> <p>(a) 上部ベルト及び下部ベルト</p> <p>ハンドリングベルトの上部ベルト及び下部ベルトは、(i) 第C.9図に示すように、□をしているため、解析コード ABAQUS を用いて、上部ベルト及び下部ベルトの各部に発生する応力を求める。</p> <p>i. 解析モデル</p> <p>解析モデルとして、ハンドリングベルトの上部ベルト及び下部ベルトの面積3次元モデルを用いる。上部ベルト及び下部ベルトの構成部材である□によりモデル化している。</p> <p>上部ベルトと下部ベルトは□</p> <p>また、ハンドリングベルトを□する輸送容器胴部をモデル化し、ハンドリングベルトが受け持つ質量を与える。</p> <p>解析モデルの全体図、寸法図及び要素分割図を(ii) 第A.3図～(iii) 第A.5図に示す。</p> <p>ii. 荷重条件及び境界条件</p> <p>(i) 荷重条件</p> <p>□、モデル化する輸送容器胴部の質量m'を以下のように設定する。</p> $m' = m \times \frac{1}{4}$ <p>ここで、m : 輸送物の□質量 [19,500 kg]</p> <p>したがって、</p> $m' = 4,875 \text{ kg}$ <p>(ii) - A - 26</p>	<p>・記載の適正化</p>

核燃料輸送物設計変更承認申請に係る変更前後表

前回申請書 (平成 30 年 8 月 17 日付三原燃第 18-393 号をもって申請 (平成 31 年 2 月 5 日付三原燃第 18-1013 号をもって一部補正))	今回の核燃料輸送物設計変更承認申請	備考
		—
(v) - 第 A.3 図 解析モデル全体図 (吊上装置 ハンドリングベルトの上部ベルト及び下部ベルト)  (単位 : mm)	(v) - 第 A.3 図 解析モデル全体図 (吊上装置 ハンドリングベルトの上部ベルト及び下部ベルト)  (単位 : mm)	(v) - A - 27
(v) - 第 A.4 図 解析モデル寸法図 (吊上装置 ハンドリングベルトの上部ベルト及び下部ベルト)  (単位 : mm)	(v) - 第 A.4 図 解析モデル寸法図 (吊上装置 ハンドリングベルトの上部ベルト及び下部ベルト)  (単位 : mm)	(v) - A - 27

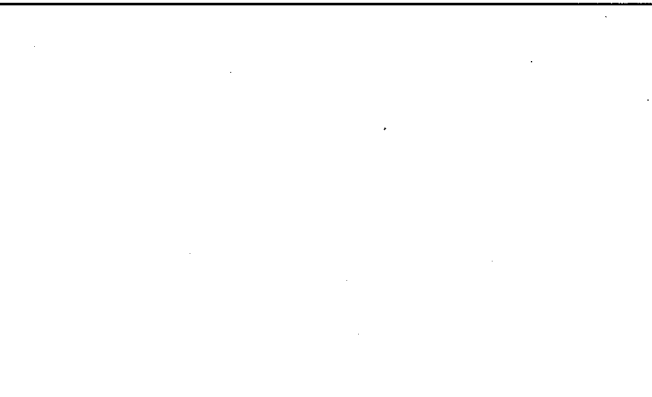
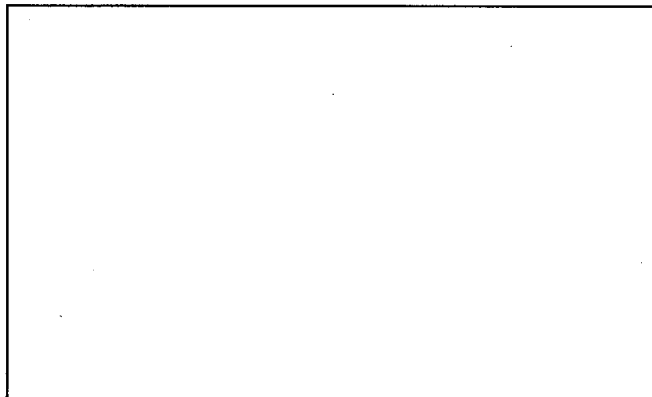
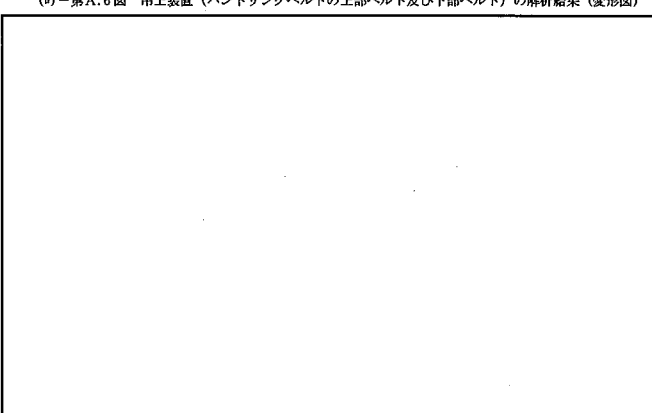
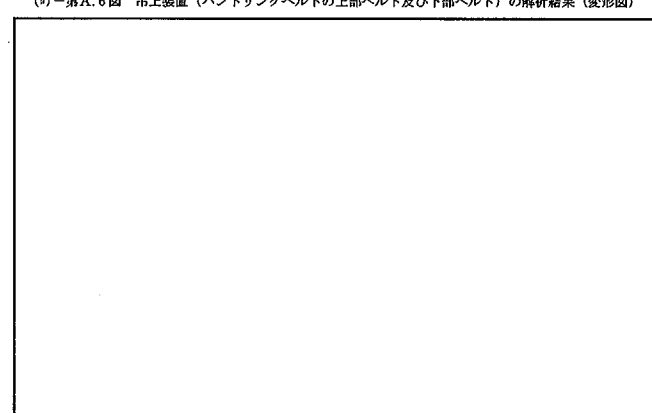
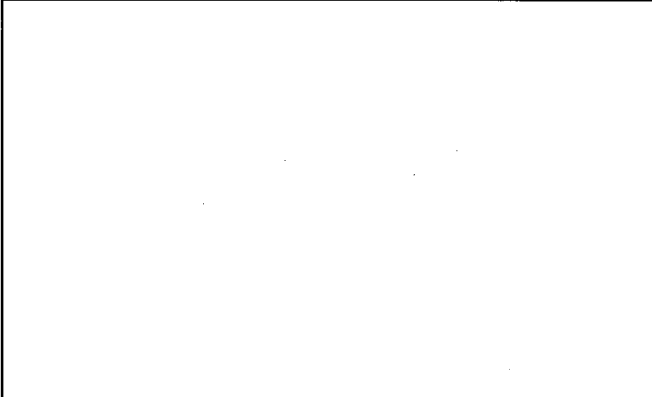
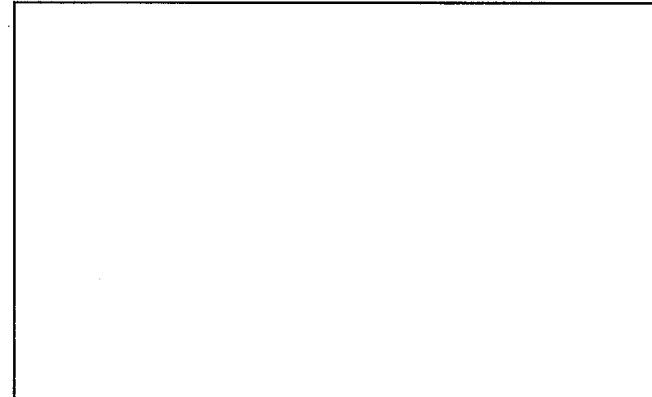
核燃料輸送物設計変更承認申請に係る変更前後表

前回申請書 (平成 30 年 8 月 17 日付三原燃第 18-393 号をもって申請 (平成 31 年 2 月 5 日付三原燃第 18-1013 号をもって一部補正))	今回の核燃料輸送物設計変更承認申請	備考
 (v) - 第 A.5 図 要素分割図（吊上装置 ハンドリングベルトの上部ベルト及び下部ベルト） (v) - A - 28	 (v) - 第 A.5 図 要素分割図（吊上装置 ハンドリングベルトの上部ベルト及び下部ベルト） (v) - A - 28	-

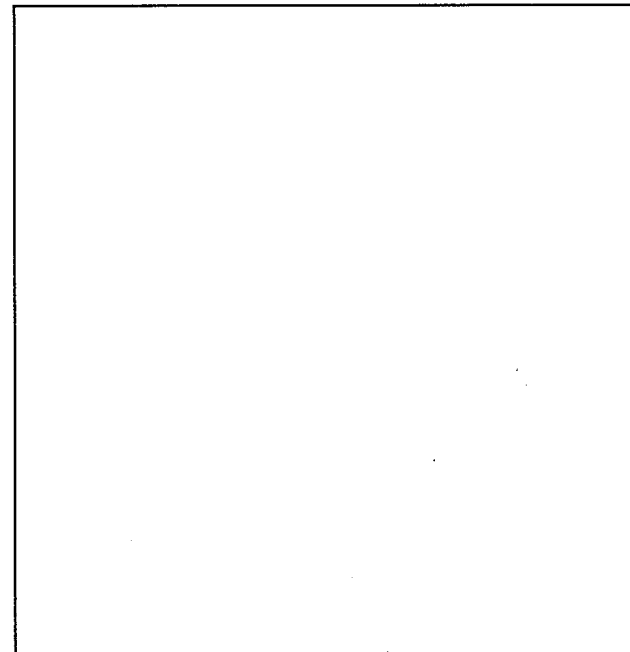
核燃料輸送物設計変更承認申請に係る変更前後表

前回申請書 (平成 30 年 8 月 17 日付三原燃第 18-393 号をもって申請 (平成 31 年 2 月 5 日付三原燃第 18-1013 号をもって一部補正))	今回の核燃料輸送物設計変更承認申請	備考
<p>吊上げ操作時には、ハンドリングベルトの下部ベルトに対して、輸送物の自重に操作時の負荷係数を乗じた荷重が作用する。</p> <p>したがって、解析モデル全体に重力加速度 (9.81 m/s^2) の 3 倍の加速度を作用させる。</p> <p>(ii) 境界条件</p> <p>ハンドリングベルトは [REDACTED] [REDACTED] [REDACTED] [REDACTED] [REDACTED]</p> <p>iii. 解析結果</p> <p>変形図及び応力分布図をそれぞれ (a) - 第 A. 6 図及び (b) - 第 A. 7 図に示す。 <u>(a)</u> - 第 A. 8 図に示す評価位置について、各部の応力の評価結果を (e) - 第 A. 6 表に示す。同表に示すように、上部ベルト及び下部ベルトに発生する応力はいずれも評価基準を下回っており、操作時における荷重に対してハンドリングベルトの上部ベルト及び下部ベルトは十分な強度を有している。</p>	<p>吊上げ操作時には、ハンドリングベルトの下部ベルトに対して、輸送物の自重に操作時の負荷係数 [REDACTED] を乗じた荷重が作用する。</p> <p>したがって、解析モデル全体に重力加速度 (9.81 m/s^2) の 3 倍の加速度を作用させる。</p> <p>(ii) 境界条件</p> <p>ハンドリングベルトは [REDACTED] [REDACTED] [REDACTED] [REDACTED] [REDACTED]</p> <p>iii. 解析結果</p> <p>変形図及び応力分布図をそれぞれ (a) - 第 A. 6 図及び (b) - 第 A. 7 図に示す。 <u>(a)</u> - 第 A. 8 図に示す評価位置について、各部の応力の評価結果を (e) - 第 A. 6 表に示す。同表に示すように、上部ベルト及び下部ベルトに発生する応力はいずれも評価基準を下回っており、操作時における荷重に対してハンドリングベルトの上部ベルト及び下部ベルトは十分な強度を有している。</p>	<ul style="list-style-type: none"> 記載の適正化

核燃料輸送物設計変更承認申請に係る変更前後表

前回申請書 (平成 30 年 8 月 17 日付三原燃第 18-393 号をもって申請 (平成 31 年 2 月 5 日付三原燃第 18-1013 号をもって一部補正))	今回の核燃料輸送物設計変更承認申請	備考
		—
(v) - 第 A.6 図 吊上装置（ハンドリングベルトの上部ベルト及び下部ベルト）の解析結果（変形図） 	(v) - 第 A.6 図 吊上装置（ハンドリングベルトの上部ベルト及び下部ベルト）の解析結果（変形図） 	
(v) - 第 A.7 図 吊上装置（ハンドリングベルトの上部ベルト及び下部ベルト）の解析結果 (応力分布図<トレскаの応力強さ>) 	(v) - 第 A.7 図 吊上装置（ハンドリングベルトの上部ベルト及び下部ベルト）の解析結果 (応力分布図<トレскаの応力強さ>) 	
(v) - A -30	(v) - A -30	

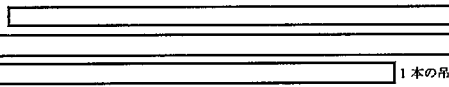
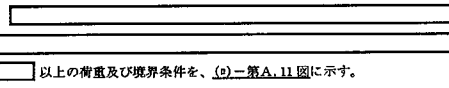
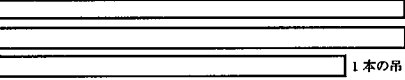
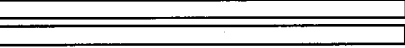
核燃料輸送物設計変更承認申請に係る変更前後表

前回申請書 (平成 30 年 8 月 17 日付三原燃第 18-393 号をもって申請 (平成 31 年 2 月 5 日付三原燃第 18-1013 号をもって一部補正))	今回の核燃料輸送物設計変更承認申請	備考
 (v) - 第 A.8 図 吊上装置 (ハンドリングベルトの上部ベルト及び下部ベルト) の応力評価位置 (v) - A - 31	 (v) - 第 A.8 図 吊上装置 (ハンドリングベルトの上部ベルト及び下部ベルト) の応力評価位置 (v) - A - 31	-

核燃料輸送物設計変更承認申請に係る変更前後表

前回申請書 (平成 30 年 8 月 17 日付三原燃第 18-393 号をもって申請 (平成 31 年 2 月 5 日付三原燃第 18-1013 号をもって一部補正))	今回の核燃料輸送物設計変更承認申請	備考																																																																																																																				
<p>(a) 第 A.6 表 吊上装置 (ハンドリングベルトの上部ベルト及び下部ベルト) の 吊上げ操作における応力評価結果</p> <table border="1"> <thead> <tr> <th>評価位置</th><th>応力の種類</th><th>応力強さ (MPa)</th><th>評価基準¹⁾ (MPa)</th><th>余裕率(MS)</th></tr> </thead> <tbody> <tr><td rowspan="10"></td><td>膜応力</td><td></td><td></td><td></td></tr> <tr><td>膜応力+曲げ応力</td><td></td><td></td><td></td></tr> <tr><td>膜応力+曲げ応力</td><td></td><td></td><td></td></tr> <tr><td>膜応力+曲げ応力</td><td></td><td></td><td></td></tr> <tr><td>膜応力+曲げ応力</td><td></td><td></td><td></td></tr> <tr><td>膜応力</td><td></td><td></td><td></td></tr> <tr><td>膜応力+曲げ応力</td><td></td><td></td><td></td></tr> <tr><td>膜応力+曲げ応力</td><td></td><td></td><td></td></tr> <tr><td>膜応力+曲げ応力</td><td></td><td></td><td></td></tr> <tr><td>膜応力</td><td></td><td></td><td></td></tr> <tr><td>膜応力</td><td></td><td></td><td></td></tr> <tr><td>膜応力</td><td></td><td></td><td></td></tr> <tr><td>膜応力+曲げ応力</td><td></td><td></td><td></td></tr> </tbody> </table> <p>注 1) 評価基準は、膜応力及び膜応力+曲げ応力に対して S_y</p>	評価位置	応力の種類	応力強さ (MPa)	評価基準 ¹⁾ (MPa)	余裕率(MS)		膜応力				膜応力+曲げ応力				膜応力				膜応力+曲げ応力				膜応力+曲げ応力				膜応力+曲げ応力				膜応力				膜応力				膜応力				膜応力+曲げ応力				<p>(a) 第 A.6 表 吊上装置 (ハンドリングベルトの上部ベルト及び下部ベルト) の 吊上げ操作における応力評価結果</p> <table border="1"> <thead> <tr> <th>評価位置</th><th>応力の種類</th><th>応力強さ (MPa)</th><th>評価基準¹⁾ (MPa)</th><th>余裕率(MS)</th></tr> </thead> <tbody> <tr><td rowspan="10"></td><td>膜応力</td><td></td><td></td><td></td></tr> <tr><td>膜応力+曲げ応力</td><td></td><td></td><td></td></tr> <tr><td>膜応力+曲げ応力</td><td></td><td></td><td></td></tr> <tr><td>膜応力+曲げ応力</td><td></td><td></td><td></td></tr> <tr><td>膜応力+曲げ応力</td><td></td><td></td><td></td></tr> <tr><td>膜応力</td><td></td><td></td><td></td></tr> <tr><td>膜応力+曲げ応力</td><td></td><td></td><td></td></tr> <tr><td>膜応力+曲げ応力</td><td></td><td></td><td></td></tr> <tr><td>膜応力+曲げ応力</td><td></td><td></td><td></td></tr> <tr><td>膜応力</td><td></td><td></td><td></td></tr> <tr><td>膜応力</td><td></td><td></td><td></td></tr> <tr><td>膜応力</td><td></td><td></td><td></td></tr> <tr><td>膜応力+曲げ応力</td><td></td><td></td><td></td></tr> </tbody> </table> <p>注 1) 評価基準は、膜応力及び膜応力+曲げ応力に対して S_y</p>	評価位置	応力の種類	応力強さ (MPa)	評価基準 ¹⁾ (MPa)	余裕率(MS)		膜応力				膜応力+曲げ応力				膜応力				膜応力+曲げ応力				膜応力+曲げ応力				膜応力+曲げ応力				膜応力				膜応力				膜応力				膜応力+曲げ応力																												
評価位置	応力の種類	応力強さ (MPa)	評価基準 ¹⁾ (MPa)	余裕率(MS)																																																																																																																		
	膜応力																																																																																																																					
	膜応力+曲げ応力																																																																																																																					
	膜応力+曲げ応力																																																																																																																					
	膜応力+曲げ応力																																																																																																																					
	膜応力+曲げ応力																																																																																																																					
	膜応力																																																																																																																					
	膜応力+曲げ応力																																																																																																																					
	膜応力+曲げ応力																																																																																																																					
	膜応力+曲げ応力																																																																																																																					
	膜応力																																																																																																																					
膜応力																																																																																																																						
膜応力																																																																																																																						
膜応力+曲げ応力																																																																																																																						
評価位置	応力の種類	応力強さ (MPa)	評価基準 ¹⁾ (MPa)	余裕率(MS)																																																																																																																		
	膜応力																																																																																																																					
	膜応力+曲げ応力																																																																																																																					
	膜応力+曲げ応力																																																																																																																					
	膜応力+曲げ応力																																																																																																																					
	膜応力+曲げ応力																																																																																																																					
	膜応力																																																																																																																					
	膜応力+曲げ応力																																																																																																																					
	膜応力+曲げ応力																																																																																																																					
	膜応力+曲げ応力																																																																																																																					
	膜応力																																																																																																																					
膜応力																																																																																																																						
膜応力																																																																																																																						
膜応力+曲げ応力																																																																																																																						

核燃料輸送物設計変更承認申請に係る変更前後表

前回申請書 (平成 30 年 8 月 17 日付三原燃第 18-393 号をもって申請 (平成 31 年 2 月 5 日付三原燃第 18-1013 号をもって一部補正))	今回の核燃料輸送物設計変更承認申請	備考
<p>(b) 吊りハンドル</p> <p>ハンドリングベルトの吊りハンドルは、(i) 第 C.9 図に示すように、複雑な形状をしているため、解析コード ABAQUS を用いて各部に発生する応力を求める。</p> <p>i. 解析モデル</p> <p>解析モデルとして、吊りハンドル 1 体を対象とし、ソリッド要素によりモデル化した 3 次元モデルを用いる。</p> <p>解析モデルの寸法及び要素分割図を (a) 第 A.9 図及び (a) 第 A.10 図に示す。</p> <p>ii. 荷重条件及び境界条件</p> <p>(i) 荷重条件</p>  <p>1 本の吊りハンドルに作用する最大荷重 F_H は、下式により求める。</p> $F_H = \frac{\alpha}{N} \times g \times m$ <p>ここで、α : 負荷係数 [3] N : 吊りハンドルの個数 [4] g : 重力加速度 [9.81 m/s²] m : 輸送物の質量 [19,500 kg]</p> <p>したがって、 $F_H = 1.44 \times 10^5 N$</p> <p>この荷重を [] として負荷する。</p> <p>(ii) 境界条件</p>  <p>[] 以上の荷重及び境界条件を、(a) 第 A.11 図に示す。</p> <p>iii. 解析結果</p> <p>変形図及び応力分布図をそれぞれ (a) 第 A.12 図及び (a) 第 A.13 図に示す。</p>	<p>(b) 吊りハンドル</p> <p>ハンドリングベルトの吊りハンドルは、(i) 第 C.9 図に示すように、複雑な形状をしているため、解析コード ABAQUS を用いて各部に発生する応力を求める。</p> <p>i. 解析モデル</p> <p>解析モデルとして、吊りハンドル 1 体を対象とし、ソリッド要素によりモデル化した 3 次元モデルを用いる。</p> <p>解析モデルの寸法及び要素分割図を (a) 第 A.9 図及び (a) 第 A.10 図に示す。</p> <p>ii. 荷重条件及び境界条件</p> <p>(i) 荷重条件</p>  <p>1 本の吊りハンドルに作用する最大荷重 F_H は、下式により求める。</p> $F_H = \frac{\alpha}{N} \times g \times m$ <p>ここで、α : 負荷係数 [3] N : 吊りハンドルの個数 [4] g : 重力加速度 [9.81 m/s²] m : 輸送物の質量 [19,500 kg]</p> <p>したがって、 $F_H = 1.44 \times 10^5 N$</p> <p>この荷重を [] として負荷する。</p> <p>(ii) 境界条件</p>  <p>[] 以上の荷重及び境界条件を、(a) 第 A.11 図に示す。</p> <p>iii. 解析結果</p> <p>変形図及び応力分布図をそれぞれ (a) 第 A.12 図及び (a) 第 A.13 図に示す。</p>	<ul style="list-style-type: none"> 記載の適正化

核燃料輸送物設計変更承認申請に係る変更前後表

前回申請書 (平成 30 年 8 月 17 日付三原燃第 18-393 号をもって申請 (平成 31 年 2 月 5 日付三原燃第 18-1013 号をもって一部補正))	今回の核燃料輸送物設計変更承認申請	備考
 (単位 : mm) (e) - 第 A.9 図 解析モデル寸法図 (吊上装置 ハンドリングベルトの吊りハンドル)	 (単位 : mm) (e) - 第 A.9 図 解析モデル寸法図 (吊上装置 ハンドリングベルトの吊りハンドル)	

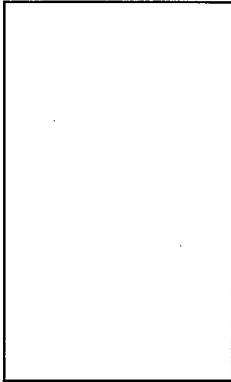
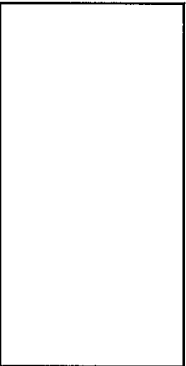
(e) - A - 34

(e) - A - 34

核燃料輸送物設計変更承認申請に係る変更前後表

前回申請書 (平成 30 年 8 月 17 日付三原燃第 18-393 号をもって申請 (平成 31 年 2 月 5 日付三原燃第 18-1013 号をもって一部補正))	今回の核燃料輸送物設計変更承認申請	備考
 (v) - 第 A.11 図 吊上装置（ハンドリングベルトの吊りハンドル）の解析における荷重条件及び境界条件 (v) - 第 A.12 図 吊上装置（ハンドリングベルトの吊りハンドル）の解析結果（変形図） (v) - 第 A.13 図 吊上装置（ハンドリングベルトの吊りハンドル）の解析結果 (応力分布図(トレスカの応力強さ)) (v) - A -35	 (v) - 第 A.11 図 吊上装置（ハンドリングベルトの吊りハンドル）の解析における荷重条件及び境界条件 (v) - 第 A.12 図 吊上装置（ハンドリングベルトの吊りハンドル）の解析結果（変形図） (v) - 第 A.13 図 吊上装置（ハンドリングベルトの吊りハンドル）の解析結果 (応力分布図(トレスカの応力強さ)) (v) - A -35	

核燃料輸送物設計変更承認申請に係る変更前後表

前回申請書 (平成30年8月17日付三原燃第18-393号をもって申請 (平成31年2月5日付三原燃第18-1013号をもって一部補正))	今回の核燃料輸送物設計変更承認申請	備考																																																		
<p>(a) 第A.14 図に示す評価位置について、各部の応力の評価結果を(a) 第A.7 表に示す。同表に示すように、吊りハンドルに発生する応力はいずれも評価基準を満足しており、操作時における荷重に対してハンドリングベルトの吊りハンドルは十分な強度を有している。</p>  <p>(a) 第A.14 図 吊上装置 (ハンドリングベルトの吊りハンドル) の応力評価位置</p> <p>(b) 第A.7 表 吊上装置 (ハンドリングベルトの吊りハンドル) の 吊上げ操作における応力評価結果</p> <table border="1"> <thead> <tr> <th>評価位置</th> <th>応力の種類</th> <th>応力強さ (MPa)</th> <th>評価基準^b (MPa)</th> <th>余裕率(MS)</th> </tr> </thead> <tbody> <tr> <td>①</td> <td>膜応力+曲げ応力</td> <td colspan="3" style="background-color: #f0f0f0;"></td> </tr> <tr> <td>②</td> <td>膜応力+曲げ応力</td> <td colspan="3" style="background-color: #f0f0f0;"></td> </tr> <tr> <td>③</td> <td>膜応力</td> <td colspan="3" style="background-color: #f0f0f0;"></td> </tr> <tr> <td>④</td> <td>膜応力+曲げ応力</td> <td colspan="3" style="background-color: #f0f0f0;"></td> </tr> </tbody> </table> <p>注1) 評価基準は、膜応力及び膜応力+曲げ応力に対して S_y</p> <p>(a) - A - 36</p>	評価位置	応力の種類	応力強さ (MPa)	評価基準 ^b (MPa)	余裕率(MS)	①	膜応力+曲げ応力				②	膜応力+曲げ応力				③	膜応力				④	膜応力+曲げ応力				<p>(a) 第A.14 図に示す評価位置について、各部の応力の評価結果を(a) 第A.7 表に示す。同表に示すように、吊りハンドルに発生する応力はいずれも評価基準を満足しており、操作時における荷重に対してハンドリングベルトの吊りハンドルは十分な強度を有している。</p>  <p>(a) 第A.14 図 吊上装置 (ハンドリングベルトの吊りハンドル) の応力評価位置</p> <p>(b) 第A.7 表 吊上装置 (ハンドリングベルトの吊りハンドル) の 吊上げ操作における応力評価結果</p> <table border="1"> <thead> <tr> <th>評価位置</th> <th>応力の種類</th> <th>応力強さ (MPa)</th> <th>評価基準^b (MPa)</th> <th>余裕率(MS)</th> </tr> </thead> <tbody> <tr> <td>①</td> <td>膜応力+曲げ応力</td> <td colspan="3" style="background-color: #f0f0f0;"></td> </tr> <tr> <td>②</td> <td>膜応力+曲げ応力</td> <td colspan="3" style="background-color: #f0f0f0;"></td> </tr> <tr> <td>③</td> <td>膜応力</td> <td colspan="3" style="background-color: #f0f0f0;"></td> </tr> <tr> <td>④</td> <td>膜応力+曲げ応力</td> <td colspan="3" style="background-color: #f0f0f0;"></td> </tr> </tbody> </table> <p>注1) 評価基準は、膜応力及び膜応力+曲げ応力に対して S_y</p> <p>(a) - A - 36</p>	評価位置	応力の種類	応力強さ (MPa)	評価基準 ^b (MPa)	余裕率(MS)	①	膜応力+曲げ応力				②	膜応力+曲げ応力				③	膜応力				④	膜応力+曲げ応力				
評価位置	応力の種類	応力強さ (MPa)	評価基準 ^b (MPa)	余裕率(MS)																																																
①	膜応力+曲げ応力																																																			
②	膜応力+曲げ応力																																																			
③	膜応力																																																			
④	膜応力+曲げ応力																																																			
評価位置	応力の種類	応力強さ (MPa)	評価基準 ^b (MPa)	余裕率(MS)																																																
①	膜応力+曲げ応力																																																			
②	膜応力+曲げ応力																																																			
③	膜応力																																																			
④	膜応力+曲げ応力																																																			

核燃料輸送物設計変更承認申請に係る変更前後表

前回申請書 (平成 30 年 8 月 17 日付三原燃第 18-393 号をもって申請 (平成 31 年 2 月 5 日付三原燃第 18-1013 号をもって一部補正))	今回の核燃料輸送物設計変更承認申請	備考
<p>(c) 吊りハンドル取付けピン及び連結ボルト</p> <p>i. 最大荷重</p> <p>ハンドリングベルトの吊りハンドル取付けピン及び連結ボルトに作用する最大荷重 F_B は、次の式により求められる。ここで、前部と後部のハンドリングベルトは [] また、吊りハンドル取付けピンと連結ボルトは、1 個のハンドリングベルトに対してそれぞれ 1 対 (2 個) が取付けられることを考慮する。</p> $F_B = \frac{\alpha}{N \times n} \times g \times m$ <p>ここで、 α : 負荷係数 [3] N : ハンドリングベルトの個数 [2] n : 吊りハンドル取付けピン及び連結ボルトの個数 [2] g : 重力加速度 [9.81 m/s²] m : 輸送物の質量 [19,500 kg]</p> <p>したがって、 $F_B = 1.44 \times 10^5 N$</p> <p>ii. 吊りハンドル取付けピンの応力計算</p> <p>吊りハンドル取付けピンには、輸送物の吊上げに伴う荷重が、せん断荷重として作用する。せん断荷重によるせん断応力 τ は次式で与えられる。</p> $\tau = \frac{F_B}{2 \times A_1}$ <p>ここで、 A_1 : 吊りハンドル取付けピンの断面積 $A_1 = \pi d_1^2 / 4$ ここで、 d_1 : 吊りハンドル取付けピンの径 [mm]</p> <p>したがって、 $\tau = [] MPa$ となり、応力強さ S は以下のようになる。 $S = 2\tau = [] MPa$ これに対する評価基準値(Sy)は [] MPa ([] °C) である。 この時の余裕率 MS は次の値となる。 $MS = \frac{S}{[]} - 1 = []$</p>	<p>(c) 吊りハンドル取付けピン及び連結ボルト</p> <p>i. 最大荷重</p> <p>ハンドリングベルトの吊りハンドル取付けピン及び連結ボルトに作用する最大荷重 F_B は、次の式により求められる。ここで、前部と後部のハンドリングベルトは [] また、吊りハンドル取付けピンと連結ボルトは、1 個のハンドリングベルトに対してそれぞれ 1 対 (2 個) が取付けられることを考慮する。</p> $F_B = \frac{\alpha}{N \times n} \times g \times m$ <p>ここで、 α : 負荷係数 [3] N : ハンドリングベルトの個数 [2] n : 吊りハンドル取付けピン及び連結ボルトの個数 [2] g : 重力加速度 [9.81 m/s²] m : 輸送物の質量 [19,500 kg]</p> <p>したがって、 $F_B = 1.44 \times 10^5 N$</p> <p>ii. 吊りハンドル取付けピンの応力計算</p> <p>吊りハンドル取付けピンには、輸送物の吊上げに伴う荷重が、せん断荷重として作用する。せん断荷重によるせん断応力 τ は次式で与えられる。</p> $\tau = \frac{F_B}{2 \times A_1}$ <p>ここで、 A_1 : 吊りハンドル取付けピンの断面積 $A_1 = \pi d_1^2 / 4$ ここで、 d_1 : 吊りハンドル取付けピンの径 [mm]</p> <p>したがって、 $\tau = [] MPa$ となり、応力強さ S は以下のようになる。 $S = 2\tau = [] MPa$ これに対する評価基準値(Sy)は [] MPa ([] °C) である。 この時の余裕率 MS は次の値となる。</p> $MS = \frac{S}{[]} - 1 = []$	<p>・記載の適正化</p>

核燃料輸送物設計変更承認申請に係る変更前後表

前回申請書 (平成30年8月17日付三原燃第18-393号をもって申請 (平成31年2月5日付三原燃第18-1013号をもって一部補正))	今回の核燃料輸送物設計変更承認申請	備考
<p>したがって、操作時におけるせん断応力に対して、ハンドリングベルトの吊りハンドル取付けピンは十分な強度を有している。</p> <p>Ⅲ. 連結ボルトの応力計算</p> <p>連結ボルトには、輸送物の吊上げに伴う軸方向荷重と初期締付けトルクによる軸力が作用する。</p> <p>(i) 軸方向荷重による引張応力</p> <p>軸方向荷重による引張応力 σ_1 は次式で与えられる。</p> $\sigma_1 = \frac{F_B}{A_z}$ <p>ここで、 A_z : 連結ボルトの最小断面積 (mm²) $A_z = \pi d_z^2/4$</p> <p>ここで、 d_z : 連結ボルト [] の最小径 [mm]</p> <p>したがって、 $\sigma_1 = [] \text{ MPa}$</p> <p>(ii) 初期締付けトルクによる引張応力</p> <p>初期締付けトルクによる引張応力 σ_2 は次式で与えられる。</p> $\sigma_2 = T \times \frac{1}{0.2 d_s} \times \frac{1}{(\pi d_s^2/4)}$ <p>ここで、 T : 初期締付けトルク [N·mm] d_s : ボルトの呼び径 [mm]</p> <p>したがって、 $\sigma_2 = [] \text{ MPa}$</p> <p>以上より、ハンドリングベルトによる吊上げ時に連結ボルトに発生する引張応力 σ は、 $\sigma = \sigma_1 + \sigma_2 = [] \text{ MPa}$</p> <p>となり、これに対する評価基準値 (S_y) は [] MPa ([] C) である。</p> <p>この時の余裕率 MS は次の値となる。</p> $MS = [] - 1 = []$ <p>したがって、操作時における引張応力に対して、ハンドリングベルトの連結ボルトは十分な強度を有している。</p>	<p>したがって、操作時におけるせん断応力に対して、ハンドリングベルトの吊りハンドル取付けピンは十分な強度を有している。</p> <p>Ⅲ. 連結ボルトの応力計算</p> <p>連結ボルトには、輸送物の吊上げに伴う軸方向荷重と初期締付けトルクによる軸力が作用する。</p> <p>(i) 軸方向荷重による引張応力</p> <p>軸方向荷重による引張応力 σ_1 は次式で与えられる。</p> $\sigma_1 = \frac{F_B}{A_z}$ <p>ここで、 A_z : 連結ボルトの最小断面積 (mm²) $A_z = \pi d_z^2/4$</p> <p>ここで、 d_z : 連結ボルト [] の最小径 [mm]</p> <p>したがって、 $\sigma_1 = [] \text{ MPa}$</p> <p>(ii) 初期締付けトルクによる引張応力</p> <p>初期締付けトルクによる引張応力 σ_2 は次式で与えられる。</p> $\sigma_2 = T \times \frac{1}{0.2 d_s} \times \frac{1}{(\pi d_s^2/4)}$ <p>ここで、 T : 初期締付けトルク [N·mm] d_s : ボルトの呼び径 [mm]</p> <p>したがって、 $\sigma_2 = [] \text{ MPa}$</p> <p>以上より、ハンドリングベルトによる吊上げ時に連結ボルトに発生する引張応力 σ は、 $\sigma = \sigma_1 + \sigma_2 = [] \text{ MPa}$</p> <p>となり、これに対する評価基準値 (S_y) は [] MPa (70°C) である。</p> <p>この時の余裕率 MS は次の値となる。</p> $MS = [] - 1 = []$ <p>したがって、操作時における引張応力に対して、ハンドリングベルトの連結ボルトは十分な強度を有している。</p>	

核燃料輸送物設計変更承認申請に係る変更前後表

前回申請書 (平成30年8月17日付三原燃第18-393号をもって申請 (平成31年2月5日付三原燃第18-1013号をもって一部補正))	今回の核燃料輸送物設計変更承認申請	備考																																																										
<p>(2) 疲労評価</p> <p>疲労評価については、実際に作用する荷重をベースとし、クレーン構造規格^[4]に規定された衝撃係数（安全側に最大値を参照）を負荷係数として設定する。</p> <p>したがって、繰り返しピーク応力強さを算定する応力強さは、応力評価における負荷係数と疲労評価における負荷係数の比率で以下のように補正する。</p> <p>補正した応力強さを<u>(v)</u>-第A.8表に示す。</p> $S_F = S \times (A / B)$ <p>ここで、S_F : 疲労評価に用いる各部の応力強さ (MPa) S : 応力評価における各部の応力強さ (MPa) A : 疲労評価における負荷係数 [1.6] B : 応力評価における負荷係数 [3]</p> <p>(v)-第A.8表 疲労評価に用いる応力強さ</p> <table border="1"> <thead> <tr> <th rowspan="2">部品</th> <th rowspan="2">部位</th> <th colspan="2">応力強さ (MPa)</th> </tr> <tr> <th>応力評価</th> <th>疲労評価</th> </tr> </thead> <tbody> <tr> <td rowspan="2">トランニオン</td> <td>トランニオン円筒部</td> <td colspan="2" style="background-color: #f0f0f0;"></td> </tr> <tr> <td>トランニオン取付けボルト</td> <td colspan="2" style="background-color: #f0f0f0;"></td> </tr> <tr> <td rowspan="5">ハンドリングベルト</td> <td>上部ベルト及び下部ベルト</td> <td colspan="2" style="background-color: #f0f0f0;"></td> </tr> <tr> <td>吊りハンドル</td> <td colspan="2" style="background-color: #f0f0f0;"></td> </tr> <tr> <td>吊りハンドル取付けピン</td> <td colspan="2" style="background-color: #f0f0f0;"></td> </tr> <tr> <td>連絡ボルト</td> <td colspan="2" style="background-color: #f0f0f0;"></td> </tr> <tr> <td></td> <td colspan="2" style="background-color: #f0f0f0;"></td> </tr> </tbody> </table> <p>(v)-A-39</p>	部品	部位	応力強さ (MPa)		応力評価	疲労評価	トランニオン	トランニオン円筒部			トランニオン取付けボルト			ハンドリングベルト	上部ベルト及び下部ベルト			吊りハンドル			吊りハンドル取付けピン			連絡ボルト						<p>(2) 疲労評価</p> <p>疲労評価については、実際に作用する荷重をベースとし、クレーン構造規格^[4]に規定された衝撃係数（安全側に最大値を参照）を負荷係数^[v]として設定する。</p> <p>したがって、^[v]ピーク応力強さを算定する応力強さは、応力評価における負荷係数と疲労評価における負荷係数の比率で以下のように補正する。</p> <p>補正した応力強さを<u>(v)</u>-第A.8表に示す。</p> $S_F = S \times (A / B)$ <p>ここで、S_F : 疲労評価に用いる各部の応力強さ (MPa) S : 応力評価における各部の応力強さ (MPa) A : 疲労評価における負荷係数 [1.6] B : 応力評価における負荷係数 [3]</p> <p>(v)-第A.8表 疲労評価に用いる応力強さ</p> <table border="1"> <thead> <tr> <th rowspan="2">部品</th> <th rowspan="2">部位</th> <th colspan="2">応力強さ (MPa)</th> </tr> <tr> <th>S</th> <th>S_F</th> </tr> </thead> <tbody> <tr> <td rowspan="2">トランニオン</td> <td>トランニオン円筒部</td> <td colspan="2" style="background-color: #f0f0f0;"></td> </tr> <tr> <td>トランニオン取付けボルト</td> <td colspan="2" style="background-color: #f0f0f0;"></td> </tr> <tr> <td rowspan="5">ハンドリングベルト</td> <td>上部ベルト及び下部ベルト</td> <td colspan="2" style="background-color: #f0f0f0;"></td> </tr> <tr> <td>吊りハンドル</td> <td colspan="2" style="background-color: #f0f0f0;"></td> </tr> <tr> <td>吊りハンドル取付けピン</td> <td colspan="2" style="background-color: #f0f0f0;"></td> </tr> <tr> <td>連絡ボルト</td> <td colspan="2" style="background-color: #f0f0f0;"></td> </tr> <tr> <td></td> <td colspan="2" style="background-color: #f0f0f0;"></td> </tr> </tbody> </table> <p>(v)-A-39</p>	部品	部位	応力強さ (MPa)		S	S_F	トランニオン	トランニオン円筒部			トランニオン取付けボルト			ハンドリングベルト	上部ベルト及び下部ベルト			吊りハンドル			吊りハンドル取付けピン			連絡ボルト						<ul style="list-style-type: none"> 記載の適正化
部品			部位	応力強さ (MPa)																																																								
	応力評価	疲労評価																																																										
トランニオン	トランニオン円筒部																																																											
	トランニオン取付けボルト																																																											
ハンドリングベルト	上部ベルト及び下部ベルト																																																											
	吊りハンドル																																																											
	吊りハンドル取付けピン																																																											
	連絡ボルト																																																											
部品	部位	応力強さ (MPa)																																																										
		S	S_F																																																									
トランニオン	トランニオン円筒部																																																											
	トランニオン取付けボルト																																																											
ハンドリングベルト	上部ベルト及び下部ベルト																																																											
	吊りハンドル																																																											
	吊りハンドル取付けピン																																																											
	連絡ボルト																																																											

核燃料輸送物設計変更承認申請に係る変更前後表

前回申請書 (平成 30 年 8 月 17 日付三原燃第 18-393 号をもって申請 (平成 31 年 2 月 5 日付三原燃第 18-1013 号をもって一部補正))	今回の核燃料輸送物設計変更承認申請	備考
<p>a. トラニオン</p> <p>トラニオンに生じる応力について、応力集中を考慮した繰返し応力強さによる許容繰返し回数と想定される繰返し回数を比較して評価を行う。</p> <p>(a) トラニオン円筒部</p> <p>i. 繰返しピーク応力強さ</p> $S_a = S \times K_t \times (1.95 \times 10^5 / E_t) / 2$ <p>ここで、 S_a : 繰返しピーク応力強さ (MPa)</p> <p>S : トラニオン円筒部の応力強さ [MPa]</p> <p>K_t : 応力集中係数 [5 (構造上の不連続部に対する最大値)] ^[6]</p> <p>E_t : 材料の使用温度における継弾性係数 [MPa (70°C)]</p> <p>したがって、</p> $S_a = [MPa]$ <p>ii. 許容繰返し回数</p> <p>A. 10.1 付属書類-1 (e)-第 A 付. 1.1 図に示す [] ステンレス鋼の設計疲れ線図より、 S_a [MPa] に対する許容繰返し回数 N_a は、</p> $N_a = [回]$ <p>となり、輸送時の吊上回数を 20 回とすると、想定される繰返し回数に比べて許容繰返し回数は十分に大きく、トラニオンは十分な疲労強度を有している。</p> <p>(b) トラニオン取付けボルト</p> <p>i. 繰返しピーク応力強さ</p> $S_a = S \times K_t \times (2.07 \times 10^5 / E_t) / 2$ <p>ここで、 S_a : 繰返しピーク応力強さ (MPa)</p> <p>S : トラニオン取付けボルトの応力強さ (応力の変動幅) [MPa]</p> <p>K_t : 応力集中係数 [4 (ボルトのネジ部に対する最大値)] ^[8]</p> <p>E_t : 材料の使用温度における継弾性係数 [MPa (70°C)]</p> <p>したがって、</p> $S_a = [MPa]$ <p>ii. 許容繰返し回数</p> <p>A. 10.1 付属書類-1 (e)-第 A 付. 1.2 図に示す高張力ボルトの設計疲れ線図より、 S_a [MPa] に対する許容繰返し回数 N_a は、</p> $N_a = [回以上]$ <p>となり、輸送時の吊上回数を 20 回とすると、想定される繰返し回数に比べて</p> <p>(e) - A - 40</p>	<p>a. トラニオン</p> <p>トラニオンに生じる応力について、応力集中を考慮した繰返し応力強さによる許容繰返し回数と想定される繰返し回数を比較して評価を行う。</p> <p>(a) トラニオン円筒部</p> <p>i. 繰返しピーク応力強さ</p> $S_a = S \times K_t \times (1.95 \times 10^5 / E_t) / 2$ <p>ここで、 S_a : 繰返しピーク応力強さ (MPa)</p> <p>S : トラニオン円筒部の応力強さ [MPa]</p> <p>K_t : 応力集中係数 [5 (構造上の不連続部に対する最大値)] ^[6]</p> <p>E_t : 材料の使用温度における継弾性係数 [MPa (70°C)]</p> <p>したがって、</p> $S_a = [MPa]$ <p>ii. 許容繰返し回数</p> <p>A. 10.1 付属書類-1 (e)-第 A 付. 1.1 図に示すオーステナイトステンレス鋼の設計疲れ線図より、 S_a [MPa] に対する許容繰返し回数 N_a は、</p> $N_a = [回]$ <p>となる。実作業での輸送 1 回当たりのトラニオンによる吊上回数は 10 回程度であるが保守的に 20 回とすると、想定される繰返し回数は、輸送容器の使用予定期数(200 回)より、4×10^2 回となる。したがって、許容繰返し回数 N_a は、想定される繰返し回数より大きく、トラニオンは十分な疲労強度を有している。</p> <p>(b) トラニオン取付けボルト</p> <p>i. 繰返しピーク応力強さ</p> $S_a = S \times K_t \times (2.07 \times 10^5 / E_t) / 2$ <p>ここで、 S_a : 繰返しピーク応力強さ (MPa)</p> <p>S : トラニオン取付けボルトの応力強さ (応力の変動幅) [MPa]</p> <p>K_t : 応力集中係数 [4 (ボルトのネジ部に対する最大値)] ^[8]</p> <p>E_t : 材料の使用温度における継弾性係数 [MPa (70°C)]</p> <p>したがって、</p> $S_a = [MPa]$ <p>ii. 許容繰返し回数</p> <p>A. 10.1 付属書類-1 (e)-第 A 付. 1.2 図に示す高張力ボルトの設計疲れ線図より、 S_a [MPa] に対する許容繰返し回数 N_a は、</p> $N_a = [回以上]$ <p>となる。前述のとおり輸送 1 回当たりのトラニオンによる吊上回数を保守的に 20</p> <p>(e) - A - 40</p>	<ul style="list-style-type: none"> ・記載の適正化 ・輸送容器の使用予定期数に基づき、想定される繰返し回数の記載の見直し

核燃料輸送物設計変更承認申請に係る変更前後表

前回申請書 (平成30年8月17日付三原燃第18-393号をもって申請 (平成31年2月5日付三原燃第18-1013号をもって一部補正))	今回の核燃料輸送物設計変更承認申請	備考
<p>許容繰返し回数は十分に大きく、トラニオン取付けボルトは十分な疲労強度を有している。</p> <p>b. ハンドリングベルト</p> <p>ハンドリングベルトに生じる応力について、応力集中を考慮した繰返し応力強さによる許容繰返し回数と想定される繰返し回数を比較して検討を行う。</p> <p>(a) 上部ベルト及び下部ベルト</p> <p>i. 繰返しピーク応力強さ</p> $S_a = S \times K_t \times (1.95 \times 10^6 / E_t) / 2$ <p>ここで、 S_a : 繰返しピーク応力強さ (MPa)</p> <p>S : (a) 第A.8表に示す応力強さ最大値 [MPa]</p> <p>K_t : 応力集中係数 [5 (構造上の不連続部に対する最大値)]</p> <p>E_t : 材料の使用温度における継弾性係数 [MPa (□C)]</p> <p>したがって、</p> $S_a = \boxed{\quad} \text{ MPa}$ <p>ii. 許容繰返し回数</p> <p>A.10.1 付属書類-1 (e) 第A付.1.1 図に示すステンレス鋼の設計疲れ線図より、 S_a (MPa)に対する許容繰返し回数 N_a は、</p> $N_a = \boxed{\quad} \text{ 回}$ <p>となり、輸送時のハンドリングベルトによる吊上回数を 10 回とすると、想定される繰返し回数に比べて許容繰返し回数は大きく、ハンドリングベルトの上部ベルト及び下部ベルトは十分な疲労強度を有している。</p> <p>(b) 吊りハンドル</p> <p>i. 繰返しピーク応力強さ</p> $S_a = S \times K_t \times (1.95 \times 10^6 / E_t) / 2$ <p>ここで、 S_a : 繰返しピーク応力強さ (MPa)</p> <p>S : (a) 第A.8表に示す応力強さ最大値 [MPa]</p> <p>K_t : 応力集中係数 [5 (構造上の不連続部に対する最大値)]</p> <p>E_t : 材料の使用温度における継弾性係数 [MPa (□C)]</p> <p>したがって、</p> $S_a = \boxed{\quad} \text{ MPa}$ <p>ii. 許容繰返し回数</p> <p>A.10.1 付属書類-1 (e) 第A付.1.1 図に示すオーステナイトステンレス鋼の設計疲れ線図より、 S_a (MPa)に対する許容繰返し回数 N_a は、</p> $N_a = \boxed{\quad} \text{ 回}$ <p>となる。実作業での輸送 1 回当たりのハンドリングベルトによる吊上回数は 5 回程度であるが保守的に 10 回とすると、想定される繰返し回数は、輸送容器の使用回数 (200 回) より、2×10^2 回となる。したがって、許容繰返し回数 N_a は、想定される繰返し回数より大きく、ハンドリングベルトの上部ベルト及び下部ベルトは十分な疲労強度を有している。</p> <p>(b) 吊りハンドル</p> <p>i. 繰返しピーク応力強さ</p> $S_a = S \times K_t \times (1.95 \times 10^6 / E_t) / 2$ <p>ここで、 S_a : 繰返しピーク応力強さ (MPa)</p> <p>S : (a) 第A.8表に示す応力強さ最大値 [MPa]</p> <p>K_t : 応力集中係数 [5 (構造上の不連続部に対する最大値)]</p> <p>E_t : 材料の使用温度における継弾性係数 [MPa (70°C)]</p> <p>したがって、</p> $S_a = \boxed{\quad} \text{ MPa}$	<p>回とすると、想定される繰返し回数は 4×10^3 回となる。したがって、許容繰返し回数 N_a は、想定される繰返し回数より大きく、トラニオン取付けボルトは十分な疲労強度を有している。</p> <p>b. ハンドリングベルト</p> <p>ハンドリングベルトに生じる応力について、応力集中を考慮した繰返し応力強さによる許容繰返し回数と想定される繰返し回数を比較して検討を行う。</p> <p>(a) 上部ベルト及び下部ベルト</p> <p>i. 繰返しピーク応力強さ</p> $S_a = S \times K_t \times (1.95 \times 10^6 / E_t) / 2$ <p>ここで、 S_a : 繰返しピーク応力強さ (MPa)</p> <p>S : (a) 第A.8表に示す応力強さ最大値 [MPa]</p> <p>K_t : 応力集中係数 [5 (構造上の不連続部に対する最大値)]</p> <p>E_t : 材料の使用温度における継弾性係数 [MPa (70°C)]</p> <p>したがって、</p> $S_a = \boxed{\quad} \text{ MPa}$ <p>ii. 許容繰返し回数</p> <p>A.10.1 付属書類-1 (e) 第A付.1.1 図に示すオーステナイトステンレス鋼の設計疲れ線図より、 S_a (MPa)に対する許容繰返し回数 N_a は、</p> $N_a = \boxed{\quad} \text{ 回}$ <p>となる。実作業での輸送 1 回当たりのハンドリングベルトによる吊上回数は 5 回程度であるが保守的に 10 回とすると、想定される繰返し回数は、輸送容器の使用回数 (200 回) より、2×10^2 回となる。したがって、許容繰返し回数 N_a は、想定される繰返し回数より大きく、ハンドリングベルトの上部ベルト及び下部ベルトは十分な疲労強度を有している。</p> <p>(b) 吊りハンドル</p> <p>i. 繰返しピーク応力強さ</p> $S_a = S \times K_t \times (1.95 \times 10^6 / E_t) / 2$ <p>ここで、 S_a : 繰返しピーク応力強さ (MPa)</p> <p>S : (a) 第A.8表に示す応力強さ最大値 [MPa]</p> <p>K_t : 応力集中係数 [5 (構造上の不連続部に対する最大値)]</p> <p>E_t : 材料の使用温度における継弾性係数 [MPa (70°C)]</p> <p>したがって、</p> $S_a = \boxed{\quad} \text{ MPa}$	<p>・輸送容器の使用予定回数に基づき、想定される繰返し回数の記載の見直し</p>

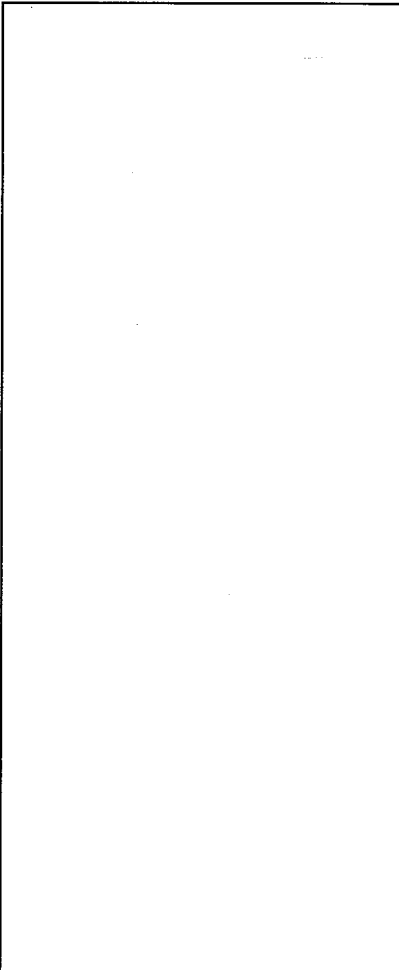
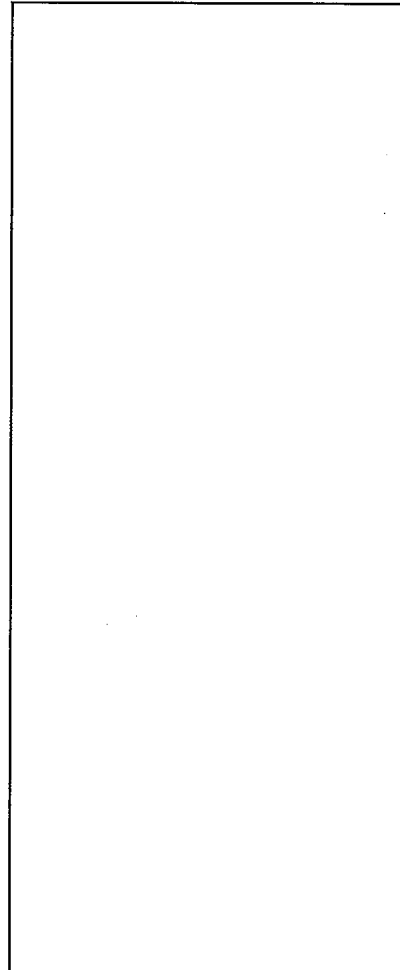
核燃料輸送物設計変更承認申請に係る変更前後表

前回申請書 (平成 30 年 8 月 17 日付三原燃第 18-393 号をもって申請 (平成 31 年 2 月 5 日付三原燃第 18-1013 号をもって一部補正))	今回の核燃料輸送物設計変更承認申請	備考
<p>の設計疲れ線図より、S_a [MPa]に対する許容繰返し回数N_aは、 $N_a = \boxed{\quad}$ 回</p> <p>となり、輸送時のハンドリングベルトによる吊上回数を 10 回とすると、想定される繰返し回数に比べて許容繰返し回数は十分に大きく、ハンドリングベルトの吊りハンドルは十分な疲労強度を有している。</p> <p>(c) 吊りハンドル取付けピン</p> <p>i. 繰返しピーク応力強さ</p> $S_a = S \times (1.95 \times 10^8 / E_t) / 2$ <p>ここで、S_a : 繰返しピーク応力強さ (MPa)</p> <p>S : 吊りハンドル取付けピンの応力強さ [MPa] E_t : 材料の使用温度における継弾性係数 [MPa (70°C)]</p> <p>したがって、 $S_a = \boxed{\quad}$ MPa</p> <p>ii. 許容繰返し回数</p> <p>A. 10.1 付属書類-1 (v)-第 A. 付 1.1 図に示すオーステナイトステンレス鋼の設計疲れ線図より、S_a [MPa]に対する許容繰返し回数N_aは、 $N_a = \boxed{\quad}$ 回</p> <p>となる。前述のとおり輸送 1 回当たりのハンドリングベルトによる吊上回数を 10 回とすると、想定される繰返し回数は 2×10^6 回となる。したがって、許容繰返し回数N_aは、想定される繰返し回数より大きく、ハンドリングベルトの吊りハンドルは十分な疲労強度を有している。</p> <p>(d) 連結ボルト</p> <p>i. 繰返しピーク応力強さ</p> $S_a = S \times K_t \times (2.07 \times 10^8 / E_t) / 2$ <p>ここで、S_a : 繰返しピーク応力強さ (MPa)</p> <p>S : 連結ボルトの応力強さ (応力の変動幅) [MPa] K_t : 応力集中係数 [4 (ボルトのネジ部に対する最大値)] E_t : 材料の使用温度における継弾性係数 [MPa (70°C)]</p> <p>したがって、 $S_a = \boxed{\quad}$ MPa</p> <p>ii. 許容繰返し回数</p> <p>A. 10.1 付属書類-1 (v)-第 A. 付 1.2 図に示す高張力ボルトの設計疲れ線図より、S_a [MPa]に対する許容繰返し回数N_aは、</p>	<p>ii. 許容繰返し回数</p> <p>A. 10.1 付属書類-1 (v)-第 A. 付 1.1 図に示すオーステナイトステンレス鋼の設計疲れ線図より、S_a [MPa]に対する許容繰返し回数N_aは、 $N_a = \boxed{\quad}$ 回</p> <p>となる。前述のとおり輸送 1 回当たりのハンドリングベルトによる吊上回数を 10 回とすると、想定される繰返し回数は 2×10^6 回となる。したがって、許容繰返し回数N_aは、想定される繰返し回数より大きく、ハンドリングベルトの吊りハンドルは十分な疲労強度を有している。</p> <p>(c) 吊りハンドル取付けピン</p> <p>i. 繰返しピーク応力強さ</p> $S_a = S \times (1.95 \times 10^8 / E_t) / 2$ <p>ここで、S_a : 繰返しピーク応力強さ (MPa)</p> <p>S : 吊りハンドル取付けピンの応力強さ [MPa] E_t : 材料の使用温度における継弾性係数 [MPa (70°C)]</p> <p>したがって、 $S_a = \boxed{\quad}$ MPa</p> <p>ii. 許容繰返し回数</p> <p>A. 10.1 付属書類-1 (v)-第 A. 付 1.1 図に示すオーステナイトステンレス鋼の設計疲れ線図より、S_a [MPa]に対する許容繰返し回数N_aは、 $N_a = \boxed{\quad}$ 回</p> <p>となる。前述のとおり輸送 1 回当たりのハンドリングベルトによる吊上回数を 10 回とすると、想定される繰返し回数は 2×10^6 回となる。したがって、許容繰返し回数N_aは、想定される繰返し回数より大きく、ハンドリングベルトの吊りハンドル取付けピンは十分な疲労強度を有している。</p> <p>(d) 連結ボルト</p> <p>i. 繰返しピーク応力強さ</p> $S_a = S \times K_t \times (2.07 \times 10^8 / E_t) / 2$ <p>ここで、S_a : 繰返しピーク応力強さ (MPa)</p> <p>S : 連結ボルトの応力強さ (応力の変動幅) [MPa] K_t : 応力集中係数 [4 (ボルトのネジ部に対する最大値)] E_t : 材料の使用温度における継弾性係数 [MPa (70°C)]</p> <p>したがって、 $S_a = \boxed{\quad}$ MPa</p> <p>ii. 訸容繰返し回数</p> <p>A. 10.1 付属書類-1 (v)-第 A. 付 1.2 図に示す高張力ボルトの設計疲れ線図</p>	<p>・輸送容器の使用予定回数に基づき、想定される繰返し回数の記載の見直し</p>

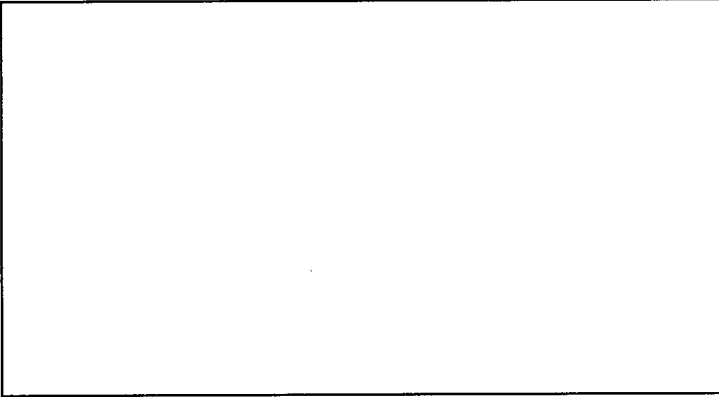
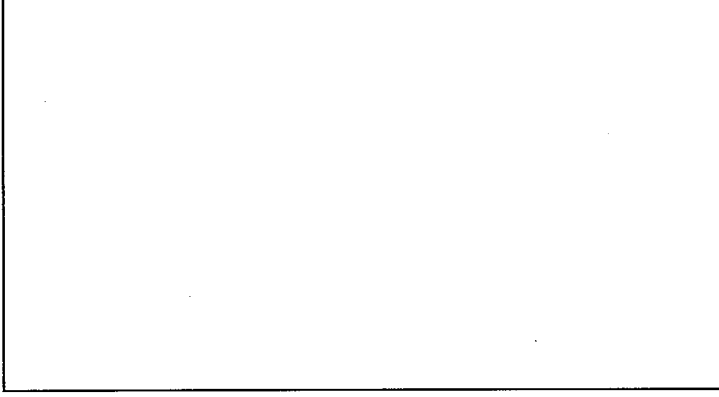
核燃料輸送物設計変更承認申請に係る変更前後表

前回申請書 (平成 30 年 8 月 17 日付三原燃第 18-393 号をもって申請 (平成 31 年 2 月 5 日付三原燃第 18-1013 号をもって一部補正))	今回の核燃料輸送物設計変更承認申請	備考
<p>Na=□回</p> <p>となり、輸送時のハンドリングベルトによる吊上回数を 10 回とすると、想定される繰返し回数に比べて許容繰返し回数は十分に大きく、ハンドリングベルトの連結ボルトは十分な疲労強度を有している。</p> <p>A.4.5 固縛装置</p> <p>本輸送容器に固縛装置はなく、(i) 第 C.1 図に示すように、輸送架台に胴部を固定して輸送架台上に設置される。したがって、輸送架台が取付けられる部位近傍の胴部を対象として、輸送時の加速度が作用した場合の強度を評価する。</p> <p>輸送時の加速度としては、以下のように仮定する。</p> <ul style="list-style-type: none"> ・前後方向： 2 G ・横 方 向： 2 G ・垂直方向： 2 G (上方)、3 G (下方) <p>輸送架台が取付けられる部位に発生する応力は、輸送架台の取付け範囲を支持条件とした解析モデルにより、解析コード ABAQUS を用いて求める。</p> <p>(1) 解析モデル</p> <p>解析モデルは、本体及び蓋部から構成されており、衝撃吸収カバーと等価な質量を上下端面に付加する。また、各部の質量が等価となるようにレジンの密度を調整する。</p> <p>解析モデルとして、対称性を考慮して面对称 3 次元モデルを用いる。</p> <p>解析モデルの寸法及び要素分割図を(i) 第 A.15 図及び(ii) 第 A.16 図に示す。</p> <p>(2) 荷重条件及び境界条件</p> <p>a. 荷重条件</p> <p>輸送時には、加速度による荷重、内部圧力による荷重が作用する。</p> <p>(a) 加速度による荷重</p> <p>軸方向の加速度は輸送時の前後方向の値、半径方向の加速度は輸送時の横方向と垂直方向の合成値を負荷する。また、内容物（パケット+収納物）による荷重が胴部に負荷されるように、内筒の□に等価な密度を与える。</p>	<p>より、Sa (□ MPa)に対する許容繰返し回数Naは、</p> <p>Na=□回</p> <p>となる。前述のとおり輸送1回当たりのハンドリングベルトによる吊上回数を□回とすると、想定される繰返し回数は 2×10^3 回となる。したがって、許容繰返し回数 Na は、想定される繰返し回数より大きく、ハンドリングベルトの連結ボルトは十分な疲労強度を有している。</p> <p>A.4.5 固縛装置</p> <p>本輸送容器に固縛装置はなく、(i) 第 C.1 図に示すように、輸送架台に胴部を固定して輸送架台上に設置される。したがって、輸送架台が取付けられる部位近傍の胴部を対象として、輸送時の加速度が作用した場合の強度を評価する。</p> <p>輸送時の加速度としては、以下のように仮定する。</p> <ul style="list-style-type: none"> ・前後方向： 3 G ・横 方 向： 2 G ・垂直方向： 2 G (上方)、3 G (下方) <p>輸送架台が取付けられる部位に発生する応力は、輸送架台の取付け範囲を支持条件とした解析モデルにより、解析コード ABAQUS を用いて求める。</p> <p>(1) 解析モデル</p> <p>解析モデルは、本体及び蓋部から構成されており、衝撃吸収カバーと等価な質量を上下端面に付加する。また、各部の質量が等価となるようにレジンの密度を調整する。</p> <p>解析モデルとして、対称性を考慮して面对称 3 次元モデルを用いる。</p> <p>解析モデルの寸法及び要素分割図を(i) 第 A.15 図及び(ii) 第 A.16 図に示す。</p> <p>(2) 荷重条件及び境界条件</p> <p>a. 荷重条件</p> <p>輸送時には、加速度による荷重、内部圧力による荷重が作用する。</p> <p>(a) 加速度による荷重</p> <p>軸方向の加速度は輸送時の前後方向の値、半径方向の加速度は輸送時の横方向と垂直方向の合成値を負荷する。また、内容物（パケット+収納物）による荷重が胴部に負荷されるように、内筒の□に等価な密度を与える。</p>	<ul style="list-style-type: none"> ・輸送容器の使用予定回数に基づき、想定される繰返し回数の記載の見直し

核燃料輸送物設計変更承認申請に係る変更前後表

前回申請書 (平成 30 年 8 月 17 日付三原燃第 18-393 号をもって申請 (平成 31 年 2 月 5 日付三原燃第 18-1013 号をもって一部補正))	今回の核燃料輸送物設計変更承認申請	備考
 <p>(単位 : mm)</p> <p>(i) - 第 A-15 図 解析モデル寸法図 (固持装置)</p> <p>(v) - A - 44</p>	 <p>(単位 : mm)</p> <p>(i) - 第 A-15 図 解析モデル寸法図 (固持装置)</p> <p>(v) - A - 44</p>	

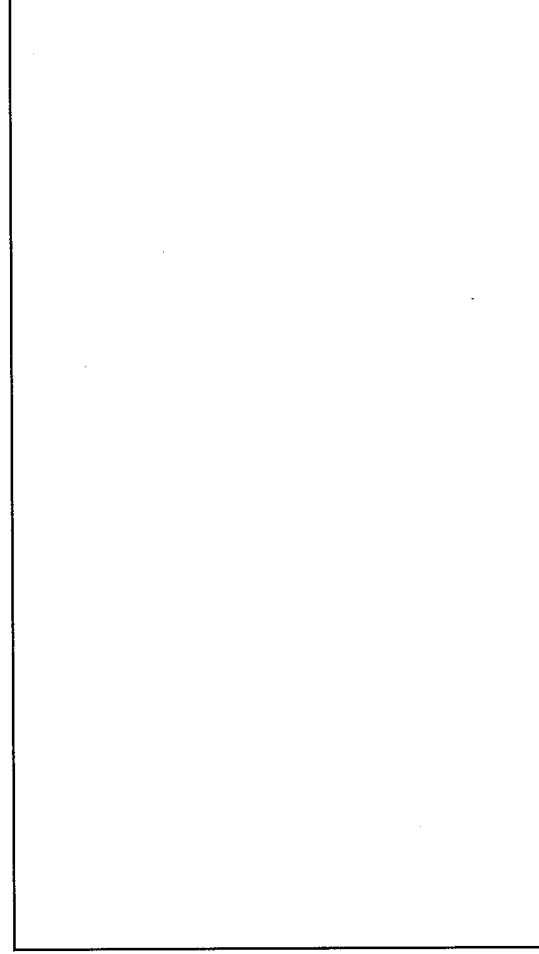
核燃料輸送物設計変更承認申請に係る変更前後表

前回申請書 (平成30年8月17日付三原燃第18-393号をもって申請 (平成31年2月5日付三原燃第18-1013号をもって一部補正))	今回の核燃料輸送物設計変更承認申請	備考
 (v) - 第A.16図 要素分割図(固縛装置) (v) - A-45	 (v) - 第A.16図 要素分割図(固縛装置) (v) - A-45	

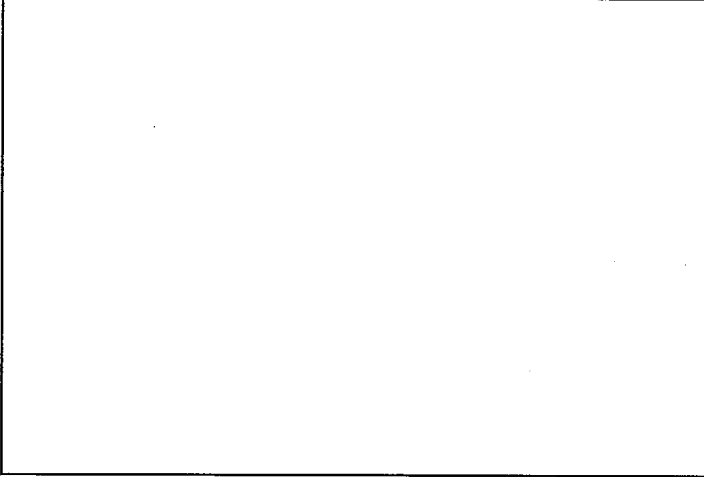
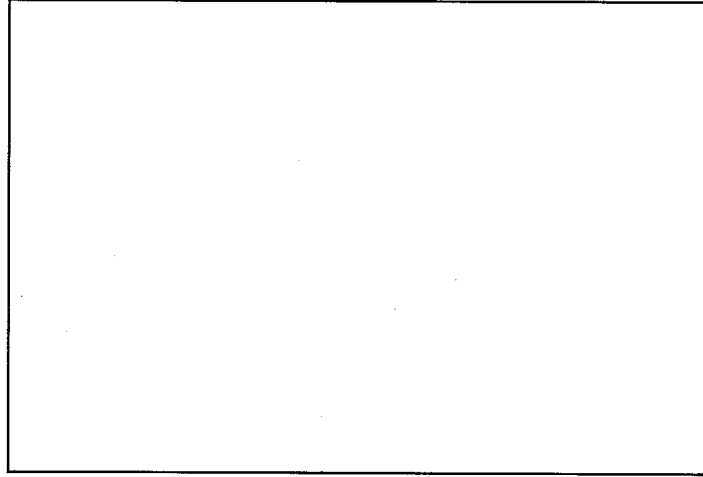
核燃料輸送物設計変更承認申請に係る変更前後表

前回申請書 (平成 30 年 8 月 17 日付三原燃第 18-393 号をもって申請 (平成 31 年 2 月 5 日付三原燃第 18-1013 号をもって一部補正))	今回の核燃料輸送物設計変更承認申請	備考
<p>(b) 内部圧力による荷重</p> <p>(a) - B 热解析によれば、一般的な試験条件における輸送物の最大内圧は [] MPa 绝対圧である。外気圧に変動が生じて外圧が 0.060 MPa に減少した場合でも、最大内外圧力差は [] MPa であることから、本評価では安全側に内外圧力差を [] MPa として評価する。</p> <p>b. 境界条件</p> <p>輸送货架は胴部を全周にわたって固定するように取付けられることから、半径方向については加速度の方向にかかわらず、胴部の半周が支持される。一方、軸方向については輸送货架と胴部との間の摩擦により固定されるため、境界条件として、輸送货架の取付け部位に該当する範囲について、半径方向と軸方向の変位を拘束する。</p> <p>以上の荷重及び境界条件を (a)- 第 A. 17 図に示す。</p> <p>(3) 解析結果</p> <p>変形図及び応力分布図をそれぞれ (a)- 第 A. 18 図及び (a)- 第 A. 19 図に示す。</p> <p>輸送货架が取付けられる部位の近傍について、胴部の構成部材（内筒、胴ガセット及び胴外板）に発生する応力の評価結果を (a)- 第 A. 9 表に示す。同表に示すように、いずれの部位においても発生応力は評価基準を下回っており、輸送時の加速度に対して胴部は十分な強度を有している。</p>	<p>(b) 内部圧力による荷重</p> <p>[] MPa の試験条件における輸送物の最大内圧は、(a) - B 热解析に示す通り [] MPa 绝対圧である。外気圧に変動が生じて外圧が 0.060 MPa に減少した場合でも、最大内外圧力差は [] MPa であることから、本評価では安全側に内外圧力差を [] MPa として評価する。</p> <p>b. 境界条件</p> <p>輸送货架は胴部を全周にわたって固定するように取付けられることから、半径方向については加速度の方向にかかわらず、胴部の半周が支持される。一方、軸方向については輸送货架と胴部との間の摩擦により固定されるため、境界条件として、輸送货架の取付け部位に該当する範囲について、半径方向と軸方向の変位を拘束する。</p> <p>以上の荷重及び境界条件を (a)- 第 A. 17 図に示す。</p> <p>(3) 解析結果</p> <p>変形図及び応力分布図をそれぞれ (a)- 第 A. 18 図及び (a)- 第 A. 19 図に示す。</p> <p>輸送货架が取付けられる部位の近傍について、胴部の構成部材（内筒、胴ガセット及び胴外板）に発生する応力の評価結果を (a)- 第 A. 9 表に示す。同表に示すように、いずれの部位においても発生応力は評価基準を下回っており、輸送時の加速度に対して胴部は十分な強度を有している。</p>	<p>・記載の適正化</p>

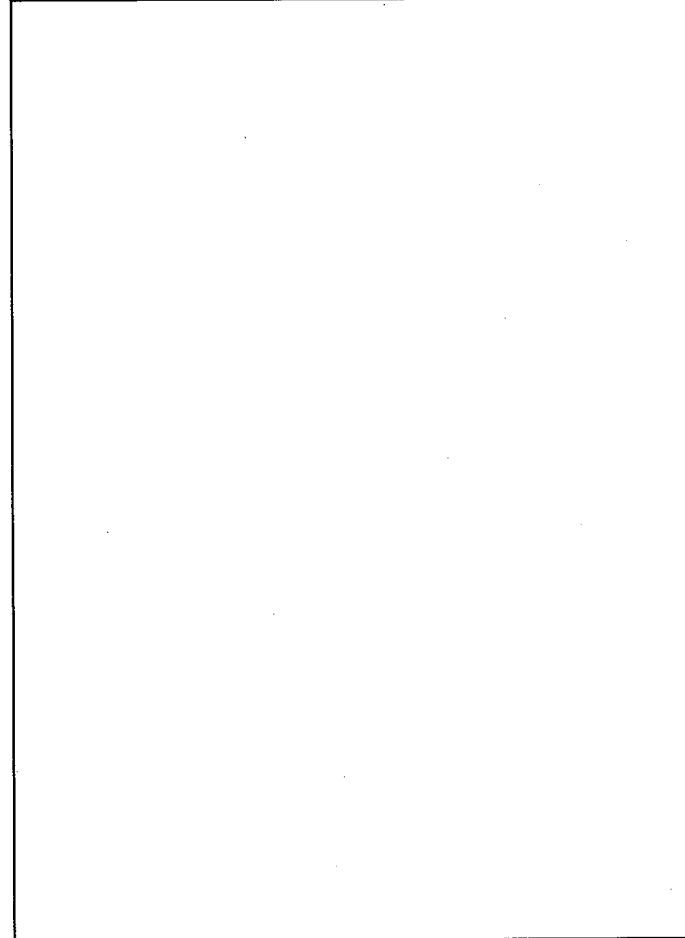
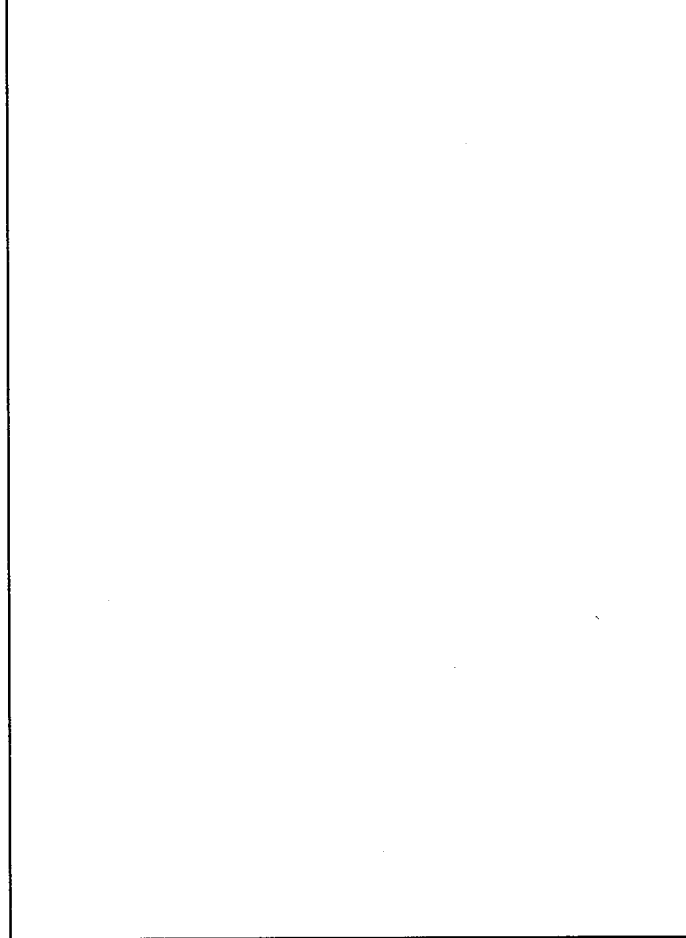
核燃料輸送物設計変更承認申請に係る変更前後表

前回申請書 (平成 30 年 8 月 17 日付三原燃第 18-393 号をもって申請 (平成 31 年 2 月 5 日付三原燃第 18-1013 号をもって一部補正))	今回の核燃料輸送物設計変更承認申請	備考
<p>(v) - 第 A-17 図 輸送時の加速度に対する頭部の解析における荷重及び境界条件 (単位 : mm)</p>  <p>(v) - A - 47</p>	<p>(s) - 第 A-17 図 輸送時の加速度に対する頭部の解析における荷重及び境界条件 (単位 : mm)</p>  <p>(s) - A - 47</p>	

核燃料輸送物設計変更承認申請に係る変更前後表

前回申請書 (平成 30 年 8 月 17 日付三原燃第 18-393 号をもって申請 (平成 31 年 2 月 5 日付三原燃第 18-1013 号をもって一部補正))	今回の核燃料輸送物設計変更承認申請	備考
 (v) - 第 A. 18 図 輸送時の加速度に対する胴部の解析結果 (変形図) (v) - A - 48	 (v) - 第 A. 18 図 輸送時の加速度に対する胴部の解析結果 (変形図) (v) - A - 48	—

核燃料輸送物設計変更承認申請に係る変更前後表

前回申請書 (平成 30 年 8 月 17 日付三原燃第 18-393 号をもって申請 (平成 31 年 2 月 5 日付三原燃第 18-1013 号をもって一部補正))	今回の核燃料輸送物設計変更承認申請	備考
 (a) - 第 A. 19 図 輸送時の加速度に対する胴部の解析結果 (応力分布図<トレスカの応力強さ>) (a) - A - 49	 (a) - 第 A. 19 図 輸送時の加速度に対する胴部の解析結果 (応力分布図<トレスカの応力強さ>) (a) - A - 49	—

核燃料輸送物設計変更承認申請に係る変更前後表

前回申請書 (平成 30 年 8 月 17 日付三原燃第 18-393 号をもって申請 (平成 31 年 2 月 5 日付三原燃第 18-1013 号をもって一部補正))					今回の核燃料輸送物設計変更承認申請					備考																																																																																		
(e) - 第 A. 9 表 輸送時の加速度に対する胴部の応力評価結果					(e) - 第 A. 9 表 輸送時の加速度に対する胴部の応力評価結果																																																																																							
<table border="1"> <thead> <tr> <th>評価位置</th> <th>応力の種類</th> <th>応力強さ (MPa)</th> <th>評価基準¹⁾ (MPa)</th> <th>余裕率(MS)</th> </tr> </thead> <tbody> <tr> <td rowspan="2">内 筒</td> <td>膜応力</td> <td></td> <td></td> <td></td> </tr> <tr> <td>膜応力+曲げ応力</td> <td></td> <td></td> <td></td> </tr> <tr> <td rowspan="2">胴ガセット</td> <td>膜応力</td> <td></td> <td></td> <td></td> </tr> <tr> <td>膜応力+曲げ応力</td> <td></td> <td></td> <td></td> </tr> <tr> <td rowspan="2">胴外板</td> <td>膜応力</td> <td></td> <td></td> <td></td> </tr> <tr> <td>膜応力+曲げ応力</td> <td></td> <td></td> <td></td> </tr> <tr> <td rowspan="2">底板側</td> <td>膜応力</td> <td></td> <td></td> <td></td> </tr> <tr> <td>膜応力+曲げ応力</td> <td></td> <td></td> <td></td> </tr> </tbody> </table>					評価位置	応力の種類	応力強さ (MPa)	評価基準 ¹⁾ (MPa)	余裕率(MS)	内 筒	膜応力				膜応力+曲げ応力				胴ガセット	膜応力				膜応力+曲げ応力				胴外板	膜応力				膜応力+曲げ応力				底板側	膜応力				膜応力+曲げ応力				<table border="1"> <thead> <tr> <th>評価位置</th> <th>応力の種類</th> <th>応力強さ (MPa)</th> <th>評価基準¹⁾ (MPa)</th> <th>余裕率(MS)</th> </tr> </thead> <tbody> <tr> <td rowspan="2">内 筒</td> <td>膜応力</td> <td></td> <td></td> <td></td> </tr> <tr> <td>膜応力+曲げ応力</td> <td></td> <td></td> <td></td> </tr> <tr> <td rowspan="2">胴ガセット</td> <td>膜応力</td> <td></td> <td></td> <td></td> </tr> <tr> <td>膜応力+曲げ応力</td> <td></td> <td></td> <td></td> </tr> <tr> <td rowspan="2">胴外板</td> <td>膜応力</td> <td></td> <td></td> <td></td> </tr> <tr> <td>膜応力+曲げ応力</td> <td></td> <td></td> <td></td> </tr> <tr> <td rowspan="2">底板側</td> <td>膜応力</td> <td></td> <td></td> <td></td> </tr> <tr> <td>膜応力+曲げ応力</td> <td></td> <td></td> <td></td> </tr> </tbody> </table>					評価位置	応力の種類	応力強さ (MPa)	評価基準 ¹⁾ (MPa)	余裕率(MS)	内 筒	膜応力				膜応力+曲げ応力				胴ガセット	膜応力				膜応力+曲げ応力				胴外板	膜応力				膜応力+曲げ応力				底板側	膜応力				膜応力+曲げ応力				
評価位置	応力の種類	応力強さ (MPa)	評価基準 ¹⁾ (MPa)	余裕率(MS)																																																																																								
内 筒	膜応力																																																																																											
	膜応力+曲げ応力																																																																																											
胴ガセット	膜応力																																																																																											
	膜応力+曲げ応力																																																																																											
胴外板	膜応力																																																																																											
	膜応力+曲げ応力																																																																																											
底板側	膜応力																																																																																											
	膜応力+曲げ応力																																																																																											
評価位置	応力の種類	応力強さ (MPa)	評価基準 ¹⁾ (MPa)	余裕率(MS)																																																																																								
内 筒	膜応力																																																																																											
	膜応力+曲げ応力																																																																																											
胴ガセット	膜応力																																																																																											
	膜応力+曲げ応力																																																																																											
胴外板	膜応力																																																																																											
	膜応力+曲げ応力																																																																																											
底板側	膜応力																																																																																											
	膜応力+曲げ応力																																																																																											

注 1) 評価基準は、膜応力及び膜応力+曲げ応力に対して S_y

注 1) 評価基準は、膜応力及び膜応力+曲げ応力に対して S_y

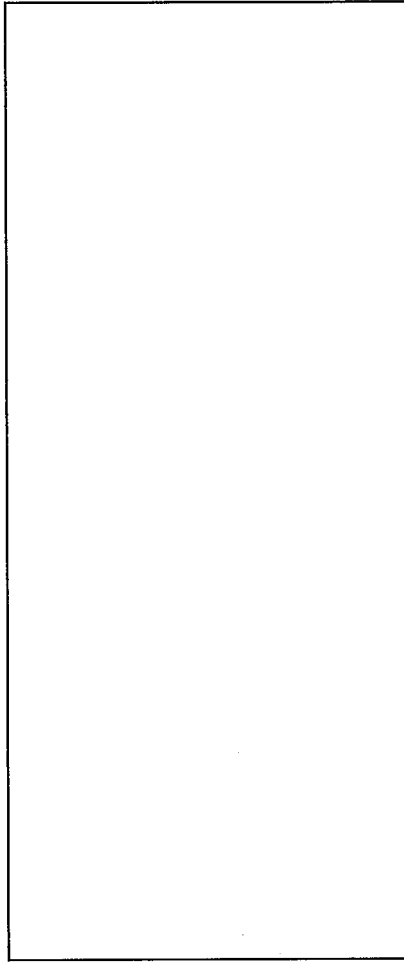
核燃料輸送物設計変更承認申請に係る変更前後表

前回申請書 (平成 30 年 8 月 17 日付三原燃第 18-393 号をもって申請 (平成 31 年 2 月 5 日付三原燃第 18-1013 号をもって一部補正))	今回の核燃料輸送物設計変更承認申請	備考				
<p>A.4.6 圧力</p> <p>一般的試験条件における最大内圧は、<input type="text"/> MPa 絶対圧である。A.5.1 の熱的試験において、内外圧力差を<input type="text"/> MPa として本体及び蓋部の強度評価を行い、健全性を確認している。外気圧に変動が生じて外圧が 60 kPa (0.060 MPa) に減少した場合でも、最大内外圧力差は<input type="text"/> MPa であり、輸送容器の健全性が損なわれることはない。</p> <p>A.4.7 振動</p> <p>輸送物は、(a)-C.1 図に示すように、輸送架台に胴部を固定して輸送される。ここでは、輸送架台に固定された状態における輸送物の固有振動数を求め、輸送中の振動数と比較し、共振の可能性を検討する。</p> <p>輸送物の固有振動数は、輸送架台の取付け範囲を支持条件とした解析モデルにより、解析コード ABAQUS を用いて求めた。</p> <p>(1) 解析モデル</p> <p>解析モデルは、本体及び蓋部から構成されており、衝撃吸収カバーと等価な質量を上下端面に付加する。また、各部の質量が等価となるようにレジンの密度を調整する。</p> <p>解析モデルとして、360° 3 次元モデルを用いる。</p> <p>内容物であるバケット及び収納物の質量は、胴部に負荷されるように、内筒の<input type="text"/> に等価な密度を与える。</p> <p>解析モデルの寸法及び要素分割図を(a)-第 A.20 図及び(b)-第 A.21 図に示す。</p> <p>(2) 境界条件</p> <p>輸送架台は胴部を全周にわたって固定するように取付けられることから、その取付け範囲にあたる胴外板の変位を拘束する。境界条件を(a)-第 A.22 図に示す。</p> <p>(3) 解析結果</p> <p>振動の状態図として固有振動数の小さい方から 2 ケースを(a)-第 A.23 図に示す。</p> <p>同図より、輸送物の固有振動数は以下のようになる。</p> <table border="1" style="margin-left: auto; margin-right: auto;"> <tr> <td style="padding: 5px;">解析結果</td> <td style="padding: 5px;">輸送物の固有振動数</td> </tr> <tr> <td style="padding: 5px;"></td> <td style="padding: 5px;"><input type="checkbox"/> 以上</td> </tr> </table> <p>よって、輸送中の振動（主として 20 Hz 以下）により輸送物が共振することはない。</p> <p>また、蓋板締付けボルト及びその他の締付けボルト等は、強固に締めつけられており、輸送時の振動により容易に緩むことはない。</p> <p>したがって、輸送中の振動により輸送物が影響を受けることはない。</p> <p style="text-align: center;">(a)- A-51</p>	解析結果	輸送物の固有振動数		<input type="checkbox"/> 以上	<p>A.4.6 圧力</p> <p>本輸送物の輸送中に予想される温度の変化を包含する温度範囲として、-40°C から一般試験条件における最高温度 (70°C) の範囲における内圧の変化に対して、輸送容器の健全性が損なわれないことを評価する。</p> <p>輸送容器の内圧と温度の関係は以下のとおりとなる。</p> <p>(1) 内圧が最大となり外圧を上回る場合</p> <p>内圧が最大となるのは最高温度 (70°C) の場合であり、常温 (20°C) を基準とした場合の最大内圧は<input type="text"/> MPa 絶対圧、最低温度 (-40°C) を基準とした場合の最大内圧は<input type="text"/> MPa 絶対圧である。(c)-B. 热解析。外気圧に変動が生じて外圧が 60 kPa (0.060 MPa) に減少した場合、最大内外圧力差はそれぞれ<input type="text"/> MPa 及び<input type="text"/> MPa となる。</p> <p>(2) 内圧が最小となり外圧を下回る場合</p> <p>内圧が最小となるのは最低温度 (-40°C) の場合であり、常温 (20°C) を基準とした場合の最小内圧は<input type="text"/> MPa 絶対圧、最高温度 (70°C) を基準とした場合の最小内圧は<input type="text"/> MPa 絶対圧である。外圧を<input type="text"/> MPa (大気圧の変動を考慮) とした場合、最大内外圧力差はそれぞれ<input type="text"/> MPa, <input type="text"/> MPa となる。</p> <p>上記に対し、それぞれを含むする条件として、周囲との内外圧力差が<input type="text"/> MPa 又は<input type="text"/> MPa とし、A.5.1 热的試験と同じ解析モデルを用いて容積変化範囲に発生する応力を評価した結果、容積変化範囲に発生する応力はいずれも容差範囲を下回ることから、容積の拘束条件は維持される。また、蓋板ガスケット取付部における開き率を算出した結果、開き率变形量はリムゲートの初期開け目代 (つぶれ代) よりも十分小さく、溶接部頭部に影響を及ぼさないといふから、輸送容器の健全性が損なわれることはない。(付録 2-2-2-2-2)</p> <p>したがって、輸送中の内圧の変化により輸送容器に重量、容積等が変化しないこと、内圧の圧力が 60 kPa 以下とした場合で、及ばず物質の変化がないこと。</p> <p>A.4.7 振動</p> <p>輸送物は、(a)-C.1 図に示すように、輸送架台に胴部を固定して輸送される。ここでは、輸送架台に固定された状態における輸送物の固有振動数を求め、輸送中の振動数と比較し、共振の可能性を検討する。</p> <p>輸送物の固有振動数は、輸送架台の取付け範囲を支持条件とした解析モデルにより、解析コード ABAQUS を用いて求めた。</p> <p style="text-align: center;">(a)- A-51</p>	<ul style="list-style-type: none"> ・知見の更新に関する説明の追加
解析結果	輸送物の固有振動数					
	<input type="checkbox"/> 以上					

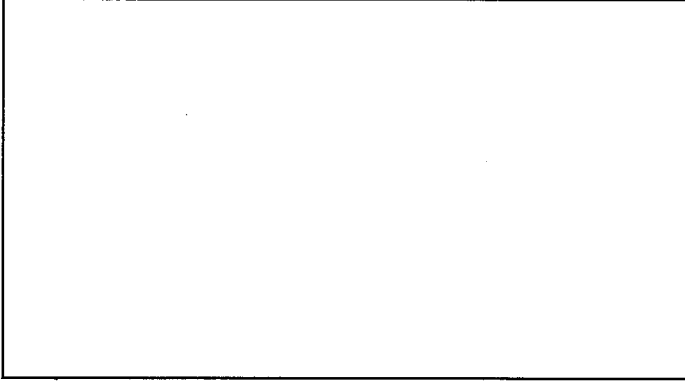
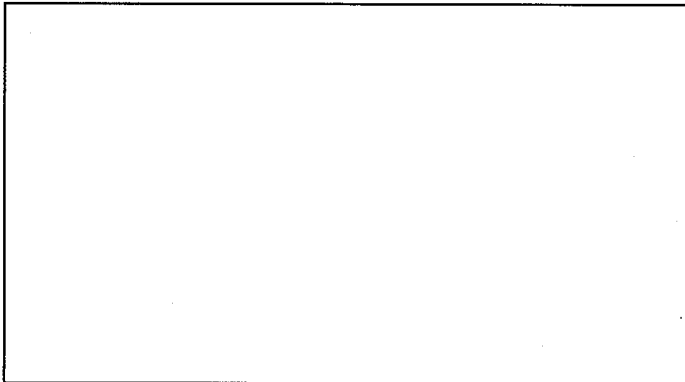
核燃料輸送物設計変更承認申請に係る変更前後表

前回申請書 (平成 30 年 8 月 17 日付三原燃第 18-393 号をもって申請 (平成 31 年 2 月 5 日付三原燃第 18-1013 号をもって一部補正))	今回の核燃料輸送物設計変更承認申請	備考				
	<p>(1) 解析モデル</p> <p>解析モデルは、本体及び蓋部から構成されており、衝撃吸収カバーと等価な質量を上 下端面に付加する。また、各部の質量が等価となるようにレジンの密度を調整する。</p> <p>解析モデルとして、360° 3 次元モデルを用いる。</p> <p>内容物であるバスケット及び収納物の質量は、胴部に負荷されるように、内筒の□ □に等価な密度を与える。</p> <p>解析モデルの寸法及び要素分割図を(a) 第 A. 20 図及び(e) 第 A. 21 図に示す。</p> <p>(2) 境界条件</p> <p>輸送架台は胴部を全周にわたって固定するように取付けられることから、その取付 け範囲にあたる胴外板の変位を拘束する。境界条件を(b) 第 A. 22 図に示す。</p> <p>(3) 解析結果</p> <p>振動の状態図として固有振動数の小さい方から 2 ケースを(e) 第 A. 23 図に示す。</p> <p>同図より、輸送物の固有振動数は以下のようになる。</p> <table border="1"> <thead> <tr> <th>解析結果</th> <th>輸送物の固有振動数</th> </tr> </thead> <tbody> <tr> <td>□</td> <td>Hz 以上</td> </tr> </tbody> </table> <p>よって、輸送中の振動（主として 20 Hz 以下）により輸送物が共振することはない。 また、蓋板締付けボルト及びその他の締付けボルト等は、強固に締めつけられてお り、輸送時の振動により容易に緩むことはない。</p> <p>なお、A. 4. 5 固體装置に示されているように、輸送物に前後方向 2 G、横方向 2 G、 垂直方向 3 G（下方）の加速度が作用した場合であっても、本体胴部は発生する応力に 対して十分に大きな余裕率（評価基準（S）に対し余裕率 □ 以上）を有しており、 筋板中に荷重が増幅される程度（D 等倍率）は最大でも □ であるため、これを考慮し て十分な余裕が確保される。また、蓋板、蓋板締付けボルト部及び底板について、応力 分布 □ を考慮した評価を行った結果、各部に発生する応力は設計荷重の 1.5 倍を十分下回 している。（付属書類-8 参照）</p> <p>したがって、輸送中の振動により輸送容器に亀裂、溶接部等が生じることもなく、輸 送容器の健全性は維持される。</p>	解析結果	輸送物の固有振動数	□	Hz 以上	<ul style="list-style-type: none"> ・知見の更新に関する説明の追加
解析結果	輸送物の固有振動数					
□	Hz 以上					

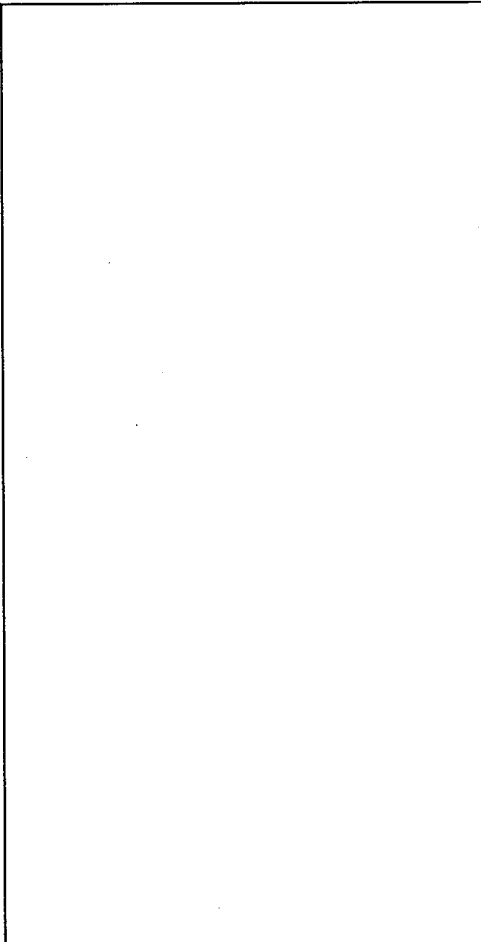
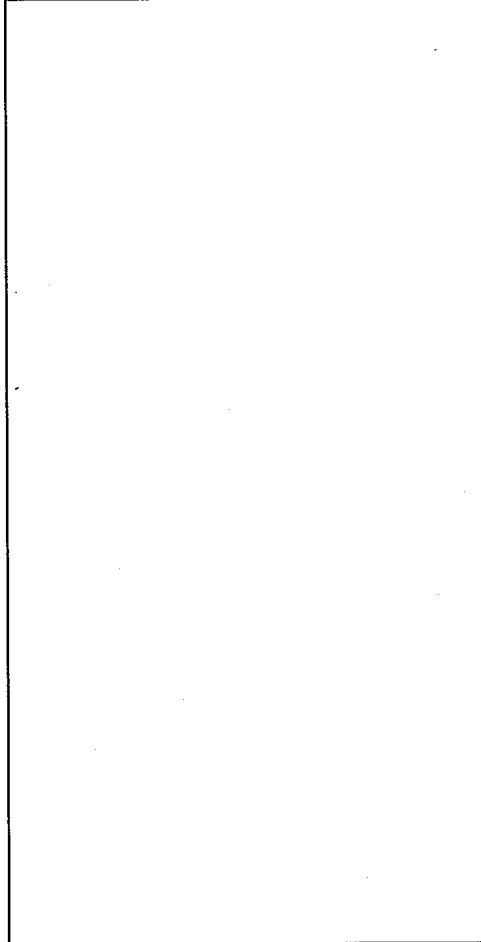
核燃料輸送物設計変更承認申請に係る変更前後表

前回申請書 (平成 30 年 8 月 17 日付三原燃第 18-393 号をもって申請 (平成 31 年 2 月 5 日付三原燃第 18-1013 号をもって一部補正))	今回の核燃料輸送物設計変更承認申請	備考
 <p>(t1) - 第 A. 20 図 解析モデル寸法図 (振動) (単位 : mm)</p> <p>(u) - A - 52</p>	 <p>(t2) - 第 A. 20 図 解析モデル寸法図 (振動) (単位 : mm)</p> <p>(v) - A - 53</p>	<p>-</p>

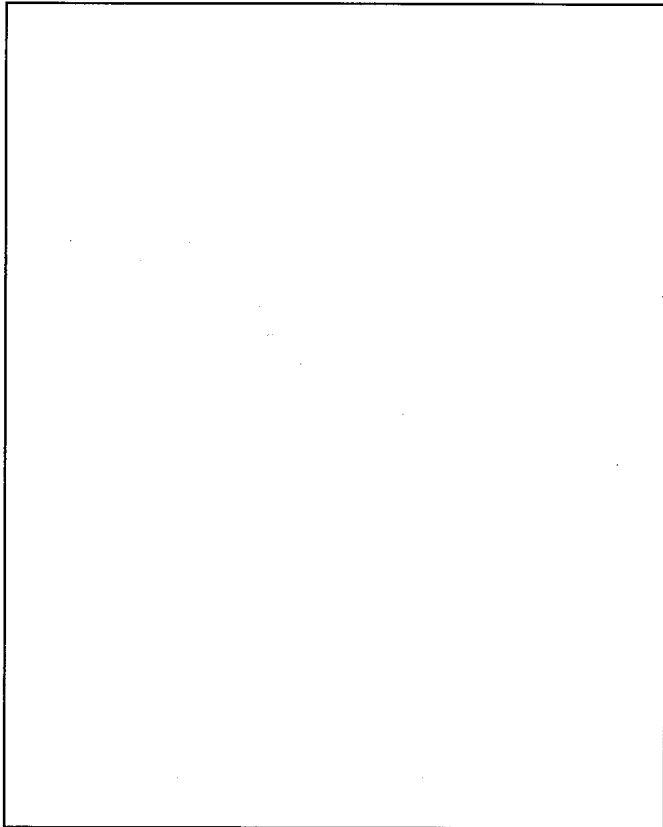
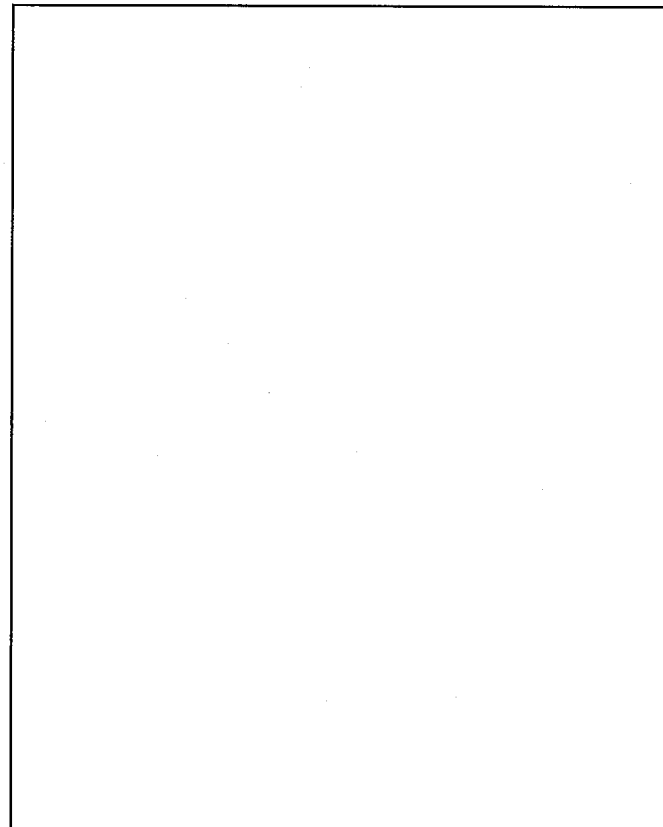
核燃料輸送物設計変更承認申請に係る変更前後表

前回申請書 (平成 30 年 8 月 17 日付三原燃第 18-393 号をもって申請 (平成 31 年 2 月 5 日付三原燃第 18-1013 号をもって一部補正))	今回の核燃料輸送物設計変更承認申請	備考
 (v) - 第 A.21 図 要素分割図 (振動) (v) - A - 53	 (v) - 第 A.21 図 要素分割図 (振動) (v) - A - 54	-

核燃料輸送物設計変更承認申請に係る変更前後表

前回申請書 (平成30年8月17日付三原燃第18-393号をもって申請 (平成31年2月5日付三原燃第18-1013号をもって一部補正))	今回の核燃料輸送物設計変更承認申請	備考
 <p>(a) - A - 54</p> <p>(単位: mm)</p> <p>(a) - 第A.22図 振動の解析における境界条件</p>	 <p>(a) - A - 55</p> <p>(単位: mm)</p> <p>(a) - 第A.22図 振動の解析における境界条件</p>	-

核燃料輸送物設計変更承認申請に係る変更前後表

前回申請書 (平成 30 年 8 月 17 日付三原燃第 18-393 号をもって申請 (平成 31 年 2 月 5 日付三原燃第 18-1013 号をもって一部補正))	今回の核燃料輸送物設計変更承認申請	備考
 (a) - 第 A. 23 図 振動の解析結果 (状態図) (b) - A - 55	 (a) - 第 A. 23 図 振動の解析結果 (状態図) (b) - A - 56	—

核燃料輸送物設計変更承認申請に係る変更前後表

前回申請書 (平成 30 年 8 月 17 日付三原燃第 18-393 号をもって申請 (平成 31 年 2 月 5 日付三原燃第 18-1013 号をもって一部補正))	今回の核燃料輸送物設計変更承認申請	備考
<p>A.5 一般の試験条件</p> <p>A.5.1 热的試験</p> <p>一般的な試験条件における輸送物温度の評価((n) - B熟解析 B.4 一般的な試験条件)では、保守的に太陽放射熱を考慮している。</p> <p>A.5.1.1 温度及び圧力の要約</p> <p>一般的な試験条件における輸送物の温度は(n) - B.4 に示されている。この温度に基づき、本試験における評価基準の対象温度として、全ての部品に対して <input type="text"/> °C を設定する。</p> <p>また、一般的な試験条件における輸送物の内部圧力は <input type="text"/> MPa 絶対圧である。外気圧に変動が生じて外圧が 0.060 MPa に減少した場合でも、最大内外圧力差は <input type="text"/> MPa であることから、本試験では安全側に内外圧力差を <input type="text"/> MPa として評価する。</p> <p>A.5.1.2 热膨張</p> <p>一般的な試験条件における熱膨張により輸送容器各部には熱応力が発生する。</p> <p>容器本体に発生する熱応力については、内圧及びボルトの初期締付け力との荷重の組み合わせを考慮して、A.5.1.3 に記載する。</p> <p>バスケットについては、バスケットと容器本体の熱膨張差に基づく隙間の減少を算定し、拘束による熱応力が生じないことを評価する。</p> <p>(1) 軸方向</p> <p>バスケットと容器本体の胴部の熱膨張差により、軸方向の隙間が減少する。</p> <p>バスケットと容器本体内面の軸方向の隙間 ΔL は以下のように求められる。</p> $\Delta L = (L_1 - L_2) - \{L_2 \times (T_2 - 20) \times \alpha_2 - L_1 \times (T_1 - 20) \times \alpha_1\}$ <p>ここで、L_1 : 容器本体のキャビティ長さ [<input type="text"/> mm]</p> <p>L_2 : バスケットの全長 [<input type="text"/> mm]</p> <p>T_1 : 脇部の温度 [<input type="text"/> °C]</p> <p>T_2 : バスケットの温度 [<input type="text"/> °C]</p> <p>α_1 : 脇部の線膨張係数 [<input type="text"/> / °C (<input type="text"/> °C)]</p> <p>α_2 : バスケットの線膨張係数 [<input type="text"/> / °C (<input type="text"/> °C)]</p> <p>よって、<math>\Delta L = <input type="text"/> mm > 0mm</math></p> <p>となり、軸方向におけるバスケットと容器本体内面間には隙間が存在し、拘束による熱応力は生じない。</p> <p style="text-align: right;">(n) - A - 56</p>	<p>A.5 一般の試験条件</p> <p>A.5.1 热的試験</p> <p>一般的な試験条件における輸送物温度の評価((n) - B熟解析 B.4 一般的な試験条件)では、保守的に太陽放射熱を考慮している。</p> <p>A.5.1.1 温度及び圧力の要約</p> <p>一般的な試験条件における輸送物の温度は(n) - B.4 に示されている。この温度に基づき、本試験における評価基準の対象温度として、全ての部品に対して 70°C を設定する。</p> <p>また、一般的な試験条件における輸送物の内部圧力は <input type="text"/> MPa 絶対圧である。外気圧に変動が生じて外圧が 0.060 MPa に減少した場合でも、最大内外圧力差は <input type="text"/> MPa であることから、本試験では安全側に内外圧力差を <input type="text"/> MPa として評価する。</p> <p>A.5.1.2 热膨張</p> <p>一般的な試験条件における熱膨張により輸送容器各部には熱応力が発生する。</p> <p>容器本体に発生する熱応力については、内圧及びボルトの初期締付け力との荷重の組み合わせを考慮して、A.5.1.3 に記載する。</p> <p>(1) バスケットと容器本体</p> <p>バスケットと容器本体の熱膨張差に基づく隙間の減少を算定し、拘束による熱応力が生じないことを評価する。<small>(なお、拘束側については隙間が逆に大きくなる方向であるため、高温度側についてのみ評価する)</small></p> <p>■ 軸方向</p> <p>バスケットと容器本体の胴部の熱膨張差により、軸方向の隙間が減少する。</p> <p>バスケットと容器本体内面の軸方向の隙間 ΔL は以下のように求められる。</p> $\Delta L = (L_1 - L_2) - \{L_2 \times (T_2 - 70) \times \alpha_2 - L_1 \times (T_1 - 70) \times \alpha_1\}$ <p>ここで、L_1 : 容器本体のキャビティ長さ [<input type="text"/> mm]</p> <p>L_2 : バスケットの全長 [<input type="text"/> mm]</p> <p>T_1 : 基準温度 (20°C)</p> <p>T_2 : 脇部の温度 (70°C)</p> <p>α_1 : 脇部の線膨張係数 [<input type="text"/> / °C (20°C)]</p> <p>α_2 : バスケットの線膨張係数 [<input type="text"/> / °C (70°C)]</p> <p>よって、<math>\Delta L = <input type="text"/> mm > <input type="text"/> mm</math></p> <p>となり、軸方向におけるバスケットと容器本体内面間には隙間が存在し、拘束による</p> <p style="text-align: right;">(n) - A - 57</p>	<ul style="list-style-type: none"> ・記載の適正化 ・知見の更新に関する説明の追加

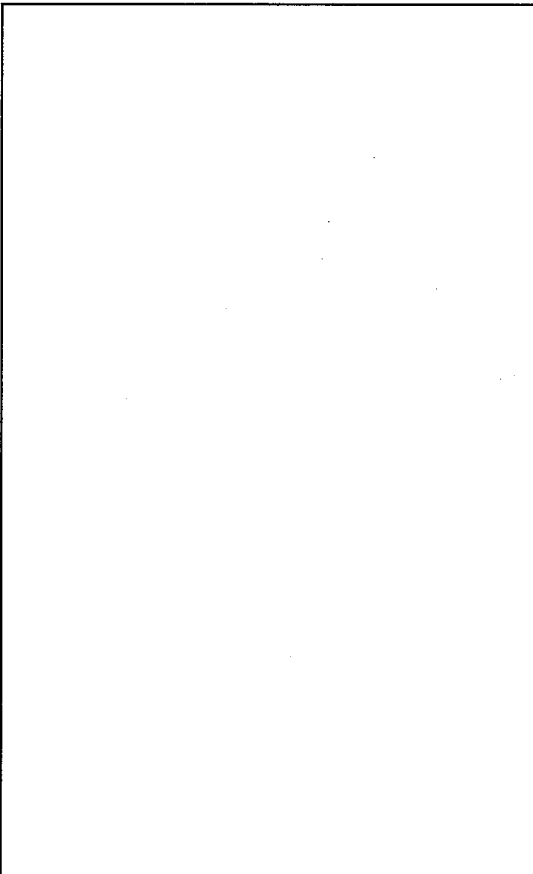
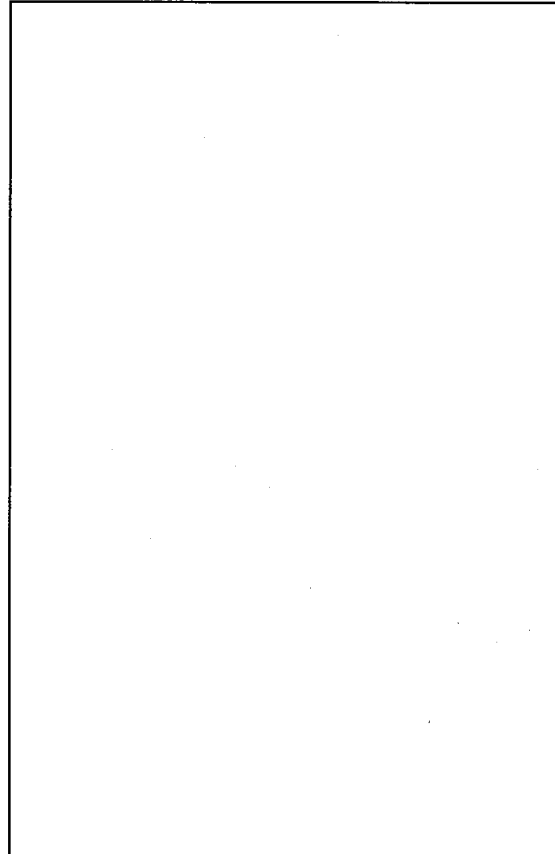
核燃料輸送物設計変更承認申請に係る変更前後表

前回申請書 (平成 30 年 8 月 17 日付三原燃第 18-393 号をもって申請 (平成 31 年 2 月 5 日付三原燃第 18-1013 号をもって一部補正))	今回の核燃料輸送物設計変更承認申請	備考
<p>(2) 半径方向</p> <p>バスケットと容器本体の胴部の熱膨張差により、半径方向の隙間が減少する。</p> <p>容器本体の内径とバスケット外径はそれぞれ以下の寸法となっている。</p> <ul style="list-style-type: none"> 容器本体の内径 : <input type="text"/> mm バスケットの外径 : <input type="text"/> mm <p>よって、容器本体の内径の最小値 D_1 とバスケットの外径の最大値 D_2 は次のようになる。</p> <ul style="list-style-type: none"> $D_1 = \boxed{} \text{ mm}$ $D_2 = \boxed{} \text{ mm}$ <p>容器本体内面とバスケット外面の隙間 $\angle D$ は以下のように求められる。</p> $\angle D = (D_1 - D_2) + [D_1 \times (T_1 - 20) \times \alpha_1 - D_2 \times (T_2 - 20) \times \alpha_2]$ <p>ここで、 T_1 : 脇部の温度 [<input type="text"/> °C] T_2 : バスケットの温度 [<input type="text"/> °C] α_1 : 脇部の線膨張係数 [<input type="text"/> °C / <input type="text"/> °C] α_2 : バスケットの線膨張係数 [<input type="text"/> °C / <input type="text"/> °C]</p> <p>よって、 $\angle D = \boxed{} \text{ mm} > 0 \text{ mm}$</p> <p>となり、半径方向における容器本体内面とバスケット外面の間には隙間が存在し、拘束による熱応力は生じない。</p> <p>A.5.1.3 応力計算</p> <p>一般の試験条件の熱的試験における容器本体各部に発生する応力の計算を行う。</p> <p>収納物の発熱は無視できるが、太陽放射による入熱によって輸送物の温度が上昇するため、温度上昇に伴って容器本体の部品間に熱膨張差が生じて熱応力が発生する。</p> <p>本項では内圧及びボルトの初期締付け力による一次応力と、部品間の熱膨張差を考慮した（一次+二次）応力について、解析コード ABAQUS を用いて求める。</p> <p>(1) 解析モデル</p> <p>解析モデルとして、容器本体の <input type="text"/> 3 次元モデルを用いる <input type="text"/> 。</p> <p>当該モデルは、本体（上部フランジ、内筒、胴ガセット、胴外板及び底板）と蓋部（蓋板及び蓋板締付けボルト）で構成されており、蓋板は蓋板締付けボルトを介して上部フランジに接続され、蓋板と上部フランジの接触が考慮されている。</p> <p>(a) - A - 57</p>	<p>熱応力は生じない。</p> <p>(2) 半径方向</p> <p>バスケットと容器本体の胴部の熱膨張差により、半径方向の隙間が減少する。</p> <p>容器本体の内径とバスケット外径はそれぞれ以下の寸法となっている。</p> <ul style="list-style-type: none"> 容器本体の内径 : <input type="text"/> mm バスケットの外径 : <input type="text"/> mm <p>よって、容器本体の内径の最小値 D_1 とバスケットの外径の最大値 D_2 は次のようになる。</p> <ul style="list-style-type: none"> $D_1 = \boxed{} \text{ mm}$ $D_2 = \boxed{} \text{ mm}$ <p>容器本体内面とバスケット外面の隙間 $\angle D$ は以下のように求められる。</p> $\angle D = (D_1 - D_2) + [D_1 \times (T_1 - 20) \times \alpha_1 - D_2 \times (T_2 - 20) \times \alpha_2]$ <p>ここで、 T_1 : 基準温度 [<input type="text"/> 20 °C] T_2 : 脇部の温度 [<input type="text"/> 70 °C] α_1 : 脇部の線膨張係数 [<input type="text"/> °C / <input type="text"/> °C (70°C)] α_2 : バスケットの線膨張係数 [<input type="text"/> °C / <input type="text"/> °C (70°C)]</p> <p>よって、 $\angle D = \boxed{} \text{ mm} > \boxed{} \text{ mm}$</p> <p>となり、半径方向における容器本体内面とバスケット外面の間には隙間が存在し、拘束による熱応力は生じない。</p> <p>（参考）上記 T_1（基準温度）を輸送中に予想される最低温度である -40°C と仮定した場合であっても、バスケットと容器本体間に隙間が存在し、拘束による熱応力は生じない。 (付属書類-9 参照)</p> <p>(2) 収納物と輸送容器</p> <p>本輸送物の収納物は、燃料集合体及び収納缶である。</p> <p>収納缶と輸送容器の蓋板表面に亘つて隙間の減少については、軸方向では、収納缶と容器本体との間の隙間が減少する可能性があり、また、断面方向では、収納缶とプロテクトの間の隙間が減少する可能性があるが、それぞれの初期隙間は <input type="text"/> mm 及び <input type="text"/> mm と十分大きいため、拘束による熱応力が生じることはない。</p> <p>収納物である燃料集合体と収納缶の熱膨張に基づく隙間については、温度上昇に伴い大きくなるため、拘束による熱応力が生じることはない。</p> <p>(a) - A - 58</p>	<ul style="list-style-type: none"> 記載の適正化 知見の更新に関する説明の追加

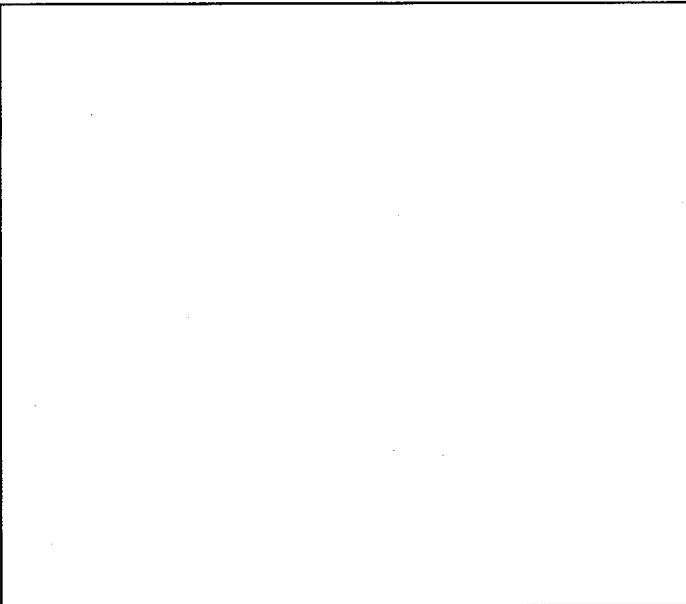
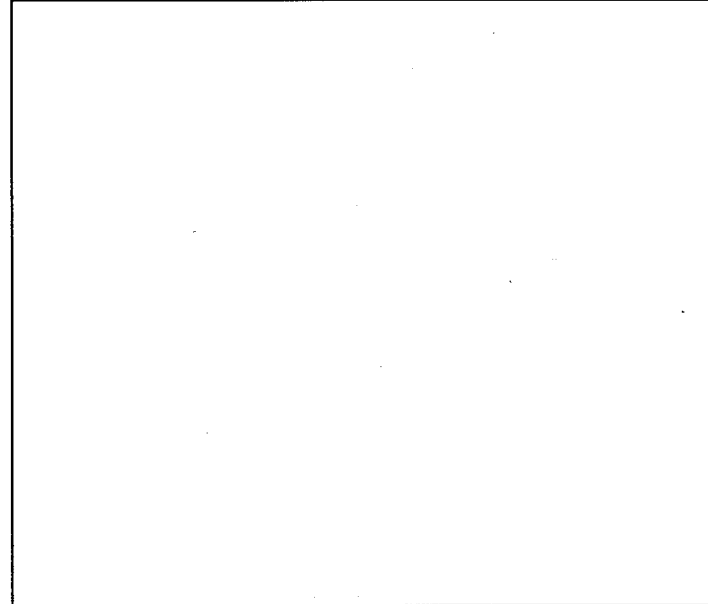
核燃料輸送物設計変更承認申請に係る変更前後表

前回申請書 (平成 30 年 8 月 17 日付三原燃第 18-393 号をもって申請 (平成 31 年 2 月 5 日付三原燃第 18-1013 号をもって一部補正))	今回の核燃料輸送物設計変更承認申請	備考
<p>解析モデルの寸法及び要素分割図を(a) 第 A. 24 図及び(b) 第 A. 25 図に示す。</p> <p>(2) 荷重条件及び境界条件</p> <p>a. 荷重条件</p> <p>一次応力の算出にあたり、容器本体内面に [] MPa を負荷し、蓋板締付けボルトには以下に示す初期締付けによる軸力を作用させる。</p> <p>初期締付けトルクによる軸力 F は次式で与えられる。</p> $F = T \times \frac{1}{0.2 d}$ <p>ここで、T : 初期締付けトルク [] N·mm] d : ボルトの呼び径 [] mm]</p> <p>よって、F=2.36×10⁶ N</p> <p>次に、(一次+二次) 応力の算出にあたり、解析モデル全体に一般的試験条件の温度(70°C)を与える。</p> <p>b. 境界条件</p> <p>底板中央の輻方向変位、中心軸の半径方向変位、対称面の周方向変位を拘束する。</p> <p>(3) 解析結果</p> <p>(一次+二次) 応力の算出における変形図及び応力分布図をそれぞれ(a) 第 A. 26 図及び(b) 第 A. 27 図に示す。</p> <p>(a) 第 A. 28 図に示す評価位置について、一次応力の評価結果を(a) 第 A. 10 表に、(一次+二次) 応力の評価結果を(b) 第 A. 11 表に示す。同表に示すように容器本体に発生する応力はいずれも評価基準を下回っており、一般的試験条件の熱的試験により輸送物が影響を受けることはない。</p>	<p>なお、安全側に-40°C 及び 70°C を基準として運転中に温度が変化することを想定したとしても、上記部材間に十分な隙間があり、拘束による熱応力が生じないことを確認している。(付属書類-9 参照)</p> <p>A. 5.1.3 応力計算</p> <p>一般的試験条件の熱的試験における容器本体各部に発生する応力の計算を行う。</p> <p>収納物の発熱は無視できるが、太陽放射による入熱によって輸送物の温度が上昇するため、温度上昇に伴って容器本体の部品間に熱膨張差が生じて熱応力が発生する。</p> <p>本項では内圧及びボルトの初期締付け力による一次応力と、部品間の熱膨張差を考慮した(一次+二次) 応力について、解析コード ABAQUS を用いて求める。</p> <p>(1) 解析モデル</p> <p>解析モデルとして、容器本体の [] 3 次元モデルを用いる []。</p> <p>当該モデルは、本体(上部フランジ、内筒、胴ガセット、胴外板及び底板)と蓋部(蓋板及び蓋板締付けボルト)で構成されており、蓋板は蓋板締付けボルトを介して上部フランジに接続され、蓋板と上部フランジの接触が考慮されている。</p> <p>解析モデルの寸法及び要素分割図を(a) 第 A. 24 図及び(b) 第 A. 25 図に示す。</p> <p>(2) 荷重条件及び境界条件</p> <p>a. 荷重条件</p> <p>一次応力の算出にあたり、容器本体内面に [] MPa を負荷し、蓋板締付けボルトには以下に示す初期締付けによる軸力を作用させる。</p> <p>初期締付けトルクによる軸力 F は次式で与えられる。</p> $F = T \times \frac{1}{0.2 d}$ <p>ここで、T : 初期締付けトルク [] N·mm] d : ボルトの呼び径 [] mm]</p> <p>よって、F=2.36×10⁶ N</p> <p>次に、(一次+二次) 応力の算出にあたり、解析モデル全体に一般的試験条件の温度(70°C)を与える。</p>	<ul style="list-style-type: none"> ・知見の更新に関する説明の追加

核燃料輸送物設計変更承認申請に係る変更前後表

前回申請書 (平成 30 年 8 月 17 日付三原燃第 18-393 号をもって申請 (平成 31 年 2 月 5 日付三原燃第 18-1013 号をもって一部補正))	今回の核燃料輸送物設計変更承認申請	備考
 <p>(a) - A - 59</p> <p>(単位 : mm)</p> <p>(n) - 第 A. 24 図 解析モデル寸法図 (一様の試験条件の熱的試験)</p>	 <p>(a) - A - 60</p> <p>(単位 : mm)</p> <p>(n) - 第 A. 24 図 解析モデル寸法図 (一様の試験条件の熱的試験)</p>	—

核燃料輸送物設計変更承認申請に係る変更前後表

前回申請書 (平成 30 年 8 月 17 日付三原燃第 18-393 号をもって申請 (平成 31 年 2 月 5 日付三原燃第 18-1013 号をもって一部補正))	今回の核燃料輸送物設計変更承認申請	備考
 (v) - 第 A. 25 図 要素分割図（一般的試験条件の熱的試験） (v) - A - 60	 (v) - 第 A. 25 図 要素分割図（一般的試験条件の熱的試験） (v) - A - 61	一

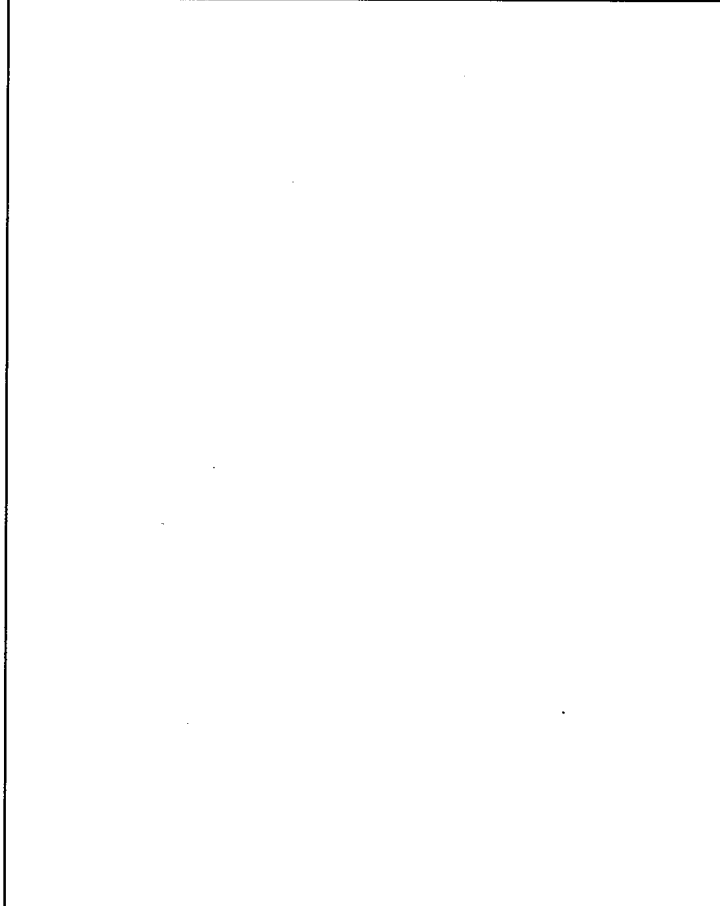
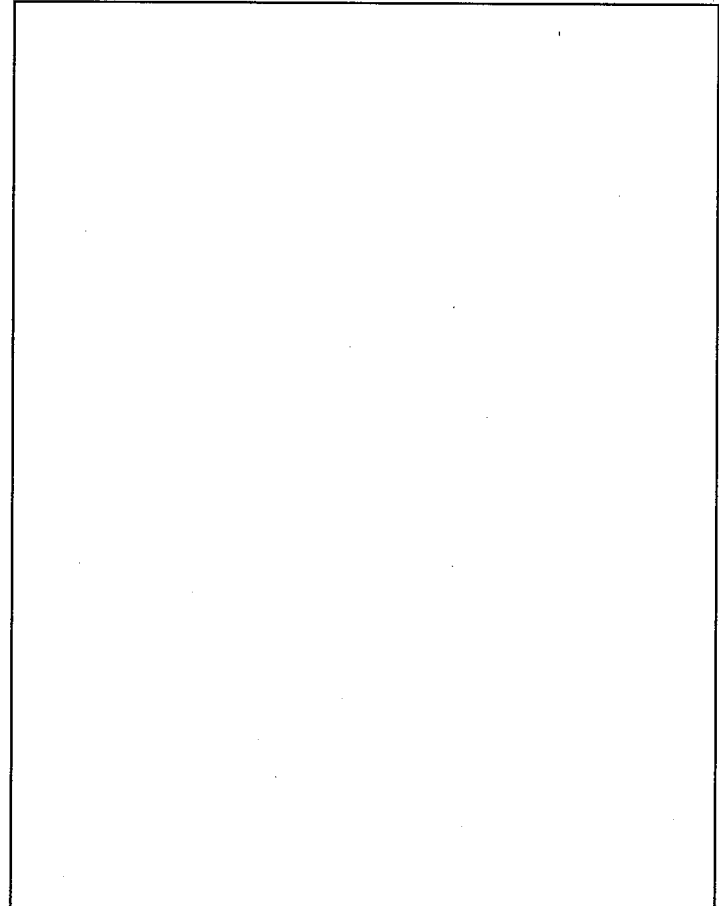
核燃料輸送物設計変更承認申請に係る変更前後表

前回申請書 (平成 30 年 8 月 17 日付三原燃第 18-393 号をもって申請 (平成 31 年 2 月 5 日付三原燃第 18-1013 号をもって一部補正))	今回の核燃料輸送物設計変更承認申請	備考
	<p>b. 境界条件 底板中央の軸方向変位、中心軸の半径方向変位、対称面の周方向変位を拘束する。</p> <p>(3) 解析結果 (一次+二次) 応力の算出における変形図及び応力分布図をそれぞれ<u>(a)一第 A. 26</u>図及び<u>(b)一第 A. 27</u>図に示す。 <u>(a)一第 A. 28</u>図に示す評価位置について、一次応力の評価結果を<u>(a)一第 A. 10</u>表に、 (一次+二次) 応力の評価結果を<u>(b)一第 A. 11</u>表に示す。同表に示すように容器本体に発生する応力はいずれも評価基準を下回っており、<u>合流部の信頼性確認書類提出</u>を省略する。 また、蓋板ガスケット取付部における開き変形量は、ガスケットの初期開き角度(約 2 度)より 0.1 分の 1 度、高炉内面に影響を及ぼさない。(付箋書類-10-330)</p>	<ul style="list-style-type: none"> ・知見の更新に関する説明の追加

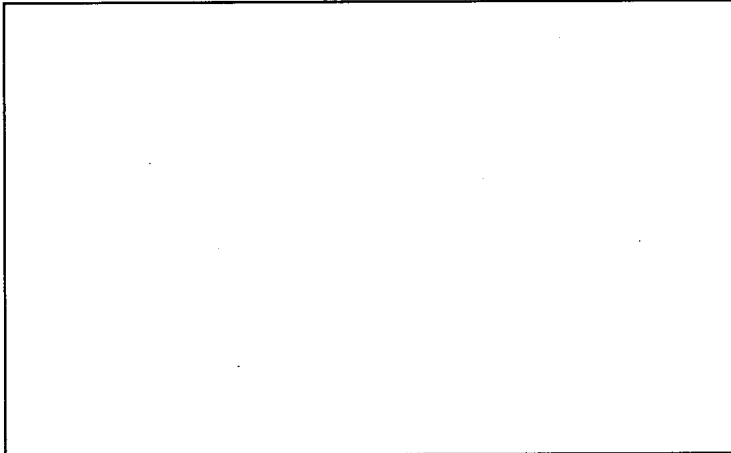
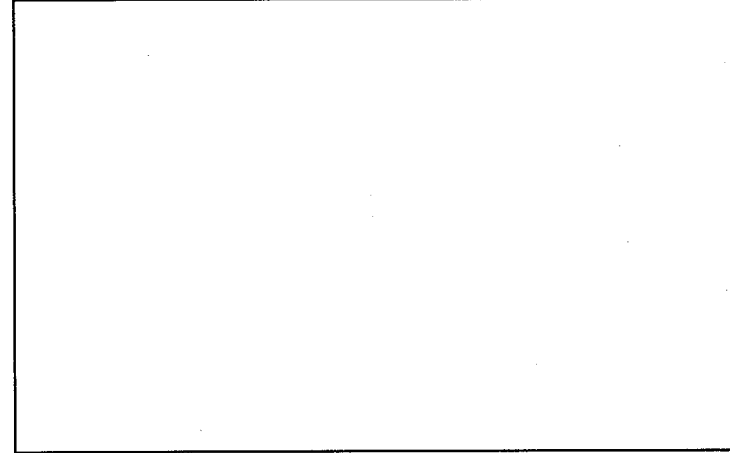
核燃料輸送物設計変更承認申請に係る変更前後表

前回申請書 (平成30年8月17日付三原燃第18-393号をもって申請 (平成31年2月5日付三原燃第18-1013号をもって一部補正))	今回の核燃料輸送物設計変更承認申請	備考
		—
<p>(v) - 第A.26図 一般の試験条件の熱的試験の解析結果 (変形図) </p> <p>(v) - 第A.27図 一般の試験条件の熱的試験の解析結果 (応力分布図<トレスカの応力強さ>) (1/2)</p> <p>(v) - A-61</p>	<p>(v) - 第A.26図 一般の試験条件の熱的試験の解析結果 (変形図) </p> <p>(v) - 第A.27図 一般の試験条件の熱的試験の解析結果 (応力分布図<トレスカの応力強さ>) (1/2)</p> <p>(v) - A-63</p>	

核燃料輸送物設計変更承認申請に係る変更前後表

前回申請書 (平成 30 年 8 月 17 日付三原燃第 18-393 号をもって申請 (平成 31 年 2 月 5 日付三原燃第 18-1013 号をもって一部補正))	今回の核燃料輸送物設計変更承認申請	備考
 (v) - 第 A. 27 図 一般の試験条件の熱的試験の解析結果 (応力分布図(トレスカの応力強さ)) (2/2) (v) - A - 62	 (v) - 第 A. 27 図 一般の試験条件の熱的試験の解析結果 (応力分布図(トレスカの応力強さ)) (2/2) (v) - A - 64	—

核燃料輸送物設計変更承認申請に係る変更前後表

前回申請書 (平成30年8月17日付三原燃第18-393号をもって申請 (平成31年2月5日付三原燃第18-1013号をもって一部補正))	今回の核燃料輸送物設計変更承認申請	備考
 (v) - 第A.28図 一般の試験条件の熱的試験における応力評価位置 (a) - A - 63	 (v) - 第A.28図 一般の試験条件の熱的試験における応力評価位置 (v) - A - 65	一

核燃料輸送物設計変更承認申請に係る変更前後表

前回申請書 (平成 30 年 8 月 17 日付三原燃第 18-393 号をもって申請 (平成 31 年 2 月 5 日付三原燃第 18-1013 号をもって一部補正))	今回の核燃料輸送物設計変更承認申請	備考																																																																																																																																								
<p>(a) - 第 A. 10 表 一般の試験条件の熱的試験における容器本体各部の 一次応力に関する応力評価結果</p> <table border="1"> <thead> <tr> <th>評価位置</th> <th>応力分類¹⁾</th> <th>応力強さ (MPa)</th> <th>評価基準²⁾ (MPa)</th> <th>余裕率 (MS)</th> </tr> </thead> <tbody> <tr> <td rowspan="2">蓋 板</td> <td>①</td> <td>Pm</td> <td></td> <td></td> </tr> <tr> <td></td> <td>PL+Pb</td> <td></td> <td></td> </tr> <tr> <td rowspan="3">胴外板</td> <td>②</td> <td>PL</td> <td></td> <td></td> </tr> <tr> <td>③</td> <td>PL</td> <td></td> <td></td> </tr> <tr> <td>④</td> <td>Pm</td> <td></td> <td></td> </tr> <tr> <td rowspan="3">内 筒</td> <td>⑤</td> <td>PL</td> <td></td> <td></td> </tr> <tr> <td>⑥</td> <td>PL</td> <td></td> <td></td> </tr> <tr> <td>⑦</td> <td>Pm</td> <td></td> <td></td> </tr> <tr> <td rowspan="3">胴ガセット</td> <td>⑧</td> <td>PL</td> <td></td> <td></td> </tr> <tr> <td>⑨</td> <td>PL</td> <td></td> <td></td> </tr> <tr> <td>⑩</td> <td>PL</td> <td></td> <td></td> </tr> <tr> <td rowspan="3">底 板</td> <td>⑪</td> <td>PL</td> <td></td> <td></td> </tr> <tr> <td>⑫</td> <td>PL</td> <td></td> <td></td> </tr> <tr> <td>⑬</td> <td>Pm</td> <td></td> <td></td> </tr> <tr> <td></td> <td>PL+Pb</td> <td></td> <td></td> </tr> </tbody> </table> <p>注 1) Pm: 一次一般膜応力強さ、PL: 一次局部膜応力強さ、Pb: 一次曲げ応力強さ 注 2) 評価基準は、Pm に対して、Min. ($\frac{1}{3}$ Su, $\frac{2}{3}$ Sy)、PL 及び PL+Pb に対して $1.5 \times \text{Min. } (\frac{1}{3}$ Su, $\frac{2}{3}$ Sy)、密封シール部に対して Sy</p>	評価位置	応力分類 ¹⁾	応力強さ (MPa)	評価基準 ²⁾ (MPa)	余裕率 (MS)	蓋 板	①	Pm				PL+Pb			胴外板	②	PL			③	PL			④	Pm			内 筒	⑤	PL			⑥	PL			⑦	Pm			胴ガセット	⑧	PL			⑨	PL			⑩	PL			底 板	⑪	PL			⑫	PL			⑬	Pm				PL+Pb			<p>(a) - 第 A. 10 表 一般の試験条件の熱的試験における容器本体各部の 一次応力に関する応力評価結果</p> <table border="1"> <thead> <tr> <th>評価位置</th> <th>応力分類¹⁾</th> <th>応力強さ (MPa)</th> <th>評価基準²⁾ (MPa)</th> <th>余裕率 (MS)</th> </tr> </thead> <tbody> <tr> <td rowspan="2">蓋 板</td> <td>①</td> <td>Pm</td> <td></td> <td></td> </tr> <tr> <td></td> <td>PL+Pb</td> <td></td> <td></td> </tr> <tr> <td rowspan="3">胴外板</td> <td>②</td> <td>PL</td> <td></td> <td></td> </tr> <tr> <td>③</td> <td>PL</td> <td></td> <td></td> </tr> <tr> <td>④</td> <td>Pm</td> <td></td> <td></td> </tr> <tr> <td rowspan="3">内 筒</td> <td>⑤</td> <td>PL</td> <td></td> <td></td> </tr> <tr> <td>⑥</td> <td>PL</td> <td></td> <td></td> </tr> <tr> <td>⑦</td> <td>Pm</td> <td></td> <td></td> </tr> <tr> <td rowspan="3">胴ガセット</td> <td>⑧</td> <td>PL</td> <td></td> <td></td> </tr> <tr> <td>⑨</td> <td>PL</td> <td></td> <td></td> </tr> <tr> <td>⑩</td> <td>PL</td> <td></td> <td></td> </tr> <tr> <td rowspan="3">底 板</td> <td>⑪</td> <td>PL</td> <td></td> <td></td> </tr> <tr> <td>⑫</td> <td>Pm</td> <td></td> <td></td> </tr> <tr> <td>⑬</td> <td>PL+Pb</td> <td></td> <td></td> </tr> </tbody> </table> <p>注 1) Pm: 一次一般膜応力強さ、PL: 一次局部膜応力強さ、Pb: 一次曲げ応力強さ 注 2) 評価基準は、Pm に対して、Min. ($\frac{1}{3}$ Su, $\frac{2}{3}$ Sy)、PL 及び PL+Pb に対して $1.5 \times \text{Min. } (\frac{1}{3}$ Su, $\frac{2}{3}$ Sy)、密封シール部に対して Sy</p>	評価位置	応力分類 ¹⁾	応力強さ (MPa)	評価基準 ²⁾ (MPa)	余裕率 (MS)	蓋 板	①	Pm				PL+Pb			胴外板	②	PL			③	PL			④	Pm			内 筒	⑤	PL			⑥	PL			⑦	Pm			胴ガセット	⑧	PL			⑨	PL			⑩	PL			底 板	⑪	PL			⑫	Pm			⑬	PL+Pb			
評価位置	応力分類 ¹⁾	応力強さ (MPa)	評価基準 ²⁾ (MPa)	余裕率 (MS)																																																																																																																																						
蓋 板	①	Pm																																																																																																																																								
		PL+Pb																																																																																																																																								
胴外板	②	PL																																																																																																																																								
	③	PL																																																																																																																																								
	④	Pm																																																																																																																																								
内 筒	⑤	PL																																																																																																																																								
	⑥	PL																																																																																																																																								
	⑦	Pm																																																																																																																																								
胴ガセット	⑧	PL																																																																																																																																								
	⑨	PL																																																																																																																																								
	⑩	PL																																																																																																																																								
底 板	⑪	PL																																																																																																																																								
	⑫	PL																																																																																																																																								
	⑬	Pm																																																																																																																																								
	PL+Pb																																																																																																																																									
評価位置	応力分類 ¹⁾	応力強さ (MPa)	評価基準 ²⁾ (MPa)	余裕率 (MS)																																																																																																																																						
蓋 板	①	Pm																																																																																																																																								
		PL+Pb																																																																																																																																								
胴外板	②	PL																																																																																																																																								
	③	PL																																																																																																																																								
	④	Pm																																																																																																																																								
内 筒	⑤	PL																																																																																																																																								
	⑥	PL																																																																																																																																								
	⑦	Pm																																																																																																																																								
胴ガセット	⑧	PL																																																																																																																																								
	⑨	PL																																																																																																																																								
	⑩	PL																																																																																																																																								
底 板	⑪	PL																																																																																																																																								
	⑫	Pm																																																																																																																																								
	⑬	PL+Pb																																																																																																																																								

核燃料輸送物設計変更承認申請に係る変更前後表

前回申請書 (平成30年8月17日付三原燃第18-393号をもって申請 (平成31年2月5日付三原燃第18-1013号をもって一部補正))	今回の核燃料輸送物設計変更承認申請	備考																																																								
<p>(a) - 第A.11表 一般の試験条件の熱的試験における容器本体各部の (一次+二次)応力に関する応力評価結果</p> <table border="1"> <thead> <tr> <th>評価位置</th> <th>応力強さ (MPa)</th> <th>評価基準¹⁾ (MPa)</th> <th>余裕率 (MS)</th> </tr> </thead> <tbody> <tr> <td>蓋板</td> <td>① ②</td> <td></td> <td></td> </tr> <tr> <td>胴外板</td> <td>③ ④ ⑤</td> <td></td> <td></td> </tr> <tr> <td>内筒</td> <td>⑥ ⑦ ⑧</td> <td></td> <td></td> </tr> <tr> <td>胴ガセット</td> <td>⑨ ⑩ ⑪</td> <td></td> <td></td> </tr> <tr> <td>底板</td> <td>⑫ ⑬</td> <td></td> <td></td> </tr> <tr> <td>蓋板締付けボルト</td> <td>σm σm+σb</td> <td></td> <td></td> </tr> </tbody> </table> <p>注1) (一次+二次)応力に対して $3 \times \min(\frac{1}{3}S_u, \frac{2}{3}S_y)$、密封シール部に対して S_y 蓋板締付けボルトの σ_m に対して $\frac{2}{3}S_y$、 $\sigma_m + \sigma_b$ に対して S_y</p>	評価位置	応力強さ (MPa)	評価基準 ¹⁾ (MPa)	余裕率 (MS)	蓋板	① ②			胴外板	③ ④ ⑤			内筒	⑥ ⑦ ⑧			胴ガセット	⑨ ⑩ ⑪			底板	⑫ ⑬			蓋板締付けボルト	σm σm+σb			<p>(a) - 第A.11表 一般の試験条件の熱的試験における容器本体各部の (一次+二次)応力に関する応力評価結果</p> <table border="1"> <thead> <tr> <th>評価位置</th> <th>応力強さ (MPa)</th> <th>評価基準¹⁾ (MPa)</th> <th>余裕率 (MS)</th> </tr> </thead> <tbody> <tr> <td>蓋板</td> <td>① ②</td> <td></td> <td></td> </tr> <tr> <td>胴外板</td> <td>③ ④ ⑤</td> <td></td> <td></td> </tr> <tr> <td>内筒</td> <td>⑥ ⑦ ⑧</td> <td></td> <td></td> </tr> <tr> <td>胴ガセット</td> <td>⑨ ⑩ ⑪</td> <td></td> <td></td> </tr> <tr> <td>底板</td> <td>⑫ ⑬</td> <td></td> <td></td> </tr> <tr> <td>蓋板締付けボルト</td> <td>σm σm+σb</td> <td></td> <td></td> </tr> </tbody> </table> <p>注1) (一次+二次)応力に対して $3 \times \min(\frac{1}{3}S_u, \frac{2}{3}S_y)$、密封シール部に対して S_y 蓋板締付けボルトの σ_m に対して $\frac{2}{3}S_y$、 $\sigma_m + \sigma_b$ に対して S_y</p>	評価位置	応力強さ (MPa)	評価基準 ¹⁾ (MPa)	余裕率 (MS)	蓋板	① ②			胴外板	③ ④ ⑤			内筒	⑥ ⑦ ⑧			胴ガセット	⑨ ⑩ ⑪			底板	⑫ ⑬			蓋板締付けボルト	σm σm+σb			
評価位置	応力強さ (MPa)	評価基準 ¹⁾ (MPa)	余裕率 (MS)																																																							
蓋板	① ②																																																									
胴外板	③ ④ ⑤																																																									
内筒	⑥ ⑦ ⑧																																																									
胴ガセット	⑨ ⑩ ⑪																																																									
底板	⑫ ⑬																																																									
蓋板締付けボルト	σm σm+σb																																																									
評価位置	応力強さ (MPa)	評価基準 ¹⁾ (MPa)	余裕率 (MS)																																																							
蓋板	① ②																																																									
胴外板	③ ④ ⑤																																																									
内筒	⑥ ⑦ ⑧																																																									
胴ガセット	⑨ ⑩ ⑪																																																									
底板	⑫ ⑬																																																									
蓋板締付けボルト	σm σm+σb																																																									

核燃料輸送物設計変更承認申請に係る変更前後表

前回申請書 (平成 30 年 8 月 17 日付三原燃第 18-393 号をもって申請 (平成 31 年 2 月 5 日付三原燃第 18-1013 号をもって一部補正))	今回の核燃料輸送物設計変更承認申請	備考
<p>(4) 疲労評価</p> <p>蓋板締付けボルトに生じる応力について、応力集中を考慮した繰返し応力強さによる許容繰返し回数と想定される繰返し回数を比較して評価を行う。</p> <p>a. 繰返しピーク応力強さ</p> $S_a = S \times K_t \times (2.07 \times 10^6 / E_t) / 2$ <p>ここで、 S_a : 繰返しピーク応力強さ (MPa)</p> $S : \text{蓋板締付けボルトの応力強さ (応力の変動幅) } [\square \text{ MPa}]$ $K_t : \text{応力集中係数 } [4 \text{ (ボルトのネジ部に対する最大値)}]^{[6]}$ $E_t : \text{材料の使用温度における継続性係数 } [\square \text{ MPa } (\square \text{ C})]$ <p>したがって、</p> $S_a = \boxed{\square} \text{ MPa}$ <p>b. 許容繰返し回数</p> <p>A.10.1 付属書類-1 (n)-第一A付.1.2 図に示す高張力ボルトの設計疲れ線図より、 S_a ($\boxed{\square}$ MPa)に対する許容繰返し回数 N_a は、</p> $N_a = \boxed{\square} \text{ 回}$ <p>となり、想定される輸送容器の使用回数に比べて許容繰返し回数は十分に大きく、蓋板締付けボルトは十分な疲労強度を有している。</p> <p>A.5.1.4 許容応力との比較</p> <p>(n)-第一A.10 表及び(n)-第一A.11 表に示すように、輸送容器に発生する応力に対する評価基準の余裕率は正であり、一般の試験条件の熱的試験における本輸送物の健全性は維持される。</p> <p>(n)-A-66</p>	<p>(4) 疲労評価</p> <p>一般的の試験条件の熱的試験においては、(n)-第一A.10 表あるVは(n)-第一A.11 表と同様に、容器本体部品のうち初期荷重による荷重を受ける蓋板締付けボルトの初期の高い応力を示しているため、蓋板締付けボルトに生じる応力について、応力集中を考慮した繰返し応力強さによる許容繰返し回数と想定される繰返し回数を比較して評価を行う。</p> <p>a. 繰返しピーク応力強さ</p> $S_a = S \times K_t \times (2.07 \times 10^6 / E_t) / 2$ <p>ここで、 S_a : 繰返しピーク応力強さ (MPa)</p> $S : \text{蓋板締付けボルトの応力強さ (応力の変動幅) } [\square \text{ MPa}]$ $K_t : \text{応力集中係数 } [4 \text{ (ボルトのネジ部に対する最大値)}]^{[6]}$ $E : \text{材料の使用温度における継続性係数 } [\square \text{ MPa } (70\text{C})]$ <p>したがって、</p> $S_a = \boxed{\square} \text{ MPa}$ <p>b. 許容繰返し回数</p> <p>A.10.1 付属書類-1 (n)-第一A.付.1.2 図に示す高張力ボルトの設計疲れ線図より、 S_a ($\boxed{\square}$ MPa)に対する許容繰返し回数 N_a は、</p> $N_a = \boxed{\square} \text{ 回}$ <p>となる。実作業での輸送 1 回当たりの蓋板締付けボルトの繰り回数は 2 回程度である。 したがって、許容繰返し回数 N_a は、想定される繰り回数は、輸送容器の使用予定期間(200 回)より 8 倍となる。したがって、許容繰返し回数 N_a は、想定される繰り回数より大きく、蓋板締付けボルトは十分な疲労強度を有している。</p> <p>一方、輸送中に周囲温度及び外圧が変化する場合、内圧 (内外圧差) が変動する。本作業は圧力による荷重を繰り返し受ける。 そこで、一般的の試験条件の温度及び圧力の条件に基づいて、温度が -10°C から 70°C、外圧が 0.060 MPa から $\boxed{\square}$ MPa の間で変化すると仮定し、密封境界を構成する容器本体各部品に発生する応力の変動幅から、各部品における許容繰返し回数を算めた。 その結果、許容繰返し回数は 10^6 回以上と評価された。一方、繰り回数は、使用予定期間 (50 年) の期間、一日に 1 回内圧 (内外圧差) が変動すると想定すると、10^6 回 ($1 \text{ 回} \times 365 \text{ 日} \times 50 \text{ 年} = 1.8 \times 10^6$ 回を包含する回数) となる。</p> <p>(n)-A-68</p>	<ul style="list-style-type: none"> 記載の適正化 輸送中に想定される輸送容器の内圧変化に対する疲労評価の追加

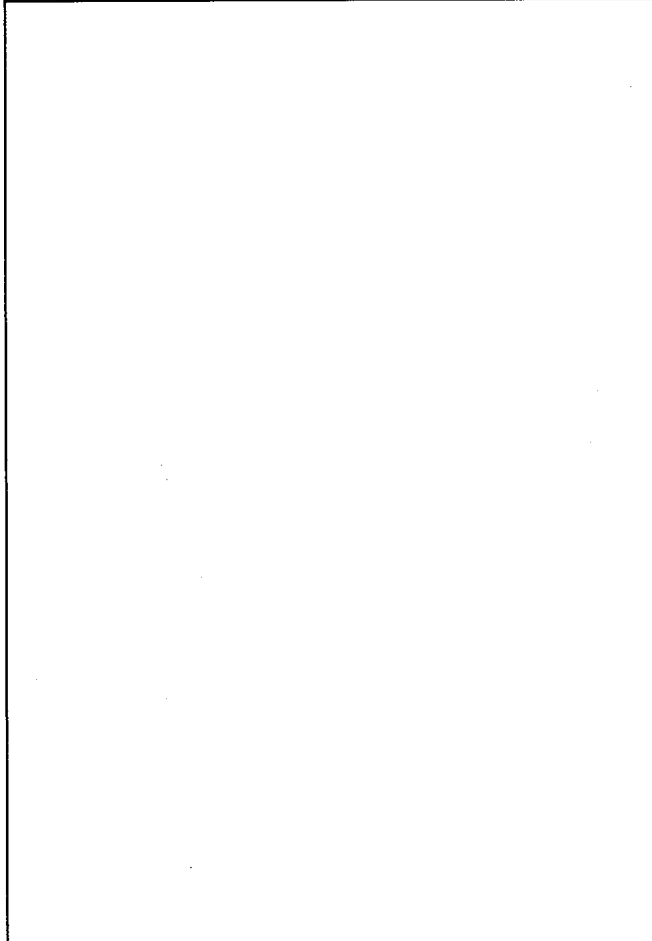
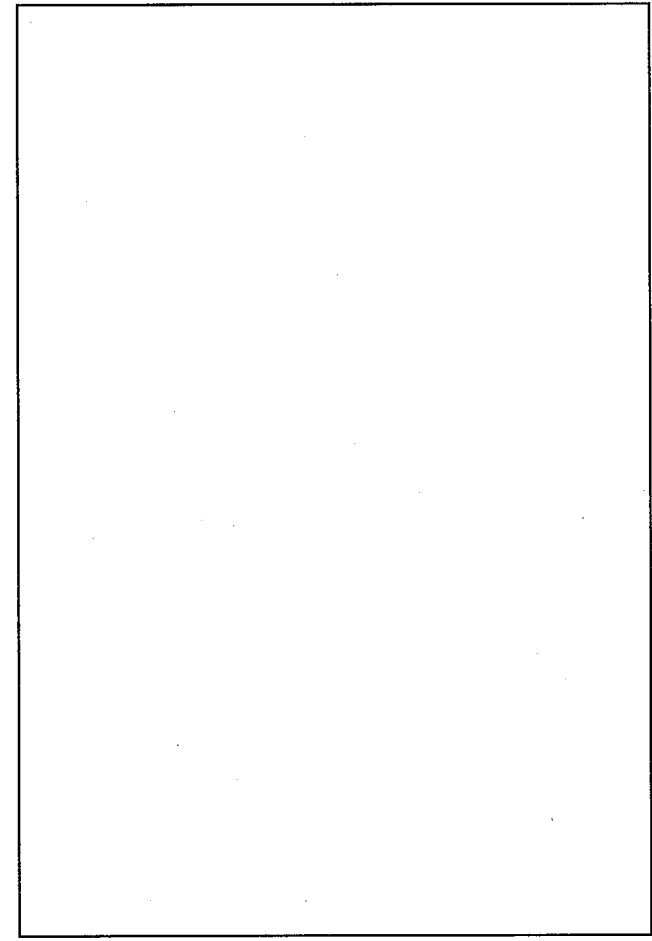
核燃料輸送物設計変更承認申請に係る変更前後表

前回申請書 (平成 30 年 8 月 17 日付三原燃第 18-393 号をもって申請 (平成 31 年 2 月 5 日付三原燃第 18-1013 号をもって一部補正))	今回の核燃料輸送物設計変更承認申請	備考
<p>A.5.2 水噴霧</p> <p>輸送容器の外面は、ステンレス鋼あるいは塗装されたステンレス鋼であり、水噴霧に対して吸水により劣化することなく、また、水滴まりによる腐食が発生することはない。</p> <p>したがって、水噴霧により密封性が損なわれたり、線量当量率の増加等が生じることはない。</p>	<p>したがって、許容換返し回数は、換返し回数を十分上回っており、疲労により密閉境界を構成する容器本体各部品の健全性が損なわれるとはない。(付録書類-13 参照)</p> <p>A.5.1.4 許容応力との比較</p> <p>(a) 第 A.10 表及び(b) 第 A.11 表に示すように、輸送容器に発生する応力に対する評価基準の余裕率は正であり、一般的試験条件の熱的試験における本輸送物の健全性は維持される。</p> <p>A.5.2 水噴霧</p> <p>輸送容器の外面は、ステンレス鋼あるいは塗装されたステンレス鋼であり、水噴霧に対して吸水により劣化することなく、また、水滴まりによる腐食が発生することはない。</p> <p>したがって、水噴霧により 容器の構造健全性及び密封性が損なわれることはない。 また、密閉性に影響する損傷を生じることなく、線量当量率の増加等が生じることはない。</p>	<ul style="list-style-type: none"> ・輸送中に想定される輸送容器の内圧変化に対する疲労評価の追加 ・記載の適正化

核燃料輸送物設計変更承認申請に係る変更前後表

前回申請書 (平成 30 年 8 月 17 日付三原燃第 18-393 号をもって申請 (平成 31 年 2 月 5 日付三原燃第 18-1013 号をもって一部補正))	今回の核燃料輸送物設計変更承認申請	備考
<p>A.5.3 自由落下</p> <p>輸送物の最大重量は 19.5 トンであるため、告示により落下高さは 0.3m となる。</p> <p>輸送容器の落下時における挙動については、実機の [] モデルを用いた落下試験が実施されており、種々の落下姿勢、条件における変形、衝撃加速度及び密封性能の状態が測定された。試験の結果、9m 落下において容器本体に変形は見られず密封性能の損傷も生じていないことが確認されている。したがって、0.3m を落下高さとする本試験においては、輸送容器に要求される構造健全性は維持されると言えるが、ここでは、解析手法を用いて輸送容器の落下時における挙動を定量的に求め、本試験が輸送容器に与える影響を評価する。</p> <p>(1) 容器本体</p> <p>容器本体及び衝撃吸収カバーを実形状に従ってモデル化して、0.3m の高さから落下する事象を動的解析コード LS-DYNA を用いて解析し、容器本体各部に発生する応力及び歪を求める、他の解析に影響を与える形状変化が生じないことを示す。</p> <p>なお、容器本体に作用する衝撃荷重は、衝撃吸収カバーの緩衝特性に依存することから、解析モデルに与える衝撃吸収カバーの特性の妥当性は、モックアップ試験の代表的なケースを対象とした確認解析により確認している。(付属書類-2 参照)</p> <p>a. 解析モデル</p> <p>解析モデルは、各落下姿勢(垂直、水平、コーナー)に共通して適用できるように面对称 3 次元モデルとする。当該モデルは、[] モデルを用いた落下試験の落下試験確認解析により確認された解析条件に基づく衝撃吸収カバーを有し、蓋板締付けボルトを組み込んだ蓋部、胴部及び底部から構成されており、レジンは解析モデル全体の質量が設計重量となるように密度を調整した領域としてモデルに与えている。また、内容物による負荷を反映するために、バスケットの形状を考慮した等価な密度の領域を与えている。</p> <p>解析モデルの寸法及び要素分割図を (a) - 第 A.29 図及び (b) - 第 A.30 図に示す。</p> <p>なお、構造強度部材に発生する塑性歪を保守的に算定するために、材料特性として公称応力及び伸びに基づく応力-歪関係 ((e) - 第 A.31 図参照) を採用した。</p>	<p>A.5.3 自由落下</p> <p>輸送物の最大重量は 19.5 トンであるため、告示により落下高さは 0.3m となる。</p> <p>輸送容器の落下時における挙動については、実機の [] モデルを用いた落下試験が実施されおり、種々の落下姿勢、条件における変形、衝撃加速度及び密封性能の状態が測定された。試験の結果、9m 落下において容器本体に変形は見られず密封性能の損傷も生じていないことが確認されている。したがって、0.3m を落下高さとする本試験においては、輸送容器に要求される構造健全性は維持される。</p> <p>(a) 輸送容器の落下時における挙動を定量的に求めるとともに、解析手法を用いた本試験が輸送容器に与える影響を評価する。</p> <p>(1) 容器本体</p> <p>容器本体及び衝撃吸収カバーを実形状に従ってモデル化して、0.3m の高さから落下する事象を動的解析コード LS-DYNA を用いて解析し、容器本体各部に発生する応力及び歪を求める、他の解析に影響を与える形状変化が生じないことを示す。</p> <p>なお、容器本体に作用する衝撃荷重は、衝撃吸収カバーの緩衝特性に依存することから、解析モデルに与える衝撃吸収カバーの特性の妥当性は、モックアップ試験の代表的なケースを対象とした確認解析により確認している。(付属書類-2 参照)</p> <p>a. 解析モデル</p> <p>解析モデルは、各落下姿勢(垂直、水平、コーナー)に共通して適用できるように面对称 3 次元モデルとする。当該モデルは、[] モデルを用いた落下試験で確認された。蓋部、胴部及び底部から構成されている。衝撃吸収カバーは [] モデルを用いた落下試験を再現する落下試験確認解析に基づきモデル化している。レジンは解析モデルの質量が全質量となるように密度を調整してモデル化している。また、内容物(バスケット及び収納物)の質量による容器本体への負荷を反映するため、バスケットの形状を考慮した等価な密度の領域をモデル化している。</p> <p>解析モデルの寸法及び要素分割図を (a) - 第 A.29 図及び (b) - 第 A.30 図に示す。</p> <p>なお、構造強度部材に発生する塑性歪を保守的に算定するために、材料特性として公称応力及び伸びに基づく応力-歪関係 ((e) - 第 A.31 図参照) を採用した。</p>	<p>・記載の適正化</p>

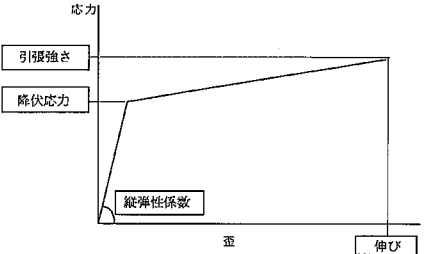
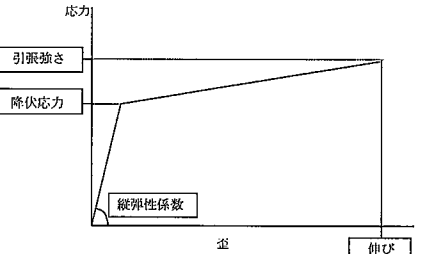
核燃料輸送物設計変更承認申請に係る変更前後表

前回申請書 (平成 30 年 8 月 17 日付三原燃第 18-393 号をもって申請 (平成 31 年 2 月 5 日付三原燃第 18-1013 号をもって一部補正))	今回の核燃料輸送物設計変更承認申請	備考
 <small>(v) - 第 A-29 図 解析モデル寸法図（自由落下/容器本体）</small>	 <small>(v) - 第 A-29 図 解析モデル寸法図（自由落下/容器本体）</small>	<ul style="list-style-type: none">・知見の更新に関する説明の追加

(v) - A - 69

(v) - A - 71

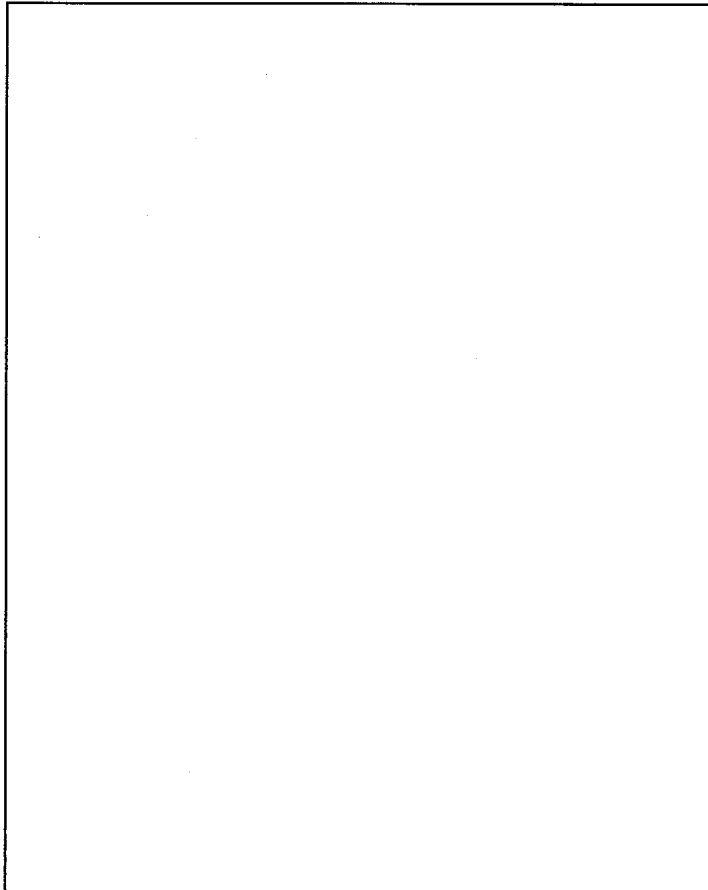
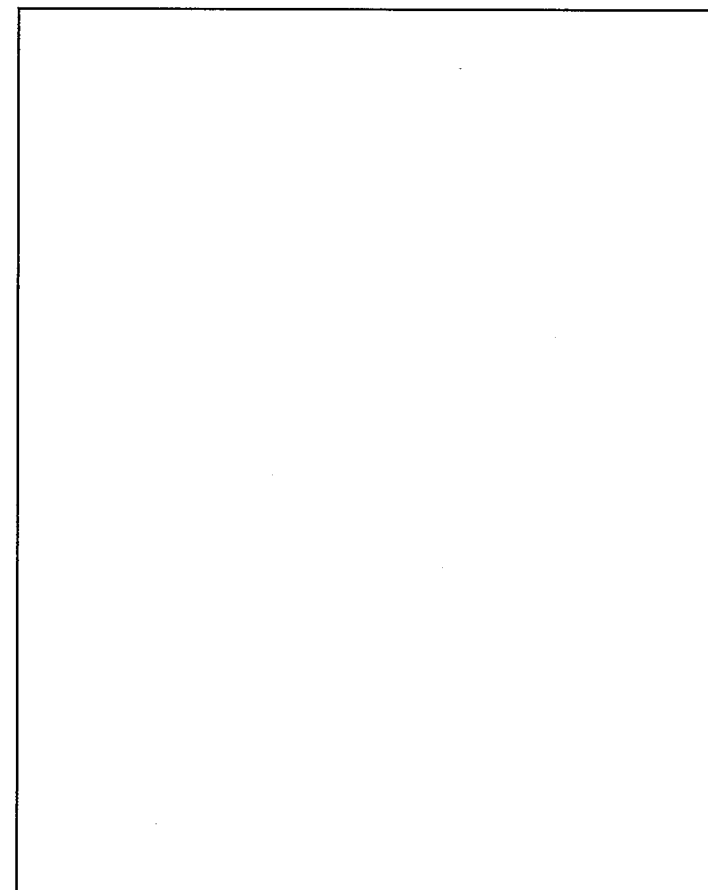
核燃料輸送物設計変更承認申請に係る変更前後表

前回申請書 (平成 30 年 8 月 17 日付三原燃第 18-393 号をもって申請 (平成 31 年 2 月 5 日付三原燃第 18-1013 号をもって一部補正))	今回の核燃料輸送物設計変更承認申請	備考
 <p>(v) - 第 A. 30 図 要素分割図（自由落下/容器本体）</p>  <p>(v) - 第 A. 31 図 評価対象部品に設定した応力-歪関係</p> <p>(v) - A - 70</p>	 <p>(v) - 第 A. 30 図 要素分割図（自由落下/容器本体）</p>  <p>(v) - 第 A. 31 図 評価対象部品に設定した応力-歪関係</p> <p>(v) - A - 72</p>	

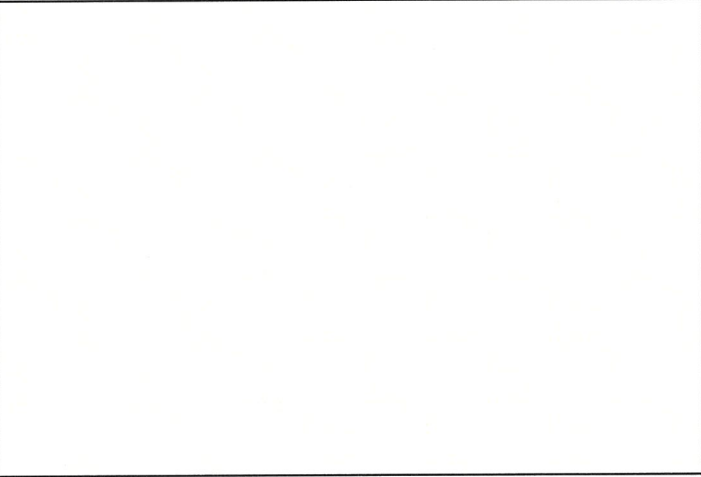
核燃料輸送物設計変更承認申請に係る変更前後表

前回申請書 (平成 30 年 8 月 17 日付三原燃第 18-393 号をもって申請 (平成 31 年 2 月 5 日付三原燃第 18-1013 号をもって一部補正))	今回の核燃料輸送物設計変更承認申請	備考
<p>b. 荷重条件及び境界条件</p> <p>落下姿勢に応じた角度で剛体面に接した解析モデルに対し、まず、蓋板締付けボルトに初期締付けによる引張応力 (□ MPa) に相当する応力を発生させる。続いて、自由落下時の衝突速度 (2.43m/sec) を与える。</p> <p>解析ケースとして、以下の各落下姿勢について解析を行う。</p> <ul style="list-style-type: none"> ① 垂直落下（前部及び後部） ② 水平落下 ③ コーナー落下（前部及び後部） <p>c. 解析結果</p> <p>解析は最大変形が確認できる時刻まで実行し、解析結果として、最大変形量、落下中の各構造強度部材に発生する塑性歪及び密封性能の評価として蓋板締付けボルトの応力を抽出した。各落下姿勢における衝撃吸収カバーの変形図を(a)～第 A. 32 図に示す。</p> <p>各落下姿勢における損傷状態に関する解析結果を以下に示す。</p> <p>(a) 前部垂直落下</p> <p>容器本体の各部品には塑性歪の発生はなく、他の解析で考慮を要する形状の変化は生じない。また、蓋板締付けボルトに発生する応力は評価基準(Sy)を下回っており、密封性能は維持される。</p> <p>(b) 後部垂直落下</p> <p>容器本体の各部品には塑性歪の発生はなく、他の解析で考慮を要する形状の変化は生じない。</p> <p>(c) 水平落下</p> <p>容器本体部品のうち、□に□%以下の塑性歪((n)～第 A. 33 図に示す。)が発生しているが、□</p> <p>□形状は維持される。</p> <p>したがって、水平落下において、容器本体には臨界解析で考慮を要する形状の変化は生じない。また、蓋板締付けボルトに発生する応力は評価基準(Sy)を下回っており、密封性能は維持される。</p> <p>(d) 前部コーナー落下</p> <p>容器本体の各部品には塑性歪の発生はなく、他の解析で考慮を要する形状の変化は生じない。また、蓋板締付けボルトに発生する応力は評価基準(Sy)を下回っており、密封性能は維持される。</p>	<p>b. 荷重条件及び境界条件</p> <p>落下姿勢に応じた角度で剛体面に接した解析モデルに対し、まず、蓋板締付けボルトに初期締付けによる引張応力 (□ MPa) に相当する応力を発生させる。続いて、自由落下時の衝突速度 (2.43m/sec) を与える。</p> <p>解析ケースとして、以下の各落下姿勢について解析を行う。</p> <ul style="list-style-type: none"> ① 垂直落下（前部及び後部） ② 水平落下 ③ コーナー落下（前部及び後部） <p>c. 解析結果</p> <p>解析は最大変形が確認できる時刻まで実行し、解析結果として、最大変形量、落下中の各構造強度部材に発生する塑性歪及び蓋板締付けボルトの応力を抽出した。各落下姿勢における衝撃吸収カバーの変形図を(n)～第 A. 32 図に示す。</p> <p>各落下姿勢における損傷状態に関する解析結果を以下に示す。</p> <p>(a) 前部垂直落下</p> <p>容器本体の各部品には塑性歪の発生はなく、他の解析で考慮を要する形状の変化は生じない。また、蓋板締付けボルトに発生する応力は評価基準(Sy)を下回っており、密封性能は維持される。</p> <p>(b) 後部垂直落下</p> <p>容器本体の各部品には塑性歪の発生はなく、他の解析で考慮を要する形状の変化は生じない。</p> <p>(c) 水平落下</p> <p>容器本体部品のうち、□に□%以下の塑性歪((n)～第 A. 33 図に示す。)が発生しているが、□</p> <p>□形状は維持される。</p> <p>したがって、水平落下において、容器本体には(n)～第 A. 33 図に示す。)が発生しているが、□</p> <p>□形状は維持される。</p> <p>(d) 前部コーナー落下</p> <p>容器本体の各部品には塑性歪の発生はなく、他の解析で考慮を要する形状の変化は生じない。また、蓋板締付けボルトに発生する応力は評価基準(Sy)を下回っており、密封性能は維持される。</p>	<p>・記載の適正化</p>

核燃料輸送物設計変更承認申請に係る変更前後表

前回申請書 (平成 30 年 8 月 17 日付三原燃第 18-393 号をもって申請 (平成 31 年 2 月 5 日付三原燃第 18-1013 号をもって一部補正))	今回の核燃料輸送物設計変更承認申請	備考
 (v) - 第 A.32 図 自由落下/容器本体の解析結果 (変形図) (v) - A - 72	 (v) - 第 A.32 図 自由落下/容器本体の解析結果 (変形図) (v) - A - 74	

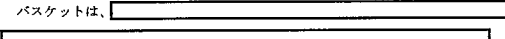
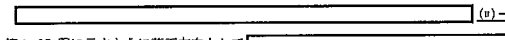
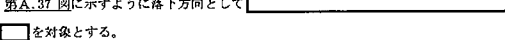
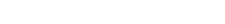
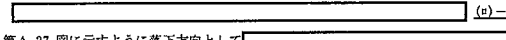
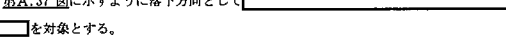
核燃料輸送物設計変更承認申請に係る変更前後表

前回申請書 (平成 30 年 8 月 17 日付三原燃第 18-393 号をもって申請 (平成 31 年 2 月 5 日付三原燃第 18-1013 号をもって一部補正))	今回の核燃料輸送物設計変更承認申請	備考
 <p>(a) 第 A. 33 図 0.3m 水平落下/容器本体の解析結果 (塑性歪分布図)</p> <p>(e) 後部コーナー落下</p> <p>容器本体の各部品には塑性歪の発生はなく、他の解析で考慮を要する形状の変化は生じない。</p> <p>以上の解析結果を (e) 第 A. 12 表にまとめる。</p> <p>同表に示されるように、いずれの落下姿勢においても密封性能は維持され、他の解析で考慮を要するような形状変化が生じるようなことはなく、自由落下試験に対して構造健全性は維持される。</p> <p>(a) - A - 73</p>	 <p>(a) 第 A. 33 図 0.3m 水平落下/容器本体の解析結果 (塑性歪分布図)</p> <p>(e) 後部コーナー落下</p> <p>容器本体の各部品には塑性歪の発生はなく、他の解析で考慮を要する形状の変化は生じない。</p> <p>以上の解析結果を (e) 第 A. 12 表にまとめる。</p> <p>同表に示されるように、いずれの落下姿勢において (a) の解析で考慮を要するような形状変化が生じるようなことはなく、自由落下試験に対して構造健全性は維持される。</p> <p>また、前部垂直落下、水平落下及び前傾コーナー落下において、頭頂ガラスの頭頂面に沿る口開き变形量は、ガラスケットの初期偏位(0.3mm)より 0.3mm 小さく、頭頂面に引合を生じない。(付録表 A-10-3-19)</p> <p>(e) - A - 75</p>	<ul style="list-style-type: none"> 記載の適正化 知見の更新に関する説明の追加

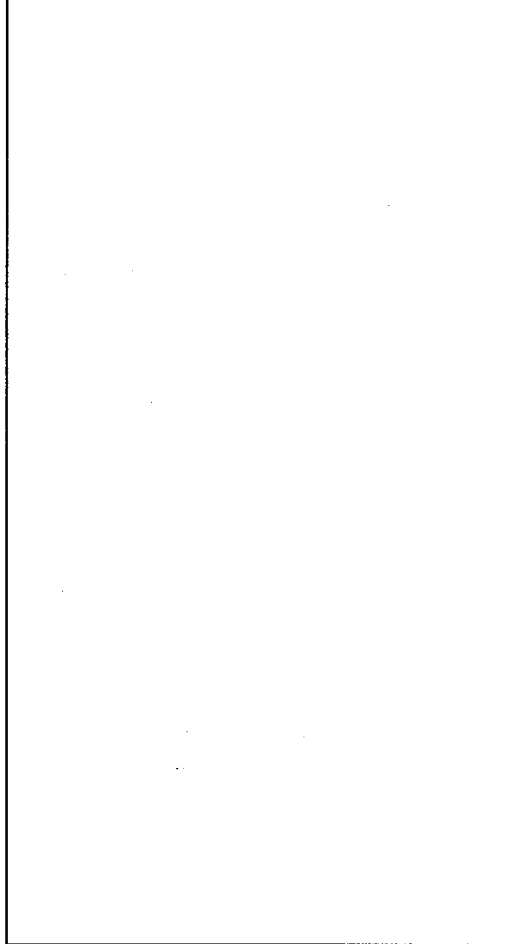
核燃料輸送物設計変更承認申請に係る変更前後表

前回申請書 (平成30年8月17日付三原燃第18-393号をもって申請 (平成31年2月5日付三原燃第18-1013号をもって一部補正))					今回の核燃料輸送物設計変更承認申請					備考																																																															
(a) 第A.12表 自由落下における容器本体の解析結果のまとめ (1/2)					(b) 第A.12表 自由落下における容器本体の解析結果のまとめ (1/2)																																																																				
<table border="1"> <thead> <tr> <th>落下姿勢</th> <th>衝撃吸収カバー 最大変形量 (mm)</th> <th>部品</th> <th>塑性歪 (%)</th> <th>評価</th> </tr> </thead> <tbody> <tr> <td>前部垂直</td> <td></td> <td>蓋板 上部フランジ 内筒 胴ガセット 胴外板 内筒 胴ガセット 胴外板 底板 上部フランジ 内筒 胴ガセット 胴外板 蓋板 上部フランジ 内筒 胴ガセット 胴外板 内筒 胴ガセット 胴外板 底板</td> <td></td> <td></td> </tr> <tr> <td>後部垂直</td> <td></td> <td></td> <td></td> <td></td> </tr> <tr> <td>水平</td> <td></td> <td></td> <td></td> <td></td> </tr> <tr> <td>前部 コーナー</td> <td></td> <td></td> <td></td> <td></td> </tr> <tr> <td>後部 コーナー</td> <td></td> <td></td> <td></td> <td></td> </tr> </tbody> </table>					落下姿勢	衝撃吸収カバー 最大変形量 (mm)	部品	塑性歪 (%)	評価	前部垂直		蓋板 上部フランジ 内筒 胴ガセット 胴外板 内筒 胴ガセット 胴外板 底板 上部フランジ 内筒 胴ガセット 胴外板 蓋板 上部フランジ 内筒 胴ガセット 胴外板 内筒 胴ガセット 胴外板 底板			後部垂直					水平					前部 コーナー					後部 コーナー					<table border="1"> <thead> <tr> <th>落下姿勢</th> <th>衝撃吸収カバー 最大変形量 (mm)</th> <th>部品</th> <th>塑性歪 (%)</th> <th>評価</th> </tr> </thead> <tbody> <tr> <td>前部垂直</td> <td></td> <td>蓋板 上部フランジ 内筒 胴ガセット 胴外板 内筒 胴ガセット 胴外板 底板 上部フランジ 内筒 胴ガセット 胴外板 蓋板 上部フランジ 内筒 胴ガセット 胴外板 内筒 胴ガセット 胴外板 底板</td> <td></td> <td></td> </tr> <tr> <td>後部垂直</td> <td></td> <td></td> <td></td> <td></td> </tr> <tr> <td>水平</td> <td></td> <td></td> <td></td> <td></td> </tr> <tr> <td>前部 コーナー</td> <td></td> <td></td> <td></td> <td></td> </tr> <tr> <td>後部 コーナー</td> <td></td> <td></td> <td></td> <td></td> </tr> </tbody> </table>						落下姿勢	衝撃吸収カバー 最大変形量 (mm)	部品	塑性歪 (%)	評価	前部垂直		蓋板 上部フランジ 内筒 胴ガセット 胴外板 内筒 胴ガセット 胴外板 底板 上部フランジ 内筒 胴ガセット 胴外板 蓋板 上部フランジ 内筒 胴ガセット 胴外板 内筒 胴ガセット 胴外板 底板			後部垂直					水平					前部 コーナー					後部 コーナー							
落下姿勢	衝撃吸収カバー 最大変形量 (mm)	部品	塑性歪 (%)	評価																																																																					
前部垂直		蓋板 上部フランジ 内筒 胴ガセット 胴外板 内筒 胴ガセット 胴外板 底板 上部フランジ 内筒 胴ガセット 胴外板 蓋板 上部フランジ 内筒 胴ガセット 胴外板 内筒 胴ガセット 胴外板 底板																																																																							
後部垂直																																																																									
水平																																																																									
前部 コーナー																																																																									
後部 コーナー																																																																									
落下姿勢	衝撃吸収カバー 最大変形量 (mm)	部品	塑性歪 (%)	評価																																																																					
前部垂直		蓋板 上部フランジ 内筒 胴ガセット 胴外板 内筒 胴ガセット 胴外板 底板 上部フランジ 内筒 胴ガセット 胴外板 蓋板 上部フランジ 内筒 胴ガセット 胴外板 内筒 胴ガセット 胴外板 底板																																																																							
後部垂直																																																																									
水平																																																																									
前部 コーナー																																																																									
後部 コーナー																																																																									
(a) 第A.12表 自由落下における容器本体の解析結果のまとめ (2/2)					(b) 第A.12表 自由落下における容器本体の解析結果のまとめ (2/2)																																																																				
<table border="1"> <thead> <tr> <th>評価対象部品</th> <th>落下姿勢</th> <th>応力の種類</th> <th>解析結果 (MPa)</th> <th>評価基準¹⁾ (MPa)</th> <th>余裕率 (MS)</th> </tr> </thead> <tbody> <tr> <td rowspan="4">蓋板締付け ボルト</td> <td rowspan="2">前部垂直</td> <td>σ_m</td> <td></td> <td></td> <td></td> </tr> <tr> <td>$\sigma_m + \sigma_b$</td> <td></td> <td></td> </tr> <tr> <td rowspan="2">水平</td> <td>σ_m</td> <td></td> <td></td> </tr> <tr> <td>$\sigma_m + \sigma_b$</td> <td></td> <td></td> </tr> <tr> <td rowspan="2">前部 コーナー</td> <td>σ_m</td> <td></td> <td></td> <td></td> </tr> <tr> <td>$\sigma_m + \sigma_b$</td> <td></td> <td></td> <td></td> </tr> </tbody> </table>					評価対象部品	落下姿勢	応力の種類	解析結果 (MPa)	評価基準 ¹⁾ (MPa)	余裕率 (MS)	蓋板締付け ボルト	前部垂直	σ_m				$\sigma_m + \sigma_b$			水平	σ_m			$\sigma_m + \sigma_b$			前部 コーナー	σ_m				$\sigma_m + \sigma_b$				<table border="1"> <thead> <tr> <th>評価対象部品</th> <th>落下姿勢</th> <th>応力の種類</th> <th>解析結果 (MPa)</th> <th>評価基準¹⁾ (MPa)</th> <th>余裕率 (MS)</th> </tr> </thead> <tbody> <tr> <td rowspan="4">蓋板締付け ボルト</td> <td rowspan="2">前部垂直</td> <td>σ_m</td> <td></td> <td></td> <td></td> </tr> <tr> <td>$\sigma_m + \sigma_b$</td> <td></td> <td></td> </tr> <tr> <td rowspan="2">水平</td> <td>σ_m</td> <td></td> <td></td> </tr> <tr> <td>$\sigma_m + \sigma_b$</td> <td></td> <td></td> </tr> <tr> <td rowspan="2">前部 コーナー</td> <td>σ_m</td> <td></td> <td></td> <td></td> </tr> <tr> <td>$\sigma_m + \sigma_b$</td> <td></td> <td></td> <td></td> </tr> </tbody> </table>						評価対象部品	落下姿勢	応力の種類	解析結果 (MPa)	評価基準 ¹⁾ (MPa)	余裕率 (MS)	蓋板締付け ボルト	前部垂直	σ_m				$\sigma_m + \sigma_b$			水平	σ_m			$\sigma_m + \sigma_b$			前部 コーナー	σ_m				$\sigma_m + \sigma_b$				
評価対象部品	落下姿勢	応力の種類	解析結果 (MPa)	評価基準 ¹⁾ (MPa)	余裕率 (MS)																																																																				
蓋板締付け ボルト	前部垂直	σ_m																																																																							
		$\sigma_m + \sigma_b$																																																																							
	水平	σ_m																																																																							
		$\sigma_m + \sigma_b$																																																																							
前部 コーナー	σ_m																																																																								
	$\sigma_m + \sigma_b$																																																																								
評価対象部品	落下姿勢	応力の種類	解析結果 (MPa)	評価基準 ¹⁾ (MPa)	余裕率 (MS)																																																																				
蓋板締付け ボルト	前部垂直	σ_m																																																																							
		$\sigma_m + \sigma_b$																																																																							
	水平	σ_m																																																																							
		$\sigma_m + \sigma_b$																																																																							
前部 コーナー	σ_m																																																																								
	$\sigma_m + \sigma_b$																																																																								
注1) 評価基準は、 σ_m 及び $\sigma_m + \sigma_b$ に対して S_y					注1) 評価基準は、 σ_m 及び $\sigma_m + \sigma_b$ に対して S_y																																																																				
(a) - A-74					(a) - A-76																																																																				

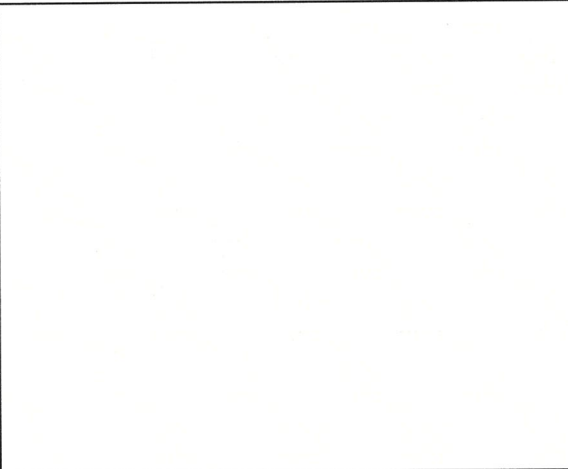
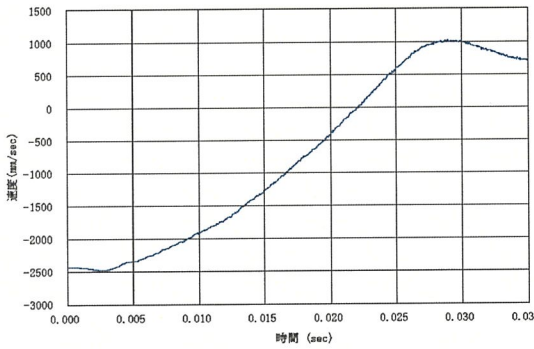
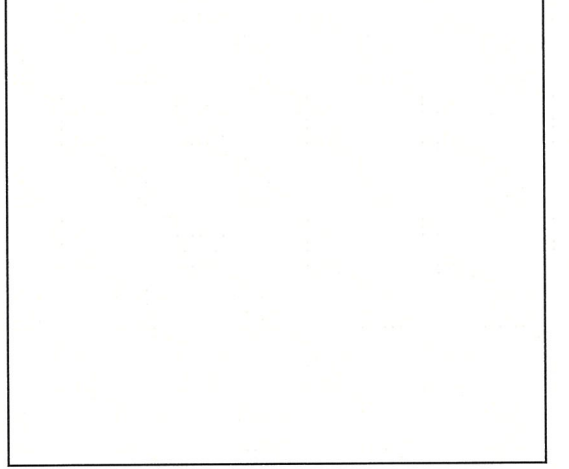
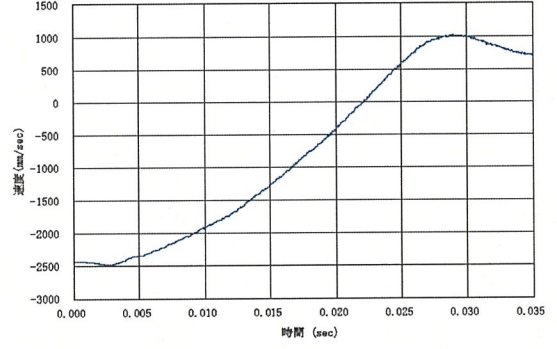
核燃料輸送物設計変更承認申請に係る変更前後表

前回申請書 (平成 30 年 8 月 17 日付三原燃第 18-393 号をもって申請 (平成 31 年 2 月 5 日付三原燃第 18-1013 号をもって一部補正))	今回の核燃料輸送物設計変更承認申請	備考
<p>(2) バスケット</p> <p>落下時において、バスケットには自重による慣性力と収納物による慣性力が作用するが、落下姿勢の中で、収納物による全ての荷重が負荷される水平落下が最もバスケットにとって厳しい条件となる。本項では、水平落下時における衝撃を受けた場合のバスケットに発生する歪を動的解析コード LS-DYNA を用いて求め、バスケットに必要な構造健全性が維持されることを示す。</p> <p>a. 解析モデル</p> <p>バスケットは、</p> <p>容器本体は、水平落下時にバスケットが容器本体の胴部により支持される条件を模擬するため、内筒、胴ガセット、胴外板及び胴部レジンから構成される円環としてモデル化する。</p> <p>収納物は、チャンネルボックスの断面寸法で燃料有効長を全長とする角柱の体積から算定した密度を有する直方体でモデル化する。</p> <p>なお、バスケット材料に与える物性としては、発生する歪を保守的に算定するために、主要強度部品であるは弾完全塑性体とみなし、その他の部品については(ⅱ)一第 A.31 図に示したように公称応力と伸びに基づく応力-歪関係を採用する。</p> <p>解析モデルの寸法及び要素分割図を(ⅱ)一第 A.34 図及び(ⅱ)一第 A.35 図に示す。</p> <p>b. 荷重条件及び境界条件</p> <p>バスケットに自由落下時の衝突速度 (2.43m/sec) を与え、バスケットを支持する容器本体の胴部の側面には、容器本体の水平落下の解析から抽出した胴部中央の速度時刻歴 (ⅱ)一第 A.36 図に示す。)を与える。</p> <p>スライス形状のバスケットの両端面には対称条件を与える。</p> <p> (ⅱ)一第 A.37 図に示すように落下方向として を対象とする。</p> <p>c. 解析結果</p> <p>解析結果として、バスケットの構成部品に発生した塑性歪を抽出した。各落下方向に関する解析結果を(ⅱ)一第 A.13 表にまとめる。同表に示されるように、いずれの落下方向においても他の解析で考慮を要するような形状変化が生じることはなく、自由落下試験に対してバスケットの構造健全性は維持される。</p> <p>(ⅱ) - A - 75</p>	<p>(2) バスケット</p> <p>落下時において、バスケットには自重による慣性力と収納物による慣性力が作用するが、落下姿勢の中で、収納物による全ての荷重が負荷される水平落下が最もバスケットにとって厳しい条件となる。本項では、水平落下時における衝撃を受けた場合のバスケットに発生する歪を動的解析コード LS-DYNA を用いて求め、バスケットに必要な構造健全性が維持されることを示す。</p> <p>a. 解析モデル</p> <p>バスケットは、</p> <p>容器本体は、水平落下時にバスケットが容器本体の胴部により支持される条件を模擬するため、内筒、胴ガセット、胴外板及び胴部レジンから構成される円環としてモデル化する。</p> <p>収納物は、チャンネルボックスの断面寸法で燃料有効長を全長とする角柱の体積から算定した密度を有する直方体でモデル化する。</p> <p>なお、バスケット材料に与える物性としては、発生する歪を保守的に算定するために、主要強度部品であるは弾完全塑性体とみなし、その他の部品については(ⅱ)一第 A.31 図に示したように公称応力と伸びに基づく応力-歪関係を採用する。</p> <p>解析モデルの寸法及び要素分割図を(ⅱ)一第 A.34 図及び(ⅱ)一第 A.35 図に示す。</p> <p>b. 荷重条件及び境界条件</p> <p>バスケットに自由落下時の衝突速度 (2.43m/sec) を与え、バスケットを支持する容器本体の胴部の側面には、容器本体の水平落下の解析から抽出した胴部中央の速度時刻歴 (ⅱ)一第 A.36 図に示す。)を与える。</p> <p>スライス形状のバスケットの両端面には対称条件を与える。</p> <p> (ⅱ)一第 A.37 図に示すように落下方向として を対象とする。</p> <p>c. 解析結果</p> <p>解析結果として、バスケットの構成部品に発生した塑性歪を抽出した。各落下方向に関する解析結果を(ⅱ)一第 A.13 表にまとめる。同表に示されるように、いずれの落下方向においても他の解析で考慮を要するような形状変化が生じることはなく、自由落下試験に対してバスケットの構造健全性は維持される。</p> <p>(ⅱ) - A - 77</p>	

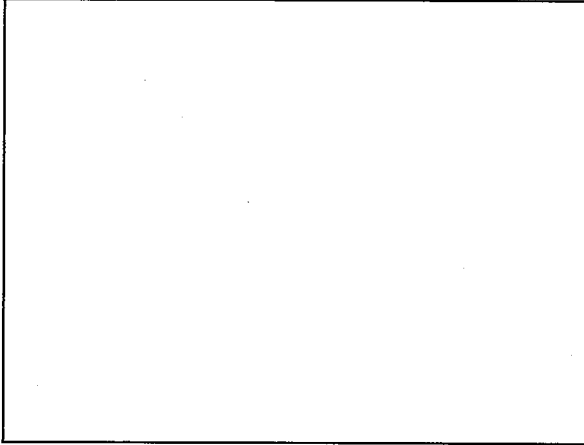
核燃料輸送物設計変更承認申請に係る変更前後表

前回申請書 (平成 30 年 8 月 17 日付三原燃第 18-393 号をもって申請 (平成 31 年 2 月 5 日付三原燃第 18-1013 号をもって一部補正))	今回の核燃料輸送物設計変更承認申請	備考
 <p>(v)-A-76</p> <p>(単位 : mm)</p> <p>(v)-A-34 図 解析モデル寸法図 (自由落下/バスクケット)</p>	 <p>(v)-A-78</p> <p>(単位 : mm)</p> <p>(v)-A-34 図 解析モデル寸法図 (自由落下/バスクケット)</p>	-

核燃料輸送物設計変更承認申請に係る変更前後表

前回申請書 (平成 30 年 8 月 17 日付三原燃第 18-393 号をもって申請 (平成 31 年 2 月 5 日付三原燃第 18-1013 号をもって一部補正))	今回の核燃料輸送物設計変更承認申請	備考
 <p>(a) - 第 A. 35 図 要素分割図（自由落下/バスケット）</p>  <p>(a) - 第 A. 36 図 容器本体の速度時刻歴</p> <p>(a) - A - 77</p>	 <p>(a) - 第 A. 35 図 要素分割図（自由落下/バスケット）</p>  <p>(a) - 第 A. 36 図 容器本体の速度時刻歴</p> <p>(a) - A - 79</p>	<p>—</p>

核燃料輸送物設計変更承認申請に係る変更前後表

前回申請書 (平成 30 年 8 月 17 日付三原燃第 18-393 号をもって申請 (平成 31 年 2 月 5 日付三原燃第 18-1013 号をもって一部補正))	今回の核燃料輸送物設計変更承認申請	備考																																																								
 <p>(n) - 第 A.37 図 バスケットの落下方向</p> <p>(n) - 第 A.13 表 自由落下におけるバスケットの解析結果のまとめ</p> <table border="1"> <thead> <tr> <th>落下方向</th> <th>部品</th> <th>塑性歪 (%)</th> <th>評価</th> </tr> </thead> <tbody> <tr> <td>ロジメント</td> <td>■</td> <td></td> <td></td> </tr> <tr> <td>アルミスペーサー</td> <td>■</td> <td></td> <td></td> </tr> <tr> <td>ロジメント</td> <td>■</td> <td></td> <td></td> </tr> <tr> <td>アルミスペーサー</td> <td>■</td> <td></td> <td></td> </tr> <tr> <td>ロジメント</td> <td>■</td> <td></td> <td></td> </tr> <tr> <td>アルミスペーサー</td> <td>■</td> <td></td> <td></td> </tr> </tbody> </table> <p>(n) - A - 78</p>	落下方向	部品	塑性歪 (%)	評価	ロジメント	■			アルミスペーサー	■			ロジメント	■			アルミスペーサー	■			ロジメント	■			アルミスペーサー	■			 <p>(n) - 第 A.37 図 バスケットの落下方向</p> <p>(n) - 第 A.13 表 自由落下におけるバスケットの解析結果のまとめ</p> <table border="1"> <thead> <tr> <th>落下方向</th> <th>部品</th> <th>塑性歪 (%)</th> <th>評価</th> </tr> </thead> <tbody> <tr> <td>ロジメント</td> <td>■</td> <td></td> <td></td> </tr> <tr> <td>アルミスペーサー</td> <td>■</td> <td></td> <td></td> </tr> <tr> <td>ロジメント</td> <td>■</td> <td></td> <td></td> </tr> <tr> <td>アルミスペーサー</td> <td>■</td> <td></td> <td></td> </tr> <tr> <td>ロジメント</td> <td>■</td> <td></td> <td></td> </tr> <tr> <td>アルミスペーサー</td> <td>■</td> <td></td> <td></td> </tr> </tbody> </table> <p>(n) - A - 80</p>	落下方向	部品	塑性歪 (%)	評価	ロジメント	■			アルミスペーサー	■			ロジメント	■			アルミスペーサー	■			ロジメント	■			アルミスペーサー	■			
落下方向	部品	塑性歪 (%)	評価																																																							
ロジメント	■																																																									
アルミスペーサー	■																																																									
ロジメント	■																																																									
アルミスペーサー	■																																																									
ロジメント	■																																																									
アルミスペーサー	■																																																									
落下方向	部品	塑性歪 (%)	評価																																																							
ロジメント	■																																																									
アルミスペーサー	■																																																									
ロジメント	■																																																									
アルミスペーサー	■																																																									
ロジメント	■																																																									
アルミスペーサー	■																																																									

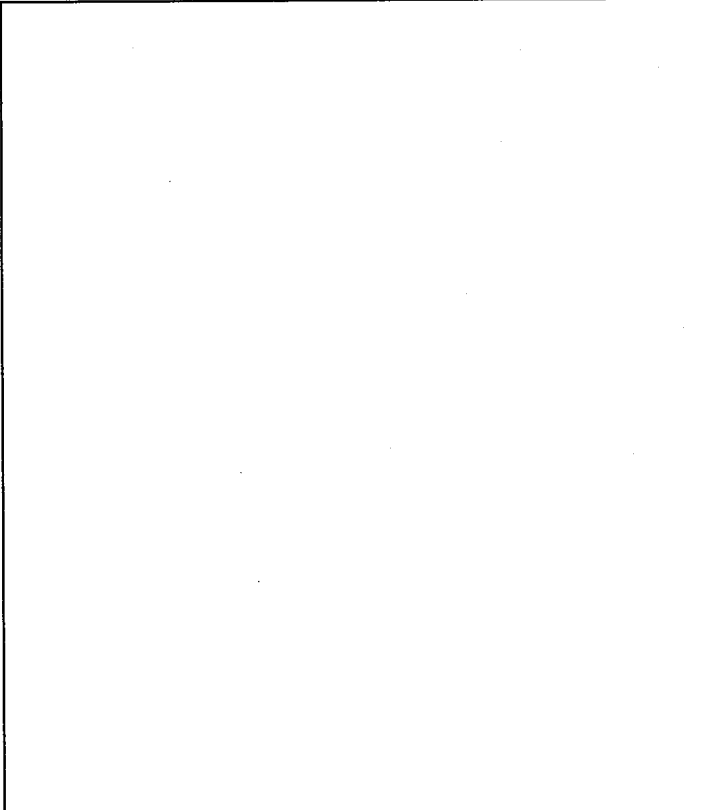
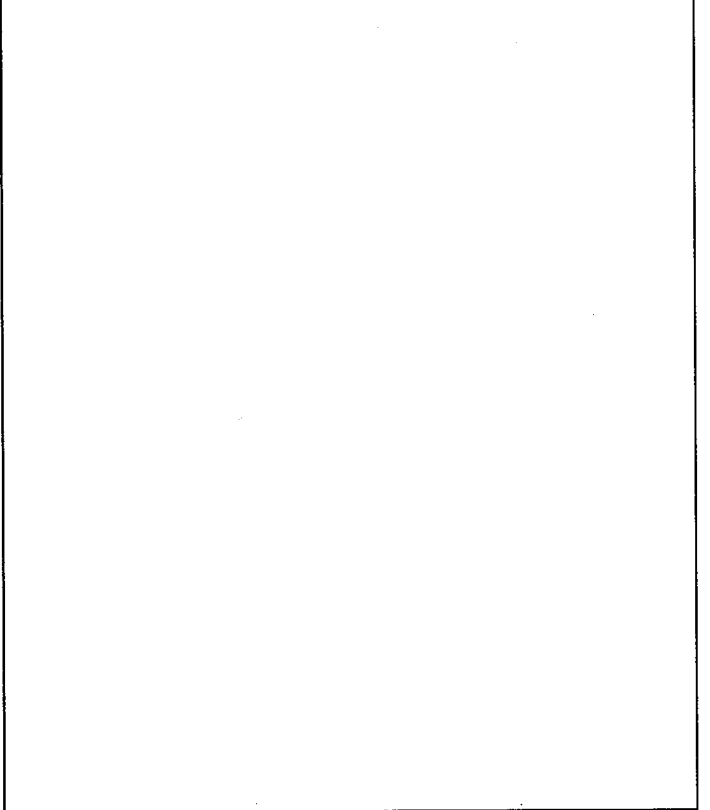
核燃料輸送物設計変更承認申請に係る変更前後表

前回申請書 (平成 30 年 8 月 17 日付三原燃第 18-393 号をもって申請 (平成 31 年 2 月 5 日付三原燃第 18-1013 号をもって一部補正))	今回の核燃料輸送物設計変更承認申請	備考																																																																
<p>(3) 燃料被覆管</p> <p>落下時において、輸送容器に収納されたBWR燃料集合体には輸送容器からの衝撃荷重が作用する。</p> <p>ここでは、燃料ペレットを封入している燃料被覆管にこの衝撃荷重が直接作用するものとして、動的解析コードLS-DYNAを用いて燃料被覆管に発生する最大塑性歪を求め、破断のないことを以下に示す。</p> <p>落下姿勢としては、燃料被覆管に負荷される圧縮荷重及び曲げ荷重がそれぞれ最大となる垂直落下と水平落下を対象とする。</p> <p>解析に用いる燃料集合体の諸元及び燃料被覆管の物性を<u>(u)-第A.14表</u>及び<u>(u)-第A.15表</u>に示す。</p> <p>(u)-第A.14表 燃料集合体の諸元</p> <table border="1"> <thead> <tr> <th>項目</th><th>評価に用いる値</th></tr> </thead> <tbody> <tr> <td>燃料集合体重量 (チャンネルボックス含む)</td><td><input type="text"/> kg</td></tr> <tr> <td>燃料棒本数</td><td><input type="text"/> 本</td></tr> <tr> <td>燃料ペレット質量 (集合体当たり)</td><td><input type="text"/> kg</td></tr> <tr> <td>燃料有効長</td><td><input type="text"/> mm</td></tr> <tr> <td>燃料被覆管外径</td><td><input type="text"/> mm</td></tr> <tr> <td>燃料被覆管内径</td><td><input type="text"/> mm</td></tr> <tr> <td>スペーサー間隔</td><td><input type="text"/> mm</td></tr> <tr> <td>内部気体充填圧力 (20°C)</td><td><input type="text"/> MPa 絶対圧</td></tr> </tbody> </table> <p>(u)-第A.15表 燃料被覆管の物性 [1]</p> <table border="1"> <thead> <tr> <th>項目</th><th>評価に用いる値</th></tr> </thead> <tbody> <tr> <td>密度 (10^3 kg/m3)</td><td>6.55</td></tr> <tr> <td>継弾性係数 (10^8 MPa)</td><td><input type="text"/> (70°C)</td></tr> <tr> <td>降伏応力 (MPa)</td><td><input type="text"/> (70°C)</td></tr> <tr> <td>引張強さ (MPa)</td><td><input type="text"/> (70°C)</td></tr> <tr> <td>ボアソン比</td><td><input type="text"/> (70°C)</td></tr> <tr> <td>最小破断伸び (%)</td><td><input type="text"/> (70°C)</td></tr> </tbody> </table> <p>(u)-A-79</p>	項目	評価に用いる値	燃料集合体重量 (チャンネルボックス含む)	<input type="text"/> kg	燃料棒本数	<input type="text"/> 本	燃料ペレット質量 (集合体当たり)	<input type="text"/> kg	燃料有効長	<input type="text"/> mm	燃料被覆管外径	<input type="text"/> mm	燃料被覆管内径	<input type="text"/> mm	スペーサー間隔	<input type="text"/> mm	内部気体充填圧力 (20°C)	<input type="text"/> MPa 絶対圧	項目	評価に用いる値	密度 (10^3 kg/m 3)	6.55	継弾性係数 (10^8 MPa)	<input type="text"/> (70°C)	降伏応力 (MPa)	<input type="text"/> (70°C)	引張強さ (MPa)	<input type="text"/> (70°C)	ボアソン比	<input type="text"/> (70°C)	最小破断伸び (%)	<input type="text"/> (70°C)	<p>(3) 燃料被覆管</p> <p>落下時において、輸送容器に収納されたBWR燃料集合体には輸送容器からの衝撃荷重が作用する。</p> <p>ここでは、<u>保守的に</u>輸送容器からの衝撃荷重が伝わる過場にある部材(収納缶、燃料集合体のうち燃料棒以外の部分)の変形を無視し、燃料ペレットを封入している燃料被覆管にこの衝撃荷重が直接作用するものとして、動的解析コードLS-DYNAを用いて燃料被覆管に発生する最大塑性歪を求め、破断のないことを以下に示す。</p> <p>落下姿勢としては、燃料被覆管に負荷される圧縮荷重及び曲げ荷重がそれぞれ最大となる垂直落下と水平落下を対象とする。</p> <p>解析に用いる燃料集合体の諸元及び燃料被覆管の物性を<u>(u)-第A.14表</u>及び<u>(u)-第A.15表</u>に示す。</p> <p>(u)-第A.14表 燃料集合体の諸元</p> <table border="1"> <thead> <tr> <th>項目</th><th>評価に用いる値</th></tr> </thead> <tbody> <tr> <td>燃料集合体重量 (チャンネルボックス含む)</td><td><input type="text"/> kg</td></tr> <tr> <td>燃料棒本数</td><td>72 本</td></tr> <tr> <td>燃料ペレット質量</td><td><input type="text"/> kg</td></tr> <tr> <td>燃料有効長</td><td><input type="text"/> mm</td></tr> <tr> <td>燃料被覆管外径</td><td>11.0 mm</td></tr> <tr> <td>燃料被覆管内径</td><td><input type="text"/> mm</td></tr> <tr> <td>スペーサー間隔</td><td><input type="text"/> mm</td></tr> <tr> <td>内部気体充填圧力 (20°C)</td><td><input type="text"/> MPa 絶対圧</td></tr> </tbody> </table> <p>(u)-第A.15表 燃料被覆管の物性 [2]</p> <table border="1"> <thead> <tr> <th>項目</th><th>評価に用いる値</th></tr> </thead> <tbody> <tr> <td>密度 (10^3 kg/m3)</td><td>6.55</td></tr> <tr> <td>継弾性係数 (10^8 MPa)</td><td><input type="text"/> (70°C)</td></tr> <tr> <td>降伏応力 (MPa)</td><td><input type="text"/> (70°C)</td></tr> <tr> <td>引張強さ (MPa)</td><td><input type="text"/> (70°C)</td></tr> <tr> <td>ボアソン比</td><td><input type="text"/> (70°C)</td></tr> <tr> <td>最小破断伸び (%)</td><td><input type="text"/> (70°C)</td></tr> </tbody> </table> <p>(u)-A-81</p>	項目	評価に用いる値	燃料集合体重量 (チャンネルボックス含む)	<input type="text"/> kg	燃料棒本数	72 本	燃料ペレット質量	<input type="text"/> kg	燃料有効長	<input type="text"/> mm	燃料被覆管外径	11.0 mm	燃料被覆管内径	<input type="text"/> mm	スペーサー間隔	<input type="text"/> mm	内部気体充填圧力 (20°C)	<input type="text"/> MPa 絶対圧	項目	評価に用いる値	密度 (10^3 kg/m 3)	6.55	継弾性係数 (10^8 MPa)	<input type="text"/> (70°C)	降伏応力 (MPa)	<input type="text"/> (70°C)	引張強さ (MPa)	<input type="text"/> (70°C)	ボアソン比	<input type="text"/> (70°C)	最小破断伸び (%)	<input type="text"/> (70°C)	<ul style="list-style-type: none"> 記載の適正化
項目	評価に用いる値																																																																	
燃料集合体重量 (チャンネルボックス含む)	<input type="text"/> kg																																																																	
燃料棒本数	<input type="text"/> 本																																																																	
燃料ペレット質量 (集合体当たり)	<input type="text"/> kg																																																																	
燃料有効長	<input type="text"/> mm																																																																	
燃料被覆管外径	<input type="text"/> mm																																																																	
燃料被覆管内径	<input type="text"/> mm																																																																	
スペーサー間隔	<input type="text"/> mm																																																																	
内部気体充填圧力 (20°C)	<input type="text"/> MPa 絶対圧																																																																	
項目	評価に用いる値																																																																	
密度 (10^3 kg/m 3)	6.55																																																																	
継弾性係数 (10^8 MPa)	<input type="text"/> (70°C)																																																																	
降伏応力 (MPa)	<input type="text"/> (70°C)																																																																	
引張強さ (MPa)	<input type="text"/> (70°C)																																																																	
ボアソン比	<input type="text"/> (70°C)																																																																	
最小破断伸び (%)	<input type="text"/> (70°C)																																																																	
項目	評価に用いる値																																																																	
燃料集合体重量 (チャンネルボックス含む)	<input type="text"/> kg																																																																	
燃料棒本数	72 本																																																																	
燃料ペレット質量	<input type="text"/> kg																																																																	
燃料有効長	<input type="text"/> mm																																																																	
燃料被覆管外径	11.0 mm																																																																	
燃料被覆管内径	<input type="text"/> mm																																																																	
スペーサー間隔	<input type="text"/> mm																																																																	
内部気体充填圧力 (20°C)	<input type="text"/> MPa 絶対圧																																																																	
項目	評価に用いる値																																																																	
密度 (10^3 kg/m 3)	6.55																																																																	
継弾性係数 (10^8 MPa)	<input type="text"/> (70°C)																																																																	
降伏応力 (MPa)	<input type="text"/> (70°C)																																																																	
引張強さ (MPa)	<input type="text"/> (70°C)																																																																	
ボアソン比	<input type="text"/> (70°C)																																																																	
最小破断伸び (%)	<input type="text"/> (70°C)																																																																	

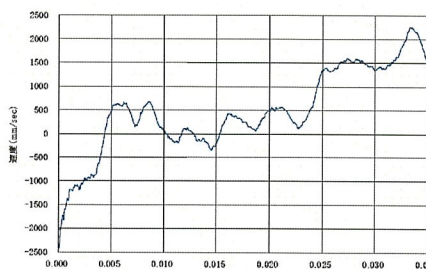
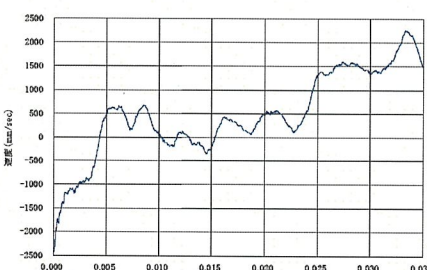
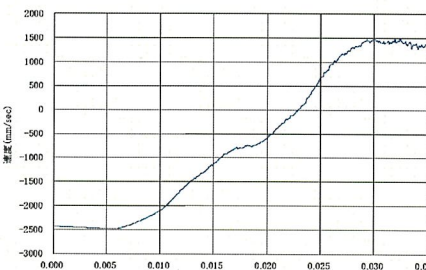
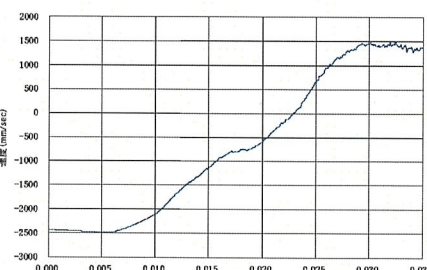
核燃料輸送物設計変更承認申請に係る変更前後表

前回申請書 (平成 30 年 8 月 17 日付三原燃第 18-393 号をもって申請 (平成 31 年 2 月 5 日付三原燃第 18-1013 号をもって一部補正))	今回の核燃料輸送物設計変更承認申請	備考
<p>a. 解析モデル</p> <p>燃料棒はスペーサーによりほぼ等しい間隔に支持されていることから、スペーサー間隔の長さの燃料被覆管をモデル化する。</p> <p>解析モデルに与える物性としては、発生する歪を保守的に算定するために、公称応力と伸びに基づく応力-歪曲線を採用する。 ((e) 第 A. 31 図参照)</p> <p>解析モデルの要素分割図を (e) 第 A. 38 図に示す。</p> <p>b. 荷重条件及び境界条件</p> <p>(a) 垂直落下</p> <p>垂直落下では、燃料被覆管が直接容器内面に衝突するものと仮定する。</p> <p>衝突面は、変形による燃料棒の落下エネルギー吸収を無視するために、剛体として定義する。</p> <p>解析モデルに自由落下時の衝突速度 (2.43 m/sec) を与え、衝突面には (e) 第 A. 39 図に示す速度時刻歴を与える。当該速度時刻歴は、前部垂直落下より衝撃の大きい後部垂直落下における底板から抽出した。</p> <p>垂直落下ではペレットの慣性力はペレット自身により受け持たれるため、燃料集合体 (チャンネルボックス含む) 質量からペレット質量を差し引いた質量が負荷されるものとして、当該質量を燃料棒本数で除した質量を解析モデルの上端に附加する。</p> <p>また、被覆管内面には、内部気体の充填圧力が負荷される。内部気体の充填圧力は 20°Cにおいて □ MPa 絶対圧であるため、 □ C における内外圧力差 P は以下のように求められる。</p> $P = \boxed{\square} \times \frac{273 + \boxed{\square}}{273 + 20} - 0.101 = \boxed{\square} \text{ MPa}$ <p>したがって、解析モデルの内面に □ MPa の圧力を作用させる。</p> <p>境界条件として、解析モデルの両端には対称条件を与える。</p> <p>(b) 水平落下</p> <p>水平落下では、燃料集合体のスペーサー部分がロジメント内面に保持され、燃料被覆管がスペーサーを支持点とした曲げ変形を受けるものと仮定する。</p> <p>スペーサーにより支持された状態を模擬するため、燃料被覆管の両端を剛体面で保持する。</p> <p>解析モデルに自由落下時の衝突速度 (2.43 m/sec) を与え、両端の剛体面には (e) 第 A. 40 図に示す速度時刻歴を与える。当該速度時刻歴は、水平落下におけるバスケットから抽出した。</p> <p>(e) - A - 80</p>	<p>a. 解析モデル</p> <p>燃料棒はスペーサーによりほぼ等しい間隔に支持されていることから、スペーサー間隔の長さの燃料被覆管をモデル化する。</p> <p>解析モデルに与える物性としては、発生する歪を保守的に算定するために、公称応力と伸びに基づく応力-歪曲線を採用する。 ((e) 第 A. 31 図参照)</p> <p>解析モデルの要素分割図を (e) 第 A. 38 図に示す。</p> <p>b. 荷重条件及び境界条件</p> <p>(a) 垂直落下</p> <p>垂直落下では、燃料被覆管が直接容器内面に衝突するものと仮定する。</p> <p>衝突面は、変形による燃料棒の落下エネルギー吸収を無視するために、剛体として定義する。</p> <p>解析モデルに自由落下時の衝突速度 (2.43 m/sec) を与え、衝突面には (e) 第 A. 39 図に示す速度時刻歴を与える。当該速度時刻歴は、前部垂直落下より衝撲の大きい後部垂直落下における底板から抽出した。</p> <p>垂直落下ではペレットの慣性力はペレット自身により受け持たれるため、燃料集合体 (チャンネルボックス含む) 質量からペレット質量を差し引いた質量が負荷されるものとして、当該質量を燃料棒本数で除した質量を解析モデルの上端に附加する。</p> <p>また、燃料被覆管内面には、内部気体の充填圧力が負荷される。内部気体の充填圧力は 20°Cにおいて □ MPa 絶対圧であるため、70°Cにおける内外圧力差 P は以下のように求められる。</p> $P = \boxed{\square} \times \frac{273 + 70}{273 + 20} - 0.101 = \boxed{\square} \text{ MPa}$ <p>したがって、解析モデルの内面に □ MPa の圧力を作用させる。</p> <p>境界条件として、解析モデルの両端には対称条件を与える。</p> <p>(b) 水平落下</p> <p>水平落下では、燃料集合体のスペーサー部分がロジメント内面に保持され、燃料被覆管がスペーサーを支持点とした曲げ変形を受けるものと仮定する。</p> <p>スペーサーにより支持された状態を模擬するため、燃料被覆管の両端を剛体面で保持する。</p> <p>解析モデルに自由落下時の衝突速度 (2.43 m/sec) を与え、両端の剛体面には (e) 第 A. 40 図に示す速度時刻歴を与える。当該速度時刻歴は、水平落下におけるバスケットから抽出した。</p> <p>(e) - A - 82</p>	<p>・記載の適正化</p>

核燃料輸送物設計変更承認申請に係る変更前後表

前回申請書 (平成 30 年 8 月 17 日付三原燃第 18-393 号をもって申請 (平成 31 年 2 月 5 日付三原燃第 18-1013 号をもって一部補正))	今回の核燃料輸送物設計変更承認申請	備考
 (v) - 第 A. 38 図 燃料被覆管の落下解析モデル (s) - A - 81	 (v) - 第 A. 38 図 燃料被覆管の落下解析モデル (v) - A - 83	-

核燃料輸送物設計変更承認申請に係る変更前後表

前回申請書 (平成 30 年 8 月 17 日付三原燃第 18-393 号をもって申請 (平成 31 年 2 月 5 日付三原燃第 18-1013 号をもって一部補正))	今回の核燃料輸送物設計変更承認申請	備考
 <p>(a) - 第 A. 39 図 容器本体の速度時刻歴 (後部垂直落下)</p>	 <p>(a) - 第 A. 39 図 容器本体の速度時刻歴 (後部垂直落下)</p>	
 <p>(a) - 第 A. 40 図 バスケットの速度時刻歴 (水平落下)</p>	 <p>(a) - 第 A. 40 国 バスケットの速度時刻歴 (水平落下)</p>	

(a) - A - 82

(a) - A - 84

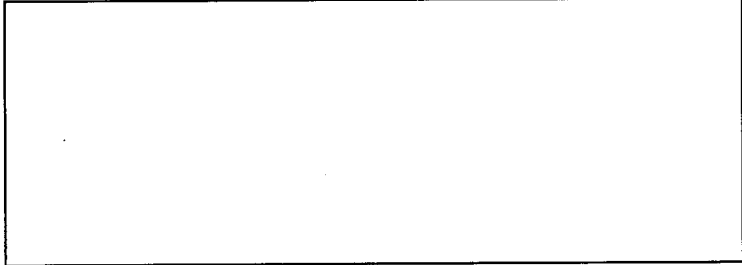
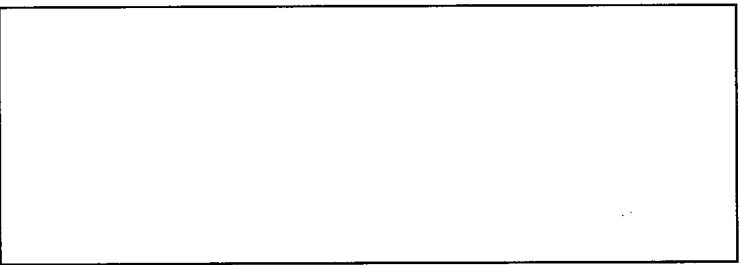
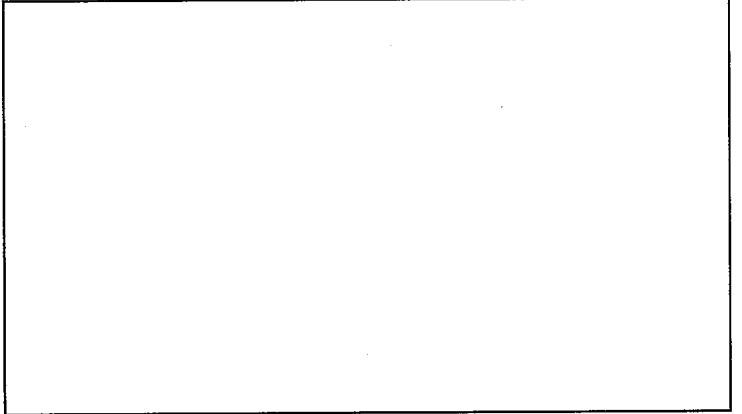
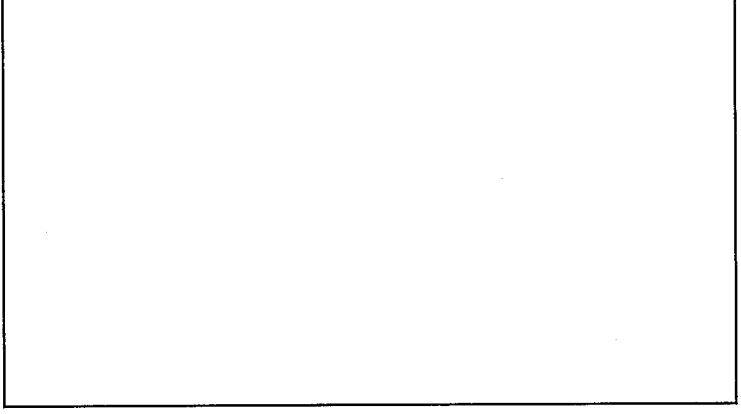
核燃料輸送物設計変更承認申請に係る変更前後表

前回申請書 (平成 30 年 8 月 17 日付三原燃第 18-393 号をもって申請 (平成 31 年 2 月 5 日付三原燃第 18-1013 号をもって一部補正))	今回の核燃料輸送物設計変更承認申請	備考																		
<p>水平落下ではペレットの慣性力は全て燃料被覆管に受け持たれるため、ペレットの質量を一様に内面に付加する。</p> <p>また、解析モデルの内面には□ MPa の圧力を作用させる。</p> <p>境界条件として、解析モデルの両端には対称条件を与える。</p> <p>c. 解析結果</p> <p>垂直及び水平落下における解析結果を(v)ー第 A. 16 表に示す。</p> <p>垂直落下では、(v)ー第 A. 41 図に示すように最下部近傍に最大□ % の塑性歪が発生しているが燃料被覆管の最小破断伸びに比べて十分に小さい。一方、水平落下では、塑性歪の発生は見られなかった。</p> <p>したがって、自由落下において、燃料被覆管は破断することはない。</p> <p>(v)ー第 A. 16 表 自由落下における燃料被覆管の解析結果のまとめ</p> <table border="1"> <thead> <tr> <th>条件</th><th>最大塑性歪 (%)</th><th>最小破断伸び (%)</th></tr> </thead> <tbody> <tr> <td>0.3m垂直落下</td><td>□</td><td>□</td></tr> <tr> <td>0.3m水平落下</td><td>□</td><td>□</td></tr> </tbody> </table> <p>(v)ー第 A. 41 図 0.3m垂直落下/燃料被覆管の解析結果（塑性歪分布図）</p> <p>(v)ーA-83</p>	条件	最大塑性歪 (%)	最小破断伸び (%)	0.3m垂直落下	□	□	0.3m水平落下	□	□	<p>水平落下ではペレットの慣性力は全て燃料被覆管に受け持たれるため、ペレットの質量を一様に内面に付加する。</p> <p>また、解析モデルの内面には□ MPa の圧力を作用させる。</p> <p>境界条件として、解析モデルの両端には対称条件を与える。</p> <p>c. 解析結果</p> <p>垂直及び水平落下における解析結果を(v)ー第 A. 16 表に示す。</p> <p>垂直落下では、(v)ー第 A. 41 図に示すように最下部近傍に最大□ % の塑性歪が発生しているが燃料被覆管の最小破断伸びに比べて十分に小さい。一方、水平落下では、塑性歪の発生は見られなかった。</p> <p>したがって、自由落下において、燃料被覆管は破断することはなく、燃料棒の密接な連携を保つ。</p> <p>(v)ー第 A. 16 表 自由落下における燃料被覆管の解析結果のまとめ</p> <table border="1"> <thead> <tr> <th>条件</th><th>最大塑性歪 (%)</th><th>最小破断伸び (%)</th></tr> </thead> <tbody> <tr> <td>0.3m垂直落下</td><td>□</td><td>□</td></tr> <tr> <td>0.3m水平落下</td><td>□</td><td>□</td></tr> </tbody> </table> <p>(v)ー第 A. 41 図 0.3m垂直落下/燃料被覆管の解析結果（塑性歪分布図）</p> <p>(v)ーA-85</p>	条件	最大塑性歪 (%)	最小破断伸び (%)	0.3m垂直落下	□	□	0.3m水平落下	□	□	<ul style="list-style-type: none"> 記載の適正化
条件	最大塑性歪 (%)	最小破断伸び (%)																		
0.3m垂直落下	□	□																		
0.3m水平落下	□	□																		
条件	最大塑性歪 (%)	最小破断伸び (%)																		
0.3m垂直落下	□	□																		
0.3m水平落下	□	□																		

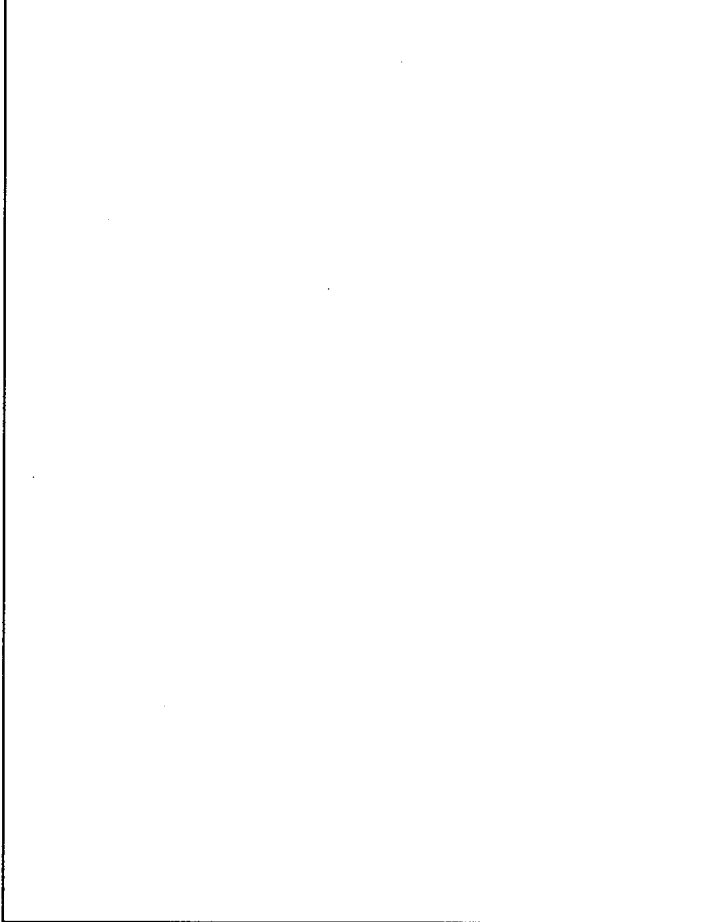
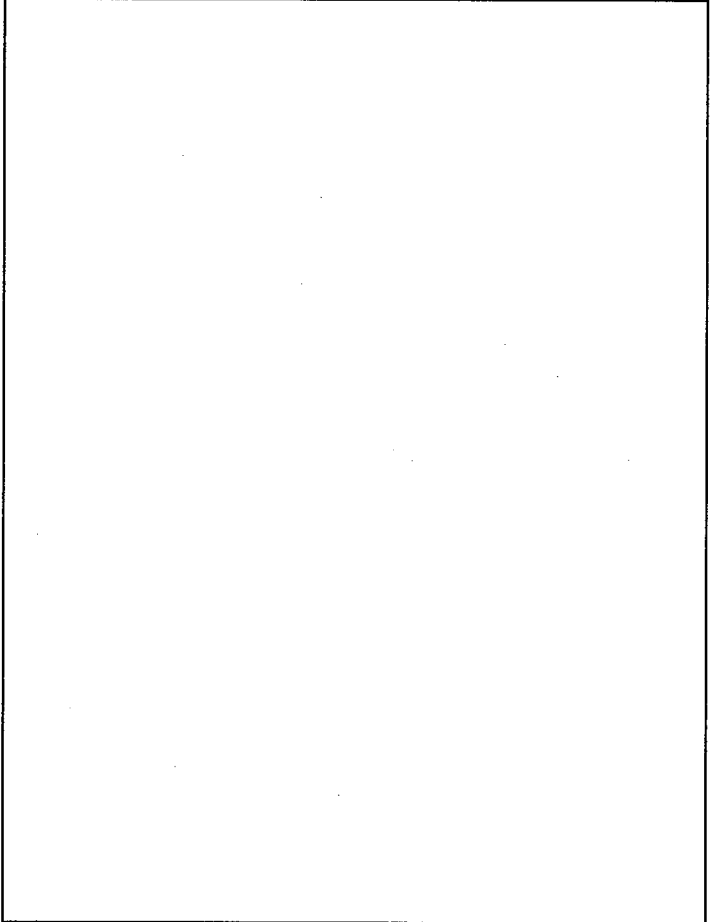
核燃料輸送物設計変更承認申請に係る変更前後表

前回申請書 (平成 30 年 8 月 17 日付三原燃第 18-393 号をもって申請 (平成 31 年 2 月 5 日付三原燃第 18-1013 号をもって一部補正))	今回の核燃料輸送物設計変更承認申請	備考
<p>A. 5.4 積み重ね試験</p> <p>本試験の条件として、輸送物の総重量の 5 倍に相当する荷重と、輸送容器の投影面積に 13 kPa を乗じた値の大きい方を輸送容器に負荷することから、本輸送容器については、輸送物重量(19.5 トン)の 5 倍に相当する荷重が負荷された時の容器本体の強度を評価する。</p> <p>(1) 縦置き</p> <p>容器本体の上端面に輸送物の総重量の 5 倍に相当する荷重を負荷した時の胴部に発生する応力を解析コード ABAQUS を用いて求める。</p> <p>a. 解析モデル</p> <p>解析モデルとして、胴部の各部品の応力を求めるために、A. 5.1 热的試験に用いた容器本体の□ 3 次元モデルを用いる。</p> <p>解析モデルの寸法及び要素分割図は(a) 第 A. 24 図及び(e) 第 A. 25 図に示したとおりである。</p> <p>b. 荷重及び境界条件</p> <p>上部フランジの端面に輸送物重量の 6 倍に相当する荷重を分布荷重として負荷し、底板下面周辺部を固定する。負荷する荷重 F は以下のとおりである。</p> $F = m \times g \times 6 \times \frac{\square}{360^\circ}$ <p>ここで、 m : 輸送物の質量 [19,500 kg] g : 重力加速度 [9.81m/s^2]</p> <p>したがって、</p> $F = \boxed{} N$ <p>また、中心軸の半径方向変位、対称面の周方向変位を拘束する。解析モデルに与えた荷重及び境界条件を(a) 第 A. 42 図に示す。</p> <p>c. 解析結果</p> <p>変形図及び応力分布図をそれぞれ(a) 第 A. 43 図及び(e) 第 A. 44 図に示す。 胴部の各部品に発生した応力の評価結果を(e) 第 A. 17 表に示す。 いずれの部品についても、発生応力は評価基準を下回っており、縦置き状態における積み重ね試験により胴部の構造健全性が損なわれることはない。</p>	<p>A. 5.4 積み重ね試験</p> <p>本試験の条件 ■、輸送物の総重量の 5 倍に相当する荷重 ■ と、輸送容器の投影面積に 13 kPa を乗じた値の大きい方を輸送容器に負荷することから、本輸送容器については、輸送物重量(19.5 トン)の 5 倍に相当する荷重が負荷された時の容器本体の強度を評価する。</p> <p>(1) 縦置き</p> <p>容器本体の上端面に輸送物の総重量の 5 倍に相当する荷重を負荷した時の胴部に発生する応力を解析コード ABAQUS を用いて求める。</p> <p>a. 解析モデル</p> <p>解析モデルとして、胴部の各部品の応力を求めるために、A. 5.1 热的試験に用いた容器本体の□ 3 次元モデルを用いる。</p> <p>解析モデルの寸法及び要素分割図は(a) 第 A. 24 図及び(e) 第 A. 25 図に示したとおりである。</p> <p>b. 荷重及び境界条件</p> <p>上部フランジの端面に輸送物重量の 6 倍に相当する荷重を分布荷重として負荷し、底板下面周辺部を固定する。負荷する荷重 F は以下のとおりである。</p> $F = m \times g \times 6 \times \frac{\square}{360^\circ}$ <p>ここで、 m : 輸送物の質量 [19,500 kg] g : 重力加速度 [9.81m/s^2]</p> <p>したがって、</p> $F = \boxed{} N$ <p>また、中心軸の半径方向変位、対称面の周方向変位を拘束する。解析モデルに与えた荷重及び境界条件を(a) 第 A. 42 図に示す。</p> <p>c. 解析結果</p> <p>変形図及び応力分布図をそれぞれ(a) 第 A. 43 図及び(e) 第 A. 44 図に示す。 胴部の各部品に発生した応力の評価結果を(e) 第 A. 17 表に示す。 いずれの部品についても、発生応力は評価基準を下回っており、縦置き状態における積み重ね試験により胴部の構造健全性が損なわれことはない。</p>	<p>・記載の適正化</p>

核燃料輸送物設計変更承認申請に係る変更前後表

前回申請書 (平成 30 年 8 月 17 日付三原燃第 18-393 号をもって申請 (平成 31 年 2 月 5 日付三原燃第 18-1013 号をもって一部補正))	今回の核燃料輸送物設計変更承認申請	備考
		—
(v) - 第 A. 42 図 積み重ね試験（縦置き）における荷重及び境界条件	(v) - 第 A. 42 図 積み重ね試験（縦置き）における荷重及び境界条件	
		
(v) - 第 A. 43 図 積み重ね試験/縦置きの解析結果（変形図）	(v) - 第 A. 43 図 積み重ね試験/縦置きの解析結果（変形図）	
(v) - A-85	(v) - A-87	

核燃料輸送物設計変更承認申請に係る変更前後表

前回申請書 (平成 30 年 8 月 17 日付三原燃第 18-393 号をもって申請 (平成 31 年 2 月 5 日付三原燃第 18-1013 号をもって一部補正))	今回の核燃料輸送物設計変更承認申請	備考
 (a) - 第 A. 44 図 積み重ね試験/継ぎつきの解析結果(応力分布図<トレスカの応力強さ>) (a) - A - 86	 (a) - 第 A. 44 図 積み重ね試験/継ぎつきの解析結果(応力分布図<トレスカの応力強さ>) (a) - A - 88	—

核燃料輸送物設計変更承認申請に係る変更前後表

前回申請書 (平成30年8月17日付三原燃第18-393号をもって申請 (平成31年2月5日付三原燃第18-1013号をもって一部補正))	今回の核燃料輸送物設計変更承認申請	備考																																																																
<p>(v) 第A.17表 積み重ね試験(綱置き)における胴部の応力評価結果</p> <table border="1"> <thead> <tr> <th>評価位置</th><th>応力の種類</th><th>応力強さ (MPa)</th><th>評価基準¹⁾ (MPa)</th><th>余裕率 (MS)</th></tr> </thead> <tbody> <tr> <td rowspan="2">内筒</td><td>膜応力</td><td></td><td></td><td></td></tr> <tr> <td>膜応力+曲げ応力</td><td></td><td></td><td></td></tr> <tr> <td rowspan="2">胴外板</td><td>膜応力</td><td></td><td></td><td></td></tr> <tr> <td>膜応力+曲げ応力</td><td></td><td></td><td></td></tr> <tr> <td rowspan="2">胴ガセット</td><td>膜応力</td><td></td><td></td><td></td></tr> <tr> <td>膜応力+曲げ応力</td><td></td><td></td><td></td></tr> </tbody> </table> <p>注1) 評価基準は、膜応力及び膜応力+曲げ応力に対して S_y</p> <p>(2) 横置き</p> <p>実際の運用では輸送容器を積み重ねることはないことから、輸送物重量(19.5トン)の5倍に相当する荷重が負荷された状態に等しくなるように、重力加速度の6倍の加速度を作用させて、輸送架台を取付ける部位近傍の胴部に発生する応力を解析コードABAQUSを用いて求める。</p> <p>a. 解析モデル</p> <p>解析モデルとして、胴部の各部品の応力を求めるために、A.4.5 固縛装置に用いた容器本体の面对称3次元モデルを用いる。</p> <p>解析モデルの寸法及び要素分割図は(v)-第A.15図及び(v)-第A.16図に示したとおりである。</p> <p>b. 荷重及び境界条件</p> <p>垂直方向加速度として6Gを負荷する。また、内容物(バスケット+収納物)による荷重が胴部に負荷されるように、内筒の[]に内容物の質量を重ね合わせた等価な密度を与える。</p> <p>輸送架台は胴部を全周にわたって固定するように取付けられることから、胴部の下側半周の半径方向変位を拘束する。</p> <p>解析モデルに与えた荷重及び境界条件を(v)-第A.45図に示す。</p> <p>c. 解析結果</p> <p>変形図及び応力分布図をそれぞれ(v)-第A.46図及び(v)-第A.47図に示す。</p> <p>(v)-A-87</p> <p>(v)-A-89</p>	評価位置	応力の種類	応力強さ (MPa)	評価基準 ¹⁾ (MPa)	余裕率 (MS)	内筒	膜応力				膜応力+曲げ応力				胴外板	膜応力				膜応力+曲げ応力				胴ガセット	膜応力				膜応力+曲げ応力				<p>(v) 第A.17表 積み重ね試験(綱置き)における胴部の応力評価結果</p> <table border="1"> <thead> <tr> <th>評価位置</th><th>応力の種類</th><th>応力強さ (MPa)</th><th>評価基準¹⁾ (MPa)</th><th>余裕率 (MS)</th></tr> </thead> <tbody> <tr> <td rowspan="2">内筒</td><td>膜応力</td><td></td><td></td><td></td></tr> <tr> <td>膜応力+曲げ応力</td><td></td><td></td><td></td></tr> <tr> <td rowspan="2">胴外板</td><td>膜応力</td><td></td><td></td><td></td></tr> <tr> <td>膜応力+曲げ応力</td><td></td><td></td><td></td></tr> <tr> <td rowspan="2">胴ガセット</td><td>膜応力</td><td></td><td></td><td></td></tr> <tr> <td>膜応力+曲げ応力</td><td></td><td></td><td></td></tr> </tbody> </table> <p>注1) 評価基準は、膜応力及び膜応力+曲げ応力に対して S_y</p> <p>(2) 横置き</p> <p>実際の運用では輸送容器を積み重ねることはないことから、輸送物重量(19.5トン)の5倍に相当する荷重が負荷された状態に等しくなるように、重力加速度の6倍の加速度を作用させて、輸送架台を取付ける部位近傍の胴部に発生する応力を解析コードABAQUSを用いて求める。</p> <p>a. 解析モデル</p> <p>解析モデルとして、胴部の各部品の応力を求めるために、A.4.5 固縛装置に用いた容器本体の面对称3次元モデルを用いる。</p> <p>解析モデルの寸法及び要素分割図は(v)-第A.15図及び(v)-第A.16図に示したとおりである。</p> <p>b. 荷重及び境界条件</p> <p>垂直方向加速度として6Gを負荷する。また、内容物(バスケット+収納物)による荷重が胴部に負荷されるように、内筒の[]に内容物の質量を重ね合わせた等価な密度を与える。</p> <p>輸送架台は胴部を全周にわたって固定するように取付けられることから、胴部の下側半周の半径方向変位を拘束する。</p> <p>解析モデルに与えた荷重及び境界条件を(v)-第A.45図に示す。</p> <p>c. 解析結果</p> <p>変形図及び応力分布図をそれぞれ(v)-第A.46図及び(v)-第A.47図に示す。</p>	評価位置	応力の種類	応力強さ (MPa)	評価基準 ¹⁾ (MPa)	余裕率 (MS)	内筒	膜応力				膜応力+曲げ応力				胴外板	膜応力				膜応力+曲げ応力				胴ガセット	膜応力				膜応力+曲げ応力				
評価位置	応力の種類	応力強さ (MPa)	評価基準 ¹⁾ (MPa)	余裕率 (MS)																																																														
内筒	膜応力																																																																	
	膜応力+曲げ応力																																																																	
胴外板	膜応力																																																																	
	膜応力+曲げ応力																																																																	
胴ガセット	膜応力																																																																	
	膜応力+曲げ応力																																																																	
評価位置	応力の種類	応力強さ (MPa)	評価基準 ¹⁾ (MPa)	余裕率 (MS)																																																														
内筒	膜応力																																																																	
	膜応力+曲げ応力																																																																	
胴外板	膜応力																																																																	
	膜応力+曲げ応力																																																																	
胴ガセット	膜応力																																																																	
	膜応力+曲げ応力																																																																	

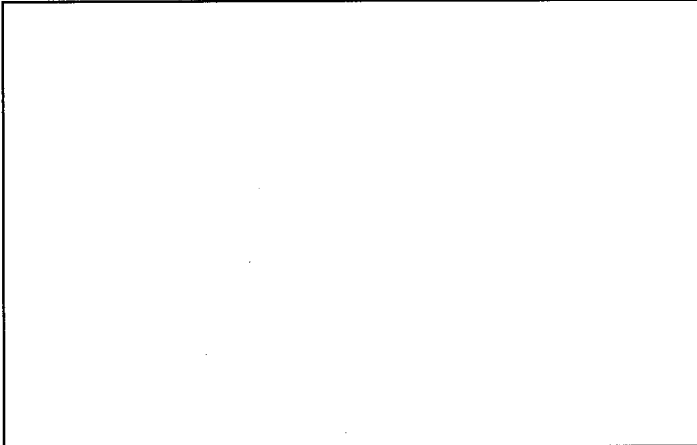
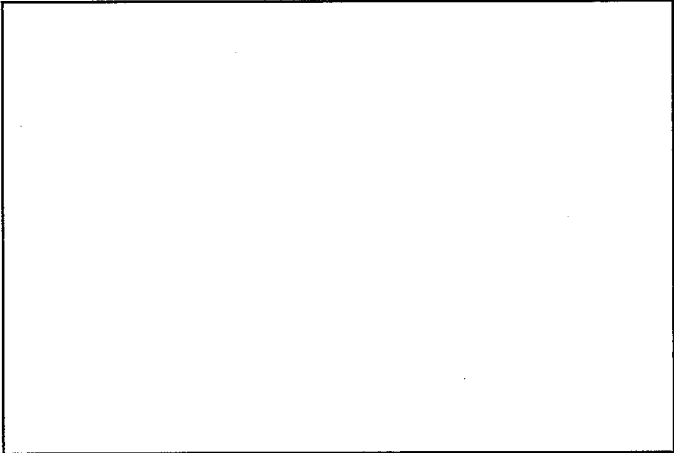
核燃料輸送物設計変更承認申請に係る変更前後表

前回申請書 (平成 30 年 8 月 17 日付三原燃第 18-393 号をもって申請 (平成 31 年 2 月 5 日付三原燃第 18-1013 号をもって一部補正))	今回の核燃料輸送物設計変更承認申請	備考
<p>(a) - A - 88</p> <p>(单位 : mm)</p>	<p>(a) - A - 90</p> <p>(单位 : mm)</p>	

(a) - 第 A-45 図 荷重ね試験（積置き）における荷重及び境界条件

(a) - 第 A-45 図 荷重ね試験（積置き）における荷重及び境界条件

核燃料輸送物設計変更承認申請に係る変更前後表

前回申請書 (平成 30 年 8 月 17 日付三原燃第 18-393 号をもって申請 (平成 31 年 2 月 5 日付三原燃第 18-1013 号をもって一部補正))	今回の核燃料輸送物設計変更承認申請	備考
		—

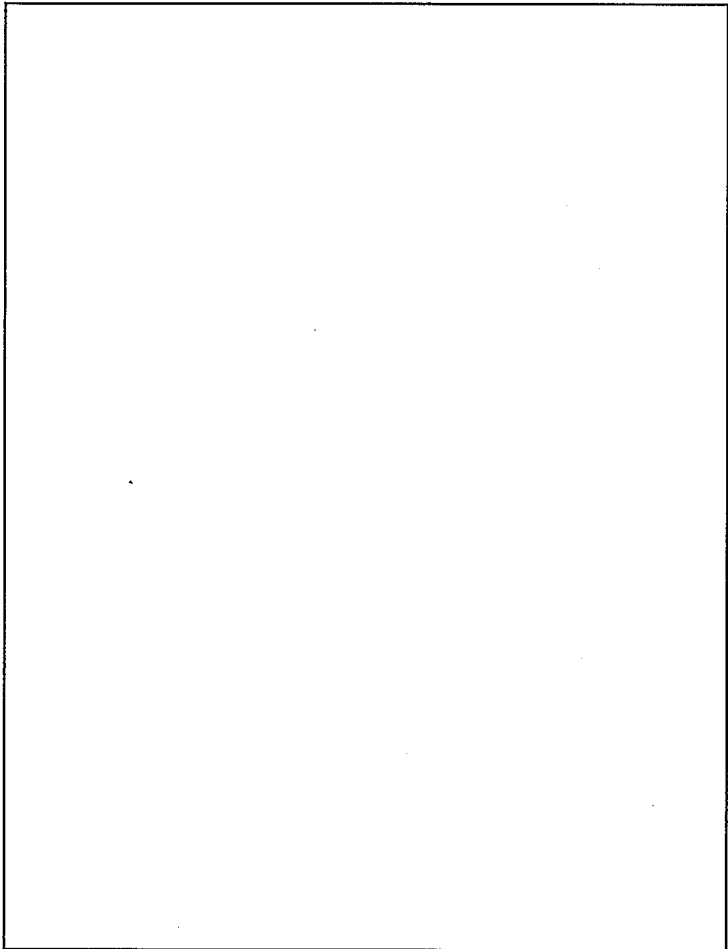
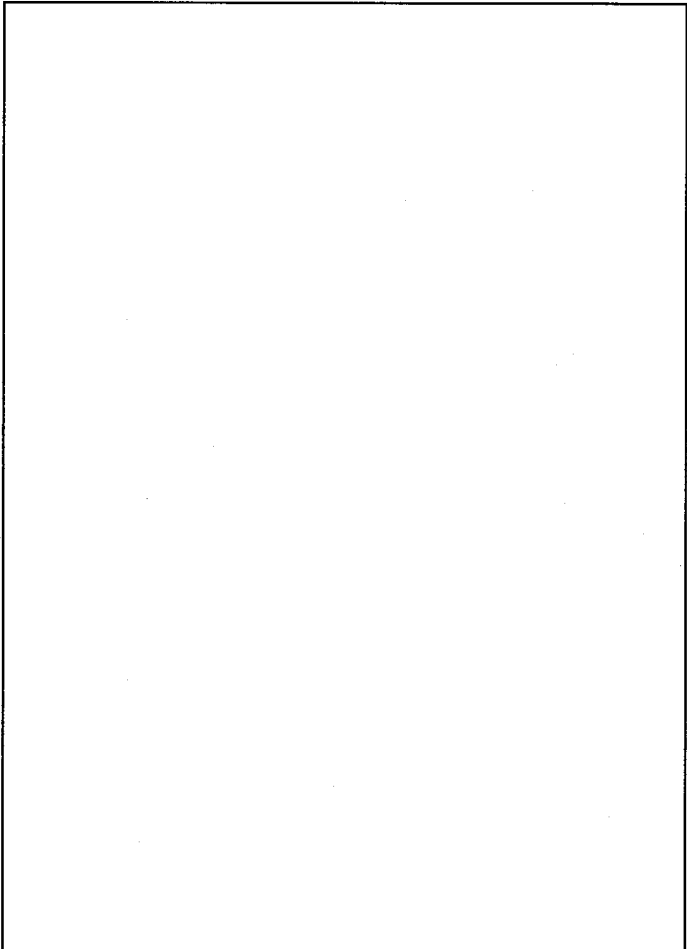
(v) - 第 A. 46 図 積み重ね試験/横置きの解析結果 (変形図)

(v) - 第 A. 46 図 積み重ね試験/横置きの解析結果 (変形図)

(v) - A - 89

(v) - A - 91

核燃料輸送物設計変更承認申請に係る変更前後表

前回申請書 (平成 30 年 8 月 17 日付三原燃第 18-393 号をもって申請 (平成 31 年 2 月 5 日付三原燃第 18-1013 号をもって一部補正))	今回の核燃料輸送物設計変更承認申請	備考
 (v) - 第 A.47 図 積み重ね試験/横置きの解析結果(応力分布図<トレスカの応力強さ>) (a) - A-90	 (v) - 第 A.47 図 積み重ね試験/横置きの解析結果(応力分布図<トレスカの応力強さ>) (u) - A-92	—

核燃料輸送物設計変更承認申請に係る変更前後表

前回申請書 (平成30年8月17日付三原燃第18-393号をもって申請 (平成31年2月5日付三原燃第18-1013号をもって一部補正))	今回の核燃料輸送物設計変更承認申請	備考																																																																																																																																																																												
<p>胸部の各部品に発生した応力の評価結果を(a)一第A.18表に示す。</p> <p>いずれの部品についても、発生応力は評価基準を下回っており、横置き状態における積み重ね試験により胸部の構造健全性が損なわれることはない。</p> <p>(a)一第A.18表 積み重ね試験（横置き）における胸部の応力評価結果</p> <table border="1"> <thead> <tr> <th>評価位置</th> <th>応力の種類</th> <th>応力強さ (MPa)</th> <th>評価基準¹⁾ (MPa)</th> <th>余裕率 (MS)</th> </tr> </thead> <tbody> <tr> <td rowspan="2">内筒</td> <td>膜応力</td> <td></td> <td></td> <td></td> </tr> <tr> <td>膜応力+曲げ応力</td> <td></td> <td></td> <td></td> </tr> <tr> <td rowspan="2">中央部</td> <td>膜応力</td> <td></td> <td></td> <td></td> </tr> <tr> <td>膜応力+曲げ応力</td> <td></td> <td></td> <td></td> </tr> <tr> <td rowspan="2">底板側</td> <td>膜応力</td> <td></td> <td></td> <td></td> </tr> <tr> <td>膜応力+曲げ応力</td> <td></td> <td></td> <td></td> </tr> <tr> <td rowspan="2">胴ガセット</td> <td>膜応力</td> <td></td> <td></td> <td></td> </tr> <tr> <td>膜応力+曲げ応力</td> <td></td> <td></td> <td></td> </tr> <tr> <td rowspan="2">中央部</td> <td>膜応力</td> <td></td> <td></td> <td></td> </tr> <tr> <td>膜応力+曲げ応力</td> <td></td> <td></td> <td></td> </tr> <tr> <td rowspan="2">底板側</td> <td>膜応力</td> <td></td> <td></td> <td></td> </tr> <tr> <td>膜応力+曲げ応力</td> <td></td> <td></td> <td></td> </tr> <tr> <td rowspan="2">胴外板</td> <td>膜応力</td> <td></td> <td></td> <td></td> </tr> <tr> <td>膜応力+曲げ応力</td> <td></td> <td></td> <td></td> </tr> <tr> <td rowspan="2">中央部</td> <td>膜応力</td> <td></td> <td></td> <td></td> </tr> <tr> <td>膜応力+曲げ応力</td> <td></td> <td></td> <td></td> </tr> <tr> <td rowspan="2">底板側</td> <td>膜応力</td> <td></td> <td></td> <td></td> </tr> <tr> <td>膜応力+曲げ応力</td> <td></td> <td></td> <td></td> </tr> </tbody> </table> <p>注1) 評価基準は、膜応力及び膜応力+曲げ応力に対して S_y</p> <p>また、付箇書類-11に示すとおり、積み重ね試験において、衝撃吸収カバーに有意な変形は生じない他、密着性能に影響を与えるような蓋板ガスケット取付け部の口開き変形は生じない。したがって、積み重ね試験において容器の構造健全性及び密着性能が損なわれることはない。また、遮蔽解析に影響する損傷も生じない。</p> <p>(a)-A-91</p>	評価位置	応力の種類	応力強さ (MPa)	評価基準 ¹⁾ (MPa)	余裕率 (MS)	内筒	膜応力				膜応力+曲げ応力				中央部	膜応力				膜応力+曲げ応力				底板側	膜応力				膜応力+曲げ応力				胴ガセット	膜応力				膜応力+曲げ応力				中央部	膜応力				膜応力+曲げ応力				底板側	膜応力				膜応力+曲げ応力				胴外板	膜応力				膜応力+曲げ応力				中央部	膜応力				膜応力+曲げ応力				底板側	膜応力				膜応力+曲げ応力				<p>胸部の各部品に発生した応力の評価結果を(a)一第A.18表に示す。</p> <p>いずれの部品についても、発生応力は評価基準を下回っており、横置き状態における積み重ね試験により胸部の構造健全性が損なわれることはない。</p> <p>(a)一第A.18表 積み重ね試験（横置き）における胸部の応力評価結果</p> <table border="1"> <thead> <tr> <th>評価位置</th> <th>応力の種類</th> <th>応力強さ (MPa)</th> <th>評価基準¹⁾ (MPa)</th> <th>余裕率 (MS)</th> </tr> </thead> <tbody> <tr> <td rowspan="2">内筒</td> <td>膜応力</td> <td></td> <td></td> <td></td> </tr> <tr> <td>膜応力+曲げ応力</td> <td></td> <td></td> <td></td> </tr> <tr> <td rowspan="2">中央部</td> <td>膜応力</td> <td></td> <td></td> <td></td> </tr> <tr> <td>膜応力+曲げ応力</td> <td></td> <td></td> <td></td> </tr> <tr> <td rowspan="2">底板側</td> <td>膜応力</td> <td></td> <td></td> <td></td> </tr> <tr> <td>膜応力+曲げ応力</td> <td></td> <td></td> <td></td> </tr> <tr> <td rowspan="2">胴ガセット</td> <td>膜応力</td> <td></td> <td></td> <td></td> </tr> <tr> <td>膜応力+曲げ応力</td> <td></td> <td></td> <td></td> </tr> <tr> <td rowspan="2">中央部</td> <td>膜応力</td> <td></td> <td></td> <td></td> </tr> <tr> <td>膜応力+曲げ応力</td> <td></td> <td></td> <td></td> </tr> <tr> <td rowspan="2">底板側</td> <td>膜応力</td> <td></td> <td></td> <td></td> </tr> <tr> <td>膜応力+曲げ応力</td> <td></td> <td></td> <td></td> </tr> <tr> <td rowspan="2">胴外板</td> <td>膜応力</td> <td></td> <td></td> <td></td> </tr> <tr> <td>膜応力+曲げ応力</td> <td></td> <td></td> <td></td> </tr> <tr> <td rowspan="2">中央部</td> <td>膜応力</td> <td></td> <td></td> <td></td> </tr> <tr> <td>膜応力+曲げ応力</td> <td></td> <td></td> <td></td> </tr> <tr> <td rowspan="2">底板側</td> <td>膜応力</td> <td></td> <td></td> <td></td> </tr> <tr> <td>膜応力+曲げ応力</td> <td></td> <td></td> <td></td> </tr> </tbody> </table> <p>注1) 評価基準は、膜応力及び膜応力+曲げ応力に対して S_y</p> <p>また、付箇書類-11に示すとおり、積み重ね試験において、衝撃吸収カバーに有意な変形は生じない他、密着性能に影響を与えるような蓋板ガスケット取付け部の口開き変形は生じない。したがって、積み重ね試験において容器の構造健全性及び密着性能が損なわれることはない。また、遮蔽解析に影響する損傷も生じない。</p> <p>(a)-A-93</p>	評価位置	応力の種類	応力強さ (MPa)	評価基準 ¹⁾ (MPa)	余裕率 (MS)	内筒	膜応力				膜応力+曲げ応力				中央部	膜応力				膜応力+曲げ応力				底板側	膜応力				膜応力+曲げ応力				胴ガセット	膜応力				膜応力+曲げ応力				中央部	膜応力				膜応力+曲げ応力				底板側	膜応力				膜応力+曲げ応力				胴外板	膜応力				膜応力+曲げ応力				中央部	膜応力				膜応力+曲げ応力				底板側	膜応力				膜応力+曲げ応力				<ul style="list-style-type: none"> ・知見の更新に関する説明の追加
評価位置	応力の種類	応力強さ (MPa)	評価基準 ¹⁾ (MPa)	余裕率 (MS)																																																																																																																																																																										
内筒	膜応力																																																																																																																																																																													
	膜応力+曲げ応力																																																																																																																																																																													
中央部	膜応力																																																																																																																																																																													
	膜応力+曲げ応力																																																																																																																																																																													
底板側	膜応力																																																																																																																																																																													
	膜応力+曲げ応力																																																																																																																																																																													
胴ガセット	膜応力																																																																																																																																																																													
	膜応力+曲げ応力																																																																																																																																																																													
中央部	膜応力																																																																																																																																																																													
	膜応力+曲げ応力																																																																																																																																																																													
底板側	膜応力																																																																																																																																																																													
	膜応力+曲げ応力																																																																																																																																																																													
胴外板	膜応力																																																																																																																																																																													
	膜応力+曲げ応力																																																																																																																																																																													
中央部	膜応力																																																																																																																																																																													
	膜応力+曲げ応力																																																																																																																																																																													
底板側	膜応力																																																																																																																																																																													
	膜応力+曲げ応力																																																																																																																																																																													
評価位置	応力の種類	応力強さ (MPa)	評価基準 ¹⁾ (MPa)	余裕率 (MS)																																																																																																																																																																										
内筒	膜応力																																																																																																																																																																													
	膜応力+曲げ応力																																																																																																																																																																													
中央部	膜応力																																																																																																																																																																													
	膜応力+曲げ応力																																																																																																																																																																													
底板側	膜応力																																																																																																																																																																													
	膜応力+曲げ応力																																																																																																																																																																													
胴ガセット	膜応力																																																																																																																																																																													
	膜応力+曲げ応力																																																																																																																																																																													
中央部	膜応力																																																																																																																																																																													
	膜応力+曲げ応力																																																																																																																																																																													
底板側	膜応力																																																																																																																																																																													
	膜応力+曲げ応力																																																																																																																																																																													
胴外板	膜応力																																																																																																																																																																													
	膜応力+曲げ応力																																																																																																																																																																													
中央部	膜応力																																																																																																																																																																													
	膜応力+曲げ応力																																																																																																																																																																													
底板側	膜応力																																																																																																																																																																													
	膜応力+曲げ応力																																																																																																																																																																													

核燃料輸送物設計変更承認申請に係る変更前後表

前回申請書 (平成30年8月17日付三原燃第18-393号をもって申請 (平成31年2月5日付三原燃第18-1013号をもって一部補正))	今回の核燃料輸送物設計変更承認申請	備考
<p>A.5.5 貫通</p> <p>質量 6 kg、直径 3.2 cm の軟鋼棒が 1m の高さから輸送物の外表面に落下した場合の貫通の有無を評価する。</p> <p>本試験は軟鋼棒の落下が輸送容器の密封性能に与える影響を評価するものであり、密封境界を構成する部品が対象となることから、その損傷が密封性能に影響しない衝撃吸収カバーを除く容器本体外表面のうち、最も板厚の薄い胴外板 (mm) を対象として、棒が貫通しないことを示す。</p> <p>落下前の棒が持つボテンシャルエネルギー (W_p) は、次式で表わされる。</p> $W_p = m g h$ <p>ここで、m : 棒の質量 [6 kg] g : 重力加速度 [9.81 m/s²] h : 落下高さ [1,000 mm]</p> <p>したがって、</p> $W_p = 6 \times 9.81 \times 1000 = 5.89 \times 10^4 \text{ N}\cdot\text{mm}$ <p>一方、棒が板厚 (mm) の外板を貫通するために必要なエネルギー (W) は、次式で求められる。((v)-第A.48図参照)</p> $W = \int_0^t \tau_{cr} \pi d (t-y) dy = \tau_{cr} \pi d \times \frac{1}{2} \times t^2$ <p>ここで、τ_{cr} : 脇外板のせん断強さ [0.6 Su = () MPa (70°C)] d : 棒の直径 [32 mm] t : 脇外板の板厚 [mm]</p> <p>積分を行い、数値を代入すると、</p> $W = \tau_{cr} \pi d \times \frac{1}{2} \times t^2$ $= () \times \pi \times 32 \times \frac{1}{2} \times ()^2 = () \text{ N}\cdot\text{mm}$ <p>棒が持つボテンシャルエネルギーと板厚 (mm) の脇外板を貫通するために必要なエネルギーを比較すると、</p> $W_p (5.89 \times 10^4 \text{ N}\cdot\text{mm}) < W (() \text{ N}\cdot\text{mm})$ <p>となるため、棒の落下によって脇外板が貫通することはない。</p> <p>よって、棒の落下により密封装置が影響をうけることはなく、本輸送物の健全性が損なわれることはない。</p> <p>((v)-A-92)</p>	<p>A.5.5 貫通</p> <p>質量 6 kg、直径 3.2 cm の棒が 1m の高さから輸送物の外表面に落下した場合の貫通の有無を評価する。</p> <p>この落下を受ける部品として、密封装置を構成する容器本体の外表面のうち、最も板厚の薄い脇外板 (mm) を対象とし、棒が貫通しないことを示す。</p> <p>落下前の棒が持つボテンシャルエネルギー (W_p) は、次式で表わされる。</p> $W_p = m g h$ <p>ここで、m : 棒の質量 [6 kg] g : 重力加速度 [9.81 m/s²] h : 落下高さ [1,000 mm]</p> <p>したがって、</p> $W_p = 6 \times 9.81 \times 1000 = 5.89 \times 10^4 \text{ N}\cdot\text{mm}$ <p>一方、棒が板厚 (mm) の外板を貫通するために必要なエネルギー (W) は、次式で求められる。((v)-第A.48図参照)</p> $W = \int_0^t \tau_{cr} \pi d (t-y) dy = \tau_{cr} \pi d \times \frac{1}{2} \times t^2$ <p>ここで、τ_{cr} : 脇外板のせん断強さ [0.6 Su = () MPa (70°C)] d : 棒の直径 [32 mm] t : 脇外板の板厚 [mm]</p> <p>積分を行い、数値を代入すると、</p> $W = \tau_{cr} \pi d \times \frac{1}{2} \times t^2$ $= () \times \pi \times 32 \times \frac{1}{2} \times ()^2 = () \text{ N}\cdot\text{mm}$ <p>棒が持つボテンシャルエネルギーと板厚 (mm) の脇外板を貫通するために必要なエネルギーを比較すると、</p> $W_p (5.89 \times 10^4 \text{ N}\cdot\text{mm}) < W (() \text{ N}\cdot\text{mm})$ <p>となるため、棒の落下によって脇外板が貫通することはない。</p> <p>なお、密封装置以外の部位を含めた輸送物の外表面のうち最も板厚の薄い部位は、衝撃吸収カバーの外板 (mm) であるが、棒の落下により貫通することなく、棒が衝撃吸収カバーで留められた密封装置に到達することはない。(付属書類-12参照)</p> <p>よって、棒の落下により密封装置が影響をうけることはなく、本輸送物の健全性は損なわれることはない。また、密封装置に影響する損傷も生じない。</p> <p>((v)-A-94)</p>	<ul style="list-style-type: none"> 記載の適正化 知見の更新に関する説明の追加

核燃料輸送物設計変更承認申請に係る変更前後表

前回申請書 (平成 30 年 8 月 17 日付三原燃第 18-393 号をもって申請 (平成 31 年 2 月 5 日付三原燃第 18-1013 号をもって一部補正))	今回の核燃料輸送物設計変更承認申請	備考
<p>A. 5.6 角又は縁落下</p> <p>本輸送物は、鋼製の円筒形で重量は 19.5 トンであり、角又は縁落下の対象には該当しない。</p> <p>A. 5.7 結果の要約及びその評価</p> <p>一般的試験条件下的試験後の状態を以下に要約する。</p> <p>(1) 热的試験</p> <p>本体及び蓋板並びに蓋板締付けボルトに発生する応力は、評価基準を下回っている。</p> <p>バスケットと容器本体の内面間には隙間が存在し、拘束による熱応力は生じない。</p> <p>したがって、熱的試験において容器の構造健全性及び密封性能は維持される。</p> <p>(2) 水噴霧</p> <p>水噴霧により、輸送容器の構成部品に劣化や腐食は生じることなく、密封性能及び遮蔽性能への影響はない。</p> <p>(3) 自由落下</p> <p>容器本体については、水平落下において [] に [] %以下の微小な塑性歪が発生したが、垂直、コーナー落下においては塑性歪の発生は見られなかった。また、いずれの落下姿勢においても蓋板締付けボルト及び密封シール面の発生応力は評価基準の降伏応力を下回っている。</p> <p>バスケットについては、最も厳しい落下姿勢である水平落下において、構成部品に塑性歪は発生していない。</p> <p>したがって、自由落下において容器の構造健全性及び密封性能は維持される。</p> <p>収納物である燃料集合体については、燃料被覆管を対象とした解析において垂直落下で [] %の塑性歪が発生したが最小破断伸びに比べて十分小さい。また、水平落下では塑性歪の発生は見られなかった。</p> <p>したがって、自由落下において燃料被覆管にき裂や破断が生じることはない。</p> <p>(4) 積み重ね試験</p> <p>輸送物の重量の 5 倍に相当する荷重を受けた時の胴部に発生する応力は、評価基準を下回っている。</p> <p>したがって、積み重ね試験において胴部の構造健全性は維持される。</p> <p>(5) 貫通</p> <p>胴外板に 6 kg 棒を 1m 高さから落下させた場合でも貫通することなく、密封性能に影響は生じない。</p>	<p>A. 5.6 角又は縁落下</p> <p>本輸送物は、鋼製の円筒形で重量は 19.5 トンであり、角又は縁落下の対象には該当しない。</p> <p>A. 5.7 結果の要約及びその評価</p> <p>一般的試験条件下的試験後の <u>輸送物の安全性について</u> 以下に要約する。</p> <p>(1) 热的試験</p> <p>本体及び蓋板並びに蓋板締付けボルトに発生する応力は、評価基準を下回っており、<u>蓋板ガスケット締付け部における口押き変形量は、バスケットの初期締付け時 (つぶれ高さ) 上よりも十分小さい。</u></p> <p>バスケットと容器本体の内面間には隙間が存在し、拘束による熱応力は生じない。</p> <p>したがって、熱的試験において容器の構造健全性及び密封性能は維持される。</p> <p>(2) 水噴霧</p> <p>水噴霧により、輸送物の構成部品に劣化や腐食は生じることなく、<u>輸送物の構成部品及び密封性能への影響はない</u>ことになり、また、遮蔽性能に影響する掛合も生じない。</p> <p>(3) 自由落下</p> <p>容器本体については、水平落下において [] に [] %以下の微小な塑性歪が発生したが、垂直、コーナー落下においては塑性歪の発生は見られなかった。また、いずれの落下姿勢においても蓋板締付けボルト及び密封シール面の発生応力は評価基準の降伏応力を下回っており、<u>蓋板ガスケット締付け部における初期締付け高さ、ガスケットの初期締付け時 (つぶれ高さ) 上よりも十分小さい。</u></p> <p>バスケットについては、最も厳しい落下姿勢である水平落下において、構成部品に塑性歪は発生していない。</p> <p>したがって、自由落下において容器の構造健全性及び密封性能は維持される。</p> <p>収納物である燃料集合体については、燃料被覆管を対象とした解析において垂直落下で [] %の塑性歪が発生したが最小破断伸びに比べて十分小さい。また、水平落下では塑性歪の発生は見られなかった。</p> <p>したがって、自由落下において燃料被覆管に <u>き裂や破断が生じことはない</u>、燃料被覆管の密着性は維持される。</p>	<ul style="list-style-type: none"> ・知見の更新に関する記載の見直し

核燃料輸送物設計変更承認申請に係る変更前後表

前回申請書 (平成 30 年 8 月 17 日付三原燃第 18-393 号をもって申請 (平成 31 年 2 月 5 日付三原燃第 18-1013 号をもって一部補正))	今回の核燃料輸送物設計変更承認申請	備考
<p>A. 6 特別の試験条件</p> <p>本輸送物はA型輸送物であり、本項の試験条件は該当しない。</p> <p>A. 7 強化浸漬試験</p> <p>本輸送物の最大放射能量はA_z値以下であり、本項の試験条件は該当しない。</p> <p>A. 8 放射性収納物</p> <p>本輸送物の放射性収納物は、未使用のBWR燃料集合体である。</p> <p>BWR燃料集合体の仕様及び構造図をそれぞれ(i)ー第D.1表及び(ii)ー第D.2図に示す。</p> <p>燃料集合体の強度については、A. 9 核分裂性輸送物において評価しており、核分裂性輸送物に係る一般的な試験条件の自由落下及び特別の試験条件である 9m 落下時には、燃料被覆管に塑性歪が発生するものの、最小破断伸びに比べて十分に小さいため、破断して燃料被覆管内の燃料が容器内部空間に放散されることはない。</p> <p>A. 9 核分裂性輸送物</p> <p>本輸送物は、核分裂性輸送物に該当する。</p> <p>したがって、(a)ーE臨界解折において想定する輸送物の損傷状態を、以下の試験条件に対して評価する。</p> <p>A. 9.1 核分裂性輸送物に係る一般的な試験条件</p> <p>核分裂性輸送物に係る一般的な試験条件として、水噴霧、自由落下、積み重ね試験及び貫通の各試験の重量効果を考慮する。</p> <p>(a)ーE臨界解折における評価方法を考慮して、影響する輸送物の損傷状態を A. 5 の解析結果をもとに評価すると以下のようになる。</p> <p>(1) 水噴霧</p> <p>A. 5.2 と同様に、輸送物に損傷はない。</p> <p>(2) 自由落下</p> <p>A. 5.3 と同様に、緩衝体に変形が生じるが臨界体系を構成する容器本体に損傷はない。</p> <p>燃料被覆管は、A. 5.3 に示すように、自由落下において塑性歪が発生するものの最小破断伸びに比べて十分に小さいため破断することはない。</p>	<p>(4) 積み重ね試験</p> <p>輸送物の重量の 5 倍に相当する荷重を受けた時の胴部に発生する応力は、評価基準を下回っている。</p> <p>したがって、衝撃吸収カバーに荷重が作用するとは假定し、仮想的に輸送容器を積み重ねた場合においても、衝撃吸収カバーに有意な変形が生じることはない。荷重は常に胴部にかかる上りた蓋板ガスケット取付部の開き変形は生じない。</p> <p>したがって、積み重ね試験において容器の構造強度に対する荷重が作用しなくなることはない。したがって、積み重ね試験に影響する損傷は生じない。</p> <p>(5) 貨通</p> <p>荷封装置を構成する容器本体の構外取扱いは密封装置を備えている専用荷封カバーの外側に 0.5t 位を加減するか落下させた場合でも、材の落下により自滅するこより多く、材が密封境界に倒れることはない。</p> <p>したがって、貨通により専用の荷封装置及び密封装置が損傷されることはない。また、荷封装置に影響する損傷は生じない。</p> <p>A. 6 特別の試験条件</p> <p>本輸送物はA型輸送物であり、本項の試験条件は該当しない。</p> <p>A. 7 強化浸漬試験</p> <p>本輸送物の最大放射能量はA_z値以下であり、本項の試験条件は該当しない。</p> <p>A. 8 放射性収納物</p> <p>本輸送物の放射性収納物は、未使用のBWR燃料集合体である。</p> <p>BWR燃料集合体の仕様及び構造図をそれぞれ(i)ー第D.1表及び(ii)ー第D.2図、(iii)ー第D.3図に示す。</p> <p>燃料集合体の強度については、A. 9 核分裂性輸送物において評価しており、核分裂性輸送物に係る一般的な試験条件の自由落下及び特別の試験条件である 9m 落下時には、燃料被覆管に塑性歪が発生するものの、最小破断伸びに比べて十分に小さいため、破断して燃料被覆管内の燃料が放散されることはない。</p>	<ul style="list-style-type: none"> ・知見の更新に関する記載の見直し ・記載の適正化

核燃料輸送物設計変更承認申請に係る変更前後表

前回申請書 (平成 30 年 8 月 17 日付三原燃第 18-393 号をもって申請 (平成 31 年 2 月 5 日付三原燃第 18-1013 号をもって一部補正))	今回の核燃料輸送物設計変更承認申請	備考																							
<p>(3) 積み重ね試験</p> <p>A. 5.4 と同様に、臨界体系を構成する容器本体に損傷はない。</p> <p>(4) 貫通</p> <p>A. 5.5 と同様に、臨界体系を構成する容器本体に損傷はない。</p> <p>以上の結果より、核分裂性輸送物に係る一般的な試験条件における輸送物の損傷状態は (a) 第 A. 19 表のようにまとめられる。本輸送物は、(b) 第 A. 20 表に示すように、規則及び告示に定められている核分裂性輸送物に係る一般的な試験条件としての要件を満足する。</p> <p>(a) 第 A. 19 表 核分裂性輸送物に係る一般的な試験条件下的輸送物の損傷状態</p> <table border="1"> <thead> <tr> <th>試験条件</th><th>輸送物の損傷状態</th><th>備 考</th></tr> </thead> <tbody> <tr> <td>水噴霧</td><td>損傷なし</td><td>—</td></tr> <tr> <td rowspan="2">自由落下</td><td>衝撃吸収カバーの変形</td><td>衝撃吸収カバーは臨界解析で無視する。</td></tr> <tr><td>燃料被覆管の変形</td><td>燃料被覆管の変形を臨界解析において考慮する。</td></tr> <tr> <td>積み重ね試験</td><td>損傷なし</td><td>—</td></tr> <tr> <td>貫 通</td><td>損傷なし</td><td>—</td></tr> </tbody> </table> <p>(b) 第 A. 20 表 核分裂性輸送物に係る一般的な試験条件における適合性評価</p> <table border="1"> <thead> <tr> <th>核分裂性輸送物としての要件</th><th>評 價</th></tr> </thead> <tbody> <tr> <td>構造部に一辺 10 cm の立方体を包含するようなくぼみが生じないこと。</td><td>衝撃吸収カバーが変形するが、一辺 10 cm の立方体を包含するようなくぼみは生じない。</td></tr> <tr> <td>外接する直方体の各辺が 10 cm 以上であること。</td><td>外接する直方体の各辺は 10 cm 以上である。</td></tr> </tbody> </table>	試験条件	輸送物の損傷状態	備 考	水噴霧	損傷なし	—	自由落下	衝撃吸収カバーの変形	衝撃吸収カバーは臨界解析で無視する。	燃料被覆管の変形	燃料被覆管の変形を臨界解析において考慮する。	積み重ね試験	損傷なし	—	貫 通	損傷なし	—	核分裂性輸送物としての要件	評 價	構造部に一辺 10 cm の立方体を包含するようなくぼみが生じないこと。	衝撃吸収カバーが変形するが、一辺 10 cm の立方体を包含するようなくぼみは生じない。	外接する直方体の各辺が 10 cm 以上であること。	外接する直方体の各辺は 10 cm 以上である。	<p>A. 9 核分裂性輸送物</p> <p>本輸送物は、核分裂性輸送物に該当する。</p> <p>したがって、(a) 第 A. 20 表に示すように、規則及び告示に定められている核分裂性輸送物に係る一般的な試験条件に対して評価する。</p> <p>A. 9.1 核分裂性輸送物に係る一般的な試験条件</p> <p>核分裂性輸送物に係る一般的な試験条件として、水噴霧、自由落下、積み重ね試験及び貫通の各試験の重複効果を考慮する。</p> <p>核分裂性輸送物に係る一般的な試験条件における輸送物の損傷状態を A. 5 の解析結果をもとに評価すると以下のようになる。</p> <p>(1) 水噴霧</p> <p>A. 5.2 と同様に、輸送物に損傷はない。</p> <p>(2) 自由落下</p> <p>A. 5.3 と同様に、緩衝体に変形が生じる容器本体に損傷する可能性は無視的である。</p> <p>燃料被覆管は、A. 5.3 に示すように、自由落下において塑性歪が発生するもの最も破断伸びに比べて十分に小さいため破断することはない。</p> <p>(3) 積み重ね試験</p> <p>A. 5.4 と同様に、容器本体に損傷はない。</p> <p>(4) 貫通</p> <p>A. 5.5 と同様に、容器本体に損傷はない。</p> <p>以上の結果より、核分裂性輸送物に係る一般的な試験条件における輸送物の損傷状態は (a) 第 A. 19 表のようにまとめられる。本輸送物は、(b) 第 A. 20 表に示すように、規則及び告示に定められている核分裂性輸送物に係る一般的な試験条件としての要件を満足する。</p>	<ul style="list-style-type: none"> 記載の適正化 (文章の一部見直し)
試験条件	輸送物の損傷状態	備 考																							
水噴霧	損傷なし	—																							
自由落下	衝撃吸収カバーの変形	衝撃吸収カバーは臨界解析で無視する。																							
	燃料被覆管の変形	燃料被覆管の変形を臨界解析において考慮する。																							
積み重ね試験	損傷なし	—																							
貫 通	損傷なし	—																							
核分裂性輸送物としての要件	評 價																								
構造部に一辺 10 cm の立方体を包含するようなくぼみが生じないこと。	衝撃吸収カバーが変形するが、一辺 10 cm の立方体を包含するようなくぼみは生じない。																								
外接する直方体の各辺が 10 cm 以上であること。	外接する直方体の各辺は 10 cm 以上である。																								

核燃料輸送物設計変更承認申請に係る変更前後表

前回申請書 (平成 30 年 8 月 17 日付三原燃第 18-393 号をもって申請 (平成 31 年 2 月 5 日付三原燃第 18-1013 号をもって一部補正))	今回の核燃料輸送物設計変更承認申請	備考																
	<p>(v) - 第 A. 19 表 核分裂性輸送物に係る一般の試験条件下の輸送物の損傷状態</p> <table border="1"> <thead> <tr> <th>試験条件</th><th>輸送物の損傷状態</th></tr> </thead> <tbody> <tr> <td>水噴霧</td><td>損傷なし</td></tr> <tr> <td>自由落下</td><td> <ul style="list-style-type: none"> ・衝撃吸収カバーが変形する。 ・容器本体に発生する塑性歪は局所的であり 断続は推測される。 ・燃料被覆管に塑性歪が発生するが破断することはない。 </td></tr> <tr> <td>積み重ね試験</td><td>損傷なし</td></tr> <tr> <td>貫通</td><td>損傷なし</td></tr> </tbody> </table> <p>(vi) - 第 A. 20 表 核分裂性輸送物に係る一般の試験条件における適合性評価</p> <table border="1"> <thead> <tr> <th>核分裂性輸送物としての要件</th><th>評価</th></tr> </thead> <tbody> <tr> <td>構造部に一辺 10 cm の立方体を包含するようなくぼみが生じないこと。</td><td>衝撃吸収カバーが変形するが、一辺 10 cm の立方体を包含するようなくぼみは生じない。</td></tr> <tr> <td>外接する直方体の各辺が 10 cm 以上であること。</td><td>外接する直方体の各辺は 10 cm 以上である。</td></tr> </tbody> </table>	試験条件	輸送物の損傷状態	水噴霧	損傷なし	自由落下	<ul style="list-style-type: none"> ・衝撃吸収カバーが変形する。 ・容器本体に発生する塑性歪は局所的であり 断続は推測される。 ・燃料被覆管に塑性歪が発生するが破断することはない。 	積み重ね試験	損傷なし	貫通	損傷なし	核分裂性輸送物としての要件	評価	構造部に一辺 10 cm の立方体を包含するようなくぼみが生じないこと。	衝撃吸収カバーが変形するが、一辺 10 cm の立方体を包含するようなくぼみは生じない。	外接する直方体の各辺が 10 cm 以上であること。	外接する直方体の各辺は 10 cm 以上である。	<ul style="list-style-type: none"> ・記載の適正化 (損傷状態の明確化)
試験条件	輸送物の損傷状態																	
水噴霧	損傷なし																	
自由落下	<ul style="list-style-type: none"> ・衝撃吸収カバーが変形する。 ・容器本体に発生する塑性歪は局所的であり 断続は推測される。 ・燃料被覆管に塑性歪が発生するが破断することはない。 																	
積み重ね試験	損傷なし																	
貫通	損傷なし																	
核分裂性輸送物としての要件	評価																	
構造部に一辺 10 cm の立方体を包含するようなくぼみが生じないこと。	衝撃吸収カバーが変形するが、一辺 10 cm の立方体を包含するようなくぼみは生じない。																	
外接する直方体の各辺が 10 cm 以上であること。	外接する直方体の各辺は 10 cm 以上である。																	

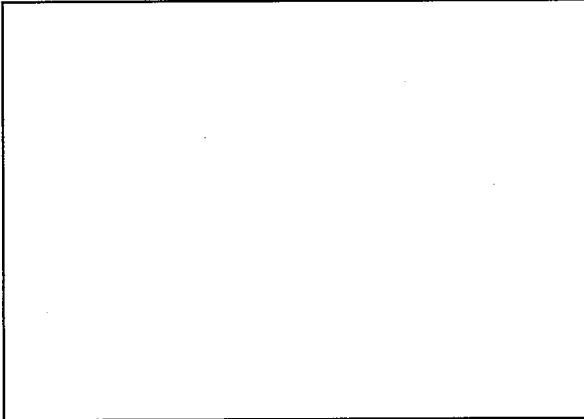
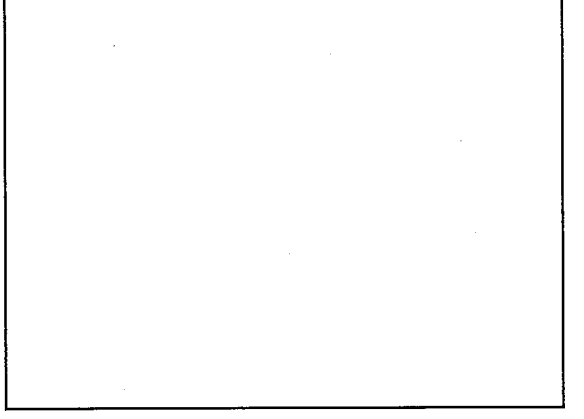
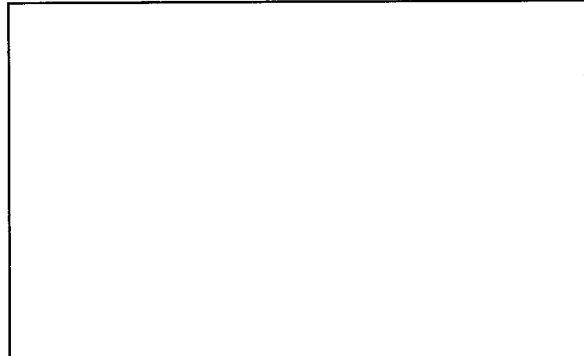
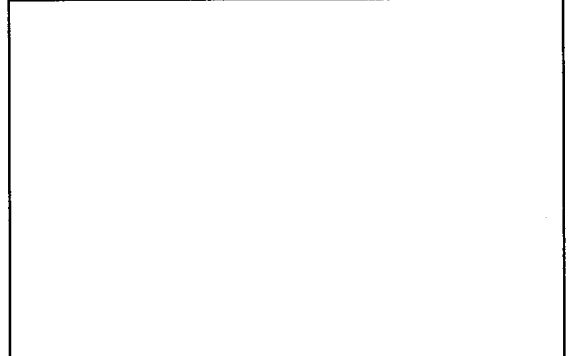
核燃料輸送物設計変更承認申請に係る変更前後表

前回申請書 (平成 30 年 8 月 17 日付三原燃第 18-393 号をもって申請 (平成 31 年 2 月 5 日付三原燃第 18-1013 号をもって一部補正))	今回の核燃料輸送物設計変更承認申請	備考
<p>A. 9.2 核分裂性輸送物に係る特別の試験条件</p> <p>核分裂性輸送物に係る特別の試験条件として、次の試験手順のうち最大の破損を受ける条件の下に置く。</p> <p>(a) 一般的試験条件後の損傷状態 + 9m落下試験 + 1m落下試験 + 热的試験（耐火） + 0.9m浸漬試験</p> <p>(b) 一般的試験条件後の損傷状態 + 15m浸漬試験</p> <p>本輸送容器は、水深 15m に相当する外圧に対して十分な構造強度を有しており容器本体部品に損傷は生じない。（付属書類-4 参照）</p> <p>したがって、上記(a)と(b)のうち、輸送物の損傷が生じる(a)の条件で重量効果を考慮する。</p> <p>ここで、一般的試験条件としては、(a) - 第 A. 19 表に示すように損傷がある自由落下を考慮する。</p> <p>(a) - E 隅界解析における評価方法を考慮して、影響する輸送物の損傷状態を以下に評価する。</p> <p>(1) 9m落下試験</p> <p>A. 9.1 の自由落下と 9m落下の落下方向が同一の場合に衝撃吸収カバーの変形量が最大になり、輸送物に作用する衝撃も最大になると考えられるため、0.3mと 9mを合計して落下高さを 9.3mとした場合について検討する。</p> <p>A. 5.3 にて述べたように、輸送物の落下時における挙動については、実機の [] [] モデルを用いたモックアップ試験が実施されており、種々の落下姿勢及び条件における変形、衝撃加速度及び密封機能の状態が測定された。試験の結果、9m落下において容器本体に変形は見られず密封機能の損傷も生じていないことが確認されている。</p> <p>ここでは、解析手法を用いて容器本体、バスケット及び収納物の落下時における挙動を定量的に求める。</p> <p>a. 容器本体</p> <p>容器本体及び衝撃吸収カバーを実形状に従ってモデル化して、9m落下時（落下高さは 9.3m）の事象を動的解析コード LS-DYNA を用いて模擬し、容器本体各部に発生する応力及び歪を求め、臨界解析 [] する形で変形 [] について評価する。</p> <p>なお、容器本体に作用する衝撃荷重は、衝撃吸収カバーの緩衝特性に依存することから、解析モデルに与える衝撃吸収カバーの特性の妥当性は、モックアップ試験の代表的なケースを対象とした確認解析により確認している。（付属書類-2 参照）</p>	<p>A. 9.2 核分裂性輸送物に係る特別の試験条件</p> <p>核分裂性輸送物に係る特別の試験条件として、次の試験手順のうち最大の破損を受ける条件の下に置く。</p> <p>(a) 一般的試験条件後の損傷状態 + 9m落下試験 + 1m落下試験 + 热的試験（耐火） + 0.9m浸漬試験</p> <p>(b) 一般的試験条件後の損傷状態 + 15m浸漬試験</p> <p>本輸送容器は、水深 15m に相当する外圧に対して十分な構造強度を有しており容器本体部品に損傷は生じない。（付属書類-4 参照）</p> <p>したがって、上記(a)と(b)のうち、輸送物の損傷が生じる(a)の条件で重量効果を考慮する。</p> <p>ここで、一般的試験条件としては、(a) - 第 A. 19 表に示すように損傷がある自由落下を考慮する。</p> <p>[] 分裂性輸送物に係る特別の試験条件における [] 輸送物の損傷状態を以下に評価する。</p> <p>(1) 9m落下試験</p> <p>A. 9.1 の自由落下と 9m落下の落下方向が同一の場合に衝撃吸収カバーの変形量が最大になり、輸送物に作用する衝撃も最大になると考えられるため、0.3mと 9mを合計して落下高さを 9.3mとした場合について検討する。</p> <p>A. 5.3 にて述べたように、輸送物の落下時における挙動については、実機の [] [] モデルを用いたモックアップ試験が実施されており、種々の落下姿勢及び条件における変形、衝撃加速度及び密封機能の状態が測定された。試験の結果、9m落下において容器本体に変形は見られず密封機能の損傷も生じていないことが確認されている。</p> <p>ここでは、解析手法を用いて容器本体、バスケット及び収納物の落下時における挙動を定量的に求める。</p> <p>a. 容器本体</p> <p>容器本体及び衝撃吸収カバーを実形状に従ってモデル化して、9m落下時（落下高さは 9.3m）の事象を動的解析コード LS-DYNA を用いて模擬し、容器本体各部に発生する応力及び歪を求め、臨界解析 [] する形で変形 [] について評価する。</p> <p>なお、容器本体に作用する衝撃荷重は、衝撃吸収カバーの緩衝特性に依存することから、解析モデルに与える衝撃吸収カバーの特性の妥当性は、モックアップ試験の代表的なケースを対象とした確認解析により確認している。（付属書類-2 参照）</p>	<ul style="list-style-type: none"> 記載の適正化

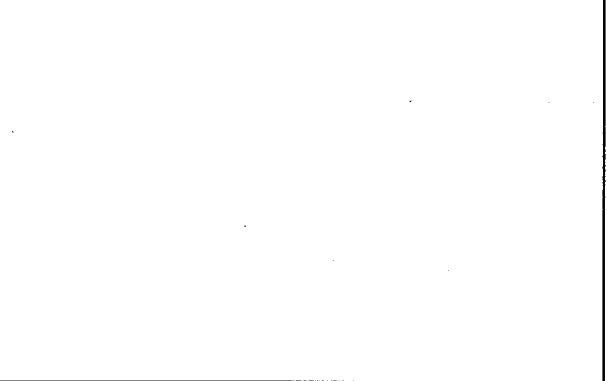
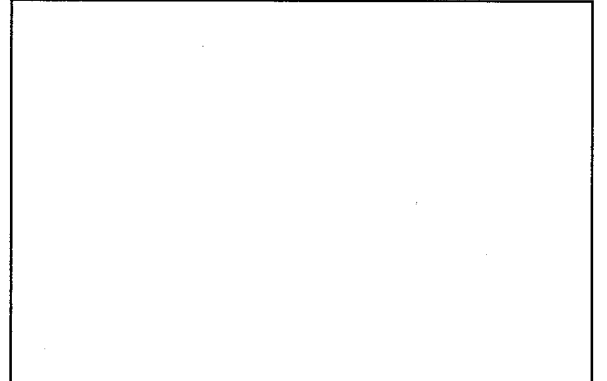
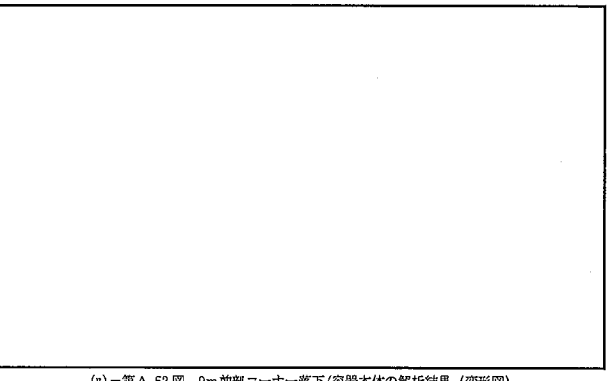
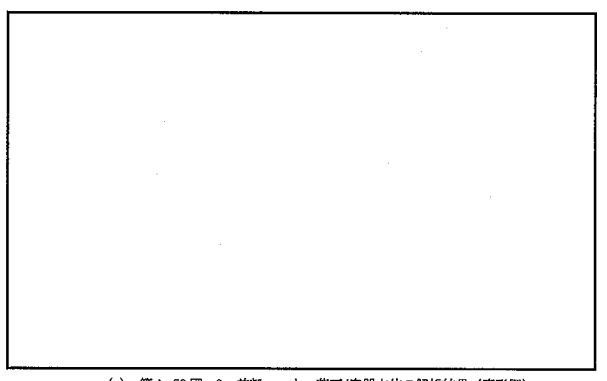
核燃料輸送物設計変更承認申請に係る変更前後表

前回申請書 (平成 30 年 8 月 17 日付三原燃第 18-393 号をもって申請 (平成 31 年 2 月 5 日付三原燃第 18-1013 号をもって一部補正))	今回の核燃料輸送物設計変更承認申請	備考
<p>(a) 解析モデル</p> <p>解析モデルは、A.5.3 の自由落下の評価に用いたものと同じモデルを適用する。</p> <p>(b) 荷重条件及び境界条件</p> <p>落下姿勢に応じた角度で剛体面に接した解析モデルに対し、まず、蓋板締付けボルトに初期締付けによる引張応力 (□ MPa) に相当する応力を発生させる。続いて、9m 落下時の衝突速度 (9.3m の落下高さに相当する 13.6m/sec) を与える。</p> <p>解析ケースとして、以下の各落下姿勢について解析を行う。</p> <ul style="list-style-type: none"> ① 垂直落下 (前部及び後部) ② 水平落下 ③ コーナー落下 (前部及び後部) ④ 傾斜落下 (二次衝撃：蓋側、傾斜角度：30°) <p>(c) 解析結果</p> <p>解析は最大変形が確認できる時刻まで実行し、解析結果として、最大変形量、落下中の各構造強度部材に発生する歪及び蓋板締付けボルトの応力を抽出した。</p> <p>各落下姿勢における衝撃吸収カバーの変形図を (a)- 第 A.49 図～(a)- 第 A.54 図に示す。</p> <p>各落下姿勢における損傷状態に関する解析結果を以下に示す。</p> <p>i. 前部垂直落下</p> <p>容器本体部品のうち、[] には □ % 以下の塑性歪が発生しているが、[] 破断することはない。他の部品には塑性歪の発生はない。</p> <p>したがって、前部垂直落下において、容器本体には臨界解析で考慮を要する形状の変化は生じない。</p> <p>ii. 後部垂直落下</p> <p>容器本体部品のうち、[] にそれぞれ最大 □ %、□ %、□ % 及び □ % の塑性歪 ((a)- 第 A.55 図に示す。) が発生しているが、[] 形状は維持される。</p> <p>したがって、後部垂直落下において、容器本体には臨界解析で考慮を要する形状の変化は生じない。</p>	<p>(a) 解析モデル</p> <p>解析モデルは、A.5.3 の自由落下の評価に用いたものと同じモデルを適用する。</p> <p>(b) 荷重条件及び境界条件</p> <p>落下姿勢に応じた角度で剛体面に接した解析モデルに対し、まず、蓋板締付けボルトに初期締付けによる引張応力 (□ MPa) に相当する応力を発生させる。続いて、9m 落下時の衝突速度 (9.3m の落下高さに相当する 13.6m/sec) を与える。</p> <p>解析ケースとして、以下の各落下姿勢について解析を行う。</p> <ul style="list-style-type: none"> ① 垂直落下 (前部及び後部) ② 水平落下 ③ コーナー落下 (前部及び後部) ④ 傾斜落下 (二次衝撃：蓋側、傾斜角度：30°) <p>(c) 解析結果</p> <p>解析は最大変形が確認できる時刻まで実行し、解析結果として、最大変形量、落下中の各構造強度部材に発生する歪及び蓋板締付けボルトの応力を抽出した。</p> <p>各落下姿勢における衝撃吸収カバーの変形図を (a)- 第 A.49 図～(a)- 第 A.54 図に示す。</p> <p>各落下姿勢における損傷状態に関する解析結果を以下に示す。</p> <p>i. 前部垂直落下</p> <p>容器本体部品のうち、[] には □ % 以下の塑性歪が発生しているが、[] 破断することはない。他の部品には塑性歪の発生はない。形状の変化は生じない。</p> <p>ii. 後部垂直落下</p> <p>容器本体部品のうち、[] にそれぞれ最大 □ %、□ %、□ % 及び □ % の塑性歪 ((a)- 第 A.55 図に示す。) が発生しているが、[] 形状は維持される。</p>	<p>・記載の適正化 (文章の一部見直し)</p>

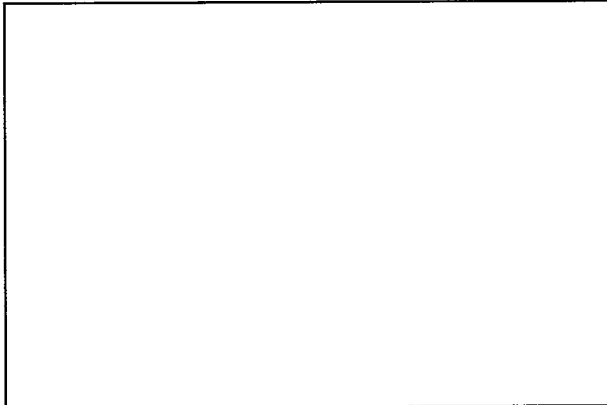
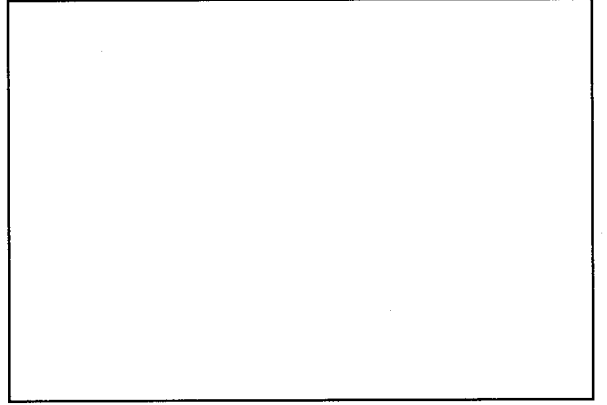
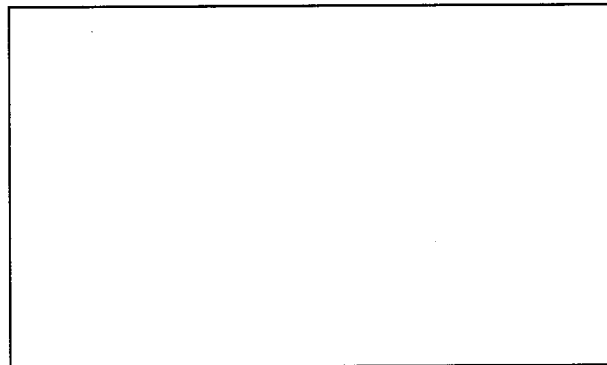
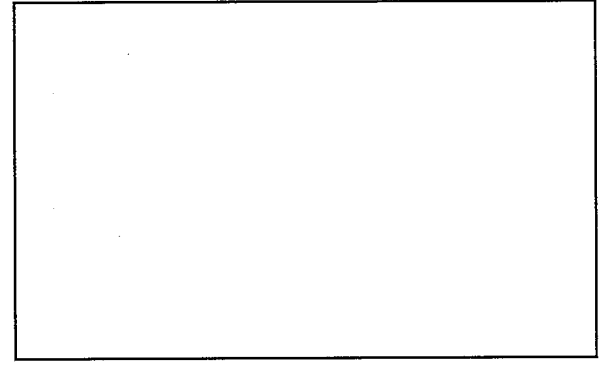
核燃料輸送物設計変更承認申請に係る変更前後表

前回申請書 (平成30年8月17日付三原燃第18-393号をもって申請 (平成31年2月5日付三原燃第18-1013号をもって一部補正))	今回の核燃料輸送物設計変更承認申請	備考
		—
<p>(v) - 第A.49図 9m前部垂直落下/容器本体の解析結果(変形図)</p> 	<p>(v) - 第A.49図 9m前部垂直落下/容器本体の解析結果(変形図)</p> 	(v) - A - 98 (v) - A - 101

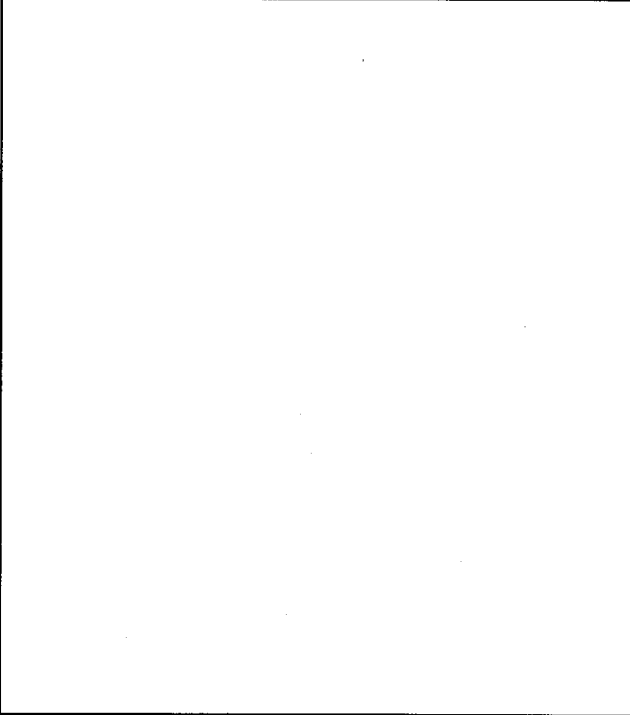
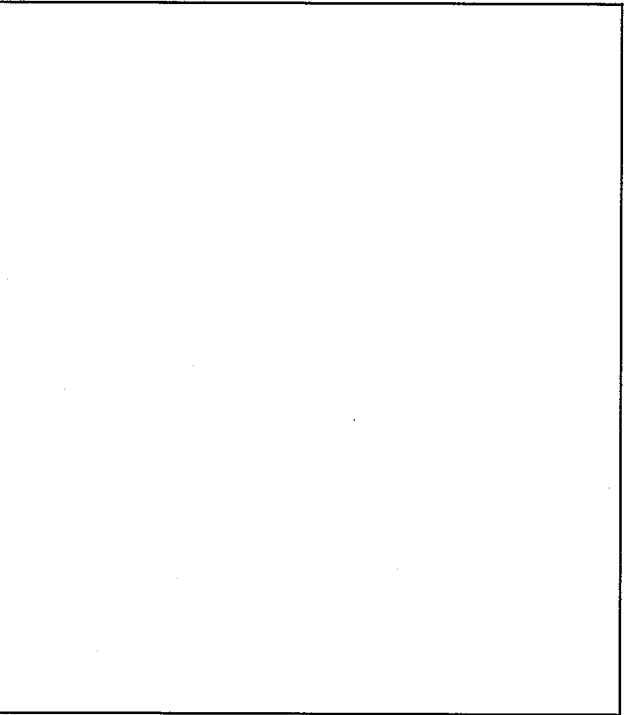
核燃料輸送物設計変更承認申請に係る変更前後表

前回申請書 (平成 30 年 8 月 17 日付三原燃第 18-393 号をもって申請 (平成 31 年 2 月 5 日付三原燃第 18-1013 号をもって一部補正))	今回の核燃料輸送物設計変更承認申請	備考
		—
		
(v) - 第 A. 51 図 9m 水平落下/容器本体の解析結果 (変形図)	(v) - 第 A. 51 図 9m 水平落下/容器本体の解析結果 (変形図)	
(v) - 第 A. 52 図 9m 前部コーナー落下/容器本体の解析結果 (変形図)	(v) - 第 A. 52 図 9m 前部コーナー落下/容器本体の解析結果 (変形図)	
(v) - A - 99	(v) - A - 102	

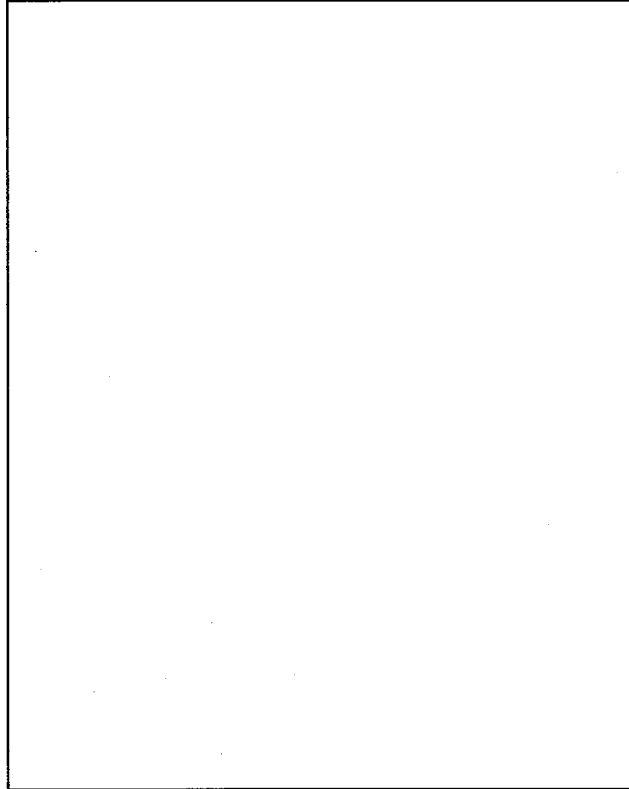
核燃料輸送物設計変更承認申請に係る変更前後表

前回申請書 (平成 30 年 8 月 17 日付三原燃第 18-393 号をもって申請 (平成 31 年 2 月 5 日付三原燃第 18-1013 号をもって一部補正))	今回の核燃料輸送物設計変更承認申請	備考
		—
<p>(v) - 第 A.53 図 9m 後部コーナー落下/容器本体の解析結果 (変形図)</p>  <p>(v) - 第 A.54 図 9m 傾斜落下/容器本体の解析結果 (変形図)</p> <p>(v) - A -100</p>	<p>(v) - 第 A.53 図 9m 後部コーナー落下/容器本体の解析結果 (変形図)</p>  <p>(v) - 第 A.54 図 9m 傾斜落下/容器本体の解析結果 (変形図)</p> <p>(v) - A -103</p>	

核燃料輸送物設計変更承認申請に係る変更前後表

前回申請書 (平成 30 年 8 月 17 日付三原燃第 18-393 号をもって申請 (平成 31 年 2 月 5 日付三原燃第 18-1013 号をもって一部補正))	今回の核燃料輸送物設計変更承認申請	備考
 (a) - 第 A.55 図 9m 後部垂直落下/容器本体の解析結果(塑性歪分布図) (1/2) (v) - A - 101	 (v) - 第 A.55 図 9m 後部垂直落下/容器本体の解析結果(塑性歪分布図) (1/2) (v) - A - 104	—

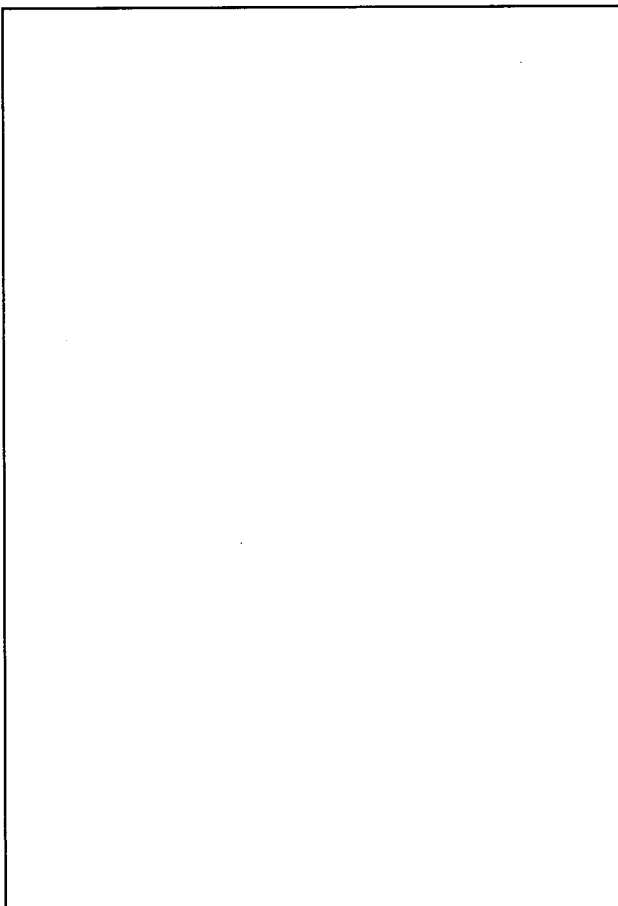
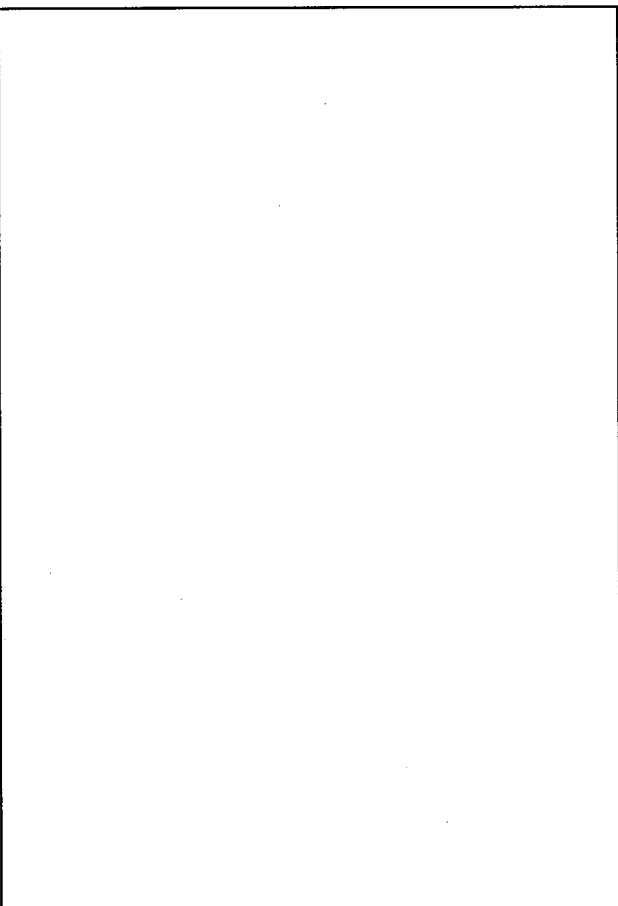
核燃料輸送物設計変更承認申請に係る変更前後表

前回申請書 (平成 30 年 8 月 17 日付三原燃第 18-393 号をもって申請 (平成 31 年 2 月 5 日付三原燃第 18-1013 号をもって一部補正))	今回の核燃料輸送物設計変更承認申請	備考
 (e) 第 A.55 図 9m 後部垂直落下/容器本体の解析結果(塑性歪分布図) (2/2) (e) - A - 102	 (e) 第 A.55 図 9m 後部垂直落下/容器本体の解析結果(塑性歪分布図) (2/2) (e) - A - 105	-

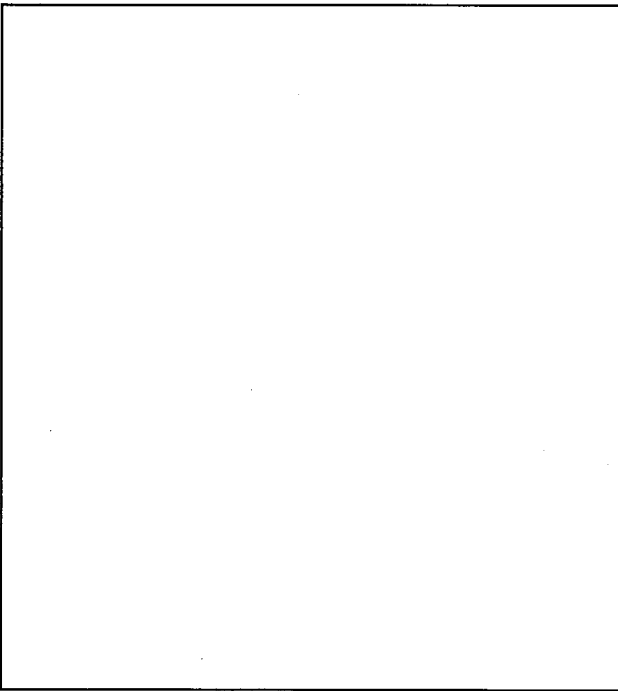
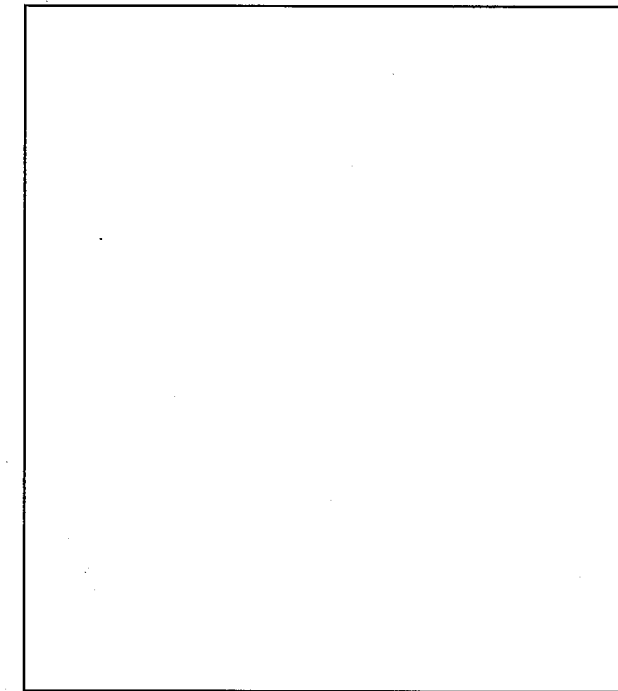
核燃料輸送物設計変更承認申請に係る変更前後表

前回申請書 (平成30年8月17日付三原燃第18-393号をもって申請 (平成31年2月5日付三原燃第18-1013号をもって一部補正))	今回の核燃料輸送物設計変更承認申請	備考
<p>iii. 水平落下</p> <p>容器本体部品のうち、□□□に□□%以下、□□□にそれぞれ最大□□%、□□%、□□%及び□□%の塑性歪((e)ー第A.56図に示す。)が発生しているが、□□□形状は維持される。蓋板締付けボルトの発生応力は降伏応力を下回っており、塑性歪の発生はなく破断することはない。</p> <p>したがって、水平落下において、容器本体には臨界解析で考慮を要する形状の変化は生じない。</p> <p>iv. 前部コーナー落下</p> <p>容器本体部品のうち、□□□にそれぞれ最大□□%、□□%及び□□%の塑性歪((e)ー第A.57図に示す。)が発生しているが、□□□形状は維持される。蓋板締付けボルトの発生応力は降伏応力を下回っており、塑性歪の発生はなく破断することはない。</p> <p>したがって、前部コーナー落下において、容器本体には臨界解析で考慮を要する形状の変化は生じない。</p> <p>v. 後部コーナー落下</p> <p>容器本体部品のうち、□□□に□□%以下、□□□にそれぞれ最大□□%、□□%及び□□%の塑性歪((e)ー第A.58図に示す。)が発生しているが、□□□形状は維持される。</p> <p>したがって、後部コーナー落下において、容器本体には臨界解析で考慮を要する形状の変化は生じない。</p> <p>vi. 慣斜落下</p> <p>容器本体部品のうち□□に最大□□%、□□□に□□%以下の塑性歪((e)ー第A.59図に示す。)が発生しているが、□□□形状は維持される。蓋板締付けボルトの発生応力は降伏応力を下回っており、塑性歪の発生はなく破断することはない。</p> <p>したがって、慣斜落下において、容器本体には臨界解析で考慮を要する形状の変化は生じない。</p> <p>以上の容器本体の解析結果を(e)ー第A.21表にまとめる。</p> <p>(e)ーA-103</p>	<p>iii. 水平落下</p> <p>容器本体部品のうち、□□□に□□%以下、□□□にそれぞれ最大□□%、□□%、□□%及び□□%の塑性歪((e)ー第A.56図に示す。)が発生しているが、□□□形状は維持される。蓋板締付けボルトの発生応力は降伏応力を下回っており、塑性歪の発生はなく破断することはない。</p> <p>iv. 前部コーナー落下</p> <p>容器本体部品のうち、□□□にそれぞれ最大□□%、□□%及び□□%の塑性歪((e)ー第A.57図に示す。)が発生しているが、□□□形状は維持される。蓋板締付けボルトの発生応力は降伏応力を下回っており、塑性歪の発生はなく破断することはない。</p> <p>v. 後部コーナー落下</p> <p>容器本体部品のうち、□□□に□□%以下、□□□にそれぞれ最大□□%、□□%及び□□%の塑性歪((e)ー第A.58図に示す。)が発生しているが、□□□形状は維持される。</p> <p>vi. 慣斜落下</p> <p>容器本体部品のうち□□に最大□□%、□□□に□□%以下の塑性歪((e)ー第A.59図に示す。)が発生しているが、□□□形状は維持される。蓋板締付けボルトの発生応力は降伏応力を下回っており、塑性歪の発生はなく破断することはない。</p> <p>以上の容器本体の解析結果を(e)ー第A.21表にまとめる。</p> <p>(e)ーA-106</p>	<p>・記載の適正化</p>

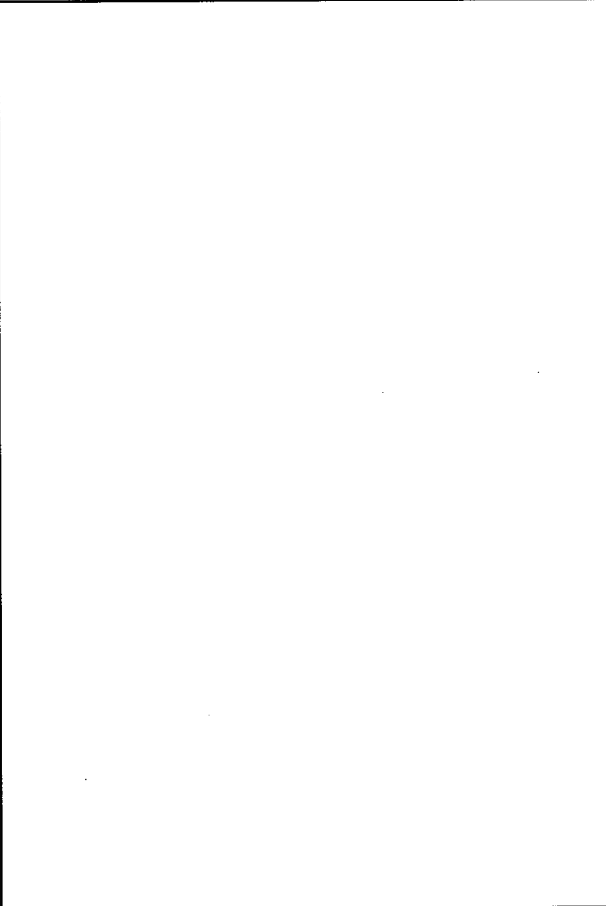
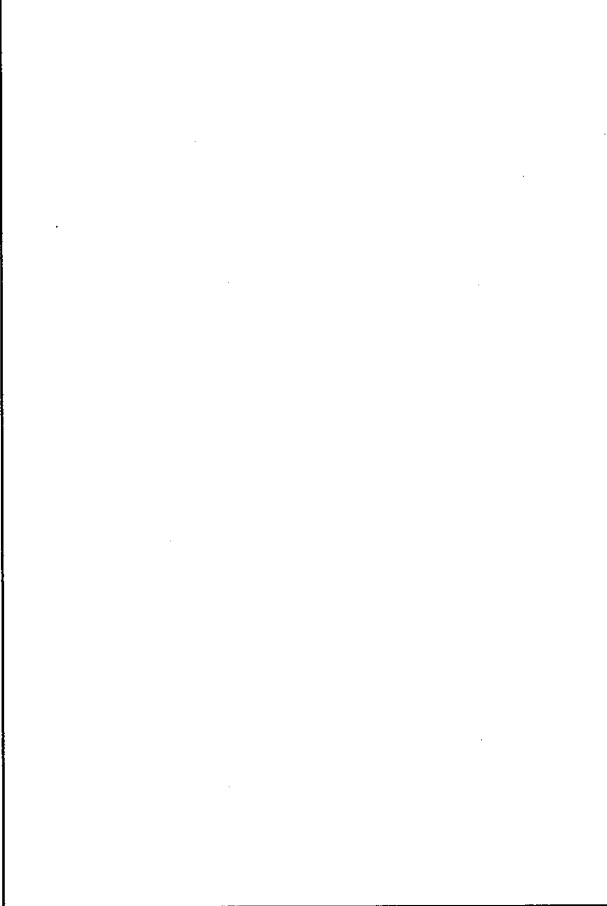
核燃料輸送物設計変更承認申請に係る変更前後表

前回申請書 (平成30年8月17日付三原燃第18-393号をもって申請 (平成31年2月5日付三原燃第18-1013号をもって一部補正))	今回の核燃料輸送物設計変更承認申請	備考
 (a) - 第A.56 図 9m水平落下/容器本体の解析結果(塑性歪分布図) (1/2) (a) - A - 104	 (a) - 第A.56 図 9m水平落下/容器本体の解析結果(塑性歪分布図) (1/2) (a) - A - 107	—

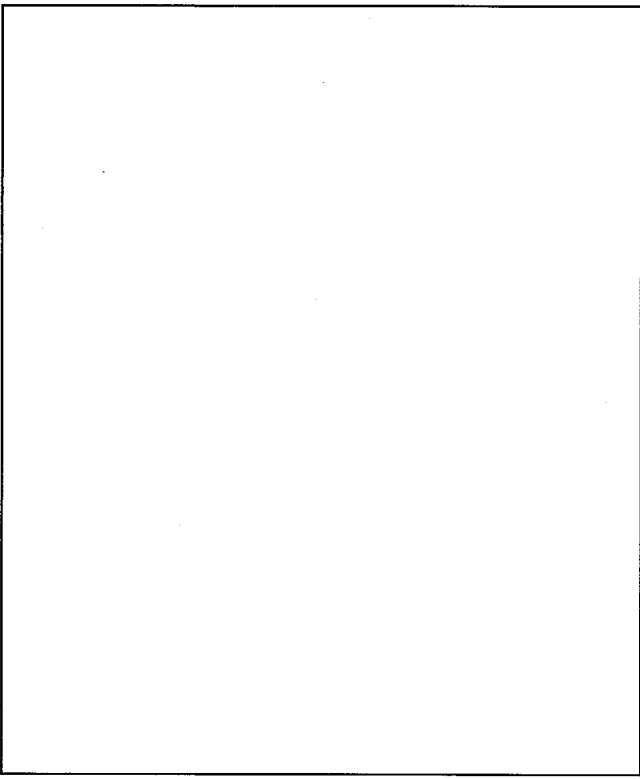
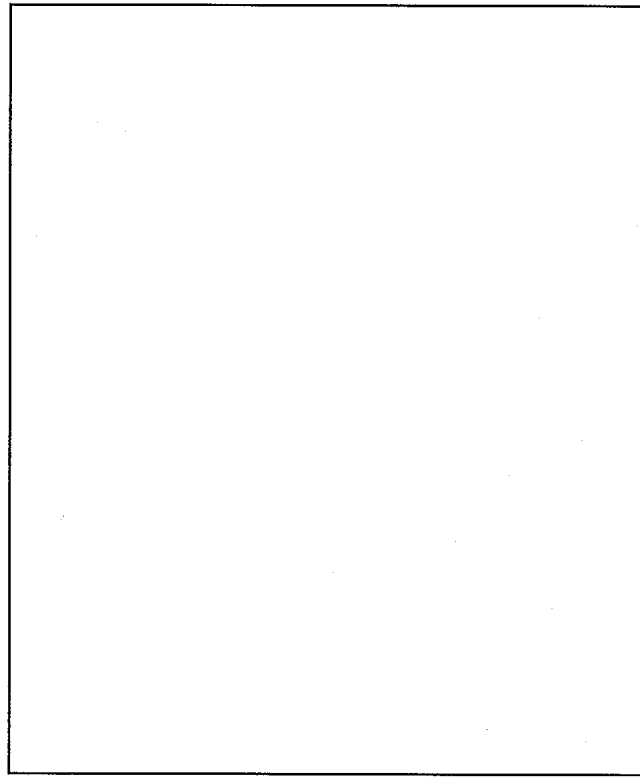
核燃料輸送物設計変更承認申請に係る変更前後表

前回申請書 (平成 30 年 8 月 17 日付三原燃第 18-393 号をもって申請 (平成 31 年 2 月 5 日付三原燃第 18-1013 号をもって一部補正))	今回の核燃料輸送物設計変更承認申請	備考
 (n) - 第 A. 56 図 9m 水平落下/容器本体の解析結果 (塑性歪分布図) (2/2) (v) - A - 105	 (n) - 第 A. 56 図 9m 水平落下/容器本体の解析結果 (塑性歪分布図) (2/2) (v) - A - 108	-

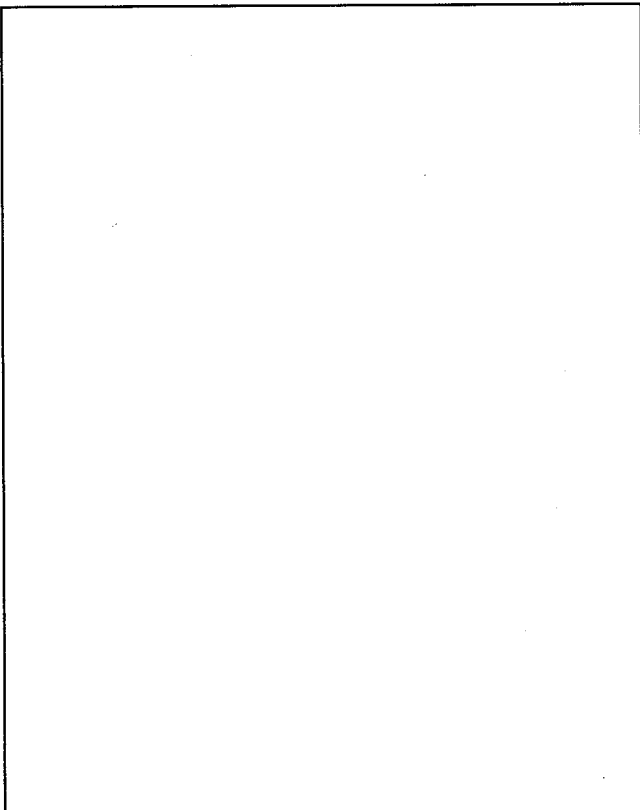
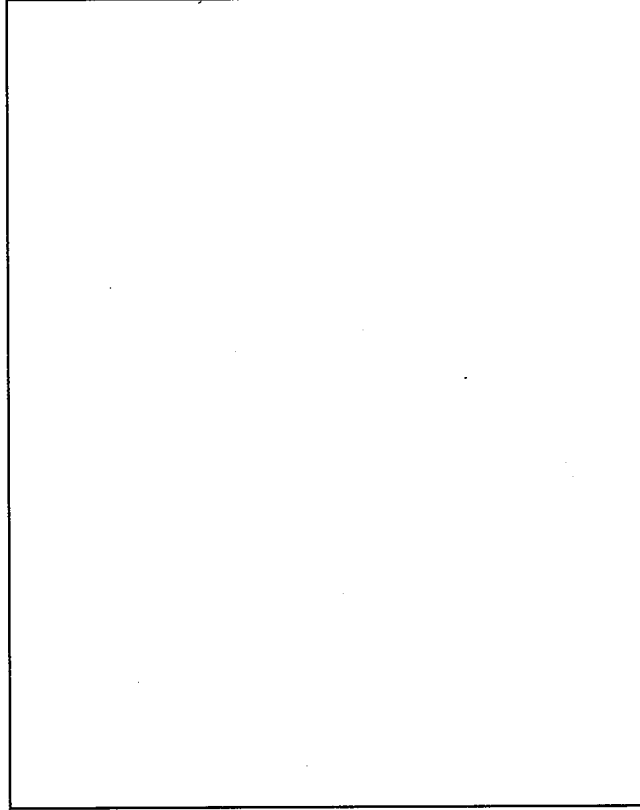
核燃料輸送物設計変更承認申請に係る変更前後表

前回申請書 (平成 30 年 8 月 17 日付三原燃第 18-393 号をもって申請 (平成 31 年 2 月 5 日付三原燃第 18-1013 号をもって一部補正))	今回の核燃料輸送物設計変更承認申請	備考
 (v) - 第 A. 57 図 9m 前部コーナー落下/容器本体の解析結果(塑性歪分布図) (v) - A - 106	 (v) - 第 A. 57 図 9m 前部コーナー落下/容器本体の解析結果(塑性歪分布図) (v) - A - 109	—

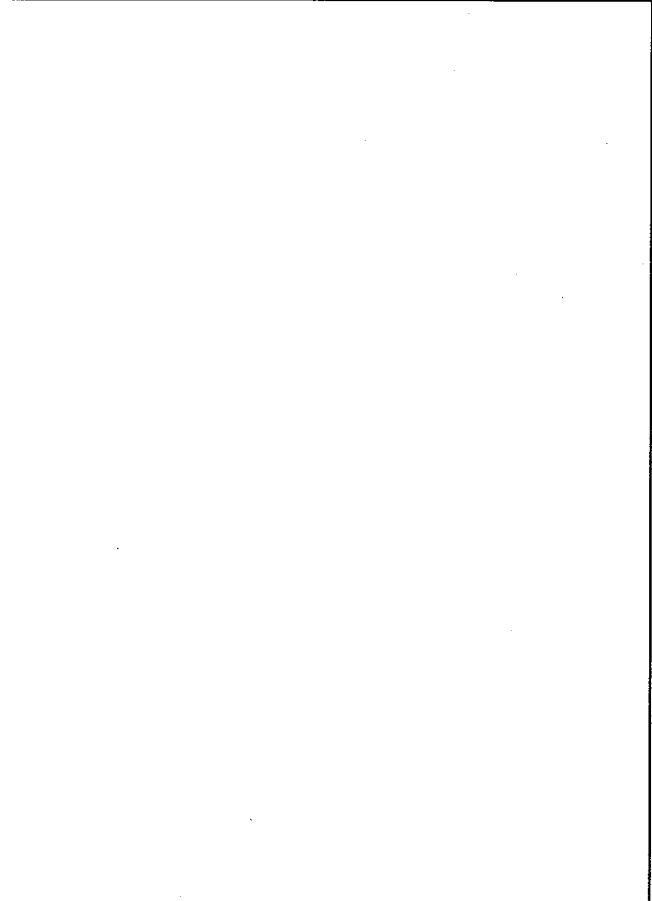
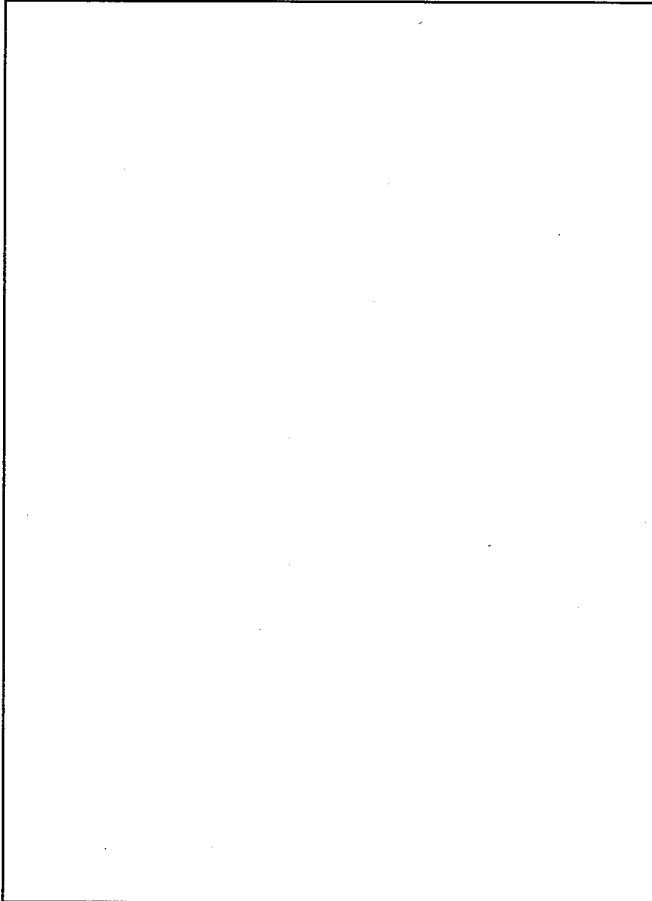
核燃料輸送物設計変更承認申請に係る変更前後表

前回申請書 (平成 30 年 8 月 17 日付三原燃第 18-393 号をもって申請 (平成 31 年 2 月 5 日付三原燃第 18-1013 号をもって一部補正))	今回の核燃料輸送物設計変更承認申請	備考
 (a) - 第 A.58 図 9m 後部コーナー落下/容器本体の解析結果(塑性歪分布図) (1/2) (a) - A - 107	 (a) - 第 A.58 図 9m 後部コーナー落下/容器本体の解析結果(塑性歪分布図) (1/2) (a) - A - 110	-

核燃料輸送物設計変更承認申請に係る変更前後表

前回申請書 (平成 30 年 8 月 17 日付三原燃第 18-393 号をもって申請 (平成 31 年 2 月 5 日付三原燃第 18-1013 号をもって一部補正))	今回の核燃料輸送物設計変更承認申請	備考
 (a) - 第A.58 図 9m 後部コーナー落下/容器本体の解析結果 (塑性歪分布図) (2/2)	 (b) - 第A.58 図 9m 後部コーナー落下/容器本体の解析結果 (塑性歪分布図) (2/2)	-

核燃料輸送物設計変更承認申請に係る変更前後表

前回申請書 (平成30年8月17日付三原燃第18-393号をもって申請 (平成31年2月5日付三原燃第18-1013号をもって一部補正))	今回の核燃料輸送物設計変更承認申請	備考
 (v) - 第A.59 図 9m傾斜落下/容器本体の解析結果(塑性歪分布図) (v) - A - 109	 (v) - 第A.59 図 9m傾斜落下/容器本体の解析結果(塑性歪分布図) (v) - A - 112	-

核燃料輸送物設計変更承認申請に係る変更前後表

前回申請書 (平成30年8月17日付三原燃第18-393号をもって申請 (平成31年2月5日付三原燃第18-1013号をもって一部補正))					今回の核燃料輸送物設計変更承認申請					備考		
落下姿勢	衝撃吸収カバー最大変形量 ^① (mm)	部品	最大塑性歪 (%)	最小破断伸び (%)	評価	落下姿勢	衝撃吸収カバー最大変形量 ^① (mm)	部品	最大塑性歪 (%)	最小破断伸び (%)	評価	
前部垂直		蓋板 上部フランジ 内筒 胴ガセット 胴外板 内筒 胴ガセット 胴外板 底板 蓋板 上部フランジ 内筒 胴ガセット 胴外板 底板 蓋板 上部フランジ 内筒 胴ガセット 胴外板 内筒 胴ガセット 胴外板 底板				前部垂直		蓋板 上部フランジ 内筒 胴ガセット 胴外板 内筒 胴ガセット 胴外板 底板 蓋板 上部フランジ 内筒 胴ガセット 胴外板 底板 蓋板 上部フランジ 内筒 胴ガセット 胴外板 内筒 胴ガセット 胴外板 底板 底板 上部フランジ 内筒 胴ガセット 胴外板 内筒 胴ガセット 胴外板 底板				
後部垂直						後部垂直						
水平						水平						
前部コーナー						前部コーナー						
後部コーナー						後部コーナー						
傾斜(30°)						傾斜(30°)						

注1) 衝撃吸収カバーの変形量は特別の試験条件の熱解析の解析モデルに考慮される。

(a) - A - 110

(a) - 第A.21表 9m落下における容器本体の解析結果のまとめ (1/2)

落下姿勢	衝撃吸収カバー最大変形量 ^① (mm)	部品	最大塑性歪 (%)	最小破断伸び (%)	評価
前部垂直		蓋板 上部フランジ 内筒 胴ガセット 胴外板 内筒 胴ガセット 胴外板 底板 蓋板 上部フランジ 内筒 胴ガセット 胴外板 底板 蓋板 上部フランジ 内筒 胴ガセット 胴外板 内筒 胴ガセット 胴外板 底板 蓋板 上部フランジ 内筒 胴ガセット 胴外板 底板 蓋板 上部フランジ 内筒 胴ガセット 胴外板 内筒 胴ガセット 胴外板 底板 底板 上部フランジ 内筒 胴ガセット 胴外板 内筒 胴ガセット 胴外板 底板			
後部垂直					
水平					
前部コーナー					
後部コーナー					
傾斜(30°)					

注1) 衝撃吸収カバーの変形量は特別の試験条件の熱解析の解析モデルに考慮される。

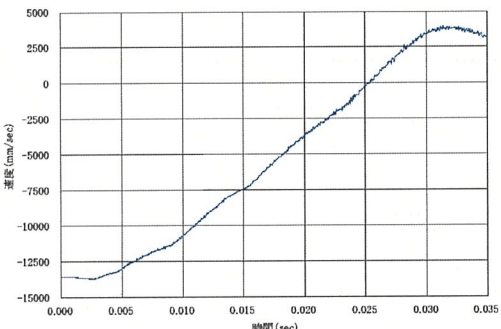
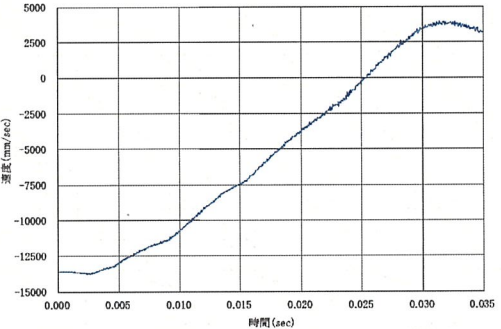
(a) - A - 113

- ・記載の適正化
- ・知見の更新に関する説明の追加

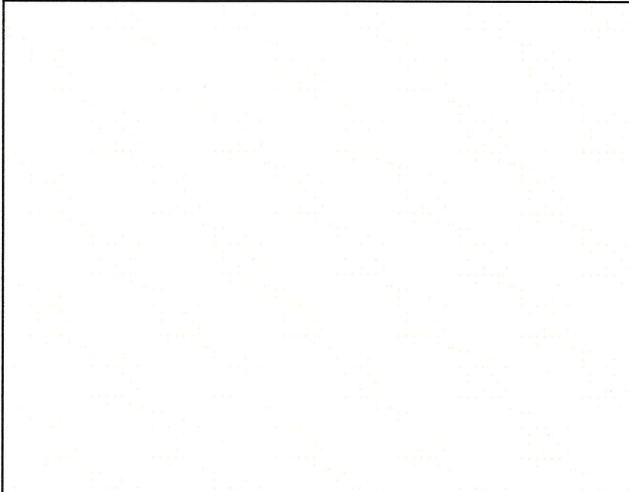
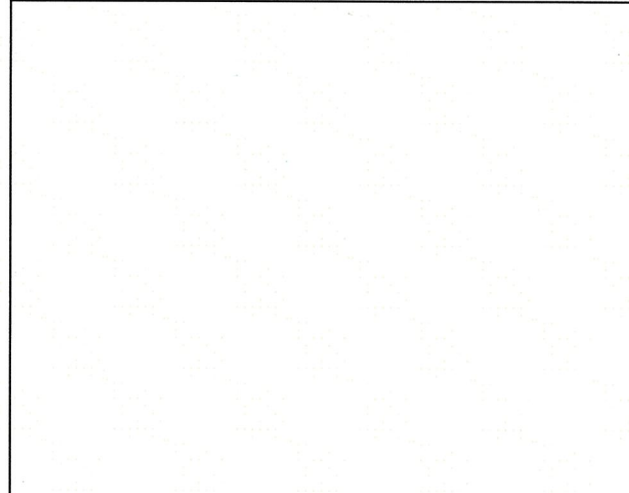
核燃料輸送物設計変更承認申請に係る変更前後表

前回申請書 (平成30年8月17日付三原燃第18-393号をもって申請 (平成31年2月5日付三原燃第18-1013号をもって一部補正))					今回の核燃料輸送物設計変更承認申請					備考																																																																							
(a) - 第A.21表 9m落下における容器本体の解析結果のまとめ (2/2)					(a) - 第A.21表 9m落下における容器本体の解析結果のまとめ (2/2)					—																																																																							
<table border="1"> <thead> <tr> <th>部品</th> <th>落下姿勢</th> <th>応力の種類</th> <th>解析結果 (MPa)</th> <th>評価</th> </tr> </thead> <tbody> <tr> <td rowspan="2">蓋板締付けボルト</td> <td rowspan="2">前部垂直</td> <td>σ_m</td> <td></td> <td></td> </tr> <tr> <td>$\sigma_m + \sigma_b$</td> <td></td> <td></td> </tr> <tr> <td rowspan="2">水平</td> <td rowspan="2">σ_m</td> <td></td> <td></td> <td></td> </tr> <tr> <td>$\sigma_m + \sigma_b$</td> <td></td> <td></td> </tr> <tr> <td rowspan="2">前部コーナー</td> <td rowspan="2">σ_m</td> <td></td> <td></td> <td></td> </tr> <tr> <td>$\sigma_m + \sigma_b$</td> <td></td> <td></td> </tr> <tr> <td rowspan="2">傾斜 (30°)</td> <td rowspan="2">σ_m</td> <td></td> <td></td> <td></td> </tr> <tr> <td>$\sigma_m + \sigma_b$</td> <td></td> <td></td> </tr> </tbody> </table>	部品	落下姿勢	応力の種類	解析結果 (MPa)	評価	蓋板締付けボルト	前部垂直	σ_m			$\sigma_m + \sigma_b$			水平	σ_m				$\sigma_m + \sigma_b$			前部コーナー	σ_m				$\sigma_m + \sigma_b$			傾斜 (30°)	σ_m				$\sigma_m + \sigma_b$			<table border="1"> <thead> <tr> <th>部品</th> <th>落下姿勢</th> <th>応力の種類</th> <th>解析結果 (MPa)</th> <th>評価</th> </tr> </thead> <tbody> <tr> <td rowspan="2">蓋板締付けボルト</td> <td rowspan="2">前部垂直</td> <td>σ_m</td> <td></td> <td></td> </tr> <tr> <td>$\sigma_m + \sigma_b$</td> <td></td> <td></td> </tr> <tr> <td rowspan="2">水平</td> <td rowspan="2">σ_m</td> <td></td> <td></td> <td></td> </tr> <tr> <td>$\sigma_m + \sigma_b$</td> <td></td> <td></td> </tr> <tr> <td rowspan="2">前部コーナー</td> <td rowspan="2">σ_m</td> <td></td> <td></td> <td></td> </tr> <tr> <td>$\sigma_m + \sigma_b$</td> <td></td> <td></td> </tr> <tr> <td rowspan="2">傾斜 (30°)</td> <td rowspan="2">σ_m</td> <td></td> <td></td> <td></td> </tr> <tr> <td>$\sigma_m + \sigma_b$</td> <td></td> <td></td> </tr> </tbody> </table>	部品	落下姿勢	応力の種類	解析結果 (MPa)	評価	蓋板締付けボルト	前部垂直	σ_m			$\sigma_m + \sigma_b$			水平	σ_m				$\sigma_m + \sigma_b$			前部コーナー	σ_m				$\sigma_m + \sigma_b$			傾斜 (30°)	σ_m				$\sigma_m + \sigma_b$								
部品	落下姿勢	応力の種類	解析結果 (MPa)	評価																																																																													
蓋板締付けボルト	前部垂直	σ_m																																																																															
		$\sigma_m + \sigma_b$																																																																															
水平	σ_m																																																																																
		$\sigma_m + \sigma_b$																																																																															
前部コーナー	σ_m																																																																																
		$\sigma_m + \sigma_b$																																																																															
傾斜 (30°)	σ_m																																																																																
		$\sigma_m + \sigma_b$																																																																															
部品	落下姿勢	応力の種類	解析結果 (MPa)	評価																																																																													
蓋板締付けボルト	前部垂直	σ_m																																																																															
		$\sigma_m + \sigma_b$																																																																															
水平	σ_m																																																																																
		$\sigma_m + \sigma_b$																																																																															
前部コーナー	σ_m																																																																																
		$\sigma_m + \sigma_b$																																																																															
傾斜 (30°)	σ_m																																																																																
		$\sigma_m + \sigma_b$																																																																															
注1) 蓋板締付けボルトの S_y (降伏応力) は、□ MPa □ °C					注1) 蓋板締付けボルトの S_y (降伏応力) は、□ MPa (70°C)																																																																												
(a) - A - 111					(a) - A - 114																																																																												

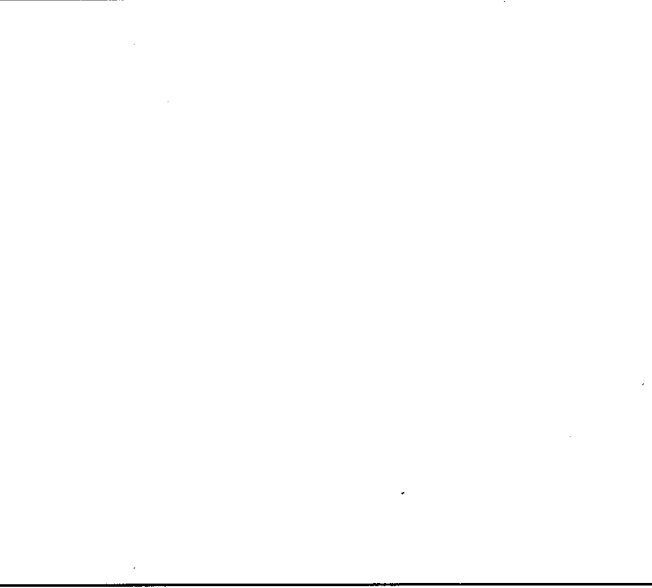
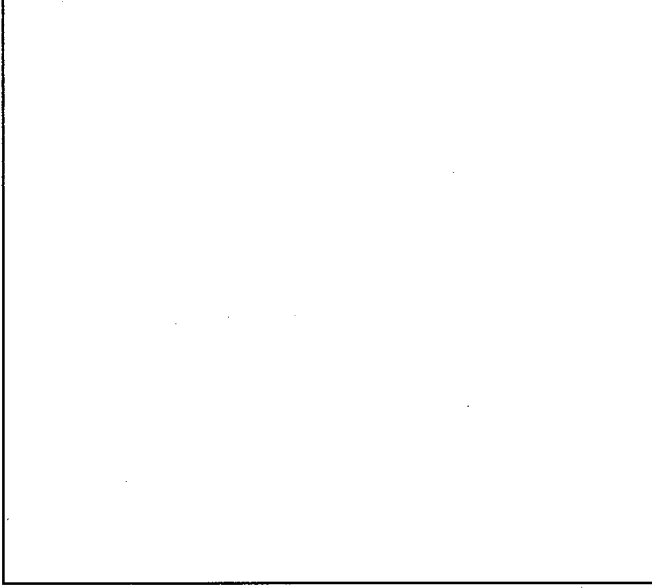
核燃料輸送物設計変更承認申請に係る変更前後表

前回申請書 (平成 30 年 8 月 17 日付三原燃第 18-393 号をもって申請 (平成 31 年 2 月 5 日付三原燃第 18-1013 号をもって一部補正))	今回の核燃料輸送物設計変更承認申請	備考
<p>b. バスケット</p> <p>収納物による全ての荷重が負荷される水平落下について、動的解析コード LS-DYNA を用いてバスケット各部に発生する歪を求め、バスケットに必要な構造健全性が維持されることを示す。</p> <p>(a) 解析モデル</p> <p>解析モデルは、A. 5.3 の自由落下の評価に用いたものと同じモデルを適用する。</p> <p>(b) 荷重条件及び境界条件</p> <p>バスケットに 9m 落下時の衝突速度（9.3m の落下高さに相当する 13.6m/sec）を与え、バスケットを支持する容器本体の胴部の側面には、容器本体の水平落下の解析から抽出した胴部中央の速度時刻歴（(v) 第 A. 60 図に示す。）を与える。A. 5.3 に示したとおり、バスケットの両端面には対称条件を与える。</p> <p>— 第 A. 37 図に示すように落下方向として [] (v) [] を対象とする。</p>  <p>(v) 第 A. 60 図 容器本体の速度時刻歴（水平落下）</p> <p>(v) - A - 112</p>	<p>b. バスケット</p> <p>収納物による全ての荷重が負荷される水平落下について、動的解析コード LS-DYNA を用いてバスケット各部に発生する歪を求め、バスケットに必要な構造健全性が維持されることを示す。</p> <p>(a) 解析モデル</p> <p>解析モデルは、A. 5.3 の自由落下の評価に用いたものと同じモデルを適用する。</p> <p>(b) 荷重条件及び境界条件</p> <p>バスケットに 9m 落下時の衝突速度（9.3m の落下高さに相当する 13.6m/sec）を与え、バスケットを支持する容器本体の胴部の側面には、容器本体の水平落下の解析から抽出した胴部中央の速度時刻歴（(v) 第 A. 60 図に示す。）を与える。A. 5.3 に示したとおり、バスケットの両端面には対称条件を与える。</p> <p>— 第 A. 37 図に示すように落下方向として [] (v) [] を対象とする。</p>  <p>(v) 第 A. 60 図 容器本体の速度時刻歴（水平落下）</p> <p>(v) - A - 115</p>	—

核燃料輸送物設計変更承認申請に係る変更前後表

前回申請書 (平成 30 年 8 月 17 日付三原燃第 18-393 号をもって申請 (平成 31 年 2 月 5 日付三原燃第 18-1013 号をもって一部補正))	今回の核燃料輸送物設計変更承認申請	備考
<p>(c) 解析結果</p> <p>水平落下におけるバスケットの損傷状態は以下のとおりである。</p> <ul style="list-style-type: none"> ・収納物を支持し、その配置を維持する [] には塑性歪が発生せず、[] には最大□%の塑性歪が発生しているが、[] あり臨界解析で考慮を要する形状の変化は生じない。 ・バスケットの周間に位置するアルミスペーサーには、[] による最大□%の塑性歪が発生しているが、[] 臨界解析で考慮を要する形状の変化は生じない。 <p>バスケットの各部品について、最大の塑性歪が発生した落下方向における塑性歪分布図を(a) - 第 A. 61 図及び(b) - 第 A. 62 図に示す。</p> <p>バスケットの解析結果を(c) - 第 A. 22 表にまとめる。</p>  <p>(a) - 第 A. 61 図 9m 水平落下/バスケットの解析結果 (塑性歪分布図) (ロジメント [] 方向落下時)</p> <p>(a) - A - 113</p>	<p>(c) 解析結果</p> <p>水平落下におけるバスケットの損傷状態は以下のとおりである。</p> <ul style="list-style-type: none"> ・収納物を支持し、その配置を維持する [] には、塑性歪 [] 発生 [] あり [] 。 ・[] には最大□%の塑性歪が発生しているが、[] [] 状態維持され、[] 。 ・バスケットの周間に位置するアルミスペーサーには、[] による最大□%の塑性歪が発生しているが、[] 形状 [] 。 <p>バスケットの各部品について、最大の塑性歪が発生した落下方向における塑性歪分布図を(a) - 第 A. 61 図及び(b) - 第 A. 62 図に示す。</p> <p>バスケットの解析結果を(c) - 第 A. 22 表にまとめる。</p>  <p>(a) - 第 A. 61 図 9m 水平落下/バスケットの解析結果 (塑性歪分布図) (ロジメント [] 方向落下時)</p> <p>(a) - A - 116</p>	<p>・記載の適正化</p>

核燃料輸送物設計変更承認申請に係る変更前後表

前回申請書 (平成 30 年 8 月 17 日付三原燃第 18-393 号をもって申請 (平成 31 年 2 月 5 日付三原燃第 18-1013 号をもって一部補正))	今回の核燃料輸送物設計変更承認申請	備考
 (e) - 第 A.62 図 9m 水平落下/バスケットの解析結果 (塑性歪分布図) (アルミスペーサー / □ 方向落下時)	 (e) - 第 A.62 図 9m 水平落下/バスケットの解析結果 (塑性歪分布図) (アルミスペーサー / □ 方向落下時)	-

(e) - A - 114

(e) - A - 117

核燃料輸送物設計変更承認申請に係る変更前後表

前回申請書 (平成 30 年 8 月 17 日付三原燃第 18-393 号をもって申請 (平成 31 年 2 月 5 日付三原燃第 18-1013 号をもって一部補正))					今回の核燃料輸送物設計変更承認申請					備考																																																																							
(a) - 第 A.22 表 9m落下におけるバスケットの解析結果のまとめ					(b) - 第 A.22 表 9m落下におけるバスケットの解析結果のまとめ					・記載の適正化 (文章の一部見直し)																																																																							
<table border="1"> <thead> <tr> <th>落下方向</th><th>部品</th><th>最大塑性歪 (%)</th><th>最小破断伸び (%)</th><th>評価</th></tr> </thead> <tbody> <tr> <td>ロジメント</td><td></td><td></td><td></td><td></td></tr> <tr> <td>アルミスペーサー</td><td></td><td></td><td></td><td></td></tr> <tr> <td>ロジメント</td><td></td><td></td><td></td><td></td></tr> <tr> <td>アルミスペーサー</td><td></td><td></td><td></td><td></td></tr> <tr> <td>ロジメント</td><td></td><td></td><td></td><td></td></tr> <tr> <td>アルミスペーサー</td><td></td><td></td><td></td><td></td></tr> </tbody> </table>					落下方向	部品	最大塑性歪 (%)	最小破断伸び (%)	評価	ロジメント					アルミスペーサー					ロジメント					アルミスペーサー					ロジメント					アルミスペーサー					<table border="1"> <thead> <tr> <th>落下方向</th><th>部品</th><th>最大塑性歪 (%)</th><th>最小破断伸び (%)</th><th>評価</th></tr> </thead> <tbody> <tr> <td>ロジメント</td><td></td><td></td><td></td><td></td></tr> <tr> <td>アルミスペーサー</td><td></td><td></td><td></td><td></td></tr> <tr> <td>ロジメント</td><td></td><td></td><td></td><td></td></tr> <tr> <td>アルミスペーサー</td><td></td><td></td><td></td><td></td></tr> <tr> <td>ロジメント</td><td></td><td></td><td></td><td></td></tr> <tr> <td>アルミスペーサー</td><td></td><td></td><td></td><td></td></tr> </tbody> </table>						落下方向	部品	最大塑性歪 (%)	最小破断伸び (%)	評価	ロジメント					アルミスペーサー					ロジメント					アルミスペーサー					ロジメント					アルミスペーサー					
落下方向	部品	最大塑性歪 (%)	最小破断伸び (%)	評価																																																																													
ロジメント																																																																																	
アルミスペーサー																																																																																	
ロジメント																																																																																	
アルミスペーサー																																																																																	
ロジメント																																																																																	
アルミスペーサー																																																																																	
落下方向	部品	最大塑性歪 (%)	最小破断伸び (%)	評価																																																																													
ロジメント																																																																																	
アルミスペーサー																																																																																	
ロジメント																																																																																	
アルミスペーサー																																																																																	
ロジメント																																																																																	
アルミスペーサー																																																																																	

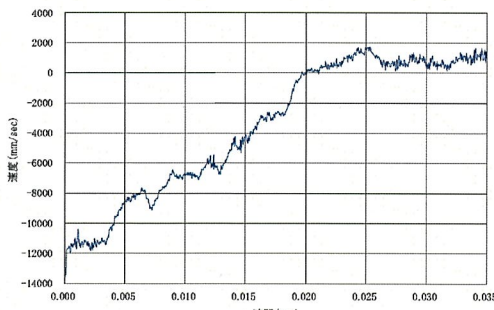
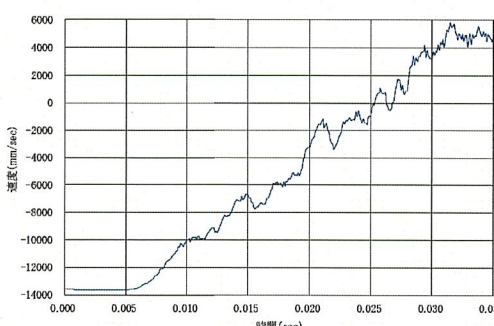
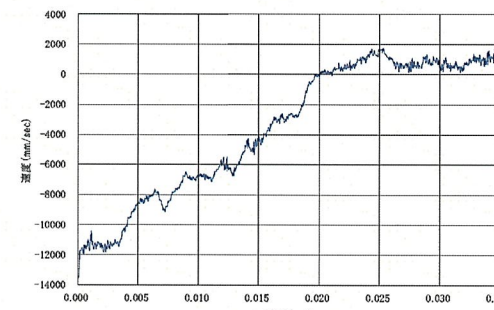
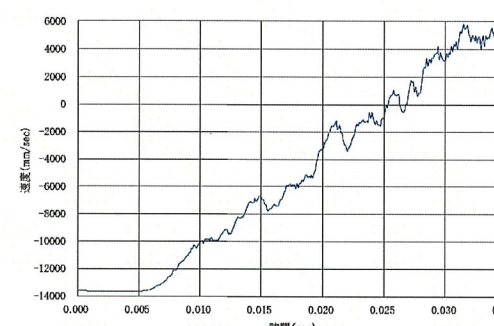
(a) - A - 115

(b) - A - 118

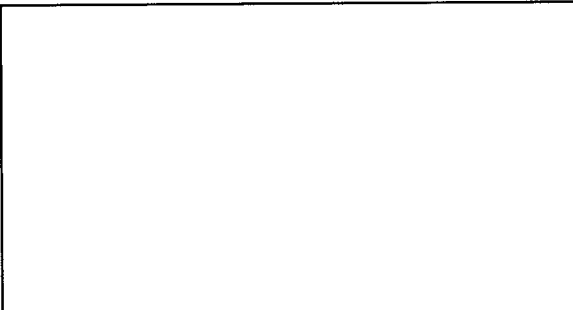
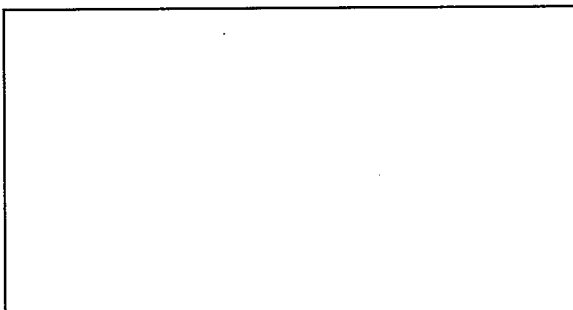
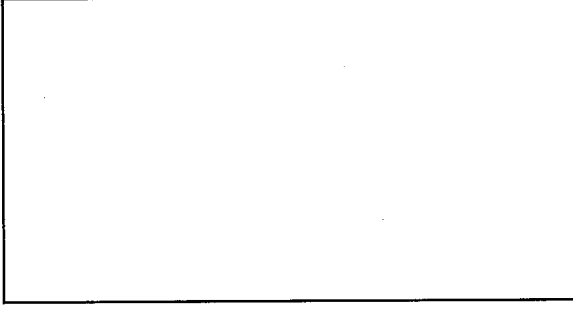
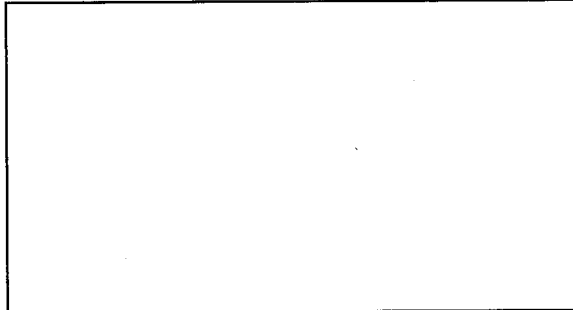
核燃料輸送物設計変更承認申請に係る変更前後表

前回申請書 (平成30年8月17日付三原燃第18-393号をもって申請 (平成31年2月5日付三原燃第18-1013号をもって一部補正))	今回の核燃料輸送物設計変更承認申請	備考
<p>c. 燃料被覆管</p> <p>A. 5.3において用いた評価手法と同じ手法で、燃料被覆管に発生する最大塑性歪を求め、燃料被覆管が破断しないことを以下に示す。</p> <p>落下姿勢としては、燃料被覆管に負荷される圧縮荷重並びに曲げ荷重がそれぞれ最大となる垂直落下と水平落下を対象とする。</p> <p>解析に用いる燃料集合体の諸元及び燃料被覆管の物性は、(e)ー第A.14表及び(h)ー第A.15表に示したとおりである。</p> <p>(a) 解析モデル</p> <p>解析モデルは、A. 5.3の自由落下の評価に用いたものと同じモデルを適用する。</p> <p>(b) 荷重条件及び境界条件</p> <p>i. 垂直落下</p> <p>解析モデルに9m落下時（落下高さは9.3m）の衝突速度（13.6 m/sec）を与える、衝突面には(h)ー第A.63図に示す速度時刻歴を与える。当該速度時刻歴は、前部垂直落下より衝撃の大きい後部垂直落下における底板から抽出した。</p> <p>落下速度及び速度時刻歴を除く荷重条件及び境界条件は、A. 5.3に示したとおりである。</p> <p>ii. 水平落下</p> <p>解析モデルに9m落下時（落下高さは9.3m）の衝突速度（13.6 m/sec）を与える、両端の剛体面には(h)ー第A.64図に示す速度時刻歴を与える。当該速度時刻歴は、水平落下におけるバスケットから抽出した。</p> <p>落下速度及び速度時刻歴を除く荷重条件及び境界条件は、A. 5.3に示したとおりである。</p> <p>(c) 解析結果</p> <p>垂直及び水平落下における解析結果を(h)ー第A.23表に示す。</p> <p>垂直落下では、(h)ー第A.65図に示すように最下部近傍に最大□%の塑性歪が発生し、水平落下では、(h)ー第A.66図に示すように両端部に最大□%の塑性歪が発生しているが、いずれも燃料被覆管の最小破断伸びに比べて十分に小さい。</p> <p>したがって、9m落下において、燃料被覆管が破断することはない。</p>	<p>c. 燃料被覆管</p> <p>A. 5.3において用いた評価手法と同じ手法で、燃料被覆管に発生する最大塑性歪を求め、燃料被覆管が破断しないことを以下に示す。</p> <p>落下姿勢としては、燃料被覆管に負荷される圧縮荷重並びに曲げ荷重がそれぞれ最大となる垂直落下と水平落下を対象とする。</p> <p>解析に用いる燃料集合体の諸元及び燃料被覆管の物性は、(h)ー第A.14表及び(h)ー第A.15表に示したとおりである。</p> <p>(a) 解析モデル</p> <p>解析モデルは、A. 5.3の自由落下の評価に用いたものと同じモデルを適用する。</p> <p>(b) 荷重条件及び境界条件</p> <p>i. 垂直落下</p> <p>解析モデルに9m落下時（落下高さは9.3m）の衝突速度（13.6 m/sec）を与える、衝突面には(h)ー第A.63図に示す速度時刻歴を与える。当該速度時刻歴は、前部垂直落下より衝撃の大きい後部垂直落下における底板から抽出した。</p> <p>落下速度及び速度時刻歴を除く荷重条件及び境界条件は、A. 5.3に示したとおりである。</p> <p>ii. 水平落下</p> <p>解析モデルに9m落下時（落下高さは9.3m）の衝突速度（13.6 m/sec）を与える、両端の剛体面には(h)ー第A.64図に示す速度時刻歴を与える。当該速度時刻歴は、水平落下におけるバスケットから抽出した。</p> <p>落下速度及び速度時刻歴を除く荷重条件及び境界条件は、A. 5.3に示したとおりである。</p> <p>(c) 解析結果</p> <p>垂直及び水平落下における解析結果を(h)ー第A.23表に示す。</p> <p>垂直落下では、(h)ー第A.65図に示すように最下部近傍に最大□%の塑性歪が発生し、水平落下では、(h)ー第A.66図に示すように両端部に最大□%の塑性歪が発生しているが、いずれも燃料被覆管の最小破断伸びに比べて十分に小さい。</p> <p>したがって、9m落下において、燃料被覆管が破断することはない。</p>	

核燃料輸送物設計変更承認申請に係る変更前後表

前回申請書 (平成 30 年 8 月 17 日付三原燃第 18-393 号をもって申請 (平成 31 年 2 月 5 日付三原燃第 18-1013 号をもって一部補正))	今回の核燃料輸送物設計変更承認申請	備考
 <p>(ii) - 第 A. 63 図 容器本体の速度時刻歴 (後部垂直落下)</p>  <p>(v) - 第 A. 64 図 バスケットの速度時刻歴 (水平落下)</p>	 <p>(ii) - 第 A. 63 図 容器本体の速度時刻歴 (後部垂直落下)</p>  <p>(v) - 第 A. 64 図 バスケットの速度時刻歴 (水平落下)</p>	<p>(ii) - A - 117</p> <p>(v) - A - 120</p>
		—

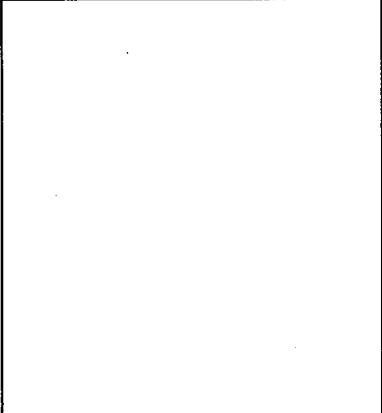
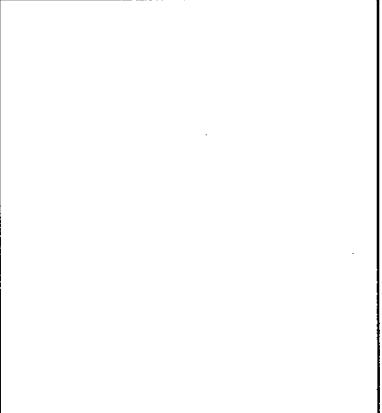
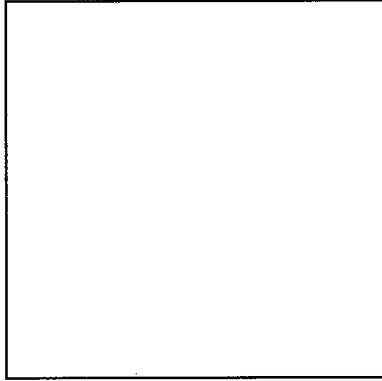
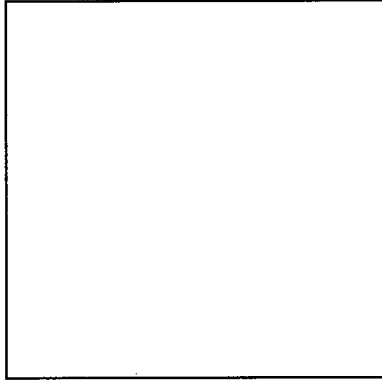
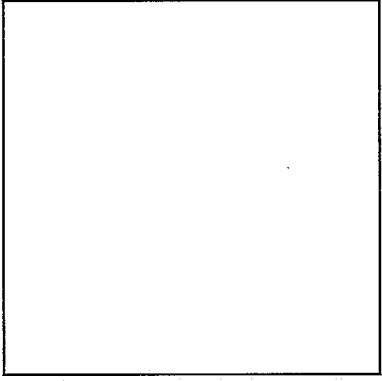
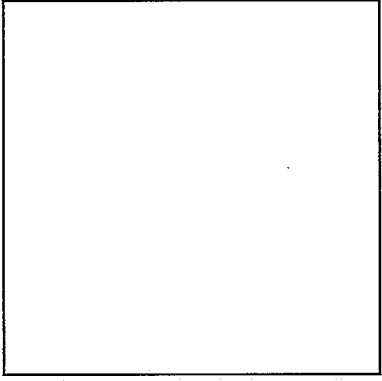
核燃料輸送物設計変更承認申請に係る変更前後表

前回申請書 (平成 30 年 8 月 17 日付三原燃第 18-393 号をもって申請 (平成 31 年 2 月 5 日付三原燃第 18-1013 号をもって一部補正))	今回の核燃料輸送物設計変更承認申請	備考																		
<p>(v) - 第 A. 23 表 9m 落下における燃料被覆管の解析結果のまとめ</p> <table border="1"> <thead> <tr> <th>条件</th><th>最大塑性歪 (%)</th><th>最小破断伸び (%)</th></tr> </thead> <tbody> <tr> <td>9m 垂直落下</td><td>[]</td><td>[]</td></tr> <tr> <td>9m 水平落下</td><td>[]</td><td>[]</td></tr> </tbody> </table>  <p>(v) - 第 A. 65 図 9m 垂直落下/燃料被覆管の解析結果 (塑性歪分布図)</p>  <p>(v) - 第 A. 66 図 9m 水平落下/燃料被覆管の解析結果 (塑性歪分布図)</p> <p>(v) - A - 118</p>	条件	最大塑性歪 (%)	最小破断伸び (%)	9m 垂直落下	[]	[]	9m 水平落下	[]	[]	<p>(v) - 第 A. 23 表 9m 落下における燃料被覆管の解析結果のまとめ</p> <table border="1"> <thead> <tr> <th>条件</th><th>最大塑性歪 (%)</th><th>最小破断伸び (%)</th></tr> </thead> <tbody> <tr> <td>9m 垂直落下</td><td>[]</td><td>[]</td></tr> <tr> <td>9m 水平落下</td><td>[]</td><td>[]</td></tr> </tbody> </table>  <p>(v) - 第 A. 65 図 9m 垂直落下/燃料被覆管の解析結果 (塑性歪分布図)</p>  <p>(v) - 第 A. 66 図 9m 水平落下/燃料被覆管の解析結果 (塑性歪分布図)</p> <p>(v) - A - 121</p>	条件	最大塑性歪 (%)	最小破断伸び (%)	9m 垂直落下	[]	[]	9m 水平落下	[]	[]	
条件	最大塑性歪 (%)	最小破断伸び (%)																		
9m 垂直落下	[]	[]																		
9m 水平落下	[]	[]																		
条件	最大塑性歪 (%)	最小破断伸び (%)																		
9m 垂直落下	[]	[]																		
9m 水平落下	[]	[]																		

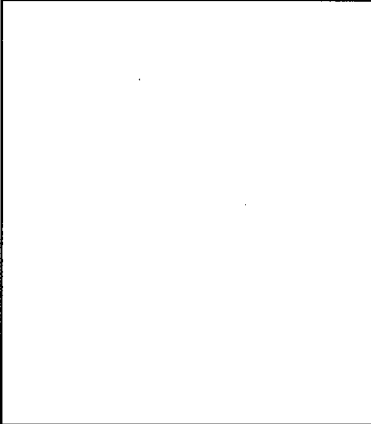
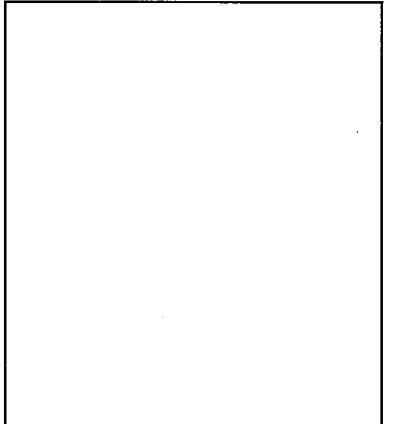
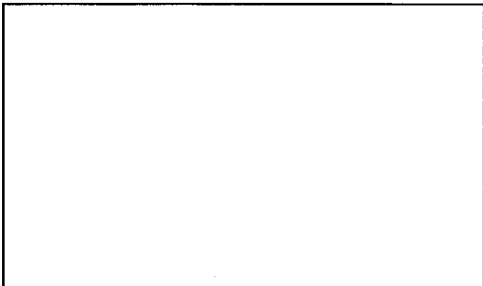
核燃料輸送物設計変更承認申請に係る変更前後表

前回申請書 (平成30年8月17日付三原燃第18-393号をもって申請 (平成31年2月5日付三原燃第18-1013号をもって一部補正))	今回の核燃料輸送物設計変更承認申請	備考
<p>(2) 1m落下試験</p> <p>本試験は、輸送物が最大損傷を受けるよう直径15 cmの軟鋼棒上に、1mの高さから落下させるものである。</p> <p>先に述べたように、輸送容器の落下時における挙動を評価するために、[] モデルを用いたモックアップ試験が実施されており、9m落下に併せて軟鋼棒上への1m落下が行われている。モックアップ試験では、蓋部を直撃する垂直落下、底部を直撃する垂直落下、胴部を直撃する水平落下が実施され、直撃部の損傷状態及び密封性の変化が測定された。いずれの場合においても、臨界解析に影響を与えるような損傷が生じることはなかった。</p> <p>各落下姿勢について、モックアップ試験及び解析に基づく評価を以下に示す。</p> <p>a. 蓋部を直撃する垂直落下</p> <p>試験の状態及び落下後の直撃部の状態を写真(a)-第A.1及び写真(a)-第A.2に示す。</p> <p>観察された事項は次のとおり。</p> <ul style="list-style-type: none"> ・前部衝撃吸収カバーは貫通した。 ・蓋部レジンに最大 [] mm のへこみが生じた。蓋部レジンカバーには半円状のき裂が見られた。 ・蓋板には損傷は見られなかった。 ・引き続き実施した9m前部垂直落下の後に測定した容器本体の漏えい率(ヘリウムリークテスト)は、リークタイトのレベル($10^{-8} \text{ Pa} \cdot \text{m}^3 \cdot \text{s}^{-1}$)を下回っており、密封は維持されていた。 <p>以上の結果から、蓋部を直撃する1m落下における損傷が臨界解析に与える影響を以下に示す。</p> <ul style="list-style-type: none"> ・前部衝撃吸収カバーに穴があき蓋部レジンカバーに最大約 [] mm [] のへこみが生じる可能性があるが局所的であり、特別の試験条件における熱解析に有意な影響は与えない。 ・臨界解析では前部衝撃吸収カバー及び蓋部レジンを無視して軸方向に無限長としており、蓋部の損傷による影響はない。 <p>b. 底部を直撃する垂直落下</p> <p>試験の状態及び落下後の直撃部の状態を写真(a)-第A.3及び写真(a)-第A.4に示す。</p> <p>観察された事項は次のとおり。</p>	<p>(2) 1m落下試験</p> <p>本試験は、輸送物が最大損傷を受けるよう直径15 cmの軟鋼棒上に、1mの高さから落下させるものである。</p> <p>先に述べたように、輸送容器の落下時における挙動を評価するために、[] モデルを用いたモックアップ試験が実施されており、9m落下に併せて軟鋼棒上への1m落下が行われている。モックアップ試験では、蓋部を直撃する垂直落下、底部を直撃する垂直落下、胴部を直撃する水平落下が実施され、直撃部の損傷状態及び密封性の変化が測定された。 [] 各落下姿勢について、モックアップ試験及び解析に基づく評価を以下に示す。</p> <p>a. 蓋部を直撃する垂直落下</p> <p>試験の状態及び落下後の直撃部の状態を写真(a)-第A.1及び写真(a)-第A.2に示す。</p> <p>観察された事項は次のとおり。</p> <ul style="list-style-type: none"> ・前部衝撃吸収カバーは貫通した。 ・蓋部レジンに最大 [] mm のへこみが生じた。蓋部レジンカバーには半円状のき裂が見られた。 ・蓋板には損傷は見られなかった。 ・引き続き実施した9m前部垂直落下の後に測定した容器本体の漏えい率(ヘリウムリークテスト)は、リークタイトのレベル($10^{-8} \text{ Pa} \cdot \text{m}^3 \cdot \text{s}^{-1}$)を下回っており、密封は維持されていた。 <p>以上の結果から、蓋部を直撃する1m落下における [] 際に考慮を要する形 [] 以下に示す。</p> <ul style="list-style-type: none"> ・前部衝撃吸収カバーに穴があき蓋部レジンカバーに最大約 [] mm [] のへこみが生じる可能性がある。 <p>b. 底部を直撃する垂直落下</p> <p>試験の状態及び落下後の直撃部の状態を写真(a)-第A.3及び写真(a)-第A.4に示す。</p> <p>観察された事項は次のとおり。</p> <ul style="list-style-type: none"> ・後部衝撃吸収カバーは貫通した。 ・底部レジンに最大 [] mm のへこみが生じた。底部レジンカバーにはき裂は見られなかった。 	<p>・記載の適正化</p>

核燃料輸送物設計変更承認申請に係る変更前後表

前回申請書 (平成 30 年 8 月 17 日付三原燃第 18-393 号をもって申請 (平成 31 年 2 月 5 日付三原燃第 18-1013 号をもって一部補正))	今回の核燃料輸送物設計変更承認申請	備考
		—
<p>写真(v)－第 A.1 蓋部を直撃する垂直落下（試験前）  写真(v)－第 A.2 蓋部を直撃する垂直落下（試験後） </p> <p>(v)－A－121</p>	<p>写真(v)－第 A.1 蓋部を直撃する垂直落下（試験前）  写真(v)－第 A.2 蓋部を直撃する垂直落下（試験後） </p> <p>(v)－A－123</p>	

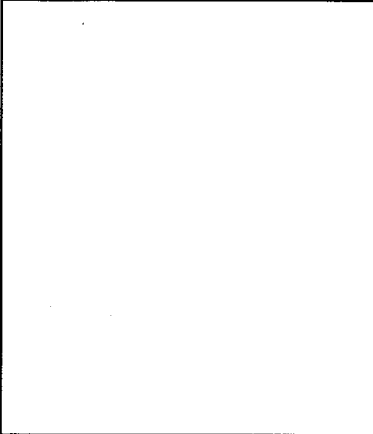
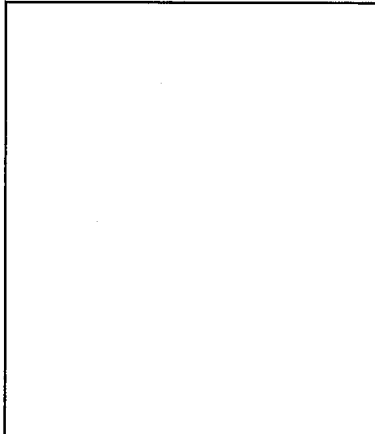
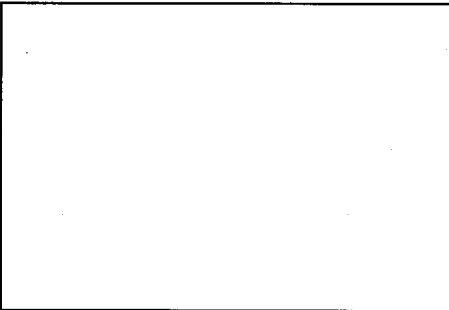
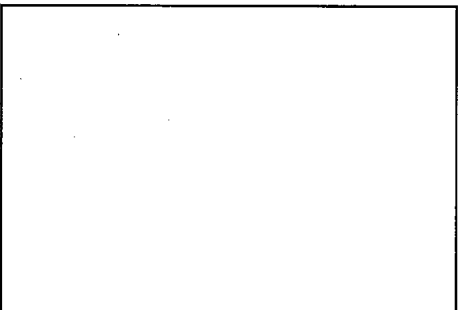
核燃料輸送物設計変更承認申請に係る変更前後表

前回申請書 (平成 30 年 8 月 17 日付三原燃第 18-393 号をもって申請 (平成 31 年 2 月 5 日付三原燃第 18-1013 号をもって一部補正))	今回の核燃料輸送物設計変更承認申請	備考
		—
<p>写真(v) - 第 A.3 底部を直撃する垂直落下 (試験前)</p> 	<p>写真(v) - 第 A.3 底部を直撃する垂直落下 (試験前)</p> 	(v) - A - 122 (v) - A - 124

核燃料輸送物設計変更承認申請に係る変更前後表

前回申請書 (平成 30 年 8 月 17 日付三原燃第 18-393 号をもって申請 (平成 31 年 2 月 5 日付三原燃第 18-1013 号をもって一部補正))	今回の核燃料輸送物設計変更承認申請	備考
<p>・後部衝撃吸収カバーは貫通した。</p> <p>・底部レジンに最大□ mm のへこみが生じた。底部レジンカバーにはき裂は見られなかった。</p> <p>・落下の後に測定した容器本体の漏えい率（ヘリウムリークテスト）は、リークタイトのレベル ($10^{-8} \text{ Pa} \cdot \text{m}^3 \cdot \text{s}^{-1}$) を下回っており、密封は維持されていた。</p> <p>以上の結果から、底部を直撃する 1m 落下における損傷が臨界解析に与える影響を以下に示す。</p> <p>・後部衝撃吸収カバーに穴があき底部レジンカバーに最大約□ mm □□□□□のへこみが生じる可能性があるが局部的であり、特別の試験条件の熱解析に有意な影響は与えない。</p> <p>・臨界解析では後部衝撃吸収カバー及び底部レジンを無視して軸方向に無限長としており、底部の損傷による影響はない。</p> <p>c. 脇部を直撃する水平落下</p> <p>脇部への直撃にあたっては、胴外板及び胴ガセットに最大の損傷を与えることを目的として、水平から□ 傾けた落下姿勢が採用された。</p> <p>試験の状態及び落下後の直撃部の状態を写真(①)-第 A.5 及び写真(②)-第 A.6 に示す。</p> <p>観察された事項は次のとおり。</p> <p>・胴外板及び胴ガセットが破断して、脇部に最大□ mm の深さのくぼみが生じた。また、このくぼみにより内筒の一部が内側に膨らむ変形が生じた。</p> <p>・落下の後に測定した容器本体の漏えい率（ヘリウムリークテスト）は、リークタイトのレベル ($10^{-8} \text{ Pa} \cdot \text{m}^3 \cdot \text{s}^{-1}$) を下回っており、密封は維持されていた。</p> <p>以上の結果から、脇部を直撃する 1m 落下における損傷が臨界解析に与える影響を以下に示す。</p> <p>・伝熱媒体である胴ガセットの損傷は直撃部に限定されている。また、胴外板のき裂により脇部レジンが露出する可能性があるが当該レジンは自己消火性である。したがって、脇部の損傷は特別の試験条件の熱解析に有意な影響は与えない。</p> <p>・臨界解析では胴外板、脇部レジン及び胴ガセットを無視しており、これらの胴部部品の損傷による影響はない。また、内筒の変形は部分的であり、臨界解析の解析条件に影響を与えない。</p>	<p>・落下の後に測定した容器本体の漏えい率（ヘリウムリークテスト）は、リークタイトのレベル ($10^{-8} \text{ Pa} \cdot \text{m}^3 \cdot \text{s}^{-1}$) を下回っており、密封は維持されていた。</p> <p>以上の結果から、底部を直撃する 1m 落下における <u>臨界解析で考慮を要する形態</u> □□□□□を以下に示す。</p> <p>・後部衝撃吸収カバーに穴があき底部レジンカバーに最大約□ mm □□□□□のへこみが生じる可能性がある□</p> <p>c. 脇部を直撃する水平落下</p> <p>脇部への直撃にあたっては、胴外板及び胴ガセットに最大の損傷を与えることを目的として、水平から□ 傾けた落下姿勢が採用された。</p> <p>試験の状態及び落下後の直撃部の状態を写真(①)-第 A.5 及び写真(②)-第 A.6 に示す。</p> <p>観察された事項は次のとおり。</p> <p>・胴外板及び胴ガセットが破断して、脇部に最大□ mm の深さのくぼみが生じた。また、このくぼみにより内筒の一部が内側に膨らむ変形が生じた。</p> <p>・落下の後に測定した容器本体の漏えい率（ヘリウムリークテスト）は、リークタイトのレベル ($10^{-8} \text{ Pa} \cdot \text{m}^3 \cdot \text{s}^{-1}$) を下回っており、密封は維持されていた。</p> <p>以上の結果から、脇部を直撃する 1m 落下における <u>臨界解析で考慮を要する形態</u> □□□□□を以下に示す。</p> <p>・直撃部位の胴外板及び胴ガセットが破断し、胴外板のき裂により脇部レジンが露出する可能性がある。また、脇部にくぼみが生じ、このくぼみにより内筒の一部が内側に膨らむ変形が生じる。□□□□□</p>	<p>・記載の適正化</p>

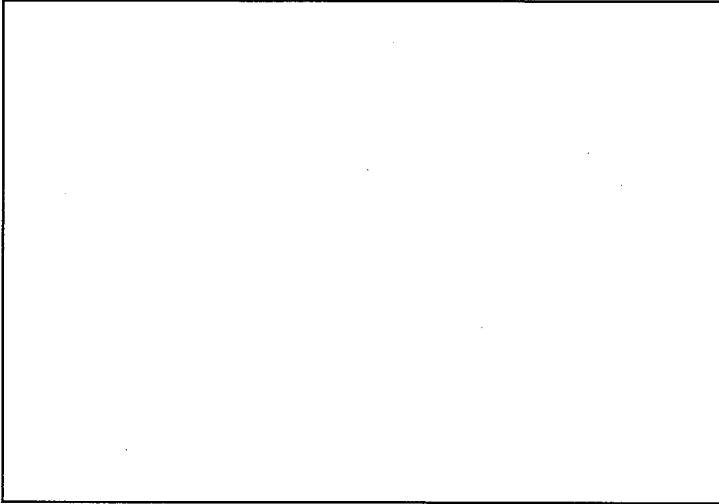
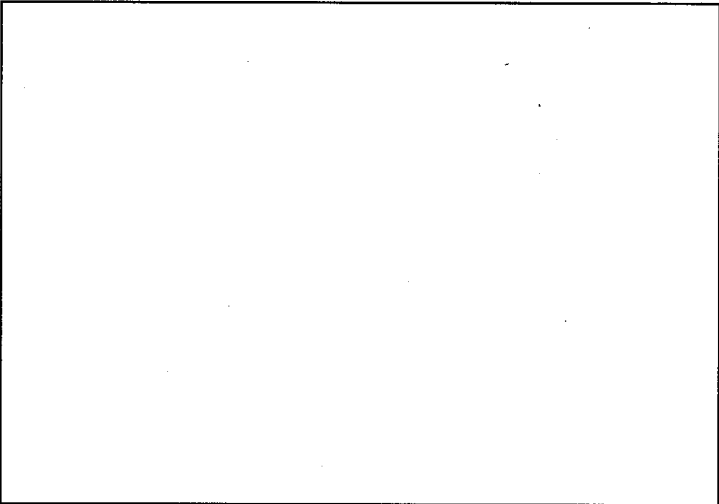
核燃料輸送物設計変更承認申請に係る変更前後表

前回申請書 (平成30年8月17日付三原燃第18-393号をもって申請 (平成31年2月5日付三原燃第18-1013号をもって一部補正))	今回の核燃料輸送物設計変更承認申請	備考
		—
 写真(v)－第A.6 脚部を直撃する水平落下(試験後)	 写真(v)－第A.6 脚部を直撃する水平落下(試験後)	(v)－A－123 (v)－A－126

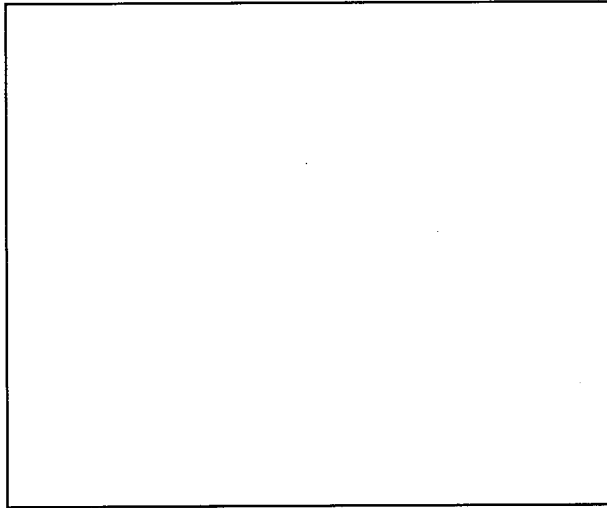
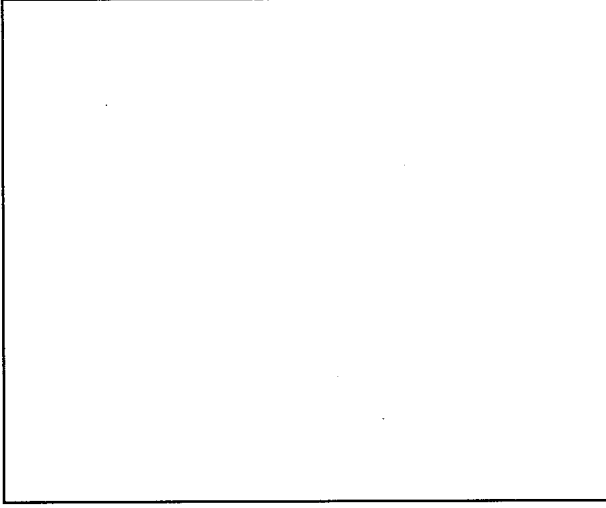
核燃料輸送物設計変更承認申請に係る変更前後表

前回申請書 (平成 30 年 8 月 17 日付三原燃第 18-393 号をもって申請 (平成 31 年 2 月 5 日付三原燃第 18-1013 号をもって一部補正))	今回の核燃料輸送物設計変更承認申請	備考
<p>上述したように、直撃部の胴部にくぼみが生じて変形は内筒に及ぶため、内筒の変形を受けてバスケットの一部に変形が生じる可能性がある。そこで、胴部を直撃する 1m 落下におけるバスケットの形状変化について、解析手法を用いた評価を行う。</p> <p>(a) 解析モデル</p> <p>軟鋼棒の直撃により胴外板と胴ガセットが破断して内筒が変形する部分には、 [] モデルの落下試験を模擬した解析により確認された解析モデルを実スケールにしてモデル化する。(付属書類-3 参照)</p> <p>軟鋼棒が直撃しない部位は、内筒、胴ガセット、胴外板及び胴部レジンからなる胴部と、単純な形状の蓋部及び底部から構成され、モデルの質量が設計重量と同等になるように、それぞれの領域に等価な密度を与える。</p> <p>バスケットについては、軟鋼棒の直撃により変形が予想される [] を中央にして、[] を含めた範囲にはバスケットの落下解析で用いた解析モデルを用いる。その両側からバスケットの軸方向端部までは、単純な円筒形状として等価な密度を与える。</p> <p>解析モデルの要素分割図を (a)- 第 A. 67 図に示す。</p> <p>(b) 荷重条件及び境界条件</p> <p>モデル全体に 1m 落下時の衝突速度 (4.43m/sec) を与え、剛体でモデル化した軟鋼棒はその全方向変位を拘束する。</p> <p>(c) 解析結果</p> <p>バスケットに対する落下方向として、(a)- 第 A. 68 図に示す [] について解析を行った結果、以下のような観察が得られた。各ケースにおける最大変形時の変形状態を (a)- 第 A. 69 図に示す。</p> <p>各ケースにおけるバスケットの損傷状態は以下のとおりである。</p> <p>i. []</p> <ul style="list-style-type: none"> ・ [] には [] 局所的に [] ・ 最大 [] % の塑性歪が発生し [] ・ [] に発生した塑性歪は [] % 以下であり、[] ・ [] の形状変化は直撃部近傍に留まる。(a)- 第 A. 70 図) ・ [] には、最大 [] % の局所的な塑性歪が発生しているが、[] ・ [] 破断は生じない。(a)- 第 A. 71 図) 	<p>上述したように、直撃部の胴部にくぼみが生じて変形は内筒に及ぶため、内筒の変形を受けてバスケットの一部に変形が生じる可能性がある。そこで、胴部を直撃する 1m 落下におけるバスケットの形状変化について、解析手法を用いた評価を行う。</p> <p>(a) 解析モデル</p> <p>軟鋼棒の直撃により胴外板と胴ガセットが破断して内筒が変形する部分には、 [] モデルの落下試験を模擬した解析により確認された解析モデルを実スケールにしてモデル化する。(付属書類-3 参照)</p> <p>軟鋼棒が直撃しない部位は、内筒、胴ガセット、胴外板及び胴部レジンからなる胴部と、単純な形状の蓋部及び底部から構成され、モデルの質量が設計重量と同等になるように、それぞれの領域に等価な密度を与える。</p> <p>バスケットについては、軟鋼棒の直撃により変形が予想される [] を中央にして、[] を含めた範囲にはバスケットの落下解析で用いた解析モデルを用いる。その両側からバスケットの軸方向端部までは、単純な円筒形状として等価な密度を与える。</p> <p>解析モデルの要素分割図を (a)- 第 A. 67 図に示す。</p> <p>(b) 荷重条件及び境界条件</p> <p>モデル全体に 1m 落下時の衝突速度 (4.43m/sec) を与え、剛体でモデル化した軟鋼棒はその全方向変位を拘束する。</p> <p>(c) 解析結果</p> <p>バスケットに対する落下方向として、(a)- 第 A. 68 図に示す [] について解析を行った結果、以下のような観察が得られた。各ケースにおける最大変形時の変形状態を (a)- 第 A. 69 図に示す。</p> <p>各ケースにおけるバスケットの損傷状態は以下のとおりである。</p> <p>i. []</p> <ul style="list-style-type: none"> ・ [] には [] 局所的に [] ・ 塑性歪が発生するが [] に発生した塑性歪 ([] % 以下) は [] 下回っており [] の記述 ・ 塑性歪は生じない。(a)- 第 A. 70 図) ・ [] には、局所的な塑性歪 (最大 [] %) が発生しているが、[] ・ [] 破断は生じない。(a)- 第 A. 71 図) 	<p>・ 記載の適正化</p>

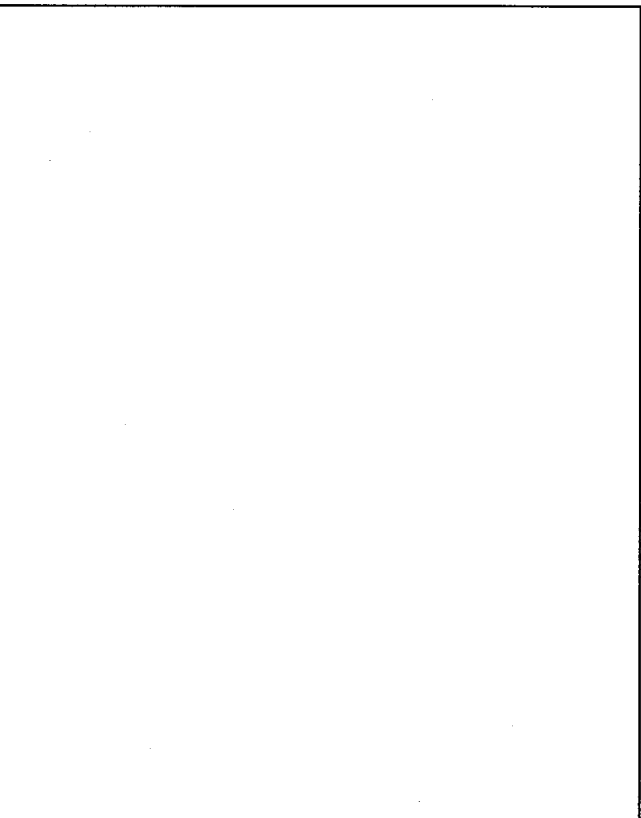
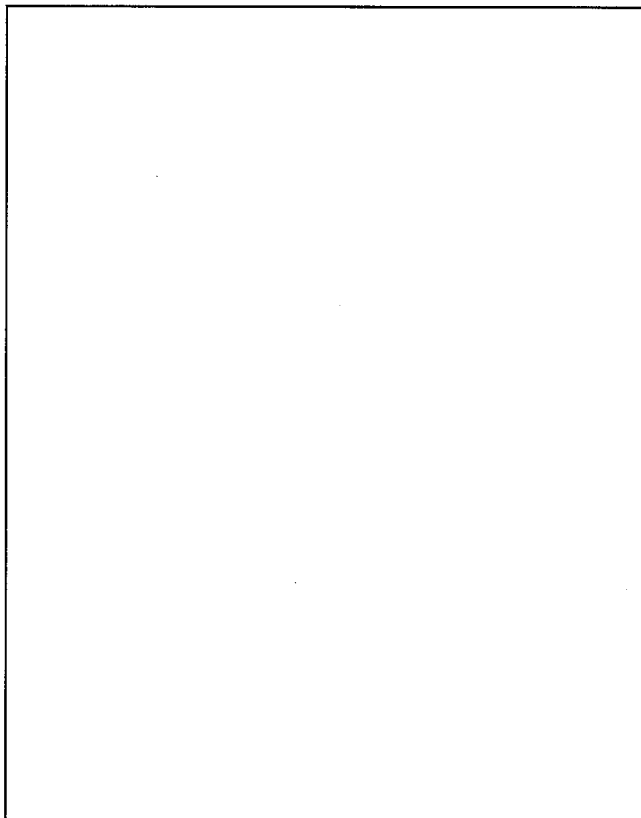
核燃料輸送物設計変更承認申請に係る変更前後表

前回申請書 (平成30年8月17日付三原燃第18-393号をもって申請 (平成31年2月5日付三原燃第18-1013号をもって一部補正))	今回の核燃料輸送物設計変更承認申請	備考
 (e) - 第A.67図 要素分割図 (1m落下/実機モデル) (v) - A - 125	 (p) - 第A.67図 要素分割図 (1m落下/実機モデル) (v) - A - 128	-

核燃料輸送物設計変更承認申請に係る変更前後表

前回申請書 (平成 30 年 8 月 17 日付三原燃第 18-393 号をもって申請 (平成 31 年 2 月 5 日付三原燃第 18-1013 号をもって一部補正))	今回の核燃料輸送物設計変更承認申請	備考
 <p>(a) - 第 A.68 図 バスケットに対する落下方向</p> <p>(a) - A - 126</p>	 <p>(a) - 第 A.68 図 バスケットに対する落下方向</p> <p>(a) - A - 129</p>	-

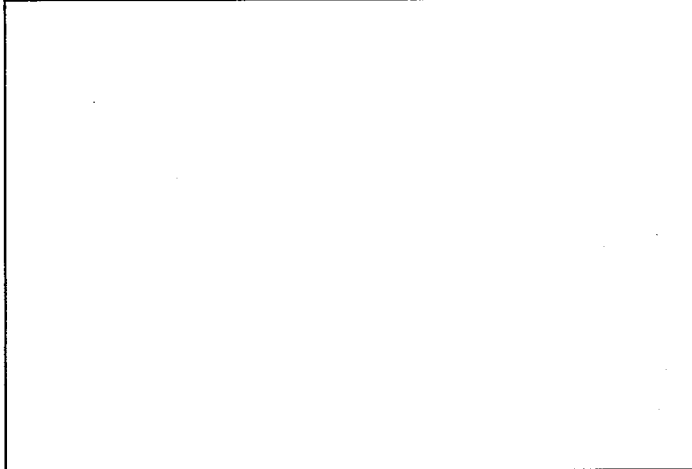
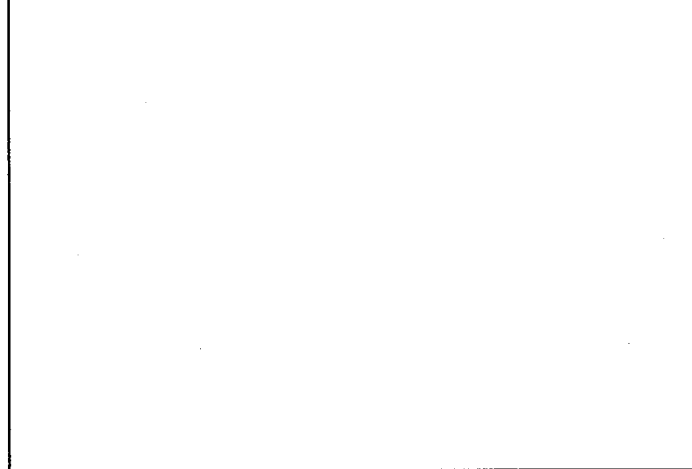
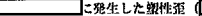
核燃料輸送物設計変更承認申請に係る変更前後表

前回申請書 (平成 30 年 8 月 17 日付三原燃第 18-393 号をもって申請 (平成 31 年 2 月 5 日付三原燃第 18-1013 号をもって一部補正))	今回の核燃料輸送物設計変更承認申請	備考
 (a) - 第 A-69 図 バスケットの変形状態(最大変形時)	 (b) - 第 A-69 図 バスケットの変形状態(最大変形時)	—

(a) - A - 127

(b) - A - 130

核燃料輸送物設計変更承認申請に係る変更前後表

前回申請書 (平成30年8月17日付三原燃第18-393号をもって申請 (平成31年2月5日付三原燃第18-1013号をもって一部補正))	今回の核燃料輸送物設計変更承認申請	備考
		
(v) - 第A.70図  に発生した塑性歪 ( 方向)	(v) - 第A.70図  に発生した塑性歪 ( 方向)	

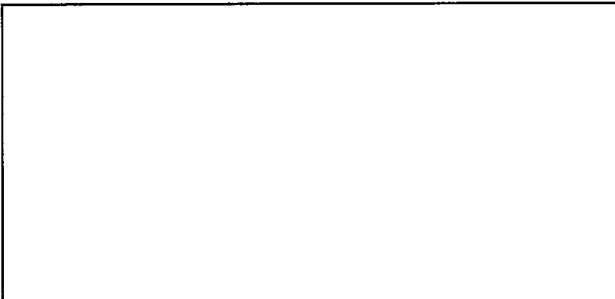
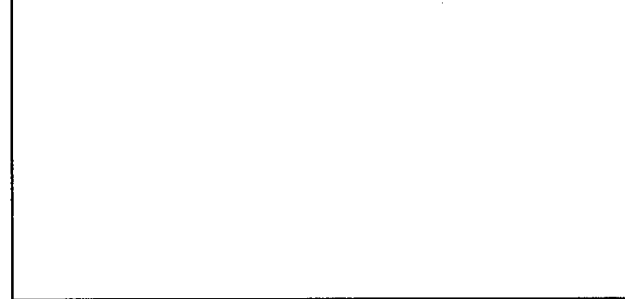
(v) - A - 128

(v) - A - 131

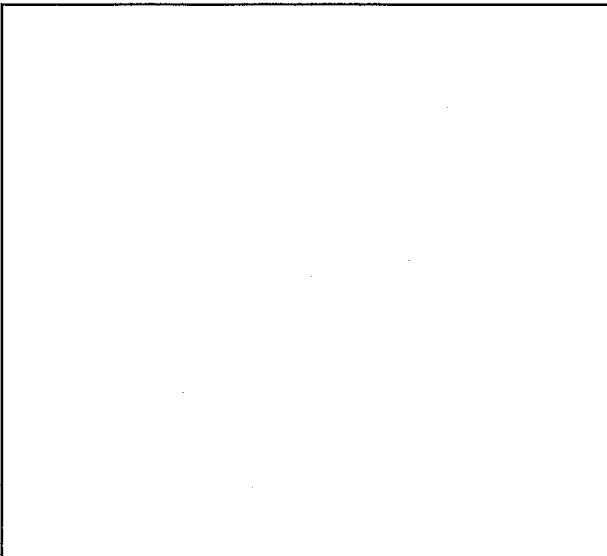
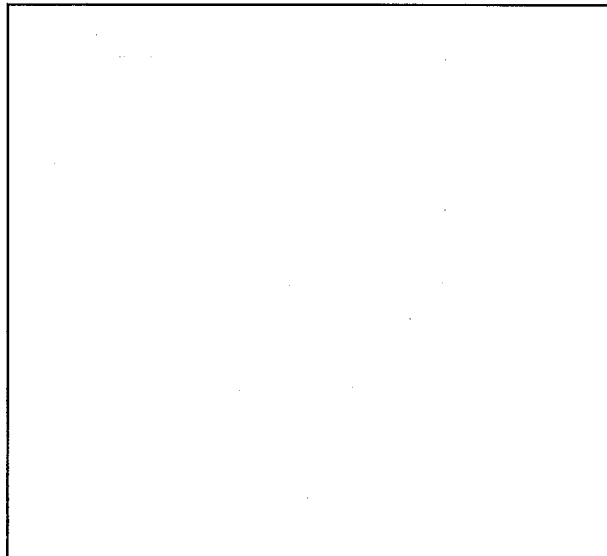
核燃料輸送物設計変更承認申請に係る変更前後表

前回申請書 (平成30年8月17日付三原燃第18-393号をもって申請 (平成31年2月5日付三原燃第18-1013号をもって一部補正))	今回の核燃料輸送物設計変更承認申請	備考
<p>・ロジメントと収納物の間には隙間が存在しており、□の形状変化により燃料集合体が損傷することはない。</p> <p>ii. □には、□局所的に□最大□%の塑性歪が発生し、□に発生した塑性歪は最大□%であり、□の形状変化は直撃部近傍に留まる。((v)ー第A.72図)</p> <p>・□には、最大□%の局所的な塑性歪が発生しているが、□破断は生じない。((v)ー第A.73図)</p> <p>・ロジメントと収納物の間には隙間が存在しており、□の形状変化により燃料集合体が損傷することはない。</p> <p>iii. □には、□局所的に□最大□%の塑性歪が発生し、□また、□に発生した塑性歪は最大□%であり、同じく□((v)ー第A.74図)</p> <p>・ロジメントには塑性歪の発生はなく、燃料集合体が損傷することはない。</p>	<p>・□には、塑性歪の発生はなく、□の配置は□大きな変形は生じない。</p> <p>・最大変形においてもロジメントと収納物の間には隙間が残存しており、□燃料集合体が損傷することはない。</p> <p>ii. □には、□局所的に□塑性歪が発生するが、□に発生した塑性歪(最大□%)は□回つており、□の変形に有効な変位は生じない。((v)ー第A.72図)</p> <p>・□には、局所的な塑性歪(最大□%)が発生しているが、□破断は生じない。((v)ー第A.73図)</p> <p>・□には、塑性歪の発生はなく、□の配置は□大きな変形は生じない。</p> <p>・最大変形においてもロジメントと収納物の間には隙間が残存しており、□燃料集合体が損傷することはない。</p> <p>iii. □には、□局所的に□塑性歪が発生するが、□に発生した塑性歪(最大□%)は□回つおり、□の変形に有効な変位は生じない。((v)ー第A.74図)</p> <p>・□には、塑性歪の発生はない。</p> <p>・□には、塑性歪の発生はなく、□の配置に有効な変形は生じない。</p> <p>・最大変形においてもロジメントと収納物の間には隙間が残存しており、□燃料集合体が損傷することはない。</p>	<p>・知見の更新に関する説明の追加</p>

核燃料輸送物設計変更承認申請に係る変更前後表

前回申請書 (平成 30 年 8 月 17 日付三原燃第 18-393 号をもって申請 (平成 31 年 2 月 5 日付三原燃第 18-1013 号をもって一部補正))	今回の核燃料輸送物設計変更承認申請	備考
		—
<p>(a) 第 A-72 図  に発生した塑性歪 ( 方向)</p>  <p>(a) 第 A-73 図 ロジメントに発生した塑性歪 ( 方向)</p> <p>(a) - A - 130</p>	<p>(a) 第 A-72 図  に発生した塑性歪 ( 方向)</p>  <p>(a) 第 A-73 図 ロジメントに発生した塑性歪 ( 方向)</p> <p>(a) - A - 133</p>	

核燃料輸送物設計変更承認申請に係る変更前後表

前回申請書 (平成30年8月17日付三原燃第18-393号をもって申請 (平成31年2月5日付三原燃第18-1013号をもって一部補正))	今回の核燃料輸送物設計変更承認申請	備考
 (a) - 第A.74 図 [] に発生した塑性歪 (□方向) (a) - A - 131	 (a) - 第A.74 図 [] に発生した塑性歪 (□方向) (a) - A - 134	-

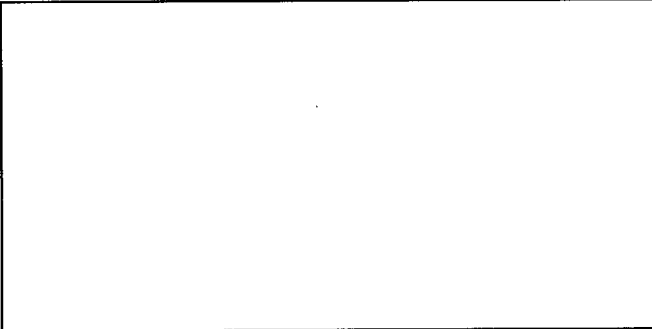
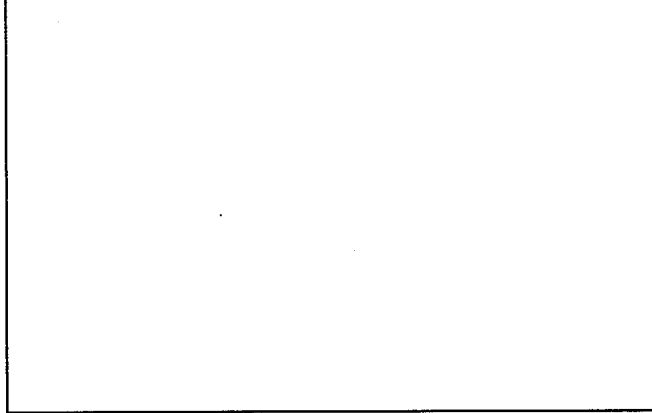
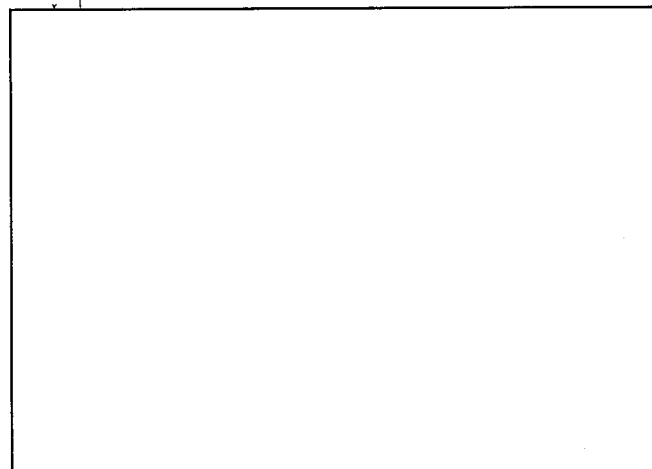
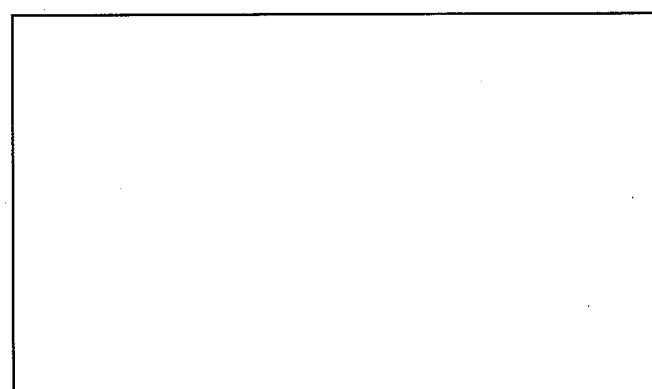
核燃料輸送物設計変更承認申請に係る変更前後表

前回申請書 (平成 30 年 8 月 17 日付三原燃第 18-393 号をもって申請 (平成 31 年 2 月 5 日付三原燃第 18-1013 号をもって一部補正))	今回の核燃料輸送物設計変更承認申請	備考																																
<p>以上のことから、胴部を直撃する 1m 落下では、直撃部近傍でバスケットの形状変化は生じるもの、その形状変形により燃料集合体が損傷することではなく、臨界解析の解釈条件に影響を与えることはない。</p> <p>(3) 热的試験（耐火試験）</p> <p>a. 容器本体</p> <p>耐火試験による容器本体の臨界解釈の解釈条件に影響を与える損傷状態を以下に評価する。</p> <p>火災発生 30 分後における各部品の最高温度は (e) 第 A. 24 表に示すとおりである。また、特別の試験条件における輸送物的最大内圧は [] MPa 絶対圧である。したがって、本試験では内外圧力差を [] MPa として評価する。</p> <p>(e) 第 A. 24 表 火災発生 30 分後における各部品の最高温度 (単位 : °C)</p> <table border="1"> <thead> <tr> <th>容器本体部品</th> <th>熱解析結果</th> </tr> </thead> <tbody> <tr> <td>胴外板</td> <td>[]</td> </tr> <tr> <td>胴ガセット</td> <td>[]</td> </tr> <tr> <td>内 筒</td> <td>[]</td> </tr> <tr> <td>上部フランジ</td> <td>[]</td> </tr> <tr> <td>底 板</td> <td>[]</td> </tr> <tr> <td>蓋 板</td> <td>[]</td> </tr> <tr> <td>蓋板締付けボルト</td> <td>[]</td> </tr> </tbody> </table> <p>耐火試験では、(e) 第 A. 24 表に示したように、胴部の外面と内面で大きな温度差が生じ、外面の胴外板及び胴ガセットの熱膨張により、内面の内筒に変形が生じる可能性がある。</p> <p>内筒の形状は臨界解釈の条件となっていることから、変形量を保守的に評価するために、胴外板と胴ガセットは弾性体の物性を与え、一方、内筒をはじめ上部フランジ、底板、蓋板には弾完全塑性体の物性を与えて、内筒の変形挙動を解析コード ABAQUS を用いた弾塑性解析により評価する。</p> <p>(a) 解析モデル</p> <p>解析モデルとして、A. 5.1 と同様に容器本体の [] 3 次元モデルを用いる。当該モデルは、本体（上部フランジ、内筒、胴ガセット、胴外板及び底板）と蓋部（蓋板及び蓋板締付けボルト）で構成されており、蓋板は蓋板締付けボルトを通して上部フランジに接続され、蓋板と上部フランジの接触が考慮されている。</p> <p>(a) 解析モデル</p> <p>解析モデルとして、A. 5.1 と同様に容器本体の [] 3 次元モデルを用いる。</p> <p>(e) - A - 132</p>	容器本体部品	熱解析結果	胴外板	[]	胴ガセット	[]	内 筒	[]	上部フランジ	[]	底 板	[]	蓋 板	[]	蓋板締付けボルト	[]	<p>(3) 热的試験（耐火試験）</p> <p>a. 容器本体</p> <p>耐火試験による容器本体の損傷状態を以下に評価する。</p> <p>火災発生 30 分後における各部品の最高温度は (e) 第 A. 24 表に示すとおりである。また、特別の試験条件における輸送物的最大内圧は [] MPa 絶対圧である。したがって、本試験では内外圧力差を [] MPa として評価する。</p> <p>(e) 第 A. 24 表 火災発生 30 分後における各部品の最高温度 (単位 : °C)</p> <table border="1"> <thead> <tr> <th>容器本体部品</th> <th>熱解析結果</th> </tr> </thead> <tbody> <tr> <td>胴外板</td> <td>[]</td> </tr> <tr> <td>胴ガセット</td> <td>[]</td> </tr> <tr> <td>内 筒</td> <td>[]</td> </tr> <tr> <td>上部フランジ</td> <td>[]</td> </tr> <tr> <td>底 板</td> <td>[]</td> </tr> <tr> <td>蓋 板</td> <td>[]</td> </tr> <tr> <td>蓋板締付けボルト</td> <td>[]</td> </tr> </tbody> </table> <p>耐火試験では、(e) 第 A. 24 表に示したように、胴部の外面と内面で大きな温度差が生じ、外面の胴外板及び胴ガセットの熱膨張により、内面の内筒に変形が生じる可能性がある。</p> <p>内筒の形状を保守的に評価するために、胴外板と胴ガセットは弾性体の物性を与え、一方、内筒をはじめ上部フランジ、底板、蓋板には弾完全塑性体の物性を与えて、内筒の変形挙動を解析コード ABAQUS を用いた弾塑性解析により評価する。</p> <p>(a) 解析モデル</p> <p>解析モデルとして、A. 5.1 と同様に容器本体の [] 3 次元モデルを用いる。当該モデルは、本体（上部フランジ、内筒、胴ガセット、胴外板及び底板）と蓋部（蓋板及び蓋板締付けボルト）で構成されており、蓋板は蓋板締付けボルトを通して上部フランジに接続され、蓋板と上部フランジの接触が考慮されている。</p> <p>(e) - A - 135</p>	容器本体部品	熱解析結果	胴外板	[]	胴ガセット	[]	内 筒	[]	上部フランジ	[]	底 板	[]	蓋 板	[]	蓋板締付けボルト	[]	<ul style="list-style-type: none"> 記載の適正化
容器本体部品	熱解析結果																																	
胴外板	[]																																	
胴ガセット	[]																																	
内 筒	[]																																	
上部フランジ	[]																																	
底 板	[]																																	
蓋 板	[]																																	
蓋板締付けボルト	[]																																	
容器本体部品	熱解析結果																																	
胴外板	[]																																	
胴ガセット	[]																																	
内 筒	[]																																	
上部フランジ	[]																																	
底 板	[]																																	
蓋 板	[]																																	
蓋板締付けボルト	[]																																	

核燃料輸送物設計変更承認申請に係る変更前後表

前回申請書 (平成 30 年 8 月 17 日付三原燃第 18-393 号をもって申請 (平成 31 年 2 月 5 日付三原燃第 18-1013 号をもって一部補正))	今回の核燃料輸送物設計変更承認申請	備考
<p>当該モデルは、本体（上部フランジ、内筒、胴ガセット、胴外板及び底板）と蓋部（蓋板及び蓋板締付けボルト）で構成されており、蓋板は蓋板締付けボルトを介して上部フランジに接続され、蓋板と上部フランジの接触が考慮されている。</p> <p>(b) 荷重条件及び境界条件</p> <p>i. 荷重条件</p> <p>容器内面に内外圧力差 \square MPa を負荷し、蓋板締付けボルトには初期締付けによる軸力を作用させ、容器本体の温度差が最も大きくなる火災発生 30 分後の温度分布を与える。</p> <p>ii. 境界条件</p> <p>底板中央の軸方向変位、中心軸の半径方向変位、対称面の周方向変位を拘束する。</p> <p>(c) 解析結果</p> <p>変形図及び内筒の塑性歪分布図をそれぞれ(a)-第 A.75 図及び(b)-第 A.76 図に示す。</p> <p>\square に発生した最大塑性歪は \square% 以下で \square</p> <p>\square 破断ことはない。</p> <p>一方、(a)-第 A.75 図に示すように、胴外板及び胴ガセットとの熱膨張差により、内筒の中央部分が膨らむように変形して内半径が最大 \square mm 大きくなる。</p> <p>弾性体の物性を与えた胴外板及び胴ガセットを除く各部品について、評価結果を(b)-第 A.25 表にまとめる。</p>	<p>(b) 荷重条件及び境界条件</p> <p>i. 荷重条件</p> <p>容器内面に内外圧力差 \square MPa を負荷し、蓋板締付けボルトには初期締付けによる軸力を作用させ、容器本体の温度差が最も大きくなる火災発生 30 分後の温度分布を与える。</p> <p>ii. 境界条件</p> <p>底板中央の軸方向変位、中心軸の半径方向変位、対称面の周方向変位を拘束する。</p> <p>(c) 解析結果</p> <p>変形図及び内筒の塑性歪分布図をそれぞれ(a)-第 A.75 図及び(b)-第 A.76 図に示す。</p> <p>\square に発生した最大塑性歪は \square% 以下で \square</p> <p>\square 破断ことはない。</p> <p>一方、(a)-第 A.75 図に示すように、胴外板及び胴ガセットとの熱膨張差により、内筒の中央部分が膨らむように変形して内半径が最大 \square mm 大きくなる。</p> <p>弾性体の物性を与えた胴外板及び胴ガセットを除く各部品について、評価結果を(b)-第 A.25 表にまとめる。</p>	

核燃料輸送物設計変更承認申請に係る変更前後表

前回申請書 (平成 30 年 8 月 17 日付三原燃第 18-393 号をもって申請 (平成 31 年 2 月 5 日付三原燃第 18-1013 号をもって一部補正))	今回の核燃料輸送物設計変更承認申請	備考
		—
<p>(v) - 第 A.75 図 特別の試験条件の熱的試験の解析結果（変形図）</p>  <p>(v) - 第 A.76 図 特別の試験条件の熱的試験の解析結果（内筒の塑性歪分布）</p> <p>(v) - A - 134</p>	<p>(v) - 第 A.75 図 特別の試験条件の熱的試験の解析結果（変形図）</p>  <p>(v) - 第 A.76 図 特別の試験条件の熱的試験の解析結果（内筒の塑性歪分布）</p> <p>(v) - A - 137</p>	

核燃料輸送物設計変更承認申請に係る変更前後表

前回申請書 (平成30年8月17日付三原燃第18-393号をもって申請 (平成31年2月5日付三原燃第18-1013号をもって一部補正))	今回の核燃料輸送物設計変更承認申請	備考																																																																
<p>(ii) 第A.25表 特別の試験条件の熱的試験における容器本体の解析結果のまとめ (1/2)</p> <table border="1"> <thead> <tr> <th>容器本体部品</th> <th>最大塑性歪 (%)</th> <th>最小破断伸び (%)</th> <th>評価</th> </tr> </thead> <tbody> <tr> <td>内筒</td> <td></td> <td></td> <td></td> </tr> <tr> <td>上部フランジ</td> <td></td> <td></td> <td></td> </tr> <tr> <td>蓋板</td> <td></td> <td></td> <td></td> </tr> <tr> <td>底板</td> <td></td> <td></td> <td></td> </tr> </tbody> </table> <p>(ii) 第A.25表 特別の試験条件の熱的試験における容器本体の解析結果のまとめ (2/2)</p> <table border="1"> <thead> <tr> <th>部品</th> <th>応力の種類</th> <th>応力 (MPa)</th> <th>評価</th> </tr> </thead> <tbody> <tr> <td>蓋板締付けボルト</td> <td>σ_m</td> <td></td> <td>発生応力は $S_y^{(1)}$ を下回っており破断しない。</td> </tr> <tr> <td></td> <td>$\sigma_m + \sigma_b$</td> <td></td> <td></td> </tr> </tbody> </table> <p>注1) 蓋板締付けボルトの S_y (降伏応力) は、□ MPa (□ C)</p> <p>(ii) - A - 135</p>	容器本体部品	最大塑性歪 (%)	最小破断伸び (%)	評価	内筒				上部フランジ				蓋板				底板				部品	応力の種類	応力 (MPa)	評価	蓋板締付けボルト	σ_m		発生応力は $S_y^{(1)}$ を下回っており破断しない。		$\sigma_m + \sigma_b$			<p>(ii) 第A.25表 特別の試験条件の熱的試験における容器本体の解析結果のまとめ (1/2)</p> <table border="1"> <thead> <tr> <th>容器本体部品</th> <th>最大塑性歪 (%)</th> <th>最小破断伸び (%)</th> <th>評価</th> </tr> </thead> <tbody> <tr> <td>内筒</td> <td></td> <td></td> <td></td> </tr> <tr> <td>上部フランジ</td> <td></td> <td></td> <td></td> </tr> <tr> <td>蓋板</td> <td></td> <td></td> <td></td> </tr> <tr> <td>底板</td> <td></td> <td></td> <td></td> </tr> </tbody> </table> <p>(ii) 第A.25表 特別の試験条件の熱的試験における容器本体の解析結果のまとめ (2/2)</p> <table border="1"> <thead> <tr> <th>部品</th> <th>応力の種類</th> <th>応力 (MPa)</th> <th>評価</th> </tr> </thead> <tbody> <tr> <td>蓋板締付けボルト</td> <td>σ_m</td> <td></td> <td>発生応力は $S_y^{(1)}$ を下回っており破断しない。</td> </tr> <tr> <td></td> <td>$\sigma_m + \sigma_b$</td> <td></td> <td></td> </tr> </tbody> </table> <p>注1) 蓋板締付けボルトの S_y (降伏応力) は、□ MPa (□ C)</p> <p>(ii) - A - 138</p>	容器本体部品	最大塑性歪 (%)	最小破断伸び (%)	評価	内筒				上部フランジ				蓋板				底板				部品	応力の種類	応力 (MPa)	評価	蓋板締付けボルト	σ_m		発生応力は $S_y^{(1)}$ を下回っており破断しない。		$\sigma_m + \sigma_b$			<ul style="list-style-type: none"> 記載の適正化
容器本体部品	最大塑性歪 (%)	最小破断伸び (%)	評価																																																															
内筒																																																																		
上部フランジ																																																																		
蓋板																																																																		
底板																																																																		
部品	応力の種類	応力 (MPa)	評価																																																															
蓋板締付けボルト	σ_m		発生応力は $S_y^{(1)}$ を下回っており破断しない。																																																															
	$\sigma_m + \sigma_b$																																																																	
容器本体部品	最大塑性歪 (%)	最小破断伸び (%)	評価																																																															
内筒																																																																		
上部フランジ																																																																		
蓋板																																																																		
底板																																																																		
部品	応力の種類	応力 (MPa)	評価																																																															
蓋板締付けボルト	σ_m		発生応力は $S_y^{(1)}$ を下回っており破断しない。																																																															
	$\sigma_m + \sigma_b$																																																																	

核燃料輸送物設計変更承認申請に係る変更前後表

前回申請書 (平成 30 年 8 月 17 日付三原燃第 18-393 号をもって申請 (平成 31 年 2 月 5 日付三原燃第 18-1013 号をもって一部補正))	今回の核燃料輸送物設計変更承認申請	備考
<p>b. バスケット</p> <p>(a) 軸方向</p> <p>バスケットと容器本体の胴部との熱膨張差により、軸方向の隙間が減少する。</p> <p>スライスモデルによる熱解析の結果を参照して、バスケットと胴部の温度差が最大になる時刻における温度を用いて、バスケットと容器本体内面の軸方向の隙間 ΔL を下式により求める。なお、バスケットの温度として [] 最高温度、胴部の温度として胴外板最低温度を用いる。</p> <p>熱解析の結果によれば、[] 最高温度と胴外板最低温度の温度差は火災発生後 12 時間で最大となり、温度はそれぞれ [] C と [] C になる。</p> $\Delta L = (L_1 - L_2) + [L_1 \times (T_1 - 20) \times \alpha_1 - L_2 \times (T_2 - 20) \times \alpha_2]$ <p>ここで、L_1 : 容器本体のキャビティ長さ [] mm L_2 : バスケットの全長 [] mm T_1 : 胴部の温度 [] C T_2 : バスケットの温度 [] C α_1 : 胴部の線膨張係数 [] /C () C α_2 : バスケットの線膨張係数 [] /C () C</p> <p>よって、$\Delta L = [] mm$</p> <p>となり、バスケットと容器本体内面間に隙間が存在し拘束による熱応力は生じない。</p> <p>(b) 半径方向</p> <p>バスケットと容器本体の胴部との熱膨張差により、径方向の隙間が減少する。</p> <p>軸方向の評価と同様に、バスケットと容器本体内面の径方向の隙間 ΔD を下式により求める。</p> $\Delta D = (D_1 - D_2) + [D_1 \times (T_1 - 20) \times \alpha_1 - D_2 \times (T_2 - 20) \times \alpha_2]$ <p>注 1) ASME SEC. II Part D^[1] には、[] 材料のアルミニウム合金の物性は 200 °Cまで与えられており、当該温度は使用可能範囲である。</p> <p>(a) - A - 136</p>	<p>b. バスケット</p> <p>(a) 軸方向</p> <p>バスケットと容器本体の胴部との熱膨張差により、軸方向の隙間が減少する。</p> <p>スライスモデルによる熱解析の結果を参照して、バスケットと胴部の温度差が最大になる時刻における温度を用いて、バスケットと容器本体内面の軸方向の隙間 ΔL を下式により求める。なお、バスケットの温度として [] 最高温度、胴部の温度として胴外板最低温度を用いる。</p> <p>熱解析の結果によれば、[] 最高温度と胴外板最低温度の温度差は火災発生後 12 時間で最大となり、温度はそれぞれ [] C と [] C になる。</p> $\Delta L = (L_1 - L_2) + [L_1 \times (T_1 - 20) \times \alpha_1 - L_2 \times (T_2 - 20) \times \alpha_2]$ <p>ここで、L_1 : 容器本体のキャビティ長さ [] mm L_2 : バスケットの全長 [] mm T_1 : 胴部の温度 [] C T_2 : バスケットの温度 [] C α_1 : 胴部の線膨張係数 [] /C () C α_2 : バスケットの線膨張係数 [] /C () C</p> <p>よって、$\Delta L = [] mm$</p> <p>となり、バスケットと容器本体内面間に隙間が存在し拘束による熱応力は生じない。</p> <p>(b) 半径方向</p> <p>バスケットと容器本体の胴部との熱膨張差により、径方向の隙間が減少する。</p> <p>軸方向の評価と同様に、バスケットと容器本体内面の径方向の隙間 ΔD を下式により求める。</p> $\Delta D = (D_1 - D_2) + [D_1 \times (T_1 - 20) \times \alpha_1 - D_2 \times (T_2 - 20) \times \alpha_2]$ <p>注 1) ASME SEC. II Part D^[1] には、[] 材料のアルミニウム合金の物性は 200 °Cまで与えられており、当該温度は使用可能範囲である。</p> <p>(a) - A - 139</p>	

核燃料輸送物設計変更承認申請に係る変更前後表

前回申請書 (平成 30 年 8 月 17 日付三原燃第 18-393 号をもって申請 (平成 31 年 2 月 5 日付三原燃第 18-1013 号をもって一部補正))	今回の核燃料輸送物設計変更承認申請	備考
<p>ここで、D_1 : 容器本体の内径最小値 [□ mm] (公差を考慮した最小値) D_2 : パスケットの外径最大値 [□ mm] (公差を考慮した最大値) T_1 : 脊部の温度 [□ °C] T_2 : パスケットの温度 [□ °C] α_1 : 脊部の線膨張係数 [□ °C □ °C] α_2 : パスケットの線膨張係数 [□ °C □ °C]</p> <p>よって、$\Delta D = □ mm$</p> <p>となり、パスケットの半径方向の膨張により、一時的にパスケットの外面が脣部の内面に接触する可能性がある。これにより、パスケットの外周に位置するアルミスペーサーが、脣部からの圧縮を受ける可能性はあるが、アルミスペーサーは十分な変形代を有する中空の構造となっており、脣部からの圧縮はアルミスペーサーにより吸収されるため、パスケットの構造強度部品である□に変形は及ばない。</p> <p>以上より、特別の試験条件の熱的試験においてパスケットの形状変化は無視できるほど小さく、臨界解析の解析条件に影響を与えない。</p> <p>c. 燃料被覆管</p> <p>耐火試験における温度上界に伴う内圧の変化による燃料被覆管への影響を評価する。</p> <p>(a) - B.5 に示されているように、耐火試験におけるパスケットの最高温度は□ °C 以下であるため、保守的に燃料被覆管の温度を□ °C とする。</p> <p>耐火試験における燃料被覆管の内圧 (ゲージ圧) P_i は以下のようになる。</p> $P_i = P_o \times \frac{T}{T_o} - 0.101$ <p>ここで、P_o : 内部気体充填圧力 (20°C) [□ MPa 絶対圧] T_o : 内部気体初期温度 [293 K (20°C + 273°C)] T : 燃料被覆管最高温度 [□ K (□ °C + 273°C)]</p> <p>したがって、</p> $P_i = □ \times \frac{□}{293} - 0.101 = □ MPa$ <p>内圧 P_i によって燃料被覆管に発生する応力は、内圧を受ける円筒の式を用いて以下のように求められる。</p> $(周方向応力) \sigma_\theta = P_i \times \frac{b^2 + a^2}{b^2 - a^2}$	<p>ここで、D_1 : 容器本体の内径最小値 [□ mm] (公差を考慮した最小値) D_2 : パスケットの外径最大値 [□ mm] (公差を考慮した最大値) T_1 : 脊部の温度 [□ °C] T_2 : パスケットの温度 [□ °C] α_1 : 脊部の線膨張係数 [□ °C □ °C] α_2 : パスケットの線膨張係数 [□ °C □ °C]</p> <p>よって、$\Delta D = □ mm$</p> <p>となり、パスケットの半径方向の膨張により、一時的にパスケットの外面が脣部の内面に接触する可能性がある。これにより、パスケットの外周に位置するアルミスペーサーが、脣部からの圧縮を受ける可能性はあるが、アルミスペーサーは十分な変形代を有する中空の構造となっており、脣部からの圧縮はアルミスペーサーにより吸収されるため、パスケットの構造強度部品である□に変形は及ばない。</p> <p>c. 燃料被覆管</p> <p>耐火試験における温度上界に伴う内圧の変化による燃料被覆管への影響を評価する。</p> <p>(a) - B.5 に示されているように、耐火試験におけるパスケットの最高温度は□ °C 以下であるため、保守的に燃料被覆管の温度を□ °C とする。</p> <p>耐火試験における燃料被覆管の内圧 (ゲージ圧) P_i は以下のようになる。</p> $P_i = P_o \times \frac{T}{T_o} - 0.101$ <p>ここで、P_o : 内部気体充填圧力 (20°C) [□ MPa 絶対圧] T_o : 内部気体初期温度 [293 K (20°C + 273°C)] T : 燃料被覆管最高温度 [□ K (□ °C)]</p> <p>したがって、</p> $P_i = □ \times \frac{□}{293} - 0.101 = □ MPa$ <p>内圧 P_i によって燃料被覆管に発生する応力は、内圧を受ける円筒の式を用いて以下のように求められる。</p> $(周方向応力) \sigma_\theta = P_i \times \frac{b^2 + a^2}{b^2 - a^2}$	<p>・記載の適正化</p>

核燃料輸送物設計変更承認申請に係る変更前後表

前回申請書 (平成 30 年 8 月 17 日付三原燃第 18-393 号をもって申請 (平成 31 年 2 月 5 日付三原燃第 18-1013 号をもって一部補正))	今回の核燃料輸送物設計変更承認申請	備考
<p>(周方向応力) $\sigma_\theta = P_i \times \frac{b^2 + a^2}{b^2 - a^2}$</p> <p>(軸方向応力) $\sigma_z = P_i \times \frac{a^2}{b^2 - a^2}$</p> <p>(径方向応力) $\sigma_r = -P_i$</p> <p>ここで、b : 燃料被覆管外半径(mm) a : 燃料被覆管内半径(mm)</p> <p>(v) 第 A. 14 表に示す燃料被覆管の外径 (□ mm) 及び内径 (□ mm) より、 $b = □ \text{ mm}$ $a = □ \text{ mm}$</p> <p>となる。</p> <p>燃料被覆管に発生する最大応力強さ S は上記の各応力から以下のように求められる。</p> $S = \text{Max} \{ \sigma_\theta - \sigma_z , \sigma_z - \sigma_r , \sigma_\theta - \sigma_r \}$ <p>よって、$S = □ \text{ MPa}$</p> <p>となり、□Cにおける燃料被覆管の引張強さ (□ MPa) に比べて十分に小さく、耐火試験の温度上界に伴う内圧の変化によって燃料被覆管が破断することはない。</p> <p>(4) 0.9m 浸漬試験</p> <p>本試験は、輸送物内部への浸水の可能性を評価するものであるが、本輸送物では臨界解析においてあらかじめ浸水を想定しているため、評価は除外される。</p> <p>以上の結果より、特別の試験条件における輸送物の損傷状態は(v)-第 A. 26 表のようまとめる。</p>	<p>(周方向応力) $\sigma_\theta = P_i \times \frac{a^2}{b^2 - a^2}$</p> <p>(軸方向応力) $\sigma_z = P_i \times \frac{a^2}{b^2 - a^2}$</p> <p>(径方向応力) $\sigma_r = -P_i$</p> <p>ここで、b : 燃料被覆管外半径(mm) a : 燃料被覆管内半径(mm)</p> <p>(v) 第 A. 14 表に示す燃料被覆管の外径 (11.0 mm) 及び内径 (□ mm) より、 $b = 5.50 \text{ mm}$ $a = □ \text{ mm}$</p> <p>となる。</p> <p>燃料被覆管に発生する最大応力強さ S は上記の各応力から以下のように求められる。</p> $S = \text{Max} \{ \sigma_\theta - \sigma_z , \sigma_z - \sigma_r , \sigma_\theta - \sigma_r \}$ <p>よって、$S = □ \text{ MPa}$</p> <p>となり、□Cにおける燃料被覆管の引張強さ (□ MPa) に比べて十分に小さく、耐火試験の温度上界に伴う内圧の変化によって燃料被覆管が破断することはない。</p> <p>(4) 0.9m 浸漬試験</p> <p>本試験は、輸送物内部への浸水の可能性を評価するものであるが、本輸送物では臨界解析においてあらかじめ浸水を想定しているため、評価は除外される。</p> <p>以上の結果より、特別の試験条件における輸送物の損傷状態は(v)-第 A. 26 表のようまとめる。</p>	

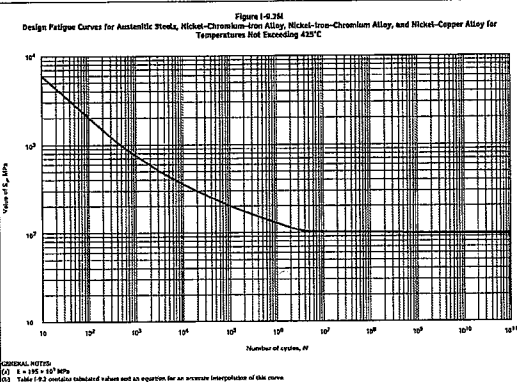
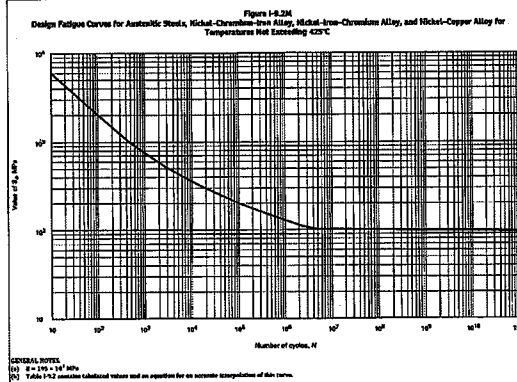
核燃料輸送物設計変更承認申請に係る変更前後表

前回申請書 (平成 30 年 8 月 17 日付三原燃第 18-393 号をもって申請 (平成 31 年 2 月 5 日付三原燃第 18-1013 号をもって一部補正))			今回の核燃料輸送物設計変更承認申請			備考																									
<p>(a) - 第 A.26 表 構分裂性輸送物に係る特別の試験条件下的輸送物の損傷状態</p> <table border="1"> <thead> <tr> <th>条件</th> <th>輸送物の損傷状態</th> <th>備考</th> </tr> </thead> <tbody> <tr> <td>9m落下</td> <td> <ul style="list-style-type: none"> 衝撃吸収カバーが変形する。 容器本体及びバスケットに塑性歪が発生するが臨界解析で考慮するような形状変化は生じない。 燃料被覆管は変形するが破断には至らない。 </td> <td> <ul style="list-style-type: none"> 衝撃吸収カバーは臨界解折で無視する。 燃料被覆管の変形は臨界解折で考慮する。 </td> </tr> <tr> <td>1m落下</td> <td> <ul style="list-style-type: none"> 衝撃吸収カバー、蓋部、底部及び胴部の直撃部が損傷する。 胴部を直撃する水平落下では [] が変形する。また、[] に塑性歪が発生するが破断には至らない。 </td> <td> <ul style="list-style-type: none"> 衝撃吸収カバー、蓋部及び底部は臨界解折で無視する。 臨界解折では胴外板、胴部レジン及び胴ガセットを無視しており、これらの胴部部品の損傷による影響はない。 内筒及びバスケットの変形は局所的であり臨界解折の解析条件に有意な影響を与えない。 </td> </tr> <tr> <td>熱的試験（耐火）</td> <td> <ul style="list-style-type: none"> 容器本体に塑性歪が発生し、内筒の内半径が最大 [] mm 増加するが破断には至らない。 </td> <td> <ul style="list-style-type: none"> 内筒の変形は臨界解折で考慮する。 </td> </tr> <tr> <td>0.9m浸漬</td> <td>—</td> <td> <ul style="list-style-type: none"> 臨界解折で浸水を想定している。 </td> </tr> </tbody> </table>			条件	輸送物の損傷状態	備考	9m落下	<ul style="list-style-type: none"> 衝撃吸収カバーが変形する。 容器本体及びバスケットに塑性歪が発生するが臨界解析で考慮するような形状変化は生じない。 燃料被覆管は変形するが破断には至らない。 	<ul style="list-style-type: none"> 衝撃吸収カバーは臨界解折で無視する。 燃料被覆管の変形は臨界解折で考慮する。 	1m落下	<ul style="list-style-type: none"> 衝撃吸収カバー、蓋部、底部及び胴部の直撃部が損傷する。 胴部を直撃する水平落下では [] が変形する。また、[] に塑性歪が発生するが破断には至らない。 	<ul style="list-style-type: none"> 衝撃吸収カバー、蓋部及び底部は臨界解折で無視する。 臨界解折では胴外板、胴部レジン及び胴ガセットを無視しており、これらの胴部部品の損傷による影響はない。 内筒及びバスケットの変形は局所的であり臨界解折の解析条件に有意な影響を与えない。 	熱的試験（耐火）	<ul style="list-style-type: none"> 容器本体に塑性歪が発生し、内筒の内半径が最大 [] mm 増加するが破断には至らない。 	<ul style="list-style-type: none"> 内筒の変形は臨界解折で考慮する。 	0.9m浸漬	—	<ul style="list-style-type: none"> 臨界解折で浸水を想定している。 	<p>(a) - 第 A.26 表 構分裂性輸送物に係る特別の試験条件下的輸送物の損傷状態</p> <table border="1"> <thead> <tr> <th>条件</th> <th>輸送物の損傷状態</th> </tr> </thead> <tbody> <tr> <td>9m落下</td> <td> <ul style="list-style-type: none"> 衝撃吸収カバーが変形する。 容器本体に局所的な塑性歪が発生するが破断に至ることはなく形状は維持される。 バスケットに局所的な塑性歪が発生するが破断に至ることはなく形状は維持される。 燃料被覆管に塑性歪が発生するが破断には至らない。 </td> </tr> <tr> <td>1m落下</td> <td> <ol style="list-style-type: none"> 蓋部あるいは底部を直撃する垂直落下 <ul style="list-style-type: none"> 衝撃吸収カバーが貫通する。 蓋部レジン及び底部レジンにへこみが生じる。 胴部を直撃する水平落下 <ul style="list-style-type: none"> 直撃部の胴外板及び胴ガセットが破断し、胴部レジンが局所的に損傷する。 直撃部近傍の内筒が内側に膨らむ変形が生じる。 直撃部近傍のアルミスペーサーが変形する。 [] に [] 塑性歪が局所的に発生するが、[] は破断には至らない。 [] に局所的な塑性歪が発生するが破断には至らない。 [] には塑性歪の発生はない。 最大変形時においてもロジメントと収納物の間には隙間が存在しております。[] 燃料集合体が損傷することはない。 </td> </tr> <tr> <td>熱的試験（耐火）</td> <td> <ul style="list-style-type: none"> 容器本体に塑性歪が発生し、内筒の内半径が最大 [] mm 増加するが破断には至らない。 </td> </tr> <tr> <td>0.9m浸漬</td> <td>(臨界解折で浸水を想定している)</td> </tr> </tbody> </table>			条件	輸送物の損傷状態	9m落下	<ul style="list-style-type: none"> 衝撃吸収カバーが変形する。 容器本体に局所的な塑性歪が発生するが破断に至ることはなく形状は維持される。 バスケットに局所的な塑性歪が発生するが破断に至ることはなく形状は維持される。 燃料被覆管に塑性歪が発生するが破断には至らない。 	1m落下	<ol style="list-style-type: none"> 蓋部あるいは底部を直撃する垂直落下 <ul style="list-style-type: none"> 衝撃吸収カバーが貫通する。 蓋部レジン及び底部レジンにへこみが生じる。 胴部を直撃する水平落下 <ul style="list-style-type: none"> 直撃部の胴外板及び胴ガセットが破断し、胴部レジンが局所的に損傷する。 直撃部近傍の内筒が内側に膨らむ変形が生じる。 直撃部近傍のアルミスペーサーが変形する。 [] に [] 塑性歪が局所的に発生するが、[] は破断には至らない。 [] に局所的な塑性歪が発生するが破断には至らない。 [] には塑性歪の発生はない。 最大変形時においてもロジメントと収納物の間には隙間が存在しております。[] 燃料集合体が損傷することはない。 	熱的試験（耐火）	<ul style="list-style-type: none"> 容器本体に塑性歪が発生し、内筒の内半径が最大 [] mm 増加するが破断には至らない。 	0.9m浸漬	(臨界解折で浸水を想定している)	<ul style="list-style-type: none"> 記載の適正化
条件	輸送物の損傷状態	備考																													
9m落下	<ul style="list-style-type: none"> 衝撃吸収カバーが変形する。 容器本体及びバスケットに塑性歪が発生するが臨界解析で考慮するような形状変化は生じない。 燃料被覆管は変形するが破断には至らない。 	<ul style="list-style-type: none"> 衝撃吸収カバーは臨界解折で無視する。 燃料被覆管の変形は臨界解折で考慮する。 																													
1m落下	<ul style="list-style-type: none"> 衝撃吸収カバー、蓋部、底部及び胴部の直撃部が損傷する。 胴部を直撃する水平落下では [] が変形する。また、[] に塑性歪が発生するが破断には至らない。 	<ul style="list-style-type: none"> 衝撃吸収カバー、蓋部及び底部は臨界解折で無視する。 臨界解折では胴外板、胴部レジン及び胴ガセットを無視しており、これらの胴部部品の損傷による影響はない。 内筒及びバスケットの変形は局所的であり臨界解折の解析条件に有意な影響を与えない。 																													
熱的試験（耐火）	<ul style="list-style-type: none"> 容器本体に塑性歪が発生し、内筒の内半径が最大 [] mm 増加するが破断には至らない。 	<ul style="list-style-type: none"> 内筒の変形は臨界解折で考慮する。 																													
0.9m浸漬	—	<ul style="list-style-type: none"> 臨界解折で浸水を想定している。 																													
条件	輸送物の損傷状態																														
9m落下	<ul style="list-style-type: none"> 衝撃吸収カバーが変形する。 容器本体に局所的な塑性歪が発生するが破断に至ることはなく形状は維持される。 バスケットに局所的な塑性歪が発生するが破断に至ることはなく形状は維持される。 燃料被覆管に塑性歪が発生するが破断には至らない。 																														
1m落下	<ol style="list-style-type: none"> 蓋部あるいは底部を直撃する垂直落下 <ul style="list-style-type: none"> 衝撃吸収カバーが貫通する。 蓋部レジン及び底部レジンにへこみが生じる。 胴部を直撃する水平落下 <ul style="list-style-type: none"> 直撃部の胴外板及び胴ガセットが破断し、胴部レジンが局所的に損傷する。 直撃部近傍の内筒が内側に膨らむ変形が生じる。 直撃部近傍のアルミスペーサーが変形する。 [] に [] 塑性歪が局所的に発生するが、[] は破断には至らない。 [] に局所的な塑性歪が発生するが破断には至らない。 [] には塑性歪の発生はない。 最大変形時においてもロジメントと収納物の間には隙間が存在しております。[] 燃料集合体が損傷することはない。 																														
熱的試験（耐火）	<ul style="list-style-type: none"> 容器本体に塑性歪が発生し、内筒の内半径が最大 [] mm 増加するが破断には至らない。 																														
0.9m浸漬	(臨界解折で浸水を想定している)																														

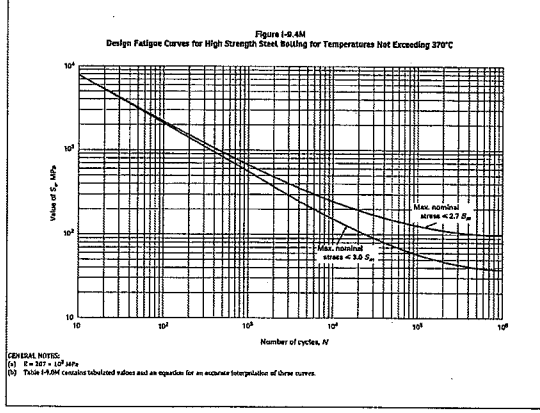
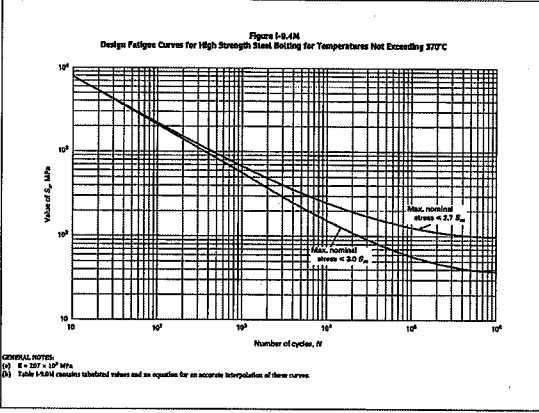
(a) - A - 139

(a) - A - 142

核燃料輸送物設計変更承認申請に係る変更前後表

前回申請書 (平成30年8月17日付三原燃第18-393号をもって申請 (平成31年2月5日付三原燃第18-1013号をもって一部補正))	今回の核燃料輸送物設計変更承認申請	備考
<p>A. 10 付属書類</p> <p>A. 10.1 付属書類-1 設計疲れ線図</p>  <p>Figure I-4.2M Design Fatigue Curves for Austenitic Steels, Nickel-Chromium-Iron Alloy, Nickel-Iron-Chromium Alloy, and Nickel-Copper Alloy for Temperatures Not Exceeding 425°C</p> <p>GENERAL NOTES: (1) $S = 10^6 \times 10^3 \text{ MPa}$ (2) Table I-2 contains calculated values and an equation for an accurate interpolation of this curve.</p> <p>(n) - 第A.付1.1図 設計疲れ線図 (オーステナイトステンレス鋼及び高ニッケル合金) [12]</p> <p>(n) - A - 140</p>	<p>A. 10 付属書類</p> <p>A. 10.1 付属書類-1 設計疲れ線図</p>  <p>Figure I-8.2M Design Fatigue Curves for Austenitic Steels, Nickel-Chromium-Iron Alloy, Nickel-Iron-Chromium Alloy, and Nickel-Copper Alloy for Temperatures Not Exceeding 425°C</p> <p>GENERAL NOTES: (1) $S = 10^6 \times 10^3 \text{ MPa}$ (2) Table I-2 contains calculated values and an equation for an accurate interpolation of this curve.</p> <p>(n) - 第A.付1.1図 設計疲れ線図 (オーステナイトステンレス鋼及び高ニッケル合金) [13]</p> <p>(n) - A - 143</p>	<ul style="list-style-type: none"> 記載の適正化

核燃料輸送物設計変更承認申請に係る変更前後表

前回申請書 (平成 30 年 8 月 17 日付三原燃第 18-393 号をもって申請 (平成 31 年 2 月 5 日付三原燃第 18-1013 号をもって一部補正))	今回の核燃料輸送物設計変更承認申請	備考
 <p>Figure I-O.4M Design Fatigue Curves for High Strength Steel Bolting for Temperatures Not Exceeding 370°C</p> <p>Value of ΔS, MPa</p> <p>Number of cycles, N</p> <p>GENERAL NOTES: (a) $E = 207 \times 10^9$ MPa (b) Table I-O.4M contains tabulated values and an equation for an accurate interpolation of these curves.</p>	 <p>Figure I-O.4M Design Fatigue Curves for High Strength Steel Bolting for Temperatures Not Exceeding 370°C</p> <p>Value of ΔS, MPa</p> <p>Number of cycles, N</p> <p>GENERAL NOTES: (a) $E = 207 \times 10^9$ MPa (b) Table I-O.4M contains tabulated values and an equation for an accurate interpolation of these curves.</p>	<ul style="list-style-type: none"> 記載の適正化

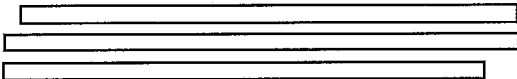
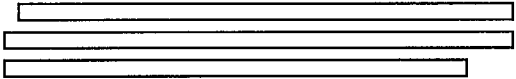
(v) — 第 A. 付 1.2 図 設計疲れ線図（高張力ボルト）^[12]

(a) — 第 A. 付 1.2 図 設計疲れ線図（高張力ボルト）^[13]

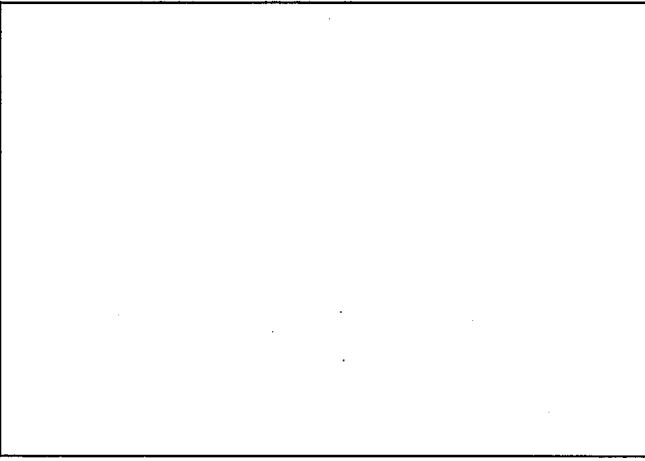
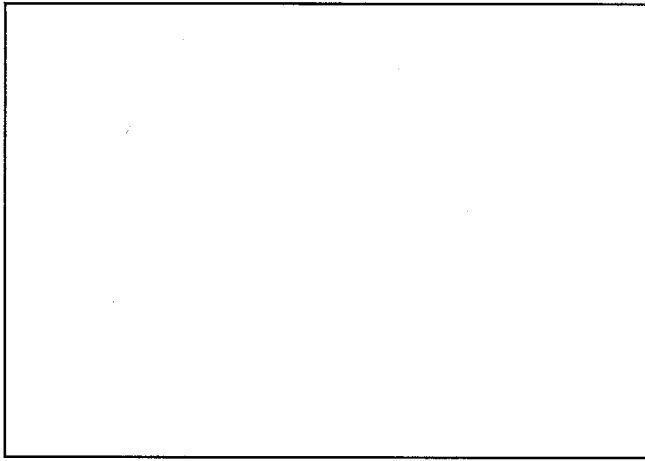
(a) — A-141

(v) — A-144

核燃料輸送物設計変更承認申請に係る変更前後表

前回申請書 (平成 30 年 8 月 17 日付三原燃第 18-393 号をもって申請 (平成 31 年 2 月 5 日付三原燃第 18-1013 号をもって一部補正))	今回の核燃料輸送物設計変更承認申請	備考
<p>A. 10.2 付属書類-2 [] モデル落下試験の確認解析</p> <p>(1) 概要</p> <p>[] モデルにより実施された落下試験と同様の条件によって解析を実施し、落下試験において観察された挙動を解析によって模擬できることを確認する。</p> <p>落下試験で得られた測定結果である加速度と変形量について、[] モデルをモデル化した解析モデル（落下試験確認モデル）による解析結果と比較し、当該解析モデルによる解析の妥当性について評価する。</p> <p>(2) 落下試験の概要</p> <p>a. [] モデル</p> <p>試験体である[] モデルの外観を写真(i)-第一A.付 2.1 に示す。</p> <p>[] モデルは、実機の輸送容器を[] で製作されている。ただし、試験を実施した当時の設計と現行の設計では、胴部のレジンの厚さが異なっているため、本体の外径がやや小さいものとなっている。</p> <p>落下時に着床して変形する衝撃吸収カバーについては、後部衝撃吸収カバーの内径を除いて、実機を忠実に[] 形状及び構成となっている。</p>  <p>試験は常温で行われたため、本体及び蓋部の構成部品の材料には、輸送時の温度における実機材料の強度と同等強度の材料が採用されている。一方、衝撃吸収カバーのステンレス鋼及び緩衝材は実機と同じ材料が用いられた。レジンは、実機になって新しい材料に変更されたため、胴部の[] モデルを用いて、レジンの特性が影響する胴部への 1m 落下試験の適用性を確認する落下試験（付属書類-3 参照）が実施された。</p> <p>また、バスケットは欧州向けに設計されたバスケットが設置されたが、[] とロジメント等を組み合わせた基本的な構成は本輸送容器と同じである。</p> <p>実機と[] モデルとの諸元の比較を(i)-第一A.付 2.1 表に示す。</p>	<p>A. 10.2 付属書類-2 [] モデル落下試験の確認解析</p> <p>(1) 概要</p> <p>[] モデルにより実施された落下試験と同様の条件によって解析を実施し、落下試験において観察された挙動を解析によって模擬できることを確認する。</p> <p>落下試験で得られた測定結果である加速度と変形量について、[] モデルをモデル化した解析モデル（落下試験確認モデル）による解析結果と比較し、当該解析モデルによる解析の妥当性について評価する。</p> <p>(2) 落下試験の概要</p> <p>a. [] モデル</p> <p>試験体である[] モデルの外観を写真(i)-第一A.付 2.1 に示す。</p> <p>[] モデルは、実機の輸送容器を[] で製作されている。ただし、試験を実施した当時の設計と現行の設計では、胴部のレジンの厚さが異なっているため、本体の外径がやや小さいものとなっている。</p> <p>落下時に着床して変形する衝撃吸収カバーについては、後部衝撃吸収カバーの内径を除いて、実機を忠実に[] 形状及び構成となっている。</p>  <p>試験は常温で行われたため、本体及び蓋部の構成部品の材料には、輸送時の温度における実機材料の強度と同等強度の材料が採用されている。一方、衝撃吸収カバーのステンレス鋼及び緩衝材は実機と同じ材料が用いられた。レジンは、実機になって新しい材料に変更されたため、胴部の[] モデルを用いて、レジンの特性が影響する胴部への 1m 落下試験の適用性を確認する落下試験（付属書類-3 参照）が実施された。</p> <p>また、バスケットは欧州向けに設計されたバスケットが設置されたが、[] とロジメント等を組み合わせた基本的な構成は本輸送容器と同じである。</p> <p>実機と[] モデルとの諸元の比較を(i)-第一A.付 2.1 表に示す。</p>	<p>・記載の適正化</p>

核燃料輸送物設計変更承認申請に係る変更前後表

前回申請書 (平成 30 年 8 月 17 日付三原燃第 18-393 号をもって申請 (平成 31 年 2 月 5 日付三原燃第 18-1013 号をもって一部補正))	今回の核燃料輸送物設計変更承認申請	備考
 写真(v) - 第 A. 付 2.1 [REDACTED] モデルの外観 (v) - A - 143	 写真(v) - 第 A. 付 2.1 [REDACTED] モデルの外観 (v) - A - 146	-

核燃料輸送物設計変更承認申請に係る変更前後表

前回申請書 (平成 30 年 8 月 17 日付三原燃第 18-393 号をもって申請 (平成 31 年 2 月 5 日付三原燃第 18-1013 号をもって一部補正))	今回の核燃料輸送物設計変更承認申請	備考																																																														
<p>(v) - 第 A. 付 2.1 表 実機と [] モデルとの諸元の比較 (1/3)</p> <table border="1"> <thead> <tr> <th rowspan="2">部 品</th><th colspan="2">質 量 (kg)</th></tr> <tr> <th>実機</th><th>[] モデル</th></tr> </thead> <tbody> <tr> <td>輸送物全体</td><td>19500 (最大)</td><td>[]</td></tr> </tbody> </table> <p>(v) - 第 A. 付 2.1 表 実機と [] モデルとの諸元の比較 (2/3)</p> <table border="1"> <thead> <tr> <th rowspan="2">部 品</th><th colspan="2">主要材料</th></tr> <tr> <th>実機</th><th>[] モデル</th></tr> </thead> <tbody> <tr> <td>本体 内筒、胴ガセット、胴外板、 上部フランジ、底板</td><td>[]</td><td>炭素鋼¹⁾</td></tr> <tr> <td>レジン</td><td>[] レジン</td><td>[] レジン²⁾</td></tr> <tr> <td>蓋部 蓋板</td><td>[]</td><td>[]</td></tr> <tr> <td>ガスケット</td><td>EPDM</td><td>EPDM</td></tr> <tr> <td>衝撃吸収カバー 緩衝材</td><td>[] 材</td><td>[] 材</td></tr> <tr> <td>衝撃吸収カバー 外板、[]</td><td>[]</td><td>[]</td></tr> </tbody> </table> <p>注 1) 温度による強度低下を考慮して等価な強度の材料が選定された。 2) レジン材料が実機で変更された。</p>	部 品	質 量 (kg)		実機	[] モデル	輸送物全体	19500 (最大)	[]	部 品	主要材料		実機	[] モデル	本体 内筒、胴ガセット、胴外板、 上部フランジ、底板	[]	炭素鋼 ¹⁾	レジン	[] レジン	[] レジン ²⁾	蓋部 蓋板	[]	[]	ガスケット	EPDM	EPDM	衝撃吸収カバー 緩衝材	[] 材	[] 材	衝撃吸収カバー 外板、[]	[]	[]	<p>(v) - 第 A. 付 2.1 表 実機と [] モデルとの諸元の比較 (1/3)</p> <table border="1"> <thead> <tr> <th rowspan="2">部 品</th><th colspan="2">質 量 (kg)</th></tr> <tr> <th>実機</th><th>[] モデル</th></tr> </thead> <tbody> <tr> <td>輸送物全体</td><td>19500 (最大)</td><td>[]</td></tr> </tbody> </table> <p>(v) - 第 A. 付 2.1 表 実機と [] モデルとの諸元の比較 (2/3)</p> <table border="1"> <thead> <tr> <th rowspan="2">部 品</th><th colspan="2">主要材料</th></tr> <tr> <th>実機</th><th>[] モデル</th></tr> </thead> <tbody> <tr> <td>本体 内筒、胴ガセット、胴外板、 上部フランジ、底板</td><td>[]</td><td>炭素鋼¹⁾</td></tr> <tr> <td>レジン</td><td>[] レジン</td><td>[] レジン²⁾</td></tr> <tr> <td>蓋部 蓋板</td><td>[]</td><td>[]</td></tr> <tr> <td>ガスケット</td><td>EPDM</td><td>EPDM</td></tr> <tr> <td>衝撃吸収カバー 緩衝材</td><td>[] 材</td><td>[] 材</td></tr> <tr> <td>衝撃吸収カバー 外板、[]</td><td>[]</td><td>[]</td></tr> </tbody> </table> <p>注 1) 温度による強度低下を考慮して等価な強度の材料が選定された。 2) レジン材料が実機で変更された。</p>	部 品	質 量 (kg)		実機	[] モデル	輸送物全体	19500 (最大)	[]	部 品	主要材料		実機	[] モデル	本体 内筒、胴ガセット、胴外板、 上部フランジ、底板	[]	炭素鋼 ¹⁾	レジン	[] レジン	[] レジン ²⁾	蓋部 蓋板	[]	[]	ガスケット	EPDM	EPDM	衝撃吸収カバー 緩衝材	[] 材	[] 材	衝撃吸収カバー 外板、[]	[]	[]	
部 品		質 量 (kg)																																																														
	実機	[] モデル																																																														
輸送物全体	19500 (最大)	[]																																																														
部 品	主要材料																																																															
	実機	[] モデル																																																														
本体 内筒、胴ガセット、胴外板、 上部フランジ、底板	[]	炭素鋼 ¹⁾																																																														
レジン	[] レジン	[] レジン ²⁾																																																														
蓋部 蓋板	[]	[]																																																														
ガスケット	EPDM	EPDM																																																														
衝撃吸収カバー 緩衝材	[] 材	[] 材																																																														
衝撃吸収カバー 外板、[]	[]	[]																																																														
部 品	質 量 (kg)																																																															
	実機	[] モデル																																																														
輸送物全体	19500 (最大)	[]																																																														
部 品	主要材料																																																															
	実機	[] モデル																																																														
本体 内筒、胴ガセット、胴外板、 上部フランジ、底板	[]	炭素鋼 ¹⁾																																																														
レジン	[] レジン	[] レジン ²⁾																																																														
蓋部 蓋板	[]	[]																																																														
ガスケット	EPDM	EPDM																																																														
衝撃吸収カバー 緩衝材	[] 材	[] 材																																																														
衝撃吸収カバー 外板、[]	[]	[]																																																														
(v) - A - 144	(v) - A - 147																																																															

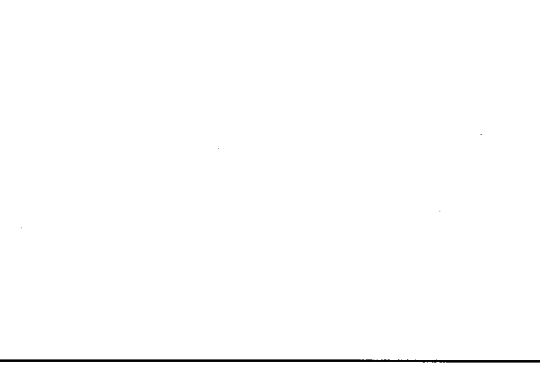
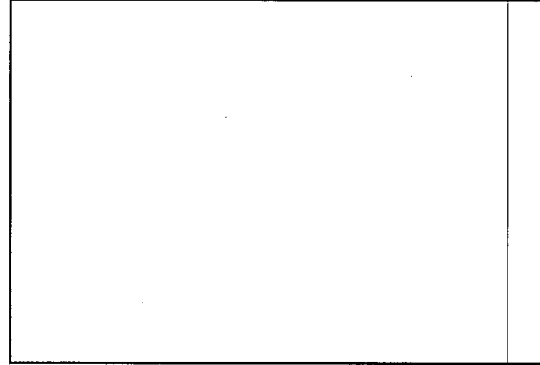
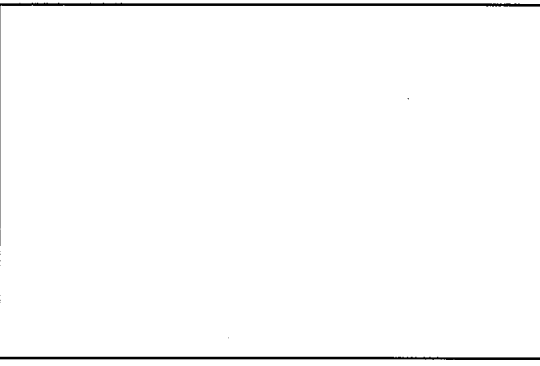
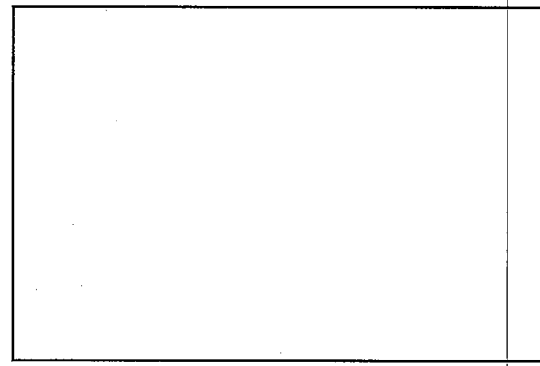
核燃料輸送物設計変更承認申請に係る変更前後表

前回申請書 (平成 30 年 8 月 17 日付三原燃第 18-393 号をもって申請 (平成 31 年 2 月 5 日付三原燃第 18-1013 号をもって一部補正))		今回の核燃料輸送物設計変更承認申請		備考																																																																																																																																																																																																																
(v) - 第 A. 付 2.1 表 実機と [] モデルとの諸元の比較 (3/3)	(v) - 第 A. 付 2.1 表 実機と [] モデルとの諸元の比較 (3/3)	<table border="1"> <thead> <tr> <th rowspan="2">部品</th> <th colspan="2">主要寸法 (mm)</th> </tr> <tr> <th>実機</th> <th>[] モデル</th> </tr> </thead> <tbody> <tr> <td>本体</td> <td></td> <td></td> </tr> <tr> <td>全長</td> <td>5,189</td> <td></td> </tr> <tr> <td>キャビティ長さ</td> <td>[]</td> <td></td> </tr> <tr> <td>内筒内径</td> <td>1,072</td> <td></td> </tr> <tr> <td>内筒厚さ</td> <td>[]</td> <td></td> </tr> <tr> <td>胴ガセット厚さ</td> <td>[]</td> <td></td> </tr> <tr> <td>胴外板厚さ</td> <td>[]</td> <td></td> </tr> <tr> <td>胴部レジン厚さ</td> <td>[]</td> <td></td> </tr> <tr> <td>底板厚さ</td> <td>[]</td> <td></td> </tr> <tr> <td>底板外径</td> <td>[]</td> <td></td> </tr> <tr> <td>底部レジン厚さ</td> <td>[]</td> <td></td> </tr> <tr> <td>底部レジンカバー厚さ</td> <td>[]</td> <td></td> </tr> <tr> <td>蓋部</td> <td></td> <td></td> </tr> <tr> <td>蓋板外径</td> <td>[]</td> <td></td> </tr> <tr> <td>蓋板厚さ</td> <td>[]</td> <td></td> </tr> <tr> <td>蓋部レジン厚さ</td> <td>[]</td> <td></td> </tr> <tr> <td>蓋部レジンカバー厚さ</td> <td>[]</td> <td></td> </tr> <tr> <td>前部衝撃吸収カバー</td> <td></td> <td></td> </tr> <tr> <td>外径</td> <td>2,125</td> <td></td> </tr> <tr> <td>内径 (外側)</td> <td>[]</td> <td></td> </tr> <tr> <td>内径 (内側)</td> <td>826</td> <td></td> </tr> <tr> <td>厚さ</td> <td>[]</td> <td></td> </tr> <tr> <td>緩衝材厚さ (外側)</td> <td>[]</td> <td></td> </tr> <tr> <td>緩衝材厚さ (内側)</td> <td>[]</td> <td></td> </tr> <tr> <td>外板 / [] 板厚</td> <td>[]</td> <td></td> </tr> <tr> <td>後部衝撃吸収カバー</td> <td></td> <td></td> </tr> <tr> <td>外径</td> <td>2,125</td> <td></td> </tr> <tr> <td>内径 (外側)</td> <td>[]</td> <td></td> </tr> <tr> <td>内径 (内側)</td> <td>736</td> <td></td> </tr> <tr> <td>厚さ</td> <td>[]</td> <td></td> </tr> <tr> <td>緩衝材厚さ (外側)</td> <td>[]</td> <td></td> </tr> <tr> <td>緩衝材厚さ (内側)</td> <td>[]</td> <td></td> </tr> <tr> <td>外板 / [] 板厚</td> <td>[]</td> <td></td> </tr> </tbody> </table>	部品	主要寸法 (mm)		実機	[] モデル	本体			全長	5,189		キャビティ長さ	[]		内筒内径	1,072		内筒厚さ	[]		胴ガセット厚さ	[]		胴外板厚さ	[]		胴部レジン厚さ	[]		底板厚さ	[]		底板外径	[]		底部レジン厚さ	[]		底部レジンカバー厚さ	[]		蓋部			蓋板外径	[]		蓋板厚さ	[]		蓋部レジン厚さ	[]		蓋部レジンカバー厚さ	[]		前部衝撃吸収カバー			外径	2,125		内径 (外側)	[]		内径 (内側)	826		厚さ	[]		緩衝材厚さ (外側)	[]		緩衝材厚さ (内側)	[]		外板 / [] 板厚	[]		後部衝撃吸収カバー			外径	2,125		内径 (外側)	[]		内径 (内側)	736		厚さ	[]		緩衝材厚さ (外側)	[]		緩衝材厚さ (内側)	[]		外板 / [] 板厚	[]		<table border="1"> <thead> <tr> <th rowspan="2">部品</th> <th colspan="2">主要寸法 (mm)</th> </tr> <tr> <th>実機</th> <th>[] モデル</th> </tr> </thead> <tbody> <tr> <td>本体</td> <td></td> <td></td> </tr> <tr> <td>全長</td> <td>5,189</td> <td></td> </tr> <tr> <td>キャビティ長さ</td> <td>[]</td> <td></td> </tr> <tr> <td>内筒内径</td> <td>1,072</td> <td></td> </tr> <tr> <td>内筒厚さ</td> <td>[]</td> <td></td> </tr> <tr> <td>胴ガセット厚さ</td> <td>[]</td> <td></td> </tr> <tr> <td>胴外板厚さ</td> <td>[]</td> <td></td> </tr> <tr> <td>胴部レジン厚さ</td> <td>[]</td> <td></td> </tr> <tr> <td>底板厚さ</td> <td>[]</td> <td></td> </tr> <tr> <td>底板外径</td> <td>[]</td> <td></td> </tr> <tr> <td>底部レジン厚さ</td> <td>[]</td> <td></td> </tr> <tr> <td>底部レジンカバー厚さ</td> <td>[]</td> <td></td> </tr> <tr> <td>蓋部</td> <td></td> <td></td> </tr> <tr> <td>蓋板外径</td> <td>[]</td> <td></td> </tr> <tr> <td>蓋板厚さ</td> <td>[]</td> <td></td> </tr> <tr> <td>蓋部レジン厚さ</td> <td>[]</td> <td></td> </tr> <tr> <td>蓋部レジンカバー厚さ</td> <td>[]</td> <td></td> </tr> <tr> <td>前部衝撃吸収カバー</td> <td></td> <td></td> </tr> <tr> <td>外径</td> <td>2,125</td> <td></td> </tr> <tr> <td>内径 (外側)</td> <td>[]</td> <td></td> </tr> <tr> <td>内径 (内側)</td> <td>826</td> <td></td> </tr> <tr> <td>厚さ</td> <td>[]</td> <td></td> </tr> <tr> <td>緩衝材厚さ (外側)</td> <td>[]</td> <td></td> </tr> <tr> <td>緩衝材厚さ (内側)</td> <td>[]</td> <td></td> </tr> <tr> <td>外板 / [] 板厚</td> <td>[]</td> <td></td> </tr> <tr> <td>後部衝撃吸収カバー</td> <td></td> <td></td> </tr> <tr> <td>外径</td> <td>2,125</td> <td></td> </tr> <tr> <td>内径 (外側)</td> <td>[]</td> <td></td> </tr> <tr> <td>内径 (内側)</td> <td>736</td> <td></td> </tr> <tr> <td>厚さ</td> <td>[]</td> <td></td> </tr> <tr> <td>緩衝材厚さ (外側)</td> <td>[]</td> <td></td> </tr> <tr> <td>緩衝材厚さ (内側)</td> <td>[]</td> <td></td> </tr> <tr> <td>外板 / [] 板厚</td> <td>[]</td> <td></td> </tr> </tbody> </table>	部品	主要寸法 (mm)		実機	[] モデル	本体			全長	5,189		キャビティ長さ	[]		内筒内径	1,072		内筒厚さ	[]		胴ガセット厚さ	[]		胴外板厚さ	[]		胴部レジン厚さ	[]		底板厚さ	[]		底板外径	[]		底部レジン厚さ	[]		底部レジンカバー厚さ	[]		蓋部			蓋板外径	[]		蓋板厚さ	[]		蓋部レジン厚さ	[]		蓋部レジンカバー厚さ	[]		前部衝撃吸収カバー			外径	2,125		内径 (外側)	[]		内径 (内側)	826		厚さ	[]		緩衝材厚さ (外側)	[]		緩衝材厚さ (内側)	[]		外板 / [] 板厚	[]		後部衝撃吸収カバー			外径	2,125		内径 (外側)	[]		内径 (内側)	736		厚さ	[]		緩衝材厚さ (外側)	[]		緩衝材厚さ (内側)	[]		外板 / [] 板厚	[]		
部品	主要寸法 (mm)																																																																																																																																																																																																																			
	実機	[] モデル																																																																																																																																																																																																																		
本体																																																																																																																																																																																																																				
全長	5,189																																																																																																																																																																																																																			
キャビティ長さ	[]																																																																																																																																																																																																																			
内筒内径	1,072																																																																																																																																																																																																																			
内筒厚さ	[]																																																																																																																																																																																																																			
胴ガセット厚さ	[]																																																																																																																																																																																																																			
胴外板厚さ	[]																																																																																																																																																																																																																			
胴部レジン厚さ	[]																																																																																																																																																																																																																			
底板厚さ	[]																																																																																																																																																																																																																			
底板外径	[]																																																																																																																																																																																																																			
底部レジン厚さ	[]																																																																																																																																																																																																																			
底部レジンカバー厚さ	[]																																																																																																																																																																																																																			
蓋部																																																																																																																																																																																																																				
蓋板外径	[]																																																																																																																																																																																																																			
蓋板厚さ	[]																																																																																																																																																																																																																			
蓋部レジン厚さ	[]																																																																																																																																																																																																																			
蓋部レジンカバー厚さ	[]																																																																																																																																																																																																																			
前部衝撃吸収カバー																																																																																																																																																																																																																				
外径	2,125																																																																																																																																																																																																																			
内径 (外側)	[]																																																																																																																																																																																																																			
内径 (内側)	826																																																																																																																																																																																																																			
厚さ	[]																																																																																																																																																																																																																			
緩衝材厚さ (外側)	[]																																																																																																																																																																																																																			
緩衝材厚さ (内側)	[]																																																																																																																																																																																																																			
外板 / [] 板厚	[]																																																																																																																																																																																																																			
後部衝撃吸収カバー																																																																																																																																																																																																																				
外径	2,125																																																																																																																																																																																																																			
内径 (外側)	[]																																																																																																																																																																																																																			
内径 (内側)	736																																																																																																																																																																																																																			
厚さ	[]																																																																																																																																																																																																																			
緩衝材厚さ (外側)	[]																																																																																																																																																																																																																			
緩衝材厚さ (内側)	[]																																																																																																																																																																																																																			
外板 / [] 板厚	[]																																																																																																																																																																																																																			
部品	主要寸法 (mm)																																																																																																																																																																																																																			
	実機	[] モデル																																																																																																																																																																																																																		
本体																																																																																																																																																																																																																				
全長	5,189																																																																																																																																																																																																																			
キャビティ長さ	[]																																																																																																																																																																																																																			
内筒内径	1,072																																																																																																																																																																																																																			
内筒厚さ	[]																																																																																																																																																																																																																			
胴ガセット厚さ	[]																																																																																																																																																																																																																			
胴外板厚さ	[]																																																																																																																																																																																																																			
胴部レジン厚さ	[]																																																																																																																																																																																																																			
底板厚さ	[]																																																																																																																																																																																																																			
底板外径	[]																																																																																																																																																																																																																			
底部レジン厚さ	[]																																																																																																																																																																																																																			
底部レジンカバー厚さ	[]																																																																																																																																																																																																																			
蓋部																																																																																																																																																																																																																				
蓋板外径	[]																																																																																																																																																																																																																			
蓋板厚さ	[]																																																																																																																																																																																																																			
蓋部レジン厚さ	[]																																																																																																																																																																																																																			
蓋部レジンカバー厚さ	[]																																																																																																																																																																																																																			
前部衝撃吸収カバー																																																																																																																																																																																																																				
外径	2,125																																																																																																																																																																																																																			
内径 (外側)	[]																																																																																																																																																																																																																			
内径 (内側)	826																																																																																																																																																																																																																			
厚さ	[]																																																																																																																																																																																																																			
緩衝材厚さ (外側)	[]																																																																																																																																																																																																																			
緩衝材厚さ (内側)	[]																																																																																																																																																																																																																			
外板 / [] 板厚	[]																																																																																																																																																																																																																			
後部衝撃吸収カバー																																																																																																																																																																																																																				
外径	2,125																																																																																																																																																																																																																			
内径 (外側)	[]																																																																																																																																																																																																																			
内径 (内側)	736																																																																																																																																																																																																																			
厚さ	[]																																																																																																																																																																																																																			
緩衝材厚さ (外側)	[]																																																																																																																																																																																																																			
緩衝材厚さ (内側)	[]																																																																																																																																																																																																																			
外板 / [] 板厚	[]																																																																																																																																																																																																																			
(v) - A - 145	(v) - A - 148																																																																																																																																																																																																																			

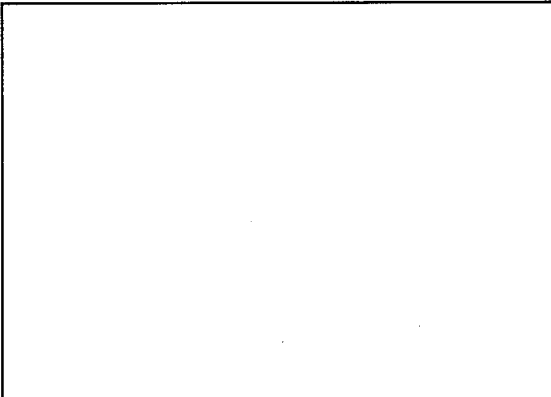
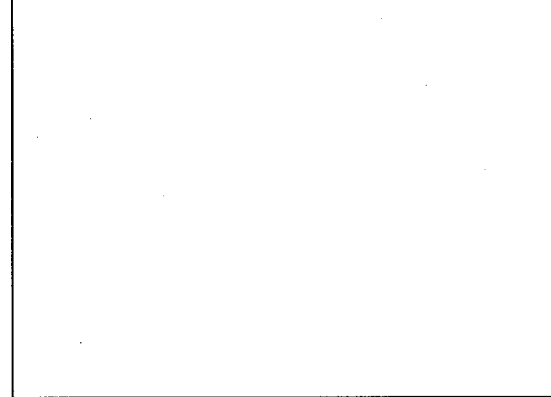
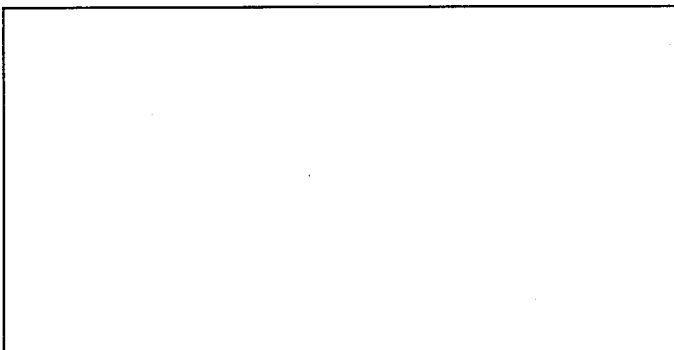
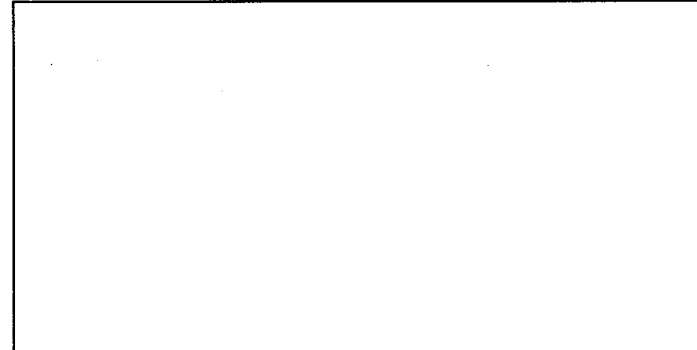
核燃料輸送物設計変更承認申請に係る変更前後表

前回申請書 (平成30年8月17日付三原燃第18-393号をもって申請 (平成31年2月5日付三原燃第18-1013号をもって一部補正))	今回の核燃料輸送物設計変更承認申請	備考																																																																																																				
<p>b. 試験結果</p> <p>落下試験は、0.3m落下、9m落下及び1m落下を合わせて、9ケースが実施された。</p> <p>(g) 第A.付2.2表に各落下ケースの結果として、測定された最大加速度、衝撃吸収カバーの変形量を示す。</p> <p>確認解析では、これらのケースの中から、以下の4ケースを対象とした。</p> <ul style="list-style-type: none"> ・0.32m水平落下 ・9.51m前部垂直落下 ・9.51m前部コーナー落下 ・9.51m傾斜落下(25°) <p>対象とした上記の4ケースについて、衝撃吸収カバーの変形形状を写真(g)-第A.付2.2~写真(n)-第A.付2.5に示す。</p> <p>(n)-第A.付2.2表 落下試験結果の概要</p> <table border="1"> <thead> <tr> <th>ケース</th> <th>落下姿勢</th> <th>落下高さ(m)</th> <th>最大加速度(G)</th> <th>衝撃吸収カバー最大変形量(mm)</th> </tr> </thead> <tbody> <tr> <td>①</td> <td>水平</td> <td>0.32</td> <td></td> <td></td> </tr> <tr> <td>②</td> <td>傾斜</td> <td>9.51</td> <td></td> <td></td> </tr> <tr> <td>③</td> <td>前部垂直 (棒上落下)</td> <td>1.17</td> <td></td> <td></td> </tr> <tr> <td>④</td> <td>前部垂直</td> <td>9.51</td> <td></td> <td></td> </tr> <tr> <td>⑤</td> <td>前部コーナー</td> <td>9.51</td> <td></td> <td></td> </tr> <tr> <td>⑥</td> <td>後部コーナー (棒上落下)</td> <td>1.27</td> <td></td> <td></td> </tr> <tr> <td>⑦</td> <td>後部コーナー</td> <td>9.51</td> <td></td> <td></td> </tr> <tr> <td>⑧</td> <td>水平 (棒上落下)</td> <td>1.06</td> <td></td> <td></td> </tr> <tr> <td>⑨</td> <td>後部垂直 (棒上落下)</td> <td>1.11</td> <td></td> <td></td> </tr> </tbody> </table> <p>注1) フィルターのカットオフ周波数は□Hz</p> <p>2) 底板に設置されたオリフィスとその保護カバー（いずれも欧州仕様向けのもので本輸送容器ではない）の影響により高い加速度が発生している。</p> <p>(n)-A-146</p>	ケース	落下姿勢	落下高さ(m)	最大加速度(G)	衝撃吸収カバー最大変形量(mm)	①	水平	0.32			②	傾斜	9.51			③	前部垂直 (棒上落下)	1.17			④	前部垂直	9.51			⑤	前部コーナー	9.51			⑥	後部コーナー (棒上落下)	1.27			⑦	後部コーナー	9.51			⑧	水平 (棒上落下)	1.06			⑨	後部垂直 (棒上落下)	1.11			<p>b. 試験結果</p> <p>落下試験は、0.3m落下、9m落下及び1m落下を合わせて、9ケースが実施された。</p> <p>(n)-第A.付2.2表に各落下ケースの結果として、測定された最大加速度、衝撃吸収カバーの変形量を示す。</p> <p>確認解析では、これらのケースの中から、以下の4ケースを対象とした。</p> <ul style="list-style-type: none"> ・0.32m水平落下 ・9.51m前部垂直落下 ・9.51m前部コーナー落下 ・9.51m傾斜落下(25°) <p>対象とした上記の4ケースについて、衝撃吸収カバーの変形形状を写真(n)-第A.付2.2~写真(n)-第A.付2.5に示す。</p> <p>(n)-第A.付2.2表 落下試験結果の概要</p> <table border="1"> <thead> <tr> <th>ケース</th> <th>落下姿勢</th> <th>落下高さ(m)</th> <th>最大加速度(G)</th> <th>衝撃吸収カバー最大変形量(mm)</th> </tr> </thead> <tbody> <tr> <td>①</td> <td>水平</td> <td>0.32</td> <td></td> <td></td> </tr> <tr> <td>②</td> <td>傾斜</td> <td>9.51</td> <td></td> <td></td> </tr> <tr> <td>③</td> <td>前部垂直 (棒上落下)</td> <td>1.17</td> <td></td> <td></td> </tr> <tr> <td>④</td> <td>前部垂直</td> <td>9.51</td> <td></td> <td></td> </tr> <tr> <td>⑤</td> <td>前部コーナー</td> <td>9.51</td> <td></td> <td></td> </tr> <tr> <td>⑥</td> <td>後部コーナー (棒上落下)</td> <td>1.27</td> <td></td> <td></td> </tr> <tr> <td>⑦</td> <td>後部コーナー</td> <td>9.51</td> <td></td> <td></td> </tr> <tr> <td>⑧</td> <td>水平 (棒上落下)</td> <td>1.06</td> <td></td> <td></td> </tr> <tr> <td>⑨</td> <td>後部垂直 (棒上落下)</td> <td>1.11</td> <td></td> <td></td> </tr> </tbody> </table> <p>注1) フィルターのカットオフ周波数は□Hz</p> <p>2) 底板に設置されたオリフィスとその保護カバー（いずれも欧州仕様向けのもので本輸送容器ではない）の影響により高い加速度が発生している。</p> <p>(n)-A-149</p>	ケース	落下姿勢	落下高さ(m)	最大加速度(G)	衝撃吸収カバー最大変形量(mm)	①	水平	0.32			②	傾斜	9.51			③	前部垂直 (棒上落下)	1.17			④	前部垂直	9.51			⑤	前部コーナー	9.51			⑥	後部コーナー (棒上落下)	1.27			⑦	後部コーナー	9.51			⑧	水平 (棒上落下)	1.06			⑨	後部垂直 (棒上落下)	1.11			
ケース	落下姿勢	落下高さ(m)	最大加速度(G)	衝撃吸収カバー最大変形量(mm)																																																																																																		
①	水平	0.32																																																																																																				
②	傾斜	9.51																																																																																																				
③	前部垂直 (棒上落下)	1.17																																																																																																				
④	前部垂直	9.51																																																																																																				
⑤	前部コーナー	9.51																																																																																																				
⑥	後部コーナー (棒上落下)	1.27																																																																																																				
⑦	後部コーナー	9.51																																																																																																				
⑧	水平 (棒上落下)	1.06																																																																																																				
⑨	後部垂直 (棒上落下)	1.11																																																																																																				
ケース	落下姿勢	落下高さ(m)	最大加速度(G)	衝撃吸収カバー最大変形量(mm)																																																																																																		
①	水平	0.32																																																																																																				
②	傾斜	9.51																																																																																																				
③	前部垂直 (棒上落下)	1.17																																																																																																				
④	前部垂直	9.51																																																																																																				
⑤	前部コーナー	9.51																																																																																																				
⑥	後部コーナー (棒上落下)	1.27																																																																																																				
⑦	後部コーナー	9.51																																																																																																				
⑧	水平 (棒上落下)	1.06																																																																																																				
⑨	後部垂直 (棒上落下)	1.11																																																																																																				

核燃料輸送物設計変更承認申請に係る変更前後表

前回申請書 (平成 30 年 8 月 17 日付三原燃第 18-393 号をもって申請 (平成 31 年 2 月 5 日付三原燃第 18-1013 号をもって一部補正))	今回の核燃料輸送物設計変更承認申請	備考
		一
		
(v) - A - 147	(v) - A - 150	

核燃料輸送物設計変更承認申請に係る変更前後表

前回申請書 (平成30年8月17日付三原燃第18-393号をもって申請 (平成31年2月5日付三原燃第18-1013号をもって一部補正))	今回の核燃料輸送物設計変更承認申請	備考
		—
		

写真(a) - 第A. 付2.4 9.51m前部コーナー落下後変形状態

写真(a) - 第A. 付2.4 9.51m前部コーナー落下後変形状態

写真(b) - 第A. 付2.5 9.51m傾斜落下後変形状態

写真(b) - 第A. 付2.5 9.51m傾斜落下後変形状態

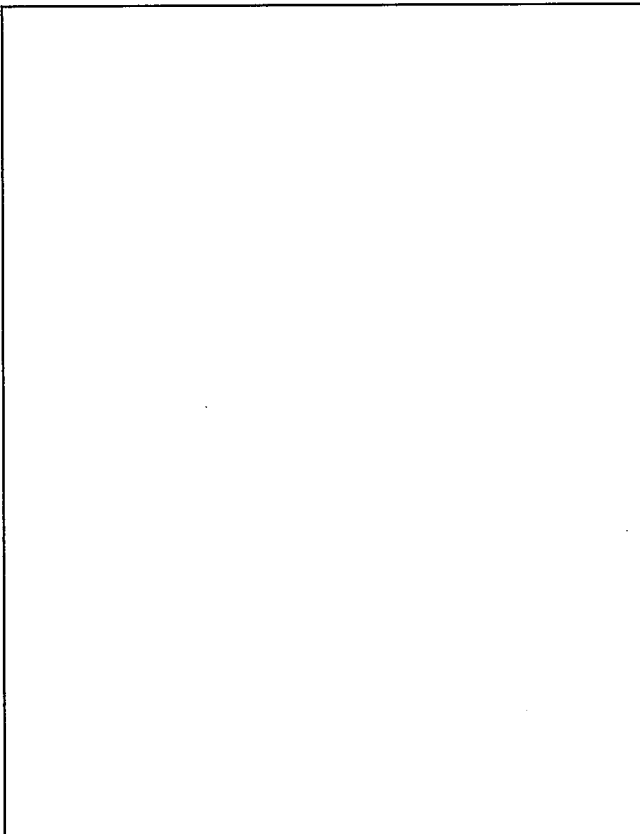
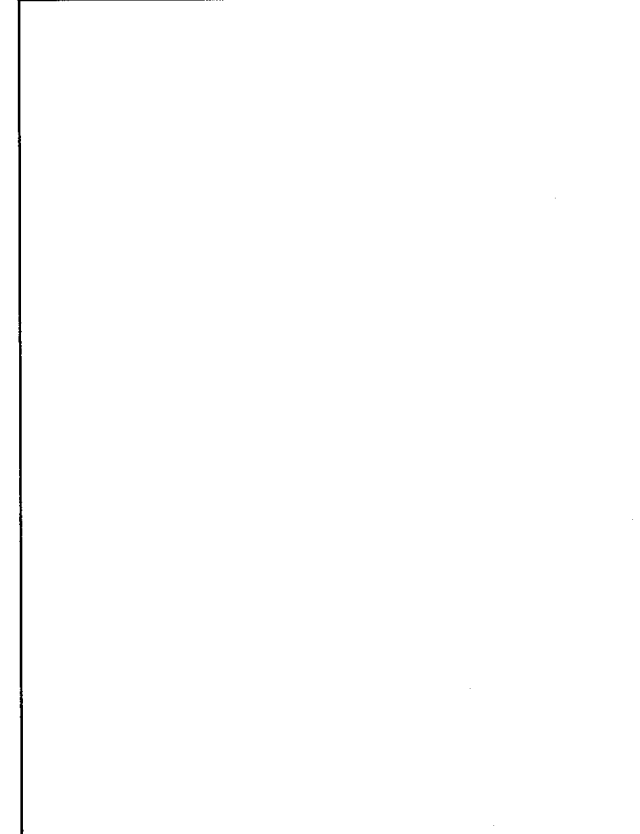
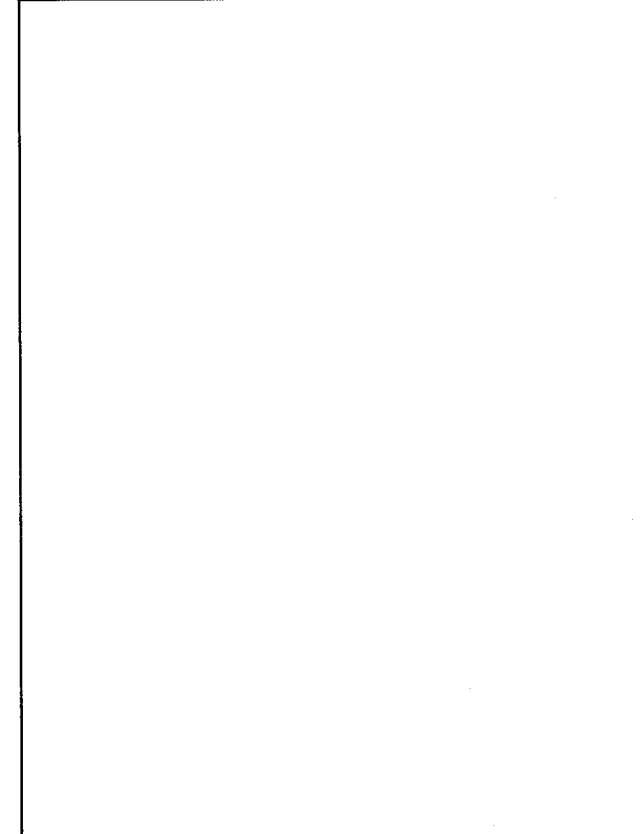
(a) - A - 148

(a) - A - 151

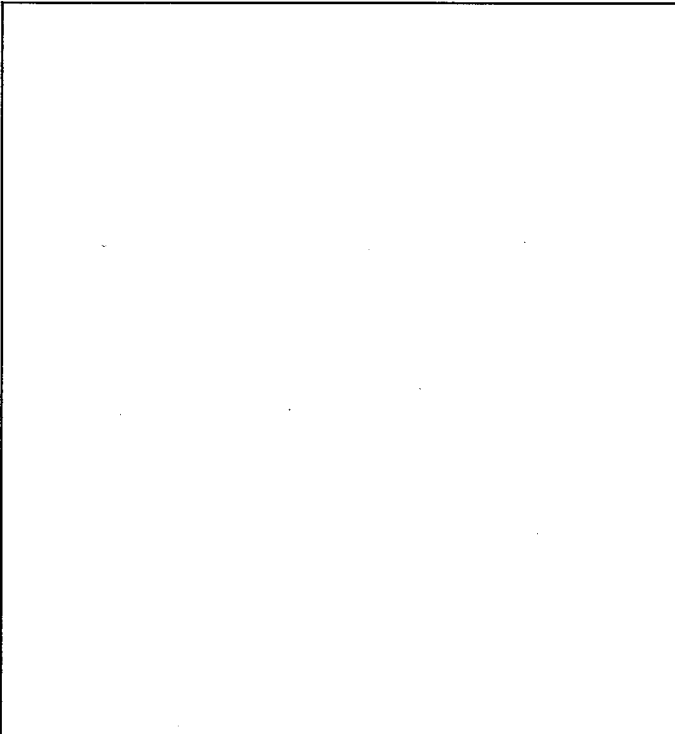
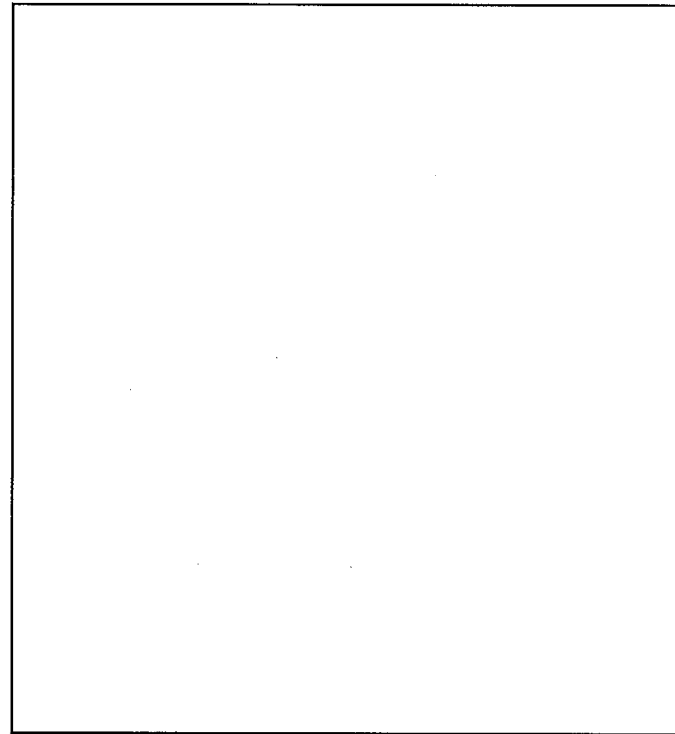
核燃料輸送物設計変更承認申請に係る変更前後表

前回申請書 (平成 30 年 8 月 17 日付三原燃第 18-393 号をもって申請 (平成 31 年 2 月 5 日付三原燃第 18-1013 号をもって一部補正))	今回の核燃料輸送物設計変更承認申請	備考
<p>(3) 落下試験確認解析</p> <p>a. 落下試験確認モデルの構成</p> <p>落下試験確認モデルは、衝撃吸収カバーと容器本体及びバスケットから構成される。</p> <p>本輸送容器では、落下時の衝撃は衝撃吸収カバーにより受け持たれることから、変形挙動を示す衝撃吸収カバー以外の部品については詳細なモデル化は必要としない。そのため、本体及び蓋部については、蓋板締付けボルトは無視して蓋板は本体と一緒にとみなし、外形寸法を維持して形状は簡略化した。また、バスケットは、その質量を考慮するため、簡略化した形状の領域に等価な密度を与えた。</p> <p>b. 解析手順</p> <p>解析には、動的解析コードの LS-DYNA を使用する。</p> <p>落下試験の条件（落下姿勢、落下高さ）を与えて解析した結果から、衝撃吸収カバーの変形量と加速度を求め、落下試験の測定データと比較評価を行う。</p> <p>c. 解析条件</p> <p>(a) 解析モデル寸法</p> <p>解析モデルの各部寸法を (a)- 第 A. 付 2.1 図に示す。</p> <p>(b) 解析モデル図</p> <p>解析モデルの要素分割図を (a)- 第 A. 付 2.2 図に示す。</p> <p>(c) 衝撃吸収カバーの材料物性</p> <p>衝撃吸収カバーを構成するステンレス鋼と緩衝材に与える物性は、JAERI-M88-191 に提案されている構成方程式を参照して設定した。</p> <p>衝撃吸収カバーの外板及び [] の材料であるステンレス鋼に与えた応力-歪関係を (a)- 第 A. 付 2.3 図に、緩衝材である [] 材に与えた応力-歪関係を (a)- 第 A. 付 2.4 図に示す。</p>	<p>(3) 落下試験確認解析</p> <p>a. 落下試験確認モデルの構成</p> <p>落下試験確認モデルは、衝撃吸収カバーと容器本体及びバスケットから構成される。</p> <p>本輸送容器では、落下時の衝撃は衝撃吸収カバーにより受け持たれることから、変形挙動を示す衝撃吸収カバー以外の部品については詳細なモデル化は必要としない。そのため、本体及び蓋部については、蓋板締付けボルトは無視して蓋板は本体と一緒にとみなし、外形寸法を維持して形状は簡略化した。また、バスケットは、その質量を考慮するため、簡略化した形状の領域に等価な密度を与えた。</p> <p>b. 解析手順</p> <p>解析には、動的解析コード LS-DYNA を使用する。</p> <p>落下試験の条件（落下姿勢、落下高さ）を与えて解析した結果から、衝撃吸収カバーの変形量と加速度を求め、落下試験の測定データと比較評価を行う。</p> <p>c. 解析条件</p> <p>(a) 解析モデル寸法</p> <p>解析モデルの各部寸法を (a)- 第 A. 付 2.1 図に示す。</p> <p>(b) 解析モデル図</p> <p>解析モデルの要素分割図を (a)- 第 A. 付 2.2 図に示す。</p> <p>(c) 衝撃吸収カバーの材料物性</p> <p>衝撃吸収カバーを構成するステンレス鋼と緩衝材に与える物性は、JAERI-M88-191 に提案されている構成方程式を参照して設定した。</p> <p>衝撃吸収カバーの外板及び [] の材料であるステンレス鋼に与えた応力-歪関係を (a)- 第 A. 付 2.3 図に、緩衝材である [] 材に与えた応力-歪関係を (a)- 第 A. 付 2.4 図に示す。</p>	<p>・記載の適正化</p>

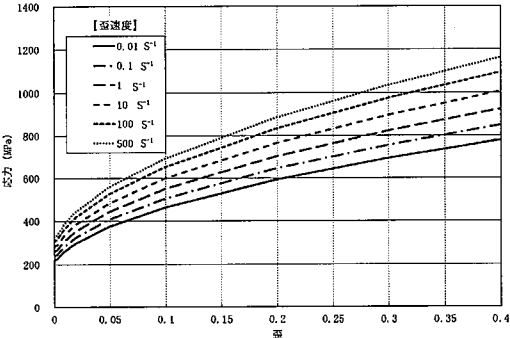
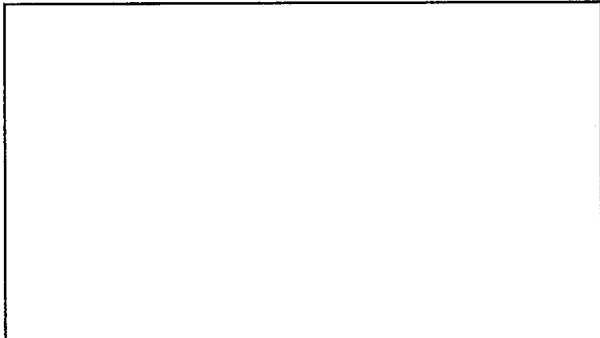
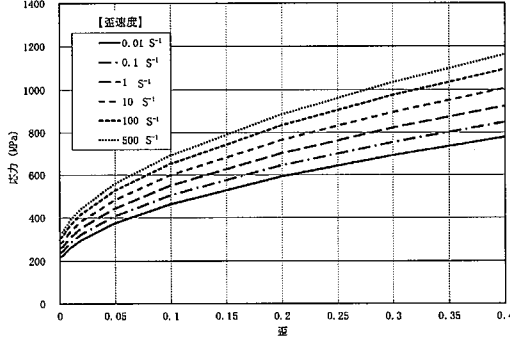
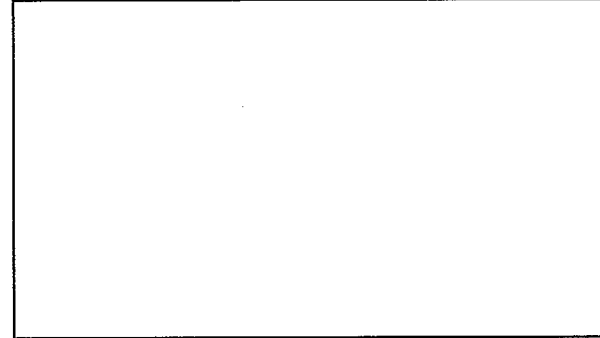
核燃料輸送物設計変更承認申請に係る変更前後表

前回申請書 (平成 30 年 8 月 17 日付三原燃第 18-393 号をもって申請 (平成 31 年 2 月 5 日付三原燃第 18-1013 号をもって一部補正))	今回の核燃料輸送物設計変更承認申請	備考
<p>(v) - A - 150</p> <p>(n) - 第 A、付 2.1 図 落下試験確認モデル寸法図</p> <p>(R) : mm</p>  	<p>(v) - A - 153</p> <p>(n) - 第 A、付 2.1 図 落下試験確認モデル寸法図</p> <p>(単位 : mm)</p> 	<ul style="list-style-type: none">・知見の更新に関する説明の追加

核燃料輸送物設計変更承認申請に係る変更前後表

前回申請書 (平成30年8月17日付三原燃第18-393号をもって申請 (平成31年2月5日付三原燃第18-1013号をもって一部補正))	今回の核燃料輸送物設計変更承認申請	備考
 (a) - 第A.付2.2図 要素分割図 (a) - A-151	 (p) - 第A.付2.2図 要素分割図 (p) - A-154	-

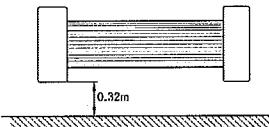
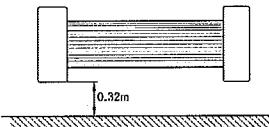
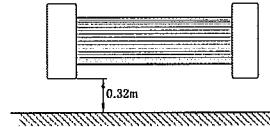
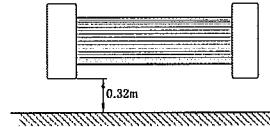
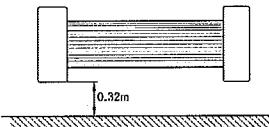
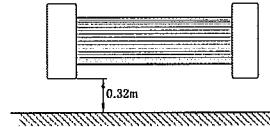
核燃料輸送物設計変更承認申請に係る変更前後表

前回申請書 (平成30年8月17日付三原燃第18-393号をもって申請 (平成31年2月5日付三原燃第18-1013号をもって一部補正))	今回の核燃料輸送物設計変更承認申請	備考
 <p>(a) - 第A.付2.3図 ステンレス鋼の物性に与えた応力-歪関係</p>  <p>(a) - 第A.付2.4図 []材の物性に与えた応力-歪関係</p> <p>(a) - A - 152</p>	 <p>(a) - 第A.付2.3図 ステンレス鋼の物性に与えた応力-歪関係</p>  <p>(a) - 第A.付2.4図 []材の物性に与えた応力-歪関係</p> <p>(a) - A - 155</p>	

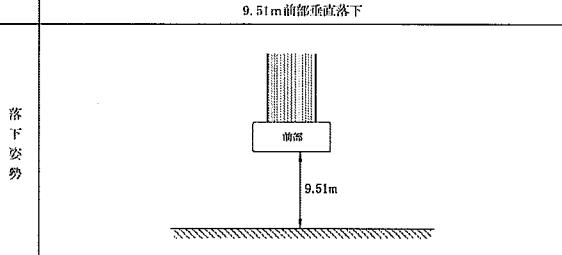
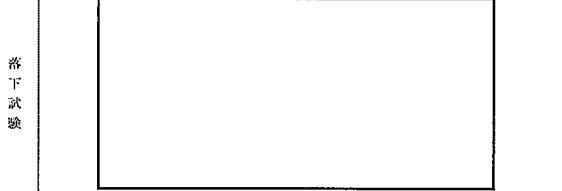
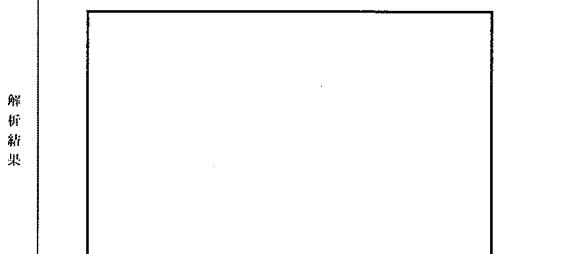
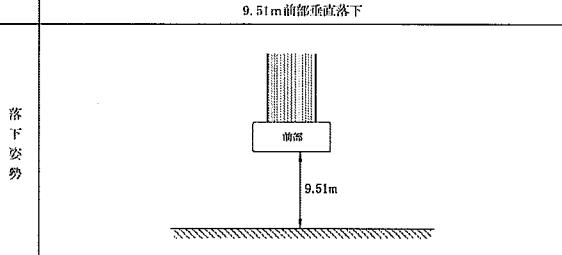
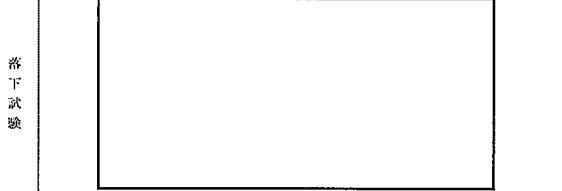
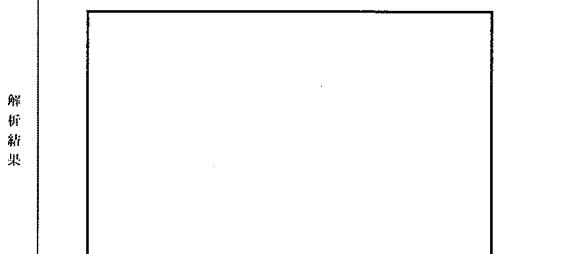
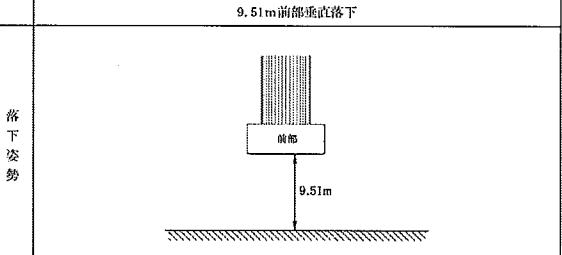
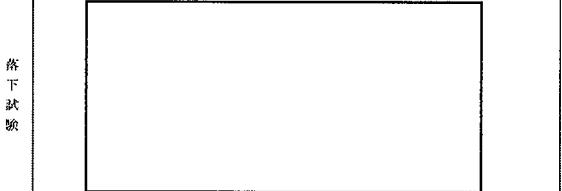
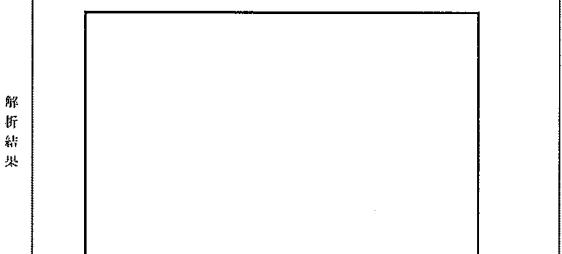
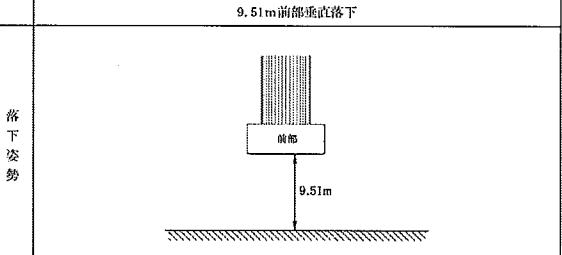
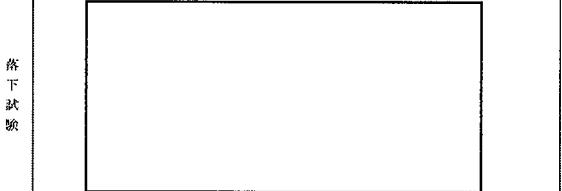
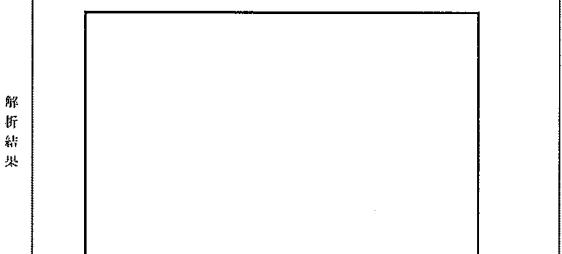
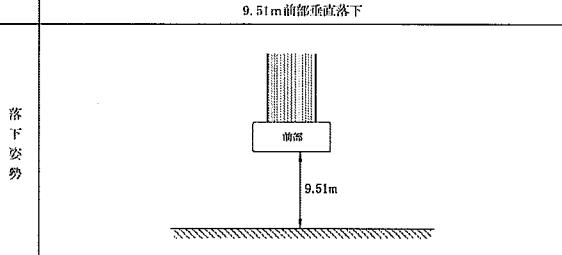
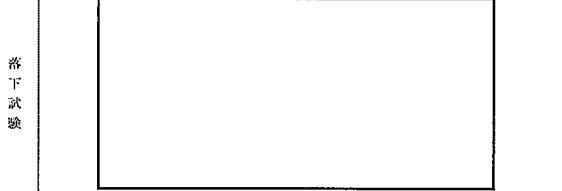
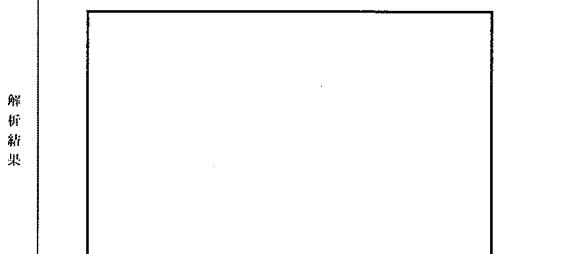
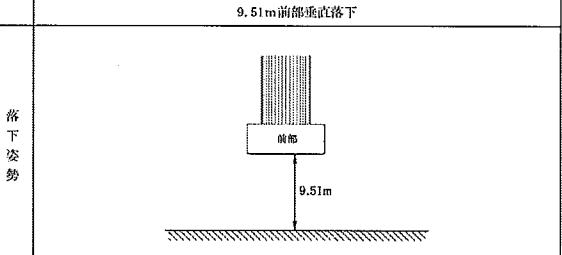
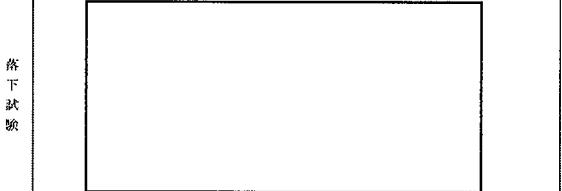
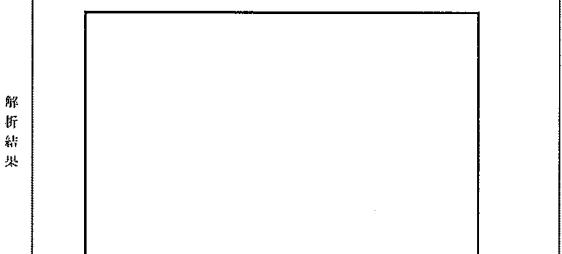
核燃料輸送物設計変更承認申請に係る変更前後表

前回申請書 (平成 30 年 8 月 17 日付三原燃第 18-393 号をもって申請 (平成 31 年 2 月 5 日付三原燃第 18-1013 号をもって一部補正))	今回の核燃料輸送物設計変更承認申請	備考
<p>d. 解析結果</p> <p>(a) 変形量の比較</p> <p>衝撃吸収カバーの変形量について、[] モデルと落下試験確認モデルの比較を (b) - 第 A. 付 2.3 表に示す。</p> <p>いずれの落下姿勢についても、落下試験確認モデルの衝撃吸収カバーの変形量は、試験結果と良い一致を示している。</p> <p>(b) 加速度の比較</p> <p>各落下条件について、[] モデルで測定された加速度と、落下試験確認モデルで得られた加速度の比較を (b) - 第 A. 付 2.5 図に示す。</p> <p>落下試験確認モデルで得られた加速度は、[] モデルの測定点に近い節点の加速度に、落下試験の測定に用いた Butterworth 型 (8 次) フィルターと同じ処理を施したものである。</p> <p>0.32 m の水平落下では、波形及び振幅について良い近似を示している。他の落下では、振幅にやや差異が見られるが、波形及び衝撃の発生時刻は同様の傾向を示している。</p> <p>(4) 落下試験確認モデルの妥当性評価</p> <p>前項に示すように、[] モデルと落下試験確認モデルを比較すると、変形量及び加速度は全体的に良く近似しており、落下試験確認モデルを用いた解析は妥当なものであると言える。</p>	<p>d. 解析結果</p> <p>(a) 変形量の比較</p> <p>衝撃吸収カバーの変形量について、[] モデルと落下試験確認モデルの比較を (e) - 第 A. 付 2.3 表に示す。</p> <p>いずれの落下姿勢についても、落下試験確認モデルの衝撃吸収カバーの変形量は、試験結果と良い一致を示している。</p> <p>(b) 加速度の比較</p> <p>各落下条件について、[] モデルで測定された加速度と、落下試験確認モデルで得られた加速度の比較を (b) - 第 A. 付 2.5 図に示す。</p> <p>落下試験確認モデルで得られた加速度は、[] モデルの測定点に近い節点の加速度に、落下試験の測定に用いた Butterworth 型 (8 次) フィルターと同じ処理を施したものである。</p> <p>0.32 m の水平落下では、波形及び振幅について良い近似を示している。他の落下では、振幅にやや差異が見られるが、波形及び衝撲の発生時刻は同様の傾向を示している。</p> <p>(4) 落下試験確認モデルの妥当性評価</p> <p>前項に示すように、[] モデルと落下試験確認モデルを比較すると、変形量及び加速度は全体的に良く近似しており、落下試験確認モデルを用いた解析は妥当なものであると言える。</p>	—

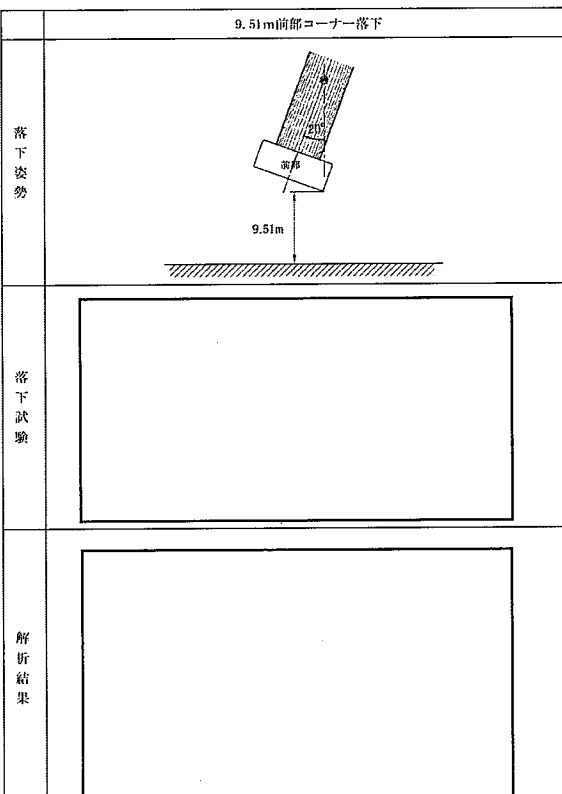
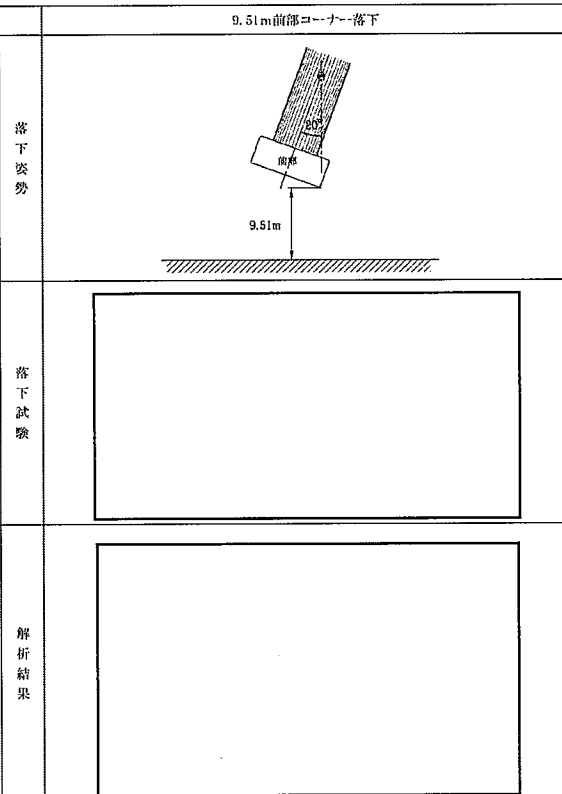
核燃料輸送物設計変更承認申請に係る変更前後表

前回申請書 (平成 30 年 8 月 17 日付三原燃第 18-393 号をもって申請 (平成 31 年 2 月 5 日付三原燃第 18-1013 号をもって一部補正))		今回の核燃料輸送物設計変更承認申請	備考															
<p>(ii) 第 A. 付 2.3 表 変形量の比較 (1/4)</p> <table border="1" data-bbox="269 421 842 1215"> <tr> <td></td> <td>0.32m 水平落下</td> </tr> <tr> <td>落下姿勢</td> <td></td> </tr> <tr> <td>落下試験</td> <td>[Redacted]</td> </tr> <tr> <td>解析結果</td> <td>[Redacted]</td> </tr> </table>		0.32m 水平落下	落下姿勢		落下試験	[Redacted]	解析結果	[Redacted]	<p>(ii) 第 A. 付 2.3 表 変形量の比較 (1/4)</p> <table border="1" data-bbox="1044 421 1617 1215"> <tr> <td></td> <td>0.32m 水平落下</td> </tr> <tr> <td>落下姿勢</td> <td></td> </tr> <tr> <td>落下試験</td> <td>[Redacted]</td> </tr> <tr> <td>解析結果</td> <td>[Redacted]</td> </tr> </table>		0.32m 水平落下	落下姿勢		落下試験	[Redacted]	解析結果	[Redacted]	<p>—</p>
	0.32m 水平落下																	
落下姿勢																		
落下試験	[Redacted]																	
解析結果	[Redacted]																	
	0.32m 水平落下																	
落下姿勢																		
落下試験	[Redacted]																	
解析結果	[Redacted]																	
(ii) - A - 154	(ii) - A - 157																	

核燃料輸送物設計変更承認申請に係る変更前後表

前回申請書 (平成 30 年 8 月 17 日付三原燃第 18-393 号をもって申請 (平成 31 年 2 月 5 日付三原燃第 18-1013 号をもって一部補正))		今回の核燃料輸送物設計変更承認申請	備考												
<p>(a) - 第 A. 付 2.3 表 変形量の比較 (2/4)</p> <table border="1"> <tr> <td style="width: 5%;">落下姿勢</td> <td style="width: 95%;"></td> </tr> <tr> <td>落下試験</td> <td></td> </tr> <tr> <td>解析結果</td> <td></td> </tr> </table>	落下姿勢		落下試験		解析結果		<p>(a) - 第 A. 付 2.3 表 変形量の比較 (2/4)</p> <table border="1"> <tr> <td style="width: 5%;">落下姿勢</td> <td style="width: 95%;"></td> </tr> <tr> <td>落下試験</td> <td></td> </tr> <tr> <td>解析結果</td> <td></td> </tr> </table>	落下姿勢		落下試験		解析結果		<p>(a) - A - 155</p>	<p>(a) - A - 158</p>
落下姿勢															
落下試験															
解析結果															
落下姿勢															
落下試験															
解析結果															

核燃料輸送物設計変更承認申請に係る変更前後表

前回申請書 (平成30年8月17日付三原燃第18-393号をもって申請 (平成31年2月5日付三原燃第18-1013号をもって一部補正))		今回の核燃料輸送物設計変更承認申請	備考
<p>(a) - 第A. 付2.3表 変形量の比較 (3/4)</p> 		<p>(a) - 第A. 付2.3表 変形量の比較 (3/4)</p> 	
落下姿勢	落下試験	解析結果	
(r) - A-156		(r) - A-159	